

بِسْمِ اللّٰهِ الرَّحْمٰنِ الرَّحِيْمِ



دانشکدهٔ صنعتی شهرود

دانشکدهٔ علوم زمین

رشتهٔ زمین‌شناسی گرایش اقتصادی

پایان نامهٔ کارشناسی ارشد

کالجی شناسی، ژئوشیمی و الگوی تشکیل کانسار آهن – سلسیت کوه‌ریگ، جنوب شهرود

نگارنده: منا مهدوری

استاد راهنمای:

دکتر فردین موسیوند

استاد مشاور:

دکتر محمود صادقیان

شهریور ۱۳۹۵



دانشگاه شهر

مدیریت تحصیلات تکمیلی

فرم شماره (۶)

شماره:

تاریخ:

ویرایش:

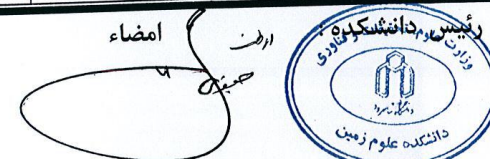
با اسمه تعالیٰ

فرم صورت جلسه دفاع از پایان نامه تحصیلی دوره کارشناسی ارشد

با تأییدات خداوند متعال و با استعانت از حضرت ولی عصر (عج) نتیجه ارزیابی جلسه دفاع از پایان نامه کارشناسی ارشد منا مهدوری به شماره دانشجویی ۹۲۱۳۸۵۴ رشته زمین‌شناسی گرایش اقتصادی با عنوان زمین‌شناسی، رئو شیمی و الگوی تشکیل آهن - سلستیت کوه ریگ، جنوب شهرود که در تاریخ ۱۳۹۵/۰۶/۱۴ با حضور هیأت محترم داوران در دانشگاه صنعتی شهرود برگزار گردید به شرح ذیل اعلام می‌گردد:

<input type="checkbox"/> مردود	<input type="checkbox"/> دفاع مجدد	<input checked="" type="checkbox"/> امتیاز ۱۹	قبول (با درجه: عالی ۱۹ - ۲۰)
			۲- بسیار خوب (۱۸/۹۹ - ۱۸)
			۳- خوب (۱۷/۹۹ - ۱۶)
			۴- قابل قبول (۱۵/۹۹ - ۱۴)
			۵- نمره کمتر از ۱۴ غیر قابل قبول

امضاء	مرتبه علمی	نام و نام خانوادگی	عضو هیأت داوران
	استادیار	دکتر فردین موسویاند	۱- استادرهنما
	دانشیار	دکتر محمود صادقیان	۲- استاد مشاور
	استادیار	دکتر مهدی رضابی کهنه‌خانی	۳- نماینده شورای تحصیلات تکمیلی
	استادیار	دکتر فرج الله فردوس	۳- استاد ممتحن
	استادیار	دکتر مسعود علی پوراصل	۴- استاد ممتحن



لقدِ کم بہ:

مهریان فرشتگانی که

لحظات ناب باور بودن

لذت و غرور دانستن

جسارت خواستن

عظمت رسیدن

و تمام تجربه‌های یکتا و زیبایی زندگیم

مدیون حضور سبز آن‌هاست

م در و م ا د ر م گ ر ا م م و ع ز ن ز م

پ

تقدیر و تشکر

سپاس خداوندی را که سرآغاز و سراجام سپاس برای اوست و بنده را توان سپاسگزاری شایسته‌اش را نباشد. درود و سلام بر آنان که چراغ آزادگی و انسانیت را برافراشتند تا در مسیر زندگی سرگردان و متحیر نمانیم. و سپاس از همه آنان که در راه رشد و کمال با ایثار و از جان گذشتگی راه را بر ما هموار کردند و از آنان که در راه علم و دانش سوختند تا روشنایی علم، عالم گیر شود.

استاد راهنمای دلسوز و بزرگوارم، جناب آقای دکتر موسیوند، که بی‌شک راهنمایی‌های ارزنده، دانش و دلسوزی‌های ایشان سبب به انجام رسیدن این تحقیق شده است، کمال تشکر را دارم.

استاد مشاور بزرگوارم، جناب آقای دکتر صادقیان، که با قبول زحمت مشاوره این تحقیق، در رفع نقایص و مشکلات علمی از هیچ کوششی فرو گذار نکردند، صمیمانه سپاسگزارم.

جناب آقایان دکتر فردوست و دکتر علی‌پور که زحمت داوری این پایان‌نامه را بر عهده داشتند، کمال قدردانی و تشکر را دارم.

از زحمات جناب آقای دکتر امیدی رئیس دانشکده و جناب آقای دکتر جعفری مدیر گروه دانشکده، صمیمانه سپاسگزارم.

از دوستان عزیز و گرامی خانم‌ها اعظم افروخته، زهرا باقرزاده، افسانه سلطانی، شیوا فراهانی، سولماز بلوچی، شبنم شهرستانی و مرضیه بتوندی‌پور و آقایان سید روح الله حسینی، اکبرعبداللهی و بازارنویی که مرا در به انجام رساندن این پایان‌نامه یاری نموده‌اند، کمال قدردانی و تشکر را دارم.

واز زحمات تمامی اساتید و پرسنل دانشکده علوم‌زمین کمال قدردانی و تشکر را دارم.

منا مهدوری
۱۳۹۵ شهریور

تعهد نامه

اینجانب منا مهدوری دانشجوی دوره کارشناسی ارشد رشته اقتصادی دانشکده علوم زمین دانشگاه صنعتی شاهرود نویسنده کانی شناسی، ژئوشیمی و الگوی تشکیل کانسار آهن - سلسیت کوه ریگ، جنوب شاهرود به راهنمایی دکتر فردین موسیوند متعهد می شوم.

- تحقیقات در این پایان نامه توسط اینجانب انجام شده است و از صحت و اصالت برخوردار است.
- در استفاده از نتایج پژوهش‌های محققان دیگر به مرجع مورد استفاده استناد شده است.
- مطالب مندرج در پایان نامه تاکنون توسط خود یا فرد دیگری برای دریافت هیچ نوع مدرک یا امتیازی در هیچ جا ارائه نشده است.
- کلیه حقوق معنوی این اثر متعلق به دانشگاه صنعتی شاهرود می‌باشد و مقالات مستخرج با نام «دانشگاه صنعتی شاهرود» و یا «Shahrood University of Technology» به چاپ خواهد رسید.
- حقوق معنوی تمام افرادی که در به دست آمدن نتایج اصلی پایان نامه تأثیرگذار بوده اند در مقالات مستخرج از پایان نامه رعایت می‌گردد.
- در کلیه مراحل انجام این پایان نامه، در مواردی که از موجود زنده (یا بافت‌های آنها) استفاده شده است ضوابط و اصول اخلاقی رعایت شده است.
- در کلیه مراحل انجام این پایان نامه، در مواردی که به حوزه اطلاعات شخصی افراد دسترسی یافته یا استفاده شده است اصل رازداری، ضوابط و اصول اخلاق انسانی رعایت شده است

تاریخ

امضای دانشجو

مالکیت نتایج و حق نشر

- کلیه حقوق معنوی این اثر و محصولات آن (مقالات مستخرج، کتاب، برنامه‌های رایانه ای، نرم افزار‌ها و تجهیزات ساخته شده است) متعلق به دانشگاه صنعتی شاهرود می‌باشد. این مطلب باید به نحو مقتضی در تولیدات علمی مربوطه ذکر شود.
- استفاده از اطلاعات و نتایج موجود در پایان نامه بدون ذکر مرجع مجاز نمی‌باشد.

* متن این صفحه نیز باید در ابتدای نسخه‌های تکثیر شده پایان نامه وجود داشته باشد

چکیده

کانسار آهن - سلسیت کوهریگ در ۱۳۰ کیلومتری جنوب شاهروд و ۱۷ کیلومتری جنوب شرق ترود، در بخش شمالی پهنه ایران مرکزی قرار دارد. کانه‌زایی در توالی آتشفسانی - رسوبی اوسن رخ داده است که به طور عمده شامل سنگ‌های آندزیت بازالت، بازالت و کریستال لیتیک توف می‌باشد. در این کانسار سه رخساره گرمابی از پایین به بالا مشاهده می‌شود: ۱) رخساره رگه - رگه‌های شامل رگه‌های گرمابی (رگه - کلسیت - باریت - کوارتز و رگه‌ی کوارتزی با میزان آندزیت بازالت)، ۲) رخساره برشی با میزان برش آتشفسانی که در آن زمینه قطعات آتشفسانی توسط گوتیت و هماتیت پر شده است و ۳) رخساره نواری که ماده معدنی به شکل نوارهای متناوب و هم‌شیب با سنگ میزان توفی دانه ریز می‌باشد. قابل ذکر است علاوه بر رگه‌های گرمابی، رگه‌های دیاژنتیک (رگه‌ی کلسیت - منگنز) به صورت قطع کننده رگه‌ی اولیه و رگه‌های دگرشکلی (کلسیت - منگنز) بصورت پرکننده درزهای در محدوده معدنی مشاهده می‌شود.

ساخت و بافت اصلی کانسار شامل ساخت برشی و نواری و بافت کلوفرمی و دانه‌پراکنده می‌باشد. کانی‌های اصلی ماده معدنی بر اساس مطالعات مقاطع میکروسکوپی، پراش اشعه ایکس (XRD) و الکترون پروف (EPMA) شامل گوتیت، هماتیت، مگنتیت، سلسیت، پیرولوزیت، پسیلوملان، کلسیت، ژیپس، کائولینیت و ایلیت می‌باشد. دگرسانی‌های گرمابی اولیه در منطقه شامل دگرسانی سریسیتی و دگرسانی کلریتی می‌باشد، البته دگرسانی آرژیلیکی در پهنه دگرسانی سریسیتی نیز دیده شده که ناشی از فرآیندهای سوپرژن و هوازدگی است. بر اساس تجزیه شیمیایی نمونه‌ها به روش ICP-MS/OES کانسار آهن - سلسیت (Mn - Fe-(Ni+Co+Cu)*10 ، Co+Ni+Cu- Co/Zn ، Co-Ni-Cu) و هوازدگی در نمودارهای ژئوشیمیایی (Zr/Y)/(La/Yb ، Zr/Yb ، Yb/Th) ماهیت انتقالی دارند، و محیط تکتونیکی کانسار بر اساس نمودارهای Mn/Fe و Co/Zn در محدوده کانسارهای گرمابی قرار می‌گیرد. سنگ‌های آتشفسانی و میزان نسبت‌های Zr/Yb با استفاده از نمودار بهنجار شده نسبت به گوشه اولیه جز کمان آتشفسانی حاشیه قاره می‌باشد. مطالعات

میانبارهای سیال بر روی رگه های اولیه کلسیت - باریت - کوارتز و رگهی کوارتزی انجام شده است. دامنه تغییرات دمای همگنسازی میانبارهای سیال در رخساره رگه- رگچه ای (پهنه استرینگر) در کانی کلسیت بین ۱۳۹ تا ۳۱۵ و در کوارتز بین ۱۲۹ تا ۲۹۸ درجه سانتیگراد و دامنه شوری در کانی کلسیت از ۲/۱۳ تا ۱۲/۴ و در کانی کوارتز از ۰/۶ تا ۶/۴۷ درصد وزنی نمک طعام می باشد. بر اساس پتروگرافی میانبارهای سیال و نبود فاز بخار می توان گفت رخداد جوشش در کانه زایی دیده نمی شود.

کانسار آهن - سلسیت کوه ریگ از جهت داشتن توالی آتشفسانی - رسوبی میزان، شکل هندسی لایه ای پیکره معدنی، بافت و ساخت، رخساره های کانه دار، کانی شناسی، پهنه بندی دگرسانی و ویژگی های ژئوشیمیایی شباهت زیادی با کانسارهای آهن آتشفسانی - بروندمی دارد. قابل ذکر است که بالا بودن میزان سلسیت از ویژگی های خاص این کانه زایی بوده و تاکنون مورد مشابه آن در ایران و جهان گزارش نشده است.

کلیدواژه: آهن- سلسیت، آتشفسانی- بروندمی، اوسن، کوه ریگ، ترود، شاهزاد

مقالات مستخرج از پایان نامه

- مهدوری، م.، موسیوند، ف.، صادقیان، م.، (۱۳۹۴)، رخداد کانه‌زایی آهن- سلسیت کوه‌ریگ بصورت آتش‌شانی- بروندمی در توالی آتش‌شانی - رسوبی ائوسن در منطقه ترود، جنوب شهرود، هفتمین همایش زمین‌شناسی اقتصادی ایران، دانشگاه دامغان، سمنان، ایران.

- مهدوری، م.، موسیوند، ف.، صادقیان، م.، (۱۳۹۴)، محیط تکتونیکی تشکیل کانسار آهن - سلسیت آتش‌شانی- بروندمی کوه‌ریگ، جنوب شهرود، بیست و سومین همایش بلور‌شناسی و کانی‌شناسی ایران، دانشگاه دامغان، سمنان، ایران.

فهرست مطالب

صفحه	عنوان
	فصل اول کلیات
۱	۱- مقدمه
۲	۲- موقعیت جغرافیایی منطقه مورد مطالعه و راههای دسترسی
۳	۳- شرایط آب و هوایی و پوشش گیاهی
۴	۴- اوضاع اجتماعی
۵	۵- زمین ریخت‌شناسی
۵	۶- طرح مسئله و هدف از مطالعه
۶	۷- روش مطالعه
۶	۷-۱- گردآوری اطلاعات
۶	۷-۲- عملیات زمین‌شناسی صحرایی
۷	۷-۳- مطالعات آزمایشگاهی
۷	۷-۴- مطالعات دفتری
۷	۷-۵- تدوین و نگارش پایان‌نامه
۸	۸- تاریخچه مطالعات و کارهای انجام شده
۱۰	۹- ردیابی کانسارهای آهن
۱۳	۱۰- کانی‌سازی آهن در ایران
۱۵	۱۰-۱- کانی‌سازی آهن در پروتروزوئیک پسین - کامبرین پیشین
۱۶	۱۰-۲- کانی‌سازی آهن در پالئوزوئیک - تریاپس پیشین
۱۶	۱۰-۳- کانی‌سازی آهن در مژوزوئیک
۱۷	۱۰-۴- کانی‌سازی آهن در ترشیری
۱۹	فصل دوم زمین‌شناسی ناحیه‌ای
۲۰	۱-۲- مقدمه

۲۱	- چینه‌شناسی عمومی منطقه
۲۲	- ۱-۲-۲ - پرکامبرین
۲۳	- ۲-۲-۲ - کامبرین
۲۳	- ۳-۲-۲ - سیلورین - دونین
۲۴	- ۴-۲-۲ - پرمین
۲۴	- ۵-۲-۲ - تریاس زیرین و میانی
۲۴	- ۶-۲-۲ - تریاس بالایی - لیاس
۲۵	- ۷-۲-۲ - دوگر(سازند بادامو و بغمشاه)
۲۵	- ۸-۲-۲ - کرتاسه
۲۵	- ۹-۲-۲ - ترشیر
۲۶	- ۳-۲ - ماگماتیسم در منطقه
۲۷	- ۱-۳-۲ فازهای ماگمایی دوران اول
۲۷	- ۲-۳-۲ فازهای ماگمایی دوران دوم
۲۸	- ۳-۳-۲ فازهای ماگمایی دوران سوم
۲۹	- ۴-۲ - تکتونیک و زمین‌شناسی ساختمانی
۲۹	- ۱-۴-۲ - سیستم گسل‌ها و چین‌ها
۳۱	- ۲-۴-۲ - چین خوردگی‌ها
۳۳	- ۳-۴-۲ - فازهای کوهزایی
۳۳	- ۱-۳-۴-۲ - فاز کالدونین - هرسینین
۳۳	- ۲-۳-۴-۲ - فاز آلپین پیشین
۳۵	- ۳-۳-۴-۲ - فاز ترشیری (فاز لارامین - آلپین میانی، آلپین پسین)
۳۹	فصل سوم زمین‌شناسی و سنگ‌شناسی محدوده معدنی
۴۰	- ۱-۳ - مقدمه
۴۰	- ۲-۳ - واحد سنگی منطقه مورد مطالعه
۴۲	- ۱-۲-۳ - کریستال لیتیک توف(ET1)

۴۳.....	- آندزیت بازالت (EV1)
۴۵.....	- لیتیک کریستال توف (ET2)
۴۶.....	- آندزیت بازالت (EV2)
۴۷.....	- کریستال لیتیک توف (ET3)
۴۸.....	- کواترنری
۴۹.....	- زمین‌شناسی ساختمانی محدوده معدنی
۵۱.....	فصل چهارم کانه‌زائی و دگرسانی
۵۲.....	- مقدمه
۵۲.....	- رخداد کانه‌زایی آهن - سلستیت در محدوده مورد مطالعه
۵۶.....	- شکل هندسی ماده معدنی و رخساره‌های کانه‌دار
۵۷.....	- رخساره رگه - رگچه‌ای
۶۱.....	- رخساره برشی
۶۲.....	- رخساره نواری
۶۳.....	- دگرسانی
۶۴.....	- دگرسانی کلریتی
۶۷.....	- دگرسانی سریسیتی - آرژیلیک
۶۹.....	- دگرسانی سیلیسی
۷۱.....	فصل پنجم ساخت، کانی‌شناسی، بافت و توالی پاراژنزی کانی‌ها
۷۲.....	- مقدمه
۷۲.....	- ساخت ماده معدنی
۷۲.....	- ساخت برشی
۷۲.....	- ساخت نواری
۷۳.....	- ساخت کنکرسیونی
۷۳.....	- ساخت کلوفرمی
۷۳.....	- ساخت نودولی

۷۵	۳-۵- کانی‌شناسی و بافت ماده معدنی
۷۵	۱-۳-۵- گوتیت (FeO.OH)
۷۶	۲-۳-۵- هماتیت (Fe2O3)
۷۷	۳-۳-۵- مگنتیت (Fe3O4)
۷۷	۴-۳-۵- پیرولوزیت (MnO2)
۷۸	۵-۳-۵- پسیلوملان (Ba, K, Mn, Co)2Mn5O10.XH2O
۷۹	۶-۳-۵- سلسیت یا سلسنین (SrSO4)
۸۱	۴-۵- کانی‌های باطله
۸۱	۱-۴-۵- باریت (BaSO4)
۸۲	۲-۴-۵- ژپس (CaSO4)
۸۳	۳-۴-۵- کلسیت (CaCO3)
۸۴	۴-۴-۵- کلریت ((Mg,Fe)3(Si,Al)4O10(OH)20(Mg,Fe)3(OH)6)
۸۴	۵-۴-۵- کوارتز (SiO2)
۸۵	۶-۴-۵- سریسیت (KAl2(OH)2(AlSi3O10))
۸۵	۷-۴-۵- کانی‌های رسی
۸۵	۵-۵- توالی پاراژنتیک کانی‌ها
۸۹	فصل ششم ژئوشیمی
۹۰	۱-۶- مقدمه
۹۰	۲-۶- ژئوشیمی آهن
۹۲	۳-۶- خواص فیزیکی و شیمیایی استرانسیم
۹۵	۳-۶- ژئوشیمی سلسیت و انیدریت
۹۸	۴-۶- روش کار
۹۹	۵-۶- ژئوشیمی سنگ‌های آذرین
۱۰۳	۱-۵-۶- طبقه‌بندی و تعیین ترکیب شیمیایی سنگ‌های آتشفشانی
۱۰۶	۶- تعیین محیط تکتونیکی سنگ‌های آذرین

۱۰۷.....	۶-۶-۱- بهنجار شده نسبت به گوشه اولیه در سنگ‌های بازالتی
۱۰۸.....	۶-۶-۲- طبقه‌بندی و تعیین شیمی کانسنگ و محیط نهشت آن‌ها
۱۰۸.....	۶-۶-۳- نسبت Co/Zn
۱۰۹.....	۶-۶-۴- نمودار Co-Ni-Zn
۱۱۰.....	۶-۶-۵- نمودار Co/Zn - Co+Ni+Cu
۱۱۰.....	۶-۶-۶- نمودار Mn/Fe
۱۱۱.....	۶-۶-۷- نمودار Fe-(Ni+Co+Cu)*10 - Mn
۱۱۲.....	۶-۶-۸- نمودار الگوی عناصر نادرخاکی (REE)
۱۱۴.....	۶-۶-۹- ستون لیتوژئوشیمیایی
۱۱۷.....	فصل هفتم میانبارهای سیال
۱۱۸.....	۷-۱- مقدمه
۱۱۸.....	۷-۲- انواع روش‌های مطالعه میانبارهای سیال
۱۱۹.....	۷-۳- انواع میانبارهای سیال بر اساس زمان تشکیل
۱۲۱.....	۷-۴- انواع میانبارهای سیال بر اساس نوع و تعداد فاز
۱۲۱.....	۷-۵- روش کار
۱۲۲.....	۷-۶-۱- پتروگرافی میانبارهای سیال
۱۲۳.....	۷-۶-۲- رده‌بندی میانبارهای سیال در رگه‌های سیلیسی با میزبان سنگ‌های آندزیت بازالت
۱۲۳.....	۷-۶-۳- انواع میانبارهای سیال در رگه سیلیسی با میزبان سنگ‌های آندزیت بازالت
۱۲۵.....	۷-۶-۴- رده بندی میانبارهای سیال در رگه‌ی کلسیت - باریت - کوارتز با میزبان سنگ‌های آندزیت بازالت دگرسان شده
۱۲۵.....	۷-۶-۵- انواع میانبارهای سیال در رگه‌ی کلسیت - باریت - کوارتز با میزبان سنگ‌های آندزیت بازالت دگرسان شده
۱۲۷.....	۷-۶-۶- مطالعات دماستنجی میانبارهای سیال
۱۲۷.....	۷-۶-۷- ۱- گرمایش
۱۳۱.....	۷-۶-۸- ۲- سرمایش

۱۳۳	- تعیین عوامل فیزیکوشیمیایی تشکیل کانسار.....	۳-۶-۶-۷
۱۳۴	- نمودار دمای همگن‌سازی و فشار.....	۴-۶-۶-۷
۱۳۷	فصل هشتم الگوی تشکیل، تیپ کانه‌زایی، نتیجه‌گیری و پیشنهادهای اکتشافی	
۱۳۸	۱-۸ - مقدمه.....	
۱۳۸	۲-۸ - شواهد ژنتیکی مهم.....	
۱۳۸	۱-۲-۸ - محیط تکتونیکی تشکیل	
۱۴۰	۲-۲-۸ - محیط زمین‌شناسی تهنشست.....	
۱۴۰	۳-۲-۸ - سنگ میزبان و سنگ‌های همراه.....	
۱۴۰	۴-۴-۸ - شکل هندسی، ساخت و بافت ماده‌معدنی	
۱۴۰	۵-۴-۸ - شواهد کانی‌شناسی.....	
۱۴۰	۶-۴-۸ - شواهد دگرسانی.....	
۱۴۱	۷-۴-۸ - شواهد حاصل از مطالعات ژئوشیمیایی.....	
۱۴۱	۸-۴-۸ - شواهد حاصل از مطالعات میانبارهای سیال.....	
۱۴۲	۳-۸ - مدل ژنتیکی و شیوه تشکیل کانسار آهن - سلسیت کوهریگ.....	
۱۴۴	۴-۸ - مدل تشکیل و عوامل مؤثر در تشکیل ماده معدنی.....	
۱۴۴	۴-۸ - منشأ عناصر کانه‌ساز.....	
۱۴۶	۴-۸ - منشأ سیال کانه‌ساز	
۱۴۷	۴-۸ - بازسازی حوضه آتشفسانی - رسوی جنوب شاهروド و جایگاه نهشته‌های آهن - سلسیت کوهریگ	
۱۵۱	۴-۸ - مقایسه با برخی کانسارهای شاخص ایران.....	
۱۵۱	۴-۸ - ۱-۱-۴-۸ - کانسار آهن جزیره هرمز بندرعباس.....	
۱۵۲	۴-۸ - رخداد آهن نواری در منطقه بافق	
۱۵۴	۴-۸ - مقایسه با برخی کانسارهای شاخص جهان	
۱۵۴	۴-۸ - ۱-۲-۴-۸ - کانسار جین‌تیشان چین	
۱۵۵	۴-۸ - ۲-۲-۴-۸ - کانسار آهن ماچنگ	
۱۵۶	۴-۸ - ۳-۲-۴-۸ - کانسار فرومگنز کالاهاری	

۱۵۷.....	۵-۸- تیپ کانه زایی آهن در منطقه کوهربگ
۱۵۷.....	۱-۵-۸- تقسیم‌بندی کانسارهای رسوی نواری
۱۵۹.....	۲-۵-۸- رده‌بندی ذخایر استرانسیم
۱۵۹.....	۷-۸- نتیجه گیری
۱۶۰	۸-۸- پیشنهادهای علمی و اکتشافی
۱۶۲.....	منابع

فهرست اشکال

صفحه	عنوان
۳	شکل ۱-۱: موقعیت جغرافیایی و راههای دسترسی به محدوده معدنی آهن – سلسیت کوهریگ.
۱۱	شکل ۱-۳: نمودار شماتیک فرآیندهای زمین‌شناسی که به تشکیل آهن منجر می‌شود.
۲۰	شکل ۲-۱: موقعیت منطقه مورد مطالعه در نقشه پهنه‌های ساختاری ایران.
۲۱	شکل ۲-۲: نقشه ساده زمین‌شناسی منطقه ترود برگرفته از نقشه ۱:۲۵۰۰۰ ترود.
۲۲	شکل ۲-۳: ستون چینه‌شناسی ناحیه‌ای از واحدهای سنگی موجود در جنوب شهرود (منطقه ترود).
۲۲	شکل ۲-۴: نقشه زمین‌شناسی از منطقه ترود در جنوب شهرود بر اساس نقشه ۱/۲۵۰۰۰ ترود.
۳۱	شکل ۲-۵: گسل‌های اصلی ایران.
۳۲	شکل ۲-۶: نقشه‌ی شکستگی‌های شمال منطقه‌ی ترود – معلمان.
۴۱	شکل ۳-۱: نقشه زمین‌شناسی بزرگ مقیاس محدوده معدنی کانسار آهن – سلسیت کوهریگ.
۴۱	شکل ۳-۲: ستون چینه‌شناسی محدوده معدنی کانسار آهن – سلسیت کوهریگ.
۴۳	شکل ۳-۳: واحد کریستال لیتیک توف (ET1).
۴۴	شکل ۳-۴: واحد آندزیت بازالت (EV1).
۴۵	شکل ۳-۵: واحد لیتیک کریستال توف (ET2).
۴۶	شکل ۳-۶: واحد آندزیت بازالت (EV2).
۴۸	شکل ۳-۷: واحد کریستال لیتیک توف (ET ₃).
۴۸	شکل ۳-۸: نمایی از واحد کواترنری واقع در کله نمکی جنوب معدن.
۴۹	شکل ۳-۹: نمایی از گسل‌های محدوده معدنی بر روی تصویر ماهواره‌ای از محدوده مورد مطالعه.
۵۰	شکل ۳-۱۱: نمایی از گسل‌های نرمال در منطقه.
۵۰	شکل ۳-۱۲: نمایی از تاقدیس کوهریگ.
۵۳	شکل ۴-۱: تصویر ماهواره‌ای از کانه‌زایی منطقه کوهریگ.
۵۴	شکل ۴-۲: نقشه زمین‌شناسی بزرگ مقیاس محدوده معدنی آهن – سلسیت کوهریگ.

۵۵	شکل ۴-۳: نمایی از کانسار آهن - سلسیت کوهریگ
۵۵	شکل ۴-۴: ستون چینه‌شناسی محدوده معدنی از واحدهای سنگی و کانسار
۵۷	شکل ۴-۵: نمایی از کانسار کوهریگ و رخسارهای کانه‌دار
۵۸	شکل ۴-۶: رگه - رگچه‌های کلسیت - باریت - کوارتز
۵۸	شکل ۴-۷: رگه - رگچه‌های کوارتزی با میزان سنگهای آندزیت بازالت
۵۹	شکل ۴-۸: رگه‌ی کلسیت - منگنز با بافت کلوفرمی با میزان آندزیت
۶۰	شکل ۴-۹: رگه‌ی سلسیت (Cl _s) در اطراف سنگهای آندزیت بازالت
۶۱	شکل ۴-۱۰: رگه‌های کلسیت - منگنز با میزان آندزیت بازالت
۶۱	شکل ۴-۱۱: نمونه دستی از رخساره برشی در کانسار آهن - سلسیت کوهریگ
۶۲	شکل ۴-۱۲: نمونه دستی از کریستال لیتیک توف حاوی نوارهای غنی از آهن (تیره‌رنگ) با ساخت نواری
۶۳	شکل ۴-۱۳: نمایی از کانه‌زایی منگنز در امتداد کانسار آهن - سلسیت کوهریگ
۶۴	شکل ۴-۱۴: تصویر ماهواره‌ای از دگرسانی محدوده کانسار آهن - سلسیت کوهریگ
۶۵	شکل ۴-۱۵: نمایی کلی از دگرسانی کلریتی (Chl)
۶۶	شکل ۴-۱۶: تصویر صحرایی از دگرسانی کلریتی به همراه دگرسانی سریسیت
۶۶	شکل ۴-۱۷: نمودار پراش اشعه ایکس (XRD)، لیتیک کریستال توف
۶۸	شکل ۴-۱۸: نمایی از دگرسانی سریسیتی - آژیلیکی
۶۸	شکل ۴-۱۹: نمودار پراش اشعه ایکس (XRD)، سنگهای آندزیت بازالت
۶۹	شکل ۴-۲۱: نمودار پراش اشعه ایکس (XRD)، سنگهای آندزیت بازالت
۷۰	شکل ۴-۲۲: تصاویر نمونه دستی و میکروسکوپی از کوارتز
۷۴	شکل ۵-۱: ساختهای اصلی کانسار آهن - سلسیت کوهریگ
۷۶	شکل ۵-۲: تصویر نمونه دستی و میکروسکوپی از گوتیت
۷۷	شکل ۵-۳: تصویر میکروسکوپی هماتیت (Hem)
۷۷	شکل ۵-۴: تصویر نمونه دستی و میکروسکوپی مگنتیت (Mag)
۷۸	شکل ۵-۵: تصویر میکروسکوپی از پیرولوژیت (Pyr)
۷۹	شکل ۵-۶: تصویر میکروسکوپی پسیلوملان (Psy)

۸۱ شکل ۵-۷: تصویر میکروسکوپی و نمونه دستی از سلسیت.

۸۲ شکل ۵-۸: نمونه دستی و تصویر میکروسکوپی از باریت.

۸۳ شکل ۵-۹: تصویر صحرایی ژیپس.

۸۴ شکل ۵-۱۰: نمونه دستی میکروسکوپی از کلسیت.

۸۵ شکل ۵-۱۱: رگه - رگچه‌های کوارتزی با میزان آندزیت بازالت.

۹۱ شکل ۶-۱: محدوده پایداری فازهای مختلف آهن در نمودار Eh-PH.

۹۴ شکل ۶-۲: نمودار Eh-PH برای اکسید استرانسیم و هیدروکسید استرانسیم در سیستم (Sr-O-OH).

۹۷ شکل ۶-۳: قابلیت انحلال تعدادی از کانی‌های سولفاته بر اساس دما (Naumov, 1974).

۹۷ شکل ۶-۴: قابلیت انحلال سلسیت بر اساس دما و فشار.

۹۸ شکل ۶-۵: قابلیت انحلال انیدریت بر اساس دما و فشار.

۱۰۵ شکل ۶-۶: موقعیت نمونه‌های سنگ‌های آتشفشانی منطقه کوه‌ریگ در نمودار Zr/Y - La/Yb - Y/Zr - Yb/Th و Zr/Y.

۱۰۶ شکل ۶-۷: ترکیب شیمیایی سنگ‌های آتشفشانی محدوده کانسار آهن - سلسیت کوه‌ریگ در نمودار Zr/Ti در برابر Nb/Y از (Pearce et al, 1996).

۱۰۷ شکل ۶-۸: موقعیت نمونه‌های مورد مطالعه بر روی نمودار تمایز تکتونیکی Y - 2*Nb - Zr/4 - 2*(Meschede, 1986).

۱۰۸ شکل ۶-۹: نمودار عنکبوتی بهنجار شده نسبت به گوشته اولیه (Sun and McDonough, 1989).

۱۰۹ شکل ۶-۱۰: نمودار سه‌تایی Ni-Zn-Co از (Choi and Hariya, 1992).

۱۱۰ شکل ۶-۱۱: نمودار Co+Ni+Cu در برابر Co/Zn از (Toth, 1980).

۱۱۲ شکل ۶-۱۲: نمودار سه‌تایی Fe - (Co+Ni+Cu)*10 - Mn توسط (Bonatti, 1975).

۱۱۳ شکل ۶-۱۳: نمودار عنکبوتی بهنجار شده نسبت به کندریت برای رخساره‌های کانه‌دار.

۱۱۵ شکل ۶-۱۴: میزان تغییرات عناصر اصلی در رخساره رگه - رگچه‌ای، برشی و لایه‌ای در کانسار آهن - سلسیت کوه‌ریگ.

۱۱۶ شکل ۶-۱۵: نتیجه آنالیز طلا به روش فایر اسی.

۱۲۰ شکل ۷-۱: طرح شماتیک شکل‌گیری میانبارهای اولیه، ثانویه و ثانویه کاذب در طول رشد بلور (Bodnar, 2003).

۱۲۰ شکل ۷-۲: مکانیزم‌های مؤثر در به دام افتادن میانبارهای اولیه (Roedder, 1984).

۱۲۴ شکل ۷-۳: رگچه‌های سیلیسی با میزان آندزیت بازالت.

..... شکل ۷-۴: پتروگرافی میانبارهای سیال در نمونه کوارتزی	۱۲۵
..... شکل ۷-۵: تصویر صحرایی از رگه کلسیت - باریت - کوارتز	۱۲۶
..... شکل ۷-۶: پتروگرافی میانبارهای سیال در نمونه کلسیت	۱۲۶
..... شکل ۷-۷: نمودار هیستوگرام درجه همگن شدگی میانبارهای سیال نسبت به فراوانی آنها در نمونه‌ی رگه‌ی سیلیسی	۱۳۰
..... شکل ۷-۸: نمودار هیستوگرام درجه همگن شدگی میانبارهای سیال نسبت به فراوانی آنها در نمونه‌ی کلسیت - باریت - کوارتز	۱۳۰
..... شکل ۷-۹: نمودار هیستوگرام شوری میانبارهای سیال در کانی کوارتز	۱۳۲
..... شکل ۷-۱۰: نمودار هیستوگرام شوری میانبارهای سیال در کانی کلسیت (در رگه کلسیت - باریت - کوارتز)	۱۳۲
..... شکل ۷-۱۱: نمودار تعیین چگالی میانبارهای سیال بر حسب دمای همگن شدن و شوری در کانسار آهن - سلسیت کوه-ریگ بر گرفته از نمودار تعیین چگالی (Brown, 1989)	۱۳۳
..... شکل ۷-۱۲: نمودار شوری در برابر دمای همگن شدن (Wilkinson, 2001).	۱۳۴
..... شکل ۷-۱۳: نمودار دمای همگنسازی و فشار در رگه کلسیت - باریت - کوارتز (Roedder and Bodnar, 1980)	۱۳۵
..... شکل ۷-۱۴: شکل گیری کمان آتشفسانی سنوزوئیک ناشی از فرورانش پوسته اقیانوسی سبزوار (Roseti et al, 2001)	۱۳۹
..... شکل ۷-۱۵: نمودار درجه شوری در برابر همگن شدن میانبارهای سیال دو فازی (Roedder, 1984)	۱۴۲
..... شکل ۷-۱۶: مدل ژنتیکی کانسار آهن - سلسیت کوهریگ	۱۴۳
..... شکل ۷-۱۷: مراحل آهن و تغییرات ایزوتوبی جز به جز آن برای پیدایش منشأ سازند آهن نواری (Crosby et al., 2007)	۱۴۶
..... شکل ۷-۱۸: رسوبگذاری از ذرات اکسید آهن معلق تهنشست شده از سیالات گرمابی دما بالا با شوری و چگالی کم (Spry et al, 2000)	۱۴۷
..... شکل ۷-۱۹: بازسازی حوضه آتشفسانی - رسوبی کوهریگ	۱۵۱
..... شکل ۷-۲۰: ستون چینه‌شناسی منگنز کالاهاری	۱۵۶

فهرست جداول

عنوان	صفحة
جدول ۱-۱: مشخصات برخی از کانسارهای آهن (اقتباس از متولی، ۱۳۸۴)	۱۲
جدول ۱-۴: کانسارهای مطالعه شده در منطقه جنوب ترود استان سمنان	۵۲
جدول ۱-۵: توالی پاراژنتیک کانسار آهن - سلسیت کوه ریگ	۸۷
جدول ۱-۶: خصوصیات سلسیت و استرانسیانیت (Harben, 1999)	۹۴
جدول ۲-۶: خواص اتمی، فیزیکی و شیمیایی استرانسیم را نشان می‌هد	۹۵
جدول ۳-۶: میزان عناصر اصلی و کمیاب سنگهای آذرین و کانسنگ کانسار آهن - سلسیت کوه ریگ به روش ICP-MS/OES	۹۹
جدول ۱-۷: رده بندی انواع میانبارهای سیال بر مبنای انواع فازهای موجود در دمای اتاق و محتوای آنها (Shepherd et al, 1985)	۱۲۱
جدول ۲-۷: نتایج آنالیزهای دماسنجری، تعیین شوری در میانبارهای سیال کوارتزی کانسار آهن - سلسیت کوه ریگ	۱۲۸
جدول ۳-۷: نتایج آنالیزهای دماسنجری، تعیین شوری در میانبارهای سیال کلسیت در کانسار آهن - سلسیت کوه ریگ	۱۲۹
جدول ۱-۸: مقایسه کانسار آهن - سلسیت کوه ریگ با کانسارهای آهن آتشفسانی - رسوی مهم ایران	۱۵۳
جدول ۲-۸: مقایسه کانسارهای آتشفسانی - بروندمی - رسوی (بابکی، ۱۳۸۳) با کانسار کوه ریگ	۱۵۸

فصل اول

کلیات

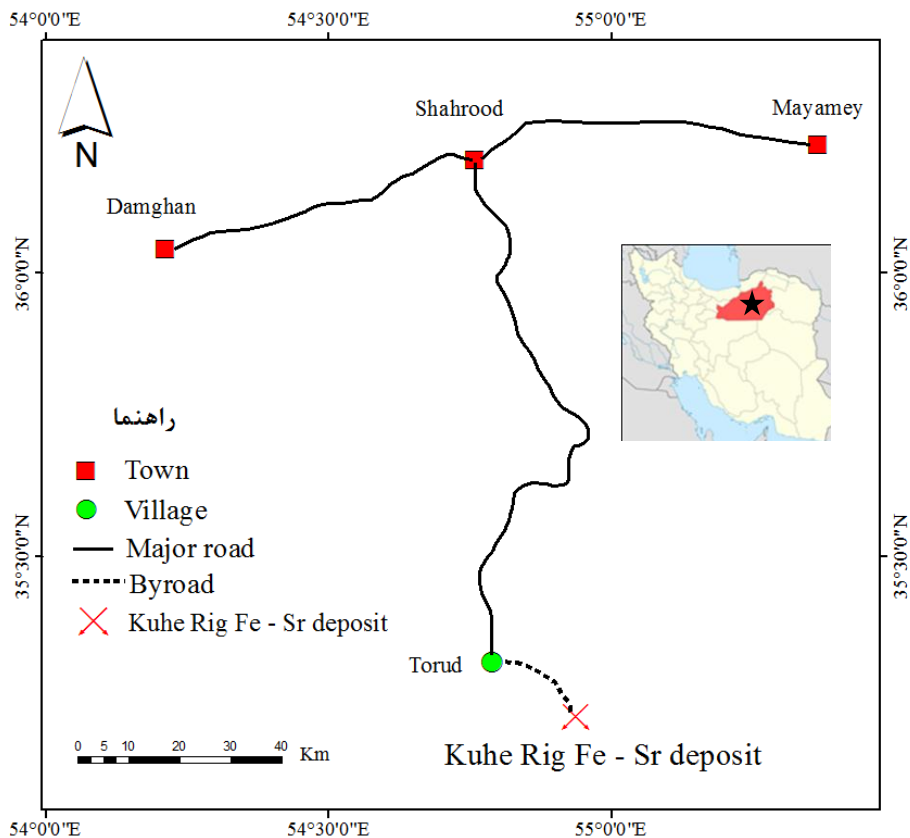
۱-۱- مقدمه

کانسار آهن - سلسیت کوه ریگ در ۱۳۲ کیلومتری جنوب شهرود و در ۱۷ کیلومتری جنوب شرق ترود و در پهنه ایران مرکزی واقع شده است. این کانسار در محدوده نقشه ۱:۲۵۰۰۰۰ ترود (علوی و همکاران، ۱۳۵۵) قرار دارد. میزبان کانه‌زایی آهن سنگ‌های آذرآواری و آندزیت بازالت متعلق به دوره اوسن است. این کانسار غنی از گوتیت بوده و گسترهای به طول ۷۰۰ متر را در بر می‌گیرد. فعالیت‌های اکتشافی در معدن آهن - سلسیت کوه ریگ شامل حفر ترانشه و چاهک می‌باشد (اخیانی ۱۳۹۳). بر اساس مطالعات صحرابی، ماده معدنی به دو صورت همرون و قطع کننده لایه بندی دیده می‌شود. نظر به اینکه تاکنون هیچ‌گونه مطالعه زمین‌شناسی اقتصادی بر روی این کانسار صورت نگرفته است، انجام این مطالعات جهت کمک به اکتشاف ذخایر جدید ضروری بوده که موضوع این تحقیق می‌باشد.

۱-۲- موقعیت جغرافیایی منطقه مورد مطالعه و راه‌های دسترسی

کانسار آهن - سلسیت کوه ریگ با مختصات جغرافیایی "۱۶° ۳۵' عرض شمالی و "۵۴° ۵۵' طول شرقی در فاصله ۱۳۰ کیلومتری جنوب شهرود و ۱۷ کیلومتری جنوب شرق ترود در پهنه ساختاری ایران مرکزی واقع شده است.

ارتباط با این محدوده، از طریق جاده آسفالت شهرود - ترود با فاصله ۱۳۰ کیلومتر از شهرود و سپس ادامه مسیر به سمت جنوب شرق در طول یک راه خاکی با مسافت ۱۷ کیلومتر از مبدأ دهستان ترود می‌باشد.



شکل ۱-۱: موقعیت جغرافیایی و راههای دسترسی به محدوده معدنی آهن – سلسیتیت کوه ریگ

۱-۳- شرایط آب و هوایی و پوشش گیاهی

ناحیه ترود منطقه‌ای است که بیشتر مساحت آن را کویر و زمین‌های پست و هموار پوشانده است. آب و هوای این منطقه اغلب گرم و خشک کویری است. تابستان گرم و خشک و زمستان سرد و خشک دارد. اختلاف درجه حرارت بین شب و روز در تابستان $30 - 25$ درجه سانتی‌گراد و حداقل دما در تابستان‌ها $50 - 45$ درجه سانتی‌گراد می‌باشد (هوشمندزاده و همکاران، ۱۳۵۷). تنها ارتفاعات بلند در این منطقه رشته کوه‌های چاهشیرین – ترود می‌باشد که با روند تقریباً شمال شرقی – جنوب غربی این ناحیه را به دو قسمت شمالی و جنوبی تقسیم کرده‌اند. کویر چاه جم در شمال و کویر مرکزی یا کویر نمک در بخش جنوب این رشته کوه‌ها واقع شده‌اند.

در دامنه‌های شمالی این رشته کوه‌ها به علت وجود چشمه‌ها و چاه‌هایی که تنها منبع تأمین آب منطقه هستند امکان زیست وجود داشته و روستاهای کوچک و بزرگ بنا شده‌اند. شرایط سخت زندگی، آب و هوای گرم کویری، طوفان‌های ماسه‌ای، کمبود بارش و کم بودن زمین‌های قابل کشت همگی باعث شده‌اند که این ناحیه تمرکز جمعیتی پایینی داشته باشند. بزرگ‌ترین مرکز جمعیتی در بین روستاهای این منطقه دهستان ترود است که جمعیتی در حدود ۳۵۰۰ نفر دارد.

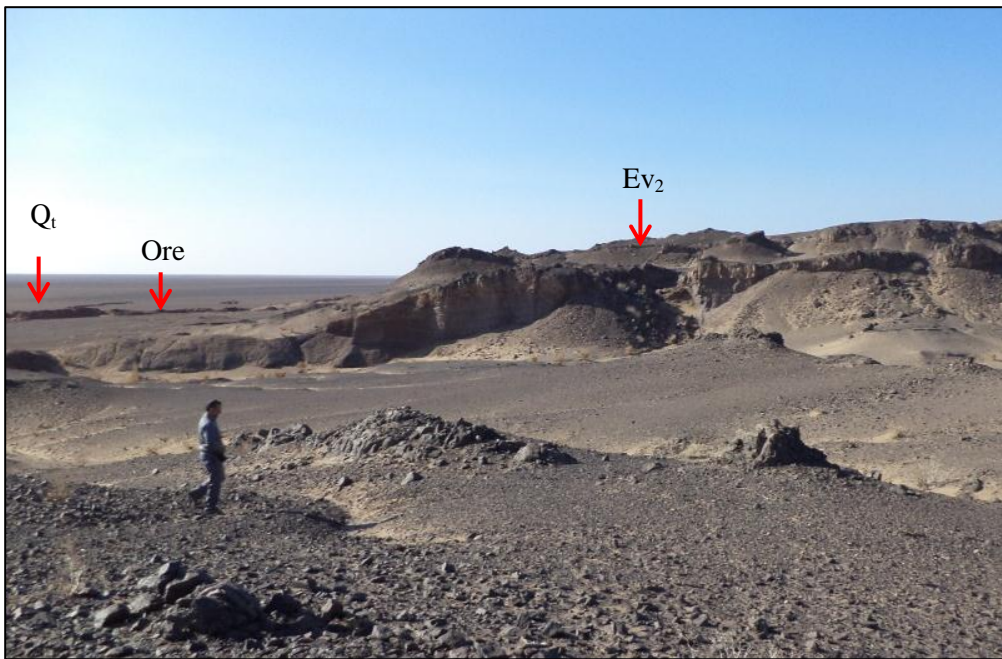
این ناحیه کاملاً کویری است و مثل مناطق کویری پوشش گیاهی در آن وجود ندارد، در این محدوده تنها در مناطق مرتفع تعدادی درختچه‌های گز و پونه و درختان طاق دیده شده، ولی در اطراف روستای ترود تعداد کمی زمین کشاورزی و باغات هم دیده می‌شوند.

۱-۴- اوضاع اجتماعی

عواملی از جمله شرایط سخت زندگی، آب و هوای گرم و کویری، طوفان‌های ماسه‌ای، کمبود بارش و اندک بودن زمین‌های قابل کشت باعث شده است که در این ناحیه تمرکز جمعیت بسیار پایین باشد. بزرگ‌ترین مرکز جمعیتی در این ناحیه، دهستان ترود با جمعیتی در حدود ۳۵۰۰ نفر می‌باشد که اغلب به شغل دامداری، کشاورزی و قالی‌بافی اشتغال دارند. دام اصلی مردم را بیشتر گوسفند و شتر تشکیل می‌دهد. محصولات روستا، جو و گندم می‌باشد. در این منطقه محصولات سیفی به دلیل شرایط بد آب و هوایی وجود ندارد و در صورت وجود بسیار اندک و ناچیز است. محصولات باغی از قبیل خرما، انار و انجیر از دیگر محصولات این منطقه است. در روستای ترود پرورش شتر به صورت بومی از سال‌ها پیش رواج داشته به‌طوری که به عنوان محور پرورش شتر در سطح کشور مطرح بوده و مرکز پرورش و اصلاح نژاد شمال شرق کشور در آنجا تأسیس گردیده است. البته طی چند سال اخیر با رونق گرفتن کار معادن مس، آهن و منگنز عده‌ای هم از طریق کار در معادن، امرار معاش می‌کنند.

۱-۵- زمین ریخت‌شناسی

نمایان‌ترین ویژگی مورفولوژیک در منطقه ترود رشته کوه‌های بلند ترود ترود – چاه‌شیرین و مناطق پست و هموار کویری و مخروط افکنه‌ها و آبرفت‌ها هستند که محدوده معدنی کوه‌ریگ هم در جنوب این رشته کوه‌ها به شکل تپه‌های کم‌ارتفاع که از سنگ‌های آتش‌شکنی و سنگ‌های آذرآواری تشکیل شده است. آبراهه‌هایی که در این منطقه دیده می‌شوند اغلب شمالی – جنوبی و از نوع فصلی می‌باشند در (شکل ۱-۲) نمایی از مورفولوژی کانسار آهن – سلسیت کوه‌ریگ داده شده است.



شکل ۱-۲: نمایی از مورفولوژی کانسار آهن – سلسیت کوه‌ریگ

۱-۶- طرح مسئله و هدف از مطالعه

کانسار آهن – سلسیت کوه‌ریگ در استان سمنان و در ۱۳۰ کیلومتری شهرود و در ۱۷ کیلومتری جنوب شرق ترود واقع شده است. با توجه به اینکه هیچ‌گونه مطالعه علمی بر روی کانسار آهن – سلسیت کوه‌ریگ صورت نگرفته است، انجام این مطالعات زمین‌شناسی اقتصادی برای بررسی نحوه کانه‌زایی در این

کانسار ضروری به نظر می‌رسید. لذا در این تحقیق، بررسی زمین‌شناسی اقتصادی و الگوی کانه‌زایی در منطقه مورد توجه قرار گرفته است. به طور کلی اهداف این تحقیق را می‌توان به صورت زیر خلاصه کرد:

- بررسی کانی‌شناسی، پاراژنز، بافت و ساخت کانسنگ آهن
- مطالعات ژئوشیمیایی، توزیع و تمرکز موادمعدنی و شناخت عوامل مؤثر در تشکیل کانسار
- بررسی ویژگی‌های پتروگرافی و ژئوشیمیایی سنگ‌های آتشفسانی و ارتباط آن با کانه‌زایی و دگرسانی
- میکروترموتری سیالات درگیر جهت شناخت ویژگی‌های دما و شوری سیال کانه‌ساز
- تعیین تیپ کانسار و در نهایت ارائه یک مدل ژنتیکی برای کانسار کوهربیگ با استفاده از اطلاعات بدست آمده
- مقایسه کانسار آهن - سلسیت کوهربیگ با موارد مشابه در ایران و جهان و ارائه کلیدهای اکتشافی

۷-۱- روشن مطالعه

۱-۷-۱- گردآوری اطلاعات

الف) گردآوری نقشه‌های زمین‌شناسی موجود در مقیاس‌های مختلف، عکس‌های هوایی، تصاویر ماهواره‌ای و کلیه گزارش‌ها و مقالاتی که به نحوی در ارتباط با منطقه مورد مطالعه و نواحی اطراف هستند.

ب) ارتباط با زمین‌شناسان داخلی جهت تهیه و تأمین منابع به روز

ج) گردآوری و مطالعه کتب و مقالات مطرح در زمینه موضوع پایان‌نامه

۱-۷-۲- عملیات زمین‌شناسی صحراوی

الف) بازدیدهای مقدماتی جهت آشنا شدن با منطقه و برداشت‌های مقدماتی

ب) مطالعات صحراوی و تهیه یک نقشه زمین‌شناسی - معدنی بزرگ مقیاس از منطقه مورد مطالعه

پ) بررسی ژئومتری، ساخت و بافت ماده معدنی در مقیاس‌های مختلف
ت) مطالعه دگرسانی‌های موجود در منطقه

۱-۷-۳- مطالعات آزمایشگاهی

الف) تهیه ۲۸ مقطع نازک - صیقلی و ۵ مقطع نازک جهت مطالعه ساخت و بافت ماده معدنی و بررسی
توالی پاراژنتیکی کانه‌ها و نحوه توزیع کانه در سنگ درونگیر ماده معدنی و کانسنگ‌ها
ب) تجزیه نمونه‌ها

تجزیه شیمیایی ۱۵ نمونه به روش ICP-MS جهت بررسی میزان عناصر کمیاب و نادر خاکی (REE) و
آنالیز کیفی ۳ نمونه به روش پراش اشعه ایکس (XRD) به منظور مطالعات کانی‌شناسی.

۱-۷-۴- مطالعات دفتری

الف) بررسی رفتار ژئوشیمیایی عناصر (REE) در سنگ‌های درونگیر ماده معدنی و کانسنگ‌ها و مقایسه
آن‌ها با یکدیگر، از طریق پردازش و تحلیل داده‌های آزمایشگاهی و آنالیز دستگاهی.
ب) به موازات انجام کارهای فوق، مطالعات کتابخانه‌ای و اینترنتی برای دریافت و مطالعه اطلاعات و
مقالات و تلفیق آنها جهت تدوین پایان‌نامه انجام گرفته است.

۱-۷-۵- تدوین و نگارش پایان‌نامه

نتایج حاصل از مراحل قبلی با مطالعه کتاب‌های مرجع، مقالات، و نیز ترسیم نقشه‌ها و نمودارها با استفاده
از نرم‌افزارهای کامپیوتری از جمله Excel، ArcGis و ... دسته‌بندی، پردازش و تلفیق گردیده و در
نگارش پایان‌نامه به کار رفته است

۱-۸- تاریخچه مطالعات و کارهای انجام شده

با این‌که دسترسی به منطقه ترود با مشکلات زیادی همراه بوده است ولی با توجه به پتانسیل بالای معدنی نوار آتشفسانی - رسوبی ترود - چاه‌شیرین و وجود معادن با ارزش فلزات پایه و گران‌بها از قبیل طلا، فیروزه، مس، سرب و روی مطالعات گسترده‌ای در زمینه پترولوزی، زمین‌شناسی اقتصادی و تکتونیک و همچنین و اکتشاف برای عناصر مختلف صورت گرفته است. مهم‌ترین مطالعات صورت گرفته در منطقه ترود عبارتند از:

- هوشمندزاده و همکاران (۱۳۵۷)، گزارش سازمان زمین‌شناسی کشور در خصوص تحول

پدیده‌های زمین‌شناسی ناحیه ترود، ذیل نقشه ۱:۲۵۰۰۰ زمین‌شناسی ترود ارائه کرده‌اند که به طور کلی تمامی ناحیه را از نظر لیتولوزیکی، چینه‌شناسی و ساختمانی مورد مطالعه اولیه قرار داده‌اند.

- پورحسینی (۱۳۶۲)، فعالیت‌های ماقمایی منطقه را با همگرایی عربستان - ایران مرتبط دانسته و از نوع پس از برخورد می‌داند. وی توده‌های نفوذی را با فاز ماقمایی ائوسن پسین - الیگوسن مرتبط می‌داند.

- جعفریان (۱۳۶۸)، سنگ‌های آتشفسانی منطقه را عمدتاً آندزیتی و توده‌های نفوذی را از نوع گرانیت نوع I معرفی کرده و جایگاه فعالیت‌های ماقمایی منطقه را کمان آتشفسانی قاره‌ای می‌داند.

- قربانی (۱۳۸۴)، ماقماتیسم منطقه را در جنوب ترود، بازیک‌تر و در شمال آن اسیدی‌تر می‌داند و در ضمن یک منشأ درون قاره‌ای برای آن قائل است و ولکانیسم و پلوتونیسم این منطقه را اساس یافته‌های ژئوشیمیایی و صحرایی بیش‌تر در ارتباط با سیستم‌های کششی منطبق می‌داند.

- امام جمعه (۱۳۸۵)، در پایان نامه کارشناسی ارشد خود با عنوان "زمین‌شناسی، ژئوشیمی و ژنز کانسار مس چاه موسی در شمال غرب ترود" بر پایه مجموعه شواهد سنگ‌شناسی، ساخت و بافت، کانی‌شناسی، سیالات‌درگیر و ژئوشیمی نتیجه گرفته‌اند که کانه‌زایی در محدوده چاه‌موسی – قله کفتران مربوط به یک سیستم واحد کانه‌زایی می‌باشد که در ارتباط با تکامل سیالات گرمابی کانه‌دار سبب تشکیل کانه‌زایی افشار – رگ‌چهای مس در عمق بیشتر و کانه‌زایی‌های رگ‌های در عمق کمتر شده است.
- خادمی (۱۳۸۶)، ویژگی‌های ساختاری و وضعیت زمین‌ساختی منطقه ترود را مورد بررسی قرار داده و تکوین ژئودینامیک منطقه ترود را یک سیمای ساختاری اصلی، یعنی گسل امتدادلغز ترود با روند شمال‌شرق – جنوب‌غرب عامل اساسی تعیین ویژگی‌های ساختاری این منطقه می‌داند.
- طالع ماسوله و همکاران (۱۳۸۹)، زمین‌شناسی اقتصادی کانسار مس چاه‌گله شمال‌غرب ترود را مورد مطالعه قرار داده و بیان کرده‌اند که ماده معدنی به شکل رگ‌های است و در کنترل گسل‌ها و شکستگی‌های منطقه می‌باشد و همچنین خاستگاه کانسار را محلول‌های گرمابی با درجه حرارت نه چندان زیاد که از سنگ‌های آتش‌شبانی نوع آندزیتی و تراکی‌آندزیتی منشأ گرفته‌اند تعیین نموده است.
- شاهوردی (۱۳۸۹)، در پایان نامه کارشناسی ارشد خود با عنوان بررسی زمین‌شناسی اقتصادی اندیس مس علی‌نرخه (جنوب شرق روستای ترود) به معرفی نخستین رخداد مس کلریدی در نوار شمالی کویر مرکزی ایران پرداخته است و این اندیس را یک اندیس مس رسوبی با عیار بالا، چینه‌کران و حائز سنگ میزبان اصلی تبخیری معرفی کرده‌اند.

- عرب عامری و همکاران (۱۳۹۰)، در پایان نامه کارشناسی ارشد خود با عنوان پتروگرافی،

میزروگرافی و دگرسانی در معدن آهن پنج کوه دامغان، این کانسار را یک کانسار آهن اسکارن در نظر گرفت.

- باقرزاده و همکاران (۱۳۹۳)، در پایان نامه کارشناسی ارشد خود تحت عنوان کانی‌شناسی،

ژئوشیمی و الگوی تشکیل کانسار منگنز - سلسیتیت ربیعی در جنوب ترود به بررسی کانه‌زایی منگنز درون واحدهای آتشفشانی - رسوبی پرداخته است و رخداد کانه‌زایی را گرمابی - بروندمی زیردریایی بیان کرده‌اند.

- صالحی نسب و همکاران (۱۳۹۴)، در پایان نامه کارشناسی ارشد خود تحت عنوان کانی‌شناسی،

ژئوشیمی و الگوی پیدایش کانسار مس - سلسیتیت بند قیچی منطقه ترود، این کانسار را یک کانسار مس با میزان رسوبی و از نوع لایه قرمز در نظر گرفت.

۱-۹- رده‌بندی کانسارهای آهن

تا به حال تقسیم‌بندی‌های مختلفی برای کانسارهای آهن ارائه شده است. از جمله این تقسیم‌بندی‌ها،

می‌توان به تقسیم‌بندی (Kesler, 1994) که بر اساس محیط تشکیل کانسارها می‌باشد، اشاره کرد.

براساس این تقسیم‌بندی، کانسارهای آهن به سه دسته ماگمایی، گرمابی و رسوبی تقسیم شده‌اند (شکل

۱-۳). تقسیم‌بندی‌های دیگر نیز برای کانسارهای آهن ارائه شده و تیپ‌های گوناگون و جدیدتری نیز

معرفی شده‌اند. وجه مشترک همه این کانسارها، وجود مگنتیت و هماتیت به عنوان کانه اصلی یا فرعی در

آن‌هاست. از جمله این تیپ کانسارها، می‌توان به موارد زیر اشاره کرد:

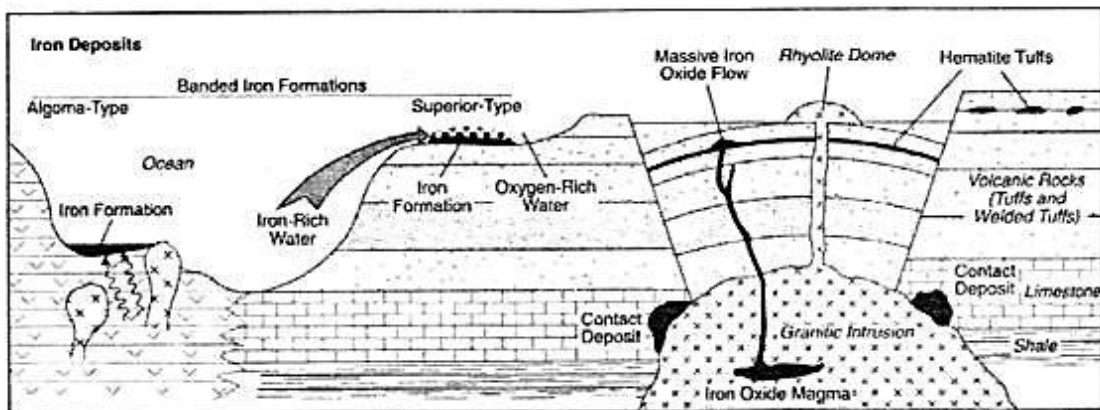
- کانسارهای آهن اسکارنی، کانسارهای ماگمایی، کانسارهای آتشفشانی رسوبی آهن، کربناتیت‌های

آهن‌دار، سنگ‌آهن^۱، لاتریت‌های آهن، کانسارهای آهن باتلاقی، نهشت‌های آهن پلاسربی،

1- Iron stone

سازندهای آهن نواری، کانسارهای اکسید آهن مس طلا (اورانیوم ± عناصر نادرخاکی) تیپ

IOCG



شکل ۱-۳: نمودار شماتیک فرآیندهای زمین‌شناسی که به تشکیل آهن منجر می‌شود (Kesler, 1994)

در جدول (۱-۱)، به ویژگی‌های برخی از کانسارهای فوق اشاره شده است. بیشتر این اطلاعات از مجموعه تیپ‌های دخایر معدنی بریتیش کلمبیا (Lefebure, 1996) و USGS اخذ شده است.

جدول ۱-۱: مشخصات برخی از کانسارهای آهن (اقتباس از متولی، ۱۳۸۴)

ویژگی‌ها	آهن اسکارنی	آهن رسوی	آهن اسکارنی	آهن آتشفسانی - رسوی
سن	بیش تر مزووزوئیک تا سنوزوئیک	فانروزوئیک، بیش تر در اردوبیسین تا دونین	بیش تر مزووزوئیک تا سنوزوئیک	منیزیمی
محیط تکتونیکی	حاشیه قاره‌ای همزمان با کوهزایی	فلات قاره	حاشیه قاره‌ای همزمان با کوهزایی	کافت درون قاره‌ای، ریفت درون کمانی، ریفت پشت کمانی
سنگ میزان/همراه	استوک، دایک یا سیل و فقیر از Si حاصل	بیش تر سنگ‌های تخربی، شیل	استوک، دایک یا سیل و فقیر از Si حاصل	سنگ‌های غنی از Fe و فقیر از Si حاصل از پوسته اقیانوسی، استوک گابروئی. که در آهک و دیگر سنگ‌های رسوی با آتشفسانی نفوذ می‌کند.
ژئومتری همراه	چینه‌سان، توده‌ای، عدسی، صفحه‌ای	لایه‌ای	چینه‌سان، توده‌ای، عدسی، صفحه‌ای	لایه‌ای، توده‌ای
بافت	گرانوبلاست، توده‌ای، دانه‌پراکنده	لایه‌ای، الیتی	گرانوبلاست، توده‌ای، لایه‌ای	لایه‌ای، الیتی
کانی‌شناسی	مگنتیت، هماتیت، کالکوپیریت، پیریت	هماتیت، سیدریت، لیمونیت، شاموزیت	مگنتیت، هماتیت، کالکوپیریت، پیریت، بورنیت، مولیبدینیت	سیدریت، مگنتیت، هماتیت، پیریت، کالکوپیریت
دگرسانی	-	-	پروپیلیتی	-
عوامل کنترل کننده	ساخтар و چینه‌شناسی	ژئوشیمی حوضه	ساخтар و چینه‌شناسی	سنگ‌شناسی و ژئومتری حوضه
عيار و تناظر	۳-۱۵۰ تن	۴۰-۵۰٪ آهن	۲۵۰ میلیون تن	۴۰-۵۰٪ آهن
منبع	Gross,1996 Meinert,1995	Bergem,1997	Evans,1997	Ray, 1995

ادامه جدول ۱-۱

کانسارهای IOCG (اکسیدهای آهن - مس - طلا)	سازند آهن نواری (سوپریور)	سازند آهن نواری (آلگوما)	ویژگی‌ها
پروتروزوئیک تا هولوسن	پروتروزوئیک آغازین	آرکشن	سن
پهنه فرورانشی، رژیم‌های تکتونیکی کششی	کمان آتشفسانی، مناطق حوضه فلات قاره و پلاتفرمی	گسترشی، گراین	محیط تکتونیکی
سنگ‌های توئلیتی تا کالک آلکالن، شامل گابرو تا گرانودیوریت، سنگ‌های ماتاولکانیک و سنگ‌های رسوبی دگرگون شده	کوارتزیت، شیل سیاه زغال‌دار، کنگلومرا، دولومیت، چرت	گریوک، سنگ‌های آتشفسانی	سنگ میزبان / همراه
متتنوع، شامل رگهای، توده‌ای، صفحه‌ای	لایه‌ای	غالباً به صورت عدسی	ژئومتری همراه
نواری، توده‌های برشی تا نامنظم، عدسی	لایه‌ای، توده‌ای	لایه‌ای، توده‌ای	بافت
هماتیت، مگنتیت، سیدریت، مگنتیت، هماتیت، آپاتیت شاموزیت	هماتیت، مگنتیت، سیدریت، پیریت، پیروتیت، طلا	هماتیت، مگنتیت، سیدریت، کلریتی،	کانی‌شناسی
سدیک، پتاسیک، سرسیتی، سیلیسی، کلریتی، اکتینولیتی	-	-	دگرسانی
سنگ‌شناختی سرشار از آهن با مقدار کمی رسوبات کلاستیک گسل‌ها	افق چینه‌شناسی سرشار از آهن با مقدار کمی رسوبات کلاستیک	افق چینه‌شناسی سرشار از آهن با مقدار کمی رسوبات کلاستیک	عوامل کنترل کننده
۱۰۰۰ میلیون تن	۳-۵ میلیون تن	۱۵۰-۴۵ آهن	عيار و تناز
۰.۲۰٪ آهن	۱۵-۳۰٪ آهن	۱۵-۴۵٪ آهن	
Eilu et al,2002	Gross,1996	Ray,1995	منبع

۱۰-۱- کانی‌سازی آهن در ایران

کانسارهای آهن در ایران زمین منحصر به دوره خاصی از تاریخ زمین ساختی ایران نیست، به گونه‌ای که با پیدایش و شکل‌گیری پوسته ایران مرکزی در پروتروزوئیک پسین، عملکرد و ادامه فعالیت‌های

زمین ساختی - ماگمایی سبب کانی سازی آهن شده است. این کانه زایی ارتباط تنگاتنگی با زمین ساخت و ماگماتیسم در ایران داشته و سبب کانه زایی مدل های مختلفی از آهن شده است. روند این کانی سازی از پروتزوژوئیک پسین تا میوپلیوسن در ایران قابل پیگیری است. قابل توجه است که ذخایر نهشته شده در پروتزوژوئیک پسین - کامبرین پیشین از زمان های دیگر نمود بسیار آشکارتری دارد (قربانی، ۱۳۸۶).

۱۰-۱- کانی سازی آهن در پروتزوژوئیک پسین - کامبرین پیشین

همگام با فاز ماگمایی پروتزوژوئیک پسین، در برده زمانی ۵۳۰ تا ۶۲۰ میلیون سال پیش که تا کامبرین پیشین ادامه یافته، تعداد قابل توجهی از ذخیره آهن تشکیل شده است. این ذخایر رابطه مستقیم یا غیرمستقیم با سنگ های ماگمایی و آتشفسانی - رسوبی این زمان دارند که در نقاط مختلف ایران، آثار آنها را می توان دید (قربانی، ۱۳۸۶). کانسارهای آهن این فاز، از نظر پیدایش زمانی و منشأ به دو دسته تقسیم می شوند:

۱- کانسارهایی با خاستگاه آتشفسانی و آتشفسانی - رسوبی متعلق به پروتزوژوئیک پسین که گاه تا کامبرین پیشین ادامه می یابند. این کانسارها از نظر ذخیره، چندان اقتصادی نیستند و عبارتند از: الف) کانسارهای آتشفسانی - رسوبی ناحیه بافق (فاز اول کانی سازی در منطقه بافق) مانند کانسار آهن و منگنز ناریگان و بخش افقی کانسار آهن میشوند. این کانسارها دارای منگنز، عناصر نادر خاکی و اورانیوم نیز هستند (قربانی، ۱۳۸۶).

ب) کانسارهای آهن رسوبی محور سلطانیه - مهاباد: این کانسارها اغلب منشأ رسوبی - آتشفسانی دارند و در پیوند با بخش های پایین سازند سلطانیه و گاه سنگ های آتشفسانی سری قره داش می باشند. این کانسارها عبارتند از: کانسارهای آهن ارجین (ناحیه سلطانیه)، شاهبلاغ و کاوند در ناحیه جنوب باختر زنجان، میرجان - قالیچه بلاغ در ناحیه ماه نشان، علم کندی، چهارتاق در ناحیه تکاب، کوه تکه قیاسی در ناحیه سلطانیه، باستان در ناحیه مهاباد و آق بلاغ در ناحیه اشنویه (قربانی، ۱۳۸۶).

کانسارهای آهن که در سنگ‌های پرکامبرین پسین – کامبرین پیشین این محور جای گرفته‌اند، همگی ساخت رسوی از خود نشان می‌دهند و همایند (پاراژنز) آن‌ها اغلب گوتیت، هماتیت، مگنتیت و باطله‌های کلسیت، دولومیت، سیلیس و باریت است (قربانی، ۱۳۸۶).

پ) ذخایر آهن آتشفسانی – رسوی در پیوند با سنگ‌های سری هرمز و آتشفسان‌های وابسته در منطقه بندر عباس و جزایر جنوب خاوری آن مانند آهن تنگه‌زاغ، هرمز، لارک و قشم. سن این آهن‌ها، اغلب پروتوروزئیک نبوده و کامبرین پیشین است. این پدیده به احتمال زیاد می‌تواند حاصل فرسایش کانسنگ‌های قدیمی و جای‌گیری آن‌ها در سازندهای جوان باشد (قربانی، ۱۳۸۶).

ت) ذخایر آهن آتشفسانی: این ذخایر در آمیخته با سنگ‌های آتشفسانی قره‌داش است که کانه‌های آهن در متن آن‌ها قرار دارد، مانند کوه برده‌رش، بیچاقچی و حمام در منطقه شاهین‌دژ، از آن‌جا که این ذخایر، آغشته به سنگ‌های ریولیتی هستند، ارزش اقتصادی چندانی ندارند (قربانی، ۱۳۸۶).

۲- کانسارهای آهن با خاستگاه ماگمایی یا به عبارت بهتر خاستگاه ارتوماگمایی که گاه تحت تأثیر محلول‌های وابسته به توده‌های مولد کانسار به همراه سنگ‌های میزبان به شدت دچار متاسوماتیسم شده‌اند و از آن‌ها به عنوان کانسارهایی با خاستگاه متاسوماتیسم یا کانسارهای IOCG نیز یاد شده است. این کانسارها در ناحیه بافق یافت می‌شوند و بزرگترین ذخایر آهن ایران را تشکیل می‌دهند. در حقیقت، این کانسارها را باید به فاز ماگمایی (از نوع نفوذی) پس از فاز آتشفسانی که سنگ‌های سازند ریزو و دزو را به وجود آورده نسبت داد، مانند گرانیت‌های تیپ زریگان و ناریگان (قربانی، ۱۳۸۶).

این فاز ماگمایی، یک فاز ماگمایی آلکالن غنی از آهن و مشتقات آن بوده است. میزان عناصر کمیاب نیز در آن‌ها بالاست. کانسارهای آهنی که می‌توان به این فاز نسبت داد، عبارتند از: کانسارهای آهن چادرملو، چغارت، سه‌چاهون، چاه‌گز در ناحیه زرند کرمان و کانسار میشدون (فاز دوم کانی‌سازی میشدون که ارتباط مستقیم با گرانیت‌ها دارد) (قربانی، ۱۳۸۶).

۱۰-۲- کانی‌سازی آهن در پالئوزوئیک - تریاس پیشین

پالئوزوئیک پیشین از نظر کانی‌سازی آهن در ایران، در مقایسه با فاز پروتروزوئیک پیشین - کامبرین پیشین کم مایه‌تر بوده است، به طوری که تنها چند کانسار را در ایران می‌توان به این زمان نسبت داد که عبارتند از:

کانسار آهن کلات ناصر در خاور قاین در منطقه آهنگران (قربانی، ۱۳۷۲)، کانسار آهن و منگنز هنشک در منطقه دهبید فارس (کاظمی‌راد و همکاران ۱۳۸۸)، کانسار آهن ظفرآباد در کردستان (مومن‌زاده و همکاران، ۱۳۷۴؛ براتی و قلی‌بور ۱۳۹۲)، کانسار آهن ماسوله متعلق به پرمین (قربانی و مصطفوی، ۱۳۷۳) و کانسار گل‌گهر سیرجان (بابکی و آفتتابی، ۱۳۸۵).

کانسارهای یاد شده همگی در سنگ‌های آتشفسانی و آتشفسانی - رسوبی غنی از آهن جای گرفته‌اند. این سنگ‌ها در رخساره شیست سبز دگرگون شده‌اند و عمل متاسوماتیسم، باعث تمرکز دوباره آهن در آن‌ها شده است (قربانی، ۱۳۸۶).

۱۰-۳- کانی‌سازی آهن در مژوزوئیک

کانسارهای آهن این برده زمانی، بیشتر در پهنه شمالی سennدج - سیرجان شناخته شده‌اند. این کانسارها، به طور عمده دارای خاستگاه ماقمایی - اسکارنی و آتشفسانزاد هستند که عبارتند از: الف) کانسارهای آهن آتشفسان - رسوبی و اسکارنی منطقه همدان که شامل کانسارهای باباعلی، چnarبالا و گلالی در منطقه قروه (توکلی و همکاران، ۱۳۸۴؛ آلیانی و همکاران، ۱۳۸۵؛ زمانی و همکاران، ۱۳۸۵؛ رستمی پایدار و همکاران، ۱۳۸۹) بوده و در پیوند با توده‌های نفوذی گابرو دیوریت - سینیت منطقه یاد شده هستند. البته این احتمال نیز وجود دارد که این کانسارها وابسته به توالی آتشفسانی - رسوبی سری سنقر با سن پرمین تا تریاس باشند، ولی تمرکز و غنی‌شدگی آن‌ها همگام با توده‌های نفوذی منطقه به سن کرتاسه، رخ داده است (قربانی، ۱۳۸۶).

ب) کانسار آهن رسوبی – آتشفشارنژاد شمس‌آباد با سن کرتاسه پیشین در جنوب باختری اراک (سامانی، ۱۳۷۳؛ فرهادی، ۱۳۷۴) و همه کانسارهای آهن و منگنز محور ملایر – اصفهان که در سنگ‌های کرتاسه جای دارد.

ج) کانسار اسکارنی آهن ناحیه سنقر (خسروآباد، ده خزعلی) (متولی و همکاران، ۱۳۸۴).

۱-۱۰-۴- کانی‌سازی آهن در ترشیری

در پیوند با ماقماتیسم ترشیری که در ایران گسترش فراوانی دارد، تعداد نسبتاً زیادی کانسار آهن نیز تشکیل شده است که از اوسن پسین تا اوایل کواترنر قابل پیگیری است. کانسارهای این زمان، همگی دارای خاستگاه ماقمایی می‌باشند. این کانسارها، پراکندگی زیادی نسبت به کانسارهای آهن فازهای قدیمی‌تر دارند که علت آن، گسترش فراوان فعالیتهای آتشفسانی و پلوتونیسم این زمان است. کانسارهای آهن این فاز عبارتند از:

الف) کانسارهای آهن در پهنه ارومیه – دختر: در پهنه ارومیه – دختر همگام با فعالیتهای آتشفسانی و پلوتونیسم الیگومیوسن، تعداد به نسبت زیادی کانسار آهن تشکیل شده که نمونه‌وار می‌توان به کانسار آهن ورتاوه قمر، کانسار آهن داران در باختر اصفهان، کانسار آهن شهرک در منطقه زنجان، کانسار آهن کوه بابا در جنوب باختر هشتetrod اشاره کرد.

ب) کانسارهای آهن ماقمایی در پهنه البرز: در پیوند با ماقماتیسم الیگومیوسن در پهنه البرز باختری، تعدادی کانسار آهن تشکیل شده است که به کانسارهای آهن اسکارنی شمال و شرق سمنان در البرز خاوری، کانسار آهن IOCG سرخه‌دیزج در کوههای طارم اشاره کرد (قربانی، ۱۳۸۱؛ نباتیان و همکاران، ۱۳۸۶).

گفتگوی است که در آذربایجان شمالی تعدادی کانسارهای آهن ناشی از دگرسانی کانی‌های سولفیدی وجود دارد. این کانسارها عموماً حالت کلاهک آهنهای (گوسان) داشته و شامل کانسارهای آهن

دمیرچی در مناطق طارم، خلخال و اهر، کانسار آهن ماگمایی – اسکارنی در آذربایجان مانند کانسار آهن اسکندریان خوی، کانسار آهن مزرعه اهر و ... است (قربانی، ۱۳۸۶).

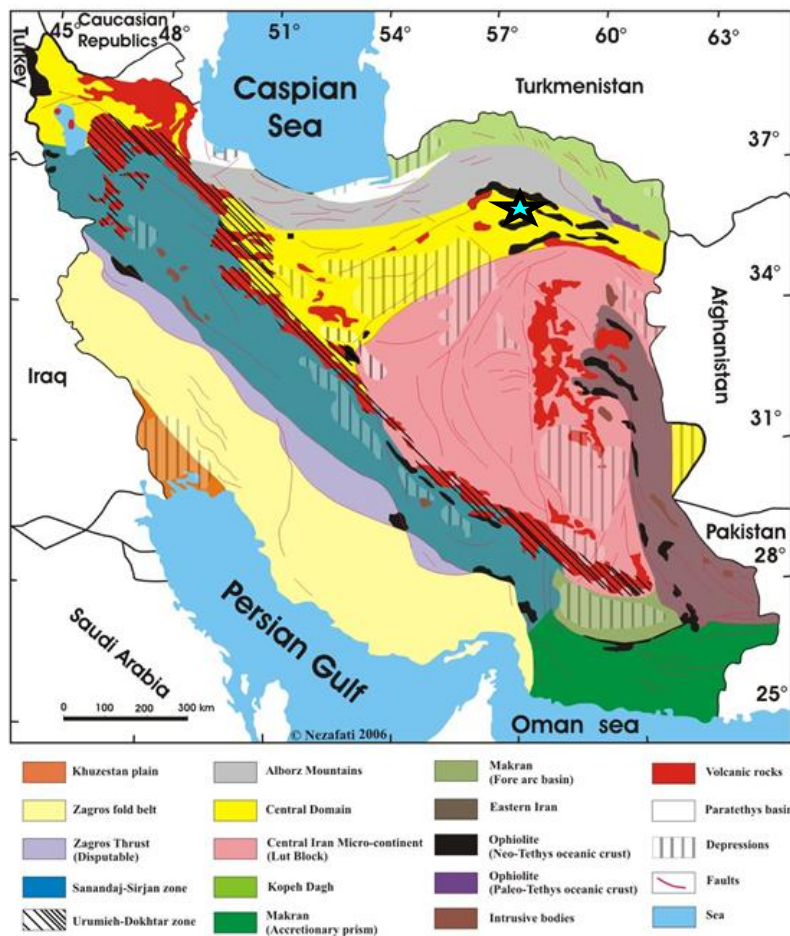
کانسار آهن در خاور ایران: کانسار سنگان یکی از بزرگترین کانسارهای ایران است که در خاور ایران قرار دارد. به باور برخی از زمین‌شناسان، این کانسار متعلق به ائوسن پسین – الیگومیوسن و از نوع اسکارنی است. (قربانی، ۱۳۸۶؛ بومری و همکاران ۱۳۷۱).

فصل دوم

زمین شناسی ناحیه ای

۱-۲- مقدمه

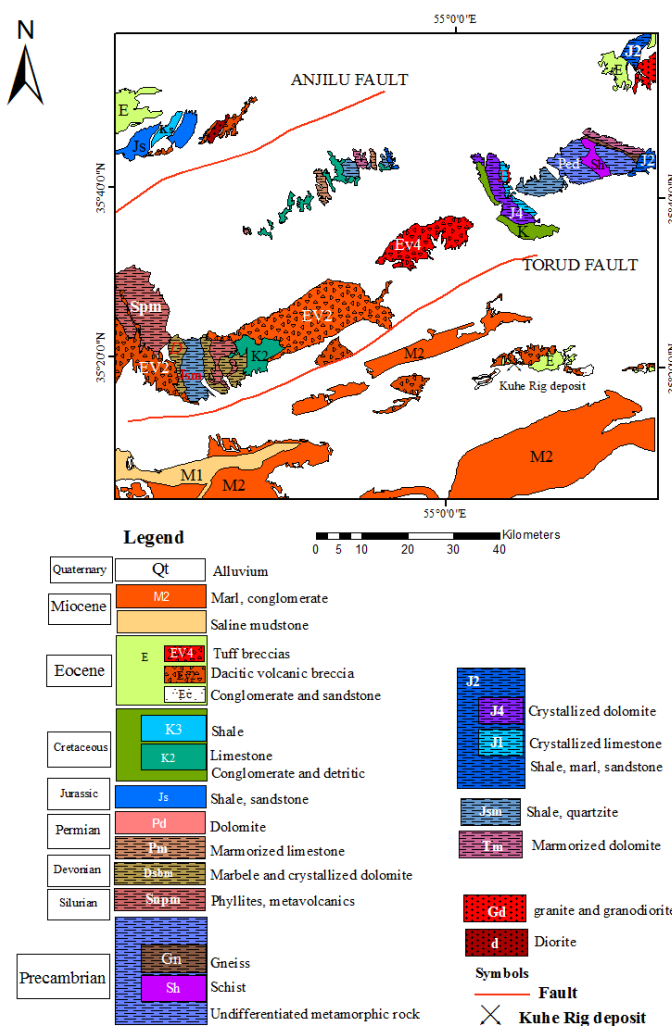
محدوده معدنی کوهريگ، در حاشیه شمالی زون زمین‌ساختی ایران مرکزی واقع شده است (شکل ۱-۲). این زون در ترشیری شاهد فعالیت مagmaی بسیار گسترده‌ای بوده که حاصل آن در منطقه ترود، نوار آتشفسانی ترود - چاهشیرین با روند شمال شرق - جنوب غربی، حاشیه شمالی کویر مرکزی ایران را تشکیل می‌دهد. زمین‌شناسی محدوده مورد مطالعه نیز تحت تأثیر شرایط کلی حاکم بر این منطقه شکل گرفته است. در این فصل شرح چینه‌نگاری، magmaتیسم، زمین‌شناسی ساختمانی و تکتونیکی در مقیاس ناحیه‌ای بر اساس ورقه ۱/۲۵۰۰۰۰ ترود پرداخته شده است.



شکل ۱-۲: موقعیت منطقه مورد مطالعه در نقشه پهنه‌های ساختاری ایران (آقانباتی، ۱۳۸۳)

۲-۲- چینه‌شناسی عمومی منطقه

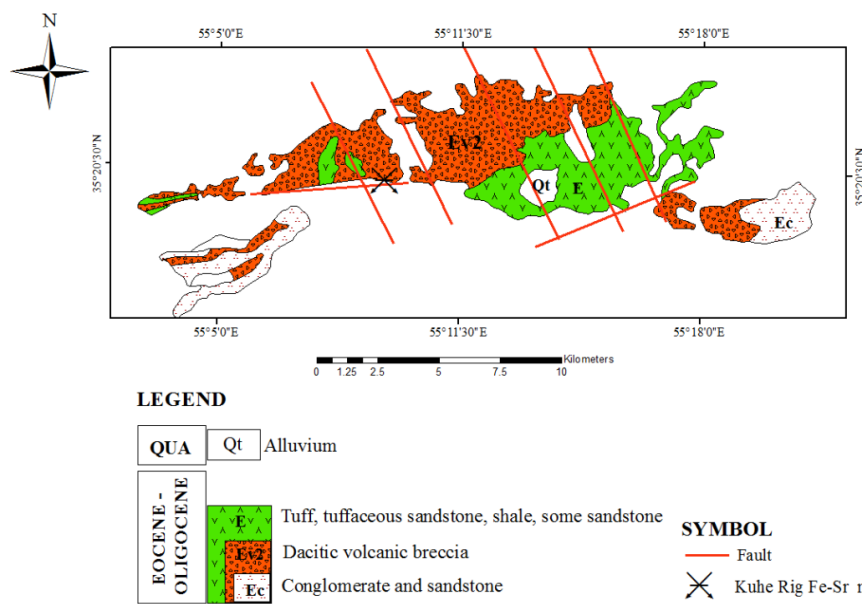
در محدوده مورد مطالعه قدیمی‌ترین واحد سنگی و چینه‌شناسی را به ترتیب واحدهای چینه‌ای کامبرین و جوان‌ترین آن‌ها را رسوبات عهد حاضر تشکیل می‌دهند (شکل ۲-۲ تا ۴-۲). سازمان زمین‌شناسی و معنی کشور در سال ۱۳۵۷ واحدهای سنگی رخنمون یافته در منطقه ترود را از قدیم به جدید این‌گونه طبقه‌بندی کرده است:



شکل ۲-۲: نقشه ساده زمین‌شناسی منطقه ترود برگرفته از نقشه ۱:۲۵۰۰۰۰ (Alavi and Haghipour, 1976) نشان-دهنده واحدهای سنگی پر کامبرین تا عهد حاضر است.



شکل ۳-۲: ستون چینه‌شناسی ناحیه‌ای از واحدهای سنگی موجود در جنوب شاهروд (منطقه ترود) واحد میزان کانه‌زایی سنگ‌های آتشفشاری - رسوبی اتوسن می‌باشد.



شکل ۴-۲: نقشه زمین‌شناسی از منطقه ترود در جنوب شاهرود بر اساس نقشه ۱/۲۵۰۰۰ Alavi and Haghipour, 1976 که نشان‌دهنده واحدهای سنگی رخنمون یافته در منطقه و موقعیت کانسار آهن - سلسیت کوه‌ریگ می‌باشد.

۲-۱-۲- پرکامبرین

قدیمی‌ترین واحد سنگی که از نوع دگرگونی (گنیس، شیست و ...) می‌باشد که در کوه شتر با گسترش محدود در شرق منطقه مطالعاتی دیده می‌شود (حقی‌پور، ۱۳۴۰).

۲-۲-۲- کامبرین

سنگ‌های دوره کامبرین به صورت محدود در بخش غربی جاده مارکوه رخنمون دارند این واحد متشكل از دولومیت‌های سیاه رنگ با لایه‌ها و گره‌های سیلیسی و دولومیت‌های نواری خاکستری – قهقهه‌ای است که با طبقات کمتری از دولومیت‌های ماسه‌ای صورتی رنگ و شیل‌های قرمز رنگ و آهک توده‌ای در تناوب است (Alavi and Haghipour, 1976).

۲-۲-۳- سیلورین - دونین

واحدهای سنگی سیلورین - دونین در شمال گسل انجیلو گسترش وسیعی دارند و این واحدها تحت تأثیر دگرگونی ناحیه‌ای قرار گرفته‌اند. سنگ‌های سیلورین شامل سازند نیور و سنگ‌های دونین شامل سازندهای پادها، سیبزار و بهرام می‌باشند که سازند نیور، سیبزار و بهرام را به نام سری بزکوه می‌گویند (علوی و هوشمندزاده، ۱۳۵۲). سری بزکوه از رسوباتی با منشأ آواری و کم عمق از قبیل ماسه- سنگ، کنگلومرا، شیل، دولومیت و سنگ‌های آتشفسانی تشکیل شده‌اند و سازند آهکی بهرام با تداوم آشکار بر روی سازند سیبزار قرار گرفته است که تناوبی از لایه‌های ماسه‌سنگ و شیل و گچ و گدازه- های آتشفسانی را دارد. در اینجا نهشته‌های آواری سازند نیور و پادها تناوبی از سری شیست، ماسه- سنگ و آهک سیاه‌رنگ همراه یک لایه دولومیتی با شیل‌های قرمز و سبز رنگ و لایه‌های دولومیتی نازک دارند، با تغییر رژیم رسوبگذاری طبقاتی از کربنات، لایه‌های زیرین را می‌پوشاند که شامل سازند سیبزار (دولومیت) و لایه بندی خوب آهک خاکستری بر روی آن می‌باشد.

۴-۲-۲- پرمین

در ناحیه ترود در شمال گسله انجیلو رسوبات کربونیفر دیده نمی‌شود و سنگ‌های پرمین مستقیماً بر روی سازند بهرام قرار گرفته‌اند و در این ناحیه سنگ‌های پرمین با یکسری رسوبات آواری شروع می‌شود که شباهت بسیار به سازند درود البرز دارد. بر روی این رسوبات آواری تناوبی از لایه‌های آهک فوزولین‌دار و برآکیوپوددار و دولومیت خاکستری زرد و روشن دیده می‌شود. این واحد کربناتی شبیه سازند جمال است. این سازند در جنوب گسل انجیلو (کوه بیل بن) دچار دگرگونی ناحیه‌ای شده و به شبیه‌های سبز و مرمرهای خاکستری و تناوبی از کوارتزیت تیره و آهک‌های نازک لایه تبدیل شده‌اند .(Alavi, 1971)

۵-۲-۲- تریاس زیرین و میانی

این واحد سنگی در شمال گسل انجیلو دچار فرسایش شدید پس از لیاس شده است، لذا گسترش محدودی دارد و شامل ماسه سنگ کوارتزی. شیل قرمز رنگ و دولومیت خاکستری روشن با لایه‌بندی خوب (۱۶۰ متر) که قابل مقایسه با سازند سرخ شیل است (Alavi, 1971).

۶-۲-۲- تریاس بالایی - لیاس

چون در ناحیه ترود رسوبات تریاس بالا بدون قطع شدگی و بدون تغییر به رسوبات لیاس (ژوراسیک پایینی) می‌پیوندد لذا به این مجموعه سازند شمشک اطلاق می‌شود. این سازند با دگرگشیبی کمی روی دولومیت‌های پرموتریاس می‌نشیند و متشکل از شیل‌های زغال‌دار، ماسه‌سنگ و شیل‌های آهکی- رسی می‌باشد. این واحد سنگی در شمال گسل انجیلو بر عکس تریاس زیرین گسترش خوبی دارد و گسترش محدود آن در کوه بیل بن در جنوب گسل انجیلو دیده می‌شود (Alavi, 1971).

۲-۷-۲- دوگر(سازند بادامو و بغمشاه)

در شمال گسل انجیلو رسوبات خشکی‌زا (Terrigene) و آواری تشکیل شده است که دلالت بر خروج این ناحیه از آب در اواخر ژوراسیک دارد در قسمت پایین از آهک‌های ماسه‌ای و کنگلومراپی تشکیل می‌شود که قابل مقایسه با سازند بادامو است. در قسمت بالا تنابی از شیل‌های آهکی و ماسه‌ای که می‌توانند با سازند بغمشاه در ناحیه طبس مقایسه شوند، وجود دارند. در جنوب گسل انجیلو این دو واحد بادامو و بغمشاه عمدتاً در قسمت‌های شرقی ناحیه مورد مطالعه قرار دارند که تحت تأثیر دگرگونی ناحیه‌ای قرار گرفته‌اند (Alavi, 1971).

۲-۸-۲- کرتاسه

دریایی کرتاسه با پیشروی خود رسوب‌های آواری قرمز رنگ را در زیر پدید آورده و با نشست کف آن و تغییر رژیم رسوبگذاری به تنابی از آهک و شیل تبدیل کرده است. این تناب در پایین‌ترین بخش خود فسیل‌های مربوط به اپسین و در بالاترین قسمت فسیل‌های مربوط به سنونین و احتمالاً تا کامپانین را به دست می‌دهد. سرانجام دریا با پسروی خود دوباره رسوبات آواری قرمز رنگ را به جای می‌گذارد که جزء در غرب معدن سرب خانجار (معدن رشم) فرسایش ترشیر اثری از آن به جای نگذاشته است. از نظر سنگ‌شناسی و چینه‌شناسی کرتاسه در سراسر ناحیه وضعیت نسبتاً یکسانی دارد و تمام سازندهای پیش از خود را با یک دگرشیبی زاویه‌ای که گاه به ۸۰ درجه می‌رسد (کوه خرگوشی) می‌پوشاند (Alavi, 1971).

۲-۹-۲- ترشیر

ترشیر با فعالیت آتشفسانی آغاز می‌گردد که مربوط به جنبشهای کوهزایی لارامین است که در ائوسن به اوج خود رسیده است. و در ناحیه ترود در رشته کوه‌های ترود - چاه شیرین گسترش زیادی دارند. این رسوبات با ترادف‌های ضخیمی از سنگ‌های آتشفسانی از نوع توف داسیتی و گدازه‌های آندزیتی و

کانی‌های عمدۀ آن‌ها پلاژیوکلاز، پیروکسن (اوژیت) و بیوتیت است. پلاژیوکلاز‌ها دگرسان شده به سریسیت و کانی‌های مافیک به کلریت تبدیل شده‌اند. طبیعت سالم پیروکسن‌ها مبین آن است که این سنگ‌ها در محیطی زیر هوایی (subaerial) و در کنار حوضه‌های رسوی تشکیل شده است. کنگلومرا قاعده ائوسن ضخامتی متغیر بین ۰-۷۰۰ متر دارد و مارن‌های گچ‌دار در این‌جا بیش‌تر می‌باشد. نشست کف حوضه رسوی و پیشروی دریا در اواسط ائوسن با یک واحد کنگلومرا ای آغاز می‌گردد سپس رسوبات کف دریایی نومولیت‌دار ائو-الیگوسن که معرف محیط کم عمق هستند در بی کنگلومرا می‌آیند که ضخامتی در حدود ۳۵۰۰ متر ممکن است داشته باشند. بعد از آن با بالا آمدن کف دریا یک رژیم آواری بر سراسر ناحیه حکم‌فرما شده است و سازند قرمز را به جای گذاشته است. در اواخر الیگوسن با نشست دوباره کف حوضه در مدتی نسبتاً کوتاه باز یک رژیم دریایی مستقر می‌گردد و تناوب آهک و شیل، سازند قم را به وجود می‌آورد. پس از این مدت شرایط دریایی برای همیشه از این ناحیه رخت بر بسته و یک رژیم آواری کولاپی حاکم شده است که سازند قرمز بالایی و سازند پلیو-پلیستوسن تا کواترنری محصول آن هستند (Alavi and Haghipour, 1976).

۳-۲- ماگماتیسم در منطقه

ناحیه مورد بررسی از قدیمی‌ترین زمان‌های زمین‌شناسی شاهد فعالیت‌های ماگمایی بوده است. این فعالیت‌ها در دوران اول و دوم به فراخور حوادث تکتونیکی کم کم آغاز می‌شود و در دوران سوم به اوج خود می‌رسد و از حجم قابل ملاحظه‌ای از سنگ‌های آذرین، در میان توالی‌های این دوران برخوردار است. بستگی فعالیت‌های ماگمایی با تکتونیک منطقه چنان واضح است که جایی برای بحث نمی‌گذارد ولی شدت آن با چه نوع حرکاتی می‌توانسته همراه باشد، مسئله‌ای در خور تأمل است. مثلاً در آغاز دوران اول فعالیت چشم‌گیر است و دلیل آن نیز حرکات کوه‌زایی است که این قسمت را از پهنه البرز جدا می‌کند ولی پس از آن علی‌رغم وجود این حرکات در طول دوران اول از فعالیت

ماگمایی خبری نیست البته شدت و ضعف این حرکات و فعالیت‌های ماگمایی به مکانیسم پیچیده حرکات، خواص فیزیکی کراتون و پوشش روی آن در مارن‌های مختلف، طبیعت مایعات بین آن‌ها و عوامل بسیار دیگری وابسته است (هوشمندزاده و همکاران، ۱۳۵۷).

۲-۳-۱ فازهای ماگمایی دوران اول

فعالیت‌های اصلی ماگمایی دوران اول با دوره سیلورین آغاز می‌شود. در شمال غرب ناحیه در بزرگوه به تنابه‌های مختلف از گدازه‌های آندزیتی بازالتی- تراکی آندزیتی در میان سازند نیور (سیلورین) دست می‌یابیم که حجم قابل ملاحظه‌ای از این سازند را شامل می‌شود. این گدازه‌ها بیشتر بالشی هستند و گاه با برش گدازه و گاه با برش توف همراه است. پس از سیلورین تا پایان دوران اول فعالیت چشم‌گیری دیده نمی‌شود (Alavi, 1972).

۲-۳-۲ فازهای ماگمایی دوران دوم

فازهای ماگمایی دوران دوم در ناحیه ترود گسترش چندانی ندارد و بیشتر در قسمت‌های مرکزی و در محدوده بین گسل‌های انجلیو و ترود دیده می‌شود. اولین فاز در اواخر تریاس و در محدوده بین تریاس بالایی و میانی (کیمرین پیشین) اتفاق افتاده است که به صورت گدازه ضخیم آندزیتی، بین سازند شتری و نایبند مشاهده می‌شود. فاز دیگری که در طول دوران دوم ظهرور می‌کند در اواخر ژوراسیک است. در شرق و در شمال غرب روستای سهل در میان تنابو آهک، شیل و ماسه‌سنگ (سازند بادامو) به افق‌های چند متری از گدازه‌های آتشفسانی پیروکسن و آندزیت‌دار برمی‌خوریم که گسترش وسیعی ندارند. این گدازه‌ها اغلب حالت برشی دارند. از آنجا که سن ترادف‌های همراه این گدازه‌ها می‌تواند احتمالاً ژوراسیک میانی باشد می‌توان این فاز را با حرکات تکتونیکی پس از لیاس مربوط دانست. پس از این فاز تا پایان مژوزوئیک با وجود حرکات مهم اواخر ژوراسیک (کیمرین

پسین)، هیچ فعالیت ماقمایی به چشم نخورده است. شاید آن‌چه در سطح می‌گذرد با آن‌چه در عمق اتفاق می‌افتد هم‌آهنگ نیست.

باید اشاره کرد که توده‌های نفوذی گرانیتی و گرانودیوریتی واقع در کوههای بندهزارچاه و شتر (شمال تا شمال شرق) بر مبنای نقشه زمین‌شناسی خارتوران مربوط به این رخداد تکتونیکی می‌باشند.(Alavi,1972)

۳-۳-۲- فازهای ماقمایی دوران سوم

اگر فازهای ماقمایی دوران اول و دوم ضعیف، متفرق و در فواصل کوتاه زمانی اتفاق می‌افتد در ترشیری هم عوامل زمین‌شناسی تحت تأثیر فعالیتهای ماقمایی قرار می‌گیرد و محصولات آن سراسر ناحیه را از توف و گدازه و توده‌های مختلف نفوذی (گرانیت، گرانودیوریت و دیوریت) می‌پوشاند و حجم قابل ملاحظه‌ای را از ترادف‌های این دوران به خود اختصاص داده است.

فعالیت ماقمایی سنوزوئیک در ائوسن میانی و در پی آمد آن فاز لارامین آغاز می‌گردد که در اوایل ائوسن پسین متوقف می‌شود سپس در اواخر ائوسن پسین یا الیگوسن پیشین فعالیت دوباره از سر گرفته شده است که پی‌آمد آن فاز آلپین میانی- پیرنه بوده است ولی شدت آن با مقایسه پریود اول، چندان بالا نبوده است و سریع خاموش شده است. تغییر این پریودها تنها در شمال انجلیو واضح است و در قسمت‌های مرکزی و جنوبی وضع چنان است که چنین قضاوتی را دشوار و یا ناممکن می‌سازد. پس از خاموشی الیگوسن پسین، فعالیت ماقمایی دوباره از سر گرفته شده است ولی تعیین زمان دقیق آن میسر نیست، چرا که محصولات آن به صورت دایک، سیل و توده‌های نفوذی ظاهر شده‌اند که تمامی ترادف‌ها تا الیگوسن را می‌پیماید.

در جنوب گسل ترود، در میان طبقات تحتانی سازند قرمز بالایی، گدازه‌هایی از آندزیت پیروکسن‌دار در بخش M1 ظهرور میابد که با توجه به سن این سازند به میوسن مربوط می‌شود. در شمال گسل انجیلو فعالیت ماقمایی با تناوب‌هایی از جنس آندزیت پیروکسن‌دار و توف‌های داسیتی همراه است. بیشترین فعالیت در نوار بین کوههای ترود – رشم دیده می‌شود. در اینجا فعالیت ماقمایی با خروج گدازه‌های آندزیتی آغاز می‌شود که بیشتر از ۷۰۰ متر ضخامت دارد و سپس به تناوبی از برش گدازه، برش توف و مقادیر کمتری توف می‌انجامد. بیشتر حجم (۲۰۰۰ متری) محصولات ماقمایی این قسمت را آندزیت تشکیل می‌دهد، پس از یک زمان طولانی به تناوب اسیدی و بازی می‌شوند.

در واقع فعالیت‌های ماقمایی ترشیری در نوارهای معینی انجام شده که توسط گسل‌هایی با جهت N-E-70 تعیین می‌شوند. یعنی واکنش‌هایی که ناحیه نسبت به نیروی اصلی وارد بر آن نشان داده است، فضاهای کم انرژی با جهات مختلفی ایجاد کرده است که می‌توانسته میزان توده‌های نفوذی و یا راه خروجی برای خروج ماقما باشد. چنان‌که دایک‌هایی با جهت N-40-E از ترک‌های کششی حاصل از حرکت چپ‌گرد گسلهای اصلی و دایک‌هایی با جهت W-N-40 از حرکت راست‌گرد بر همین گسله‌ها (به هنگام تاثیر نیروی اصلی کششی) استفاده کرده است و دایک‌های عظیم و طویل با جهت N-E-70 از فضاهایی سود برده است که در اثر حرکات قائم قسمت‌هایی از ناحیه در طول گسل‌های اصلی ایجاد شده است (Alavi, 1972).

۴-۲- تکتونیک و زمین‌شناسی ساختمانی

۱-۴-۲- سیستم گسل‌ها و چین‌ها

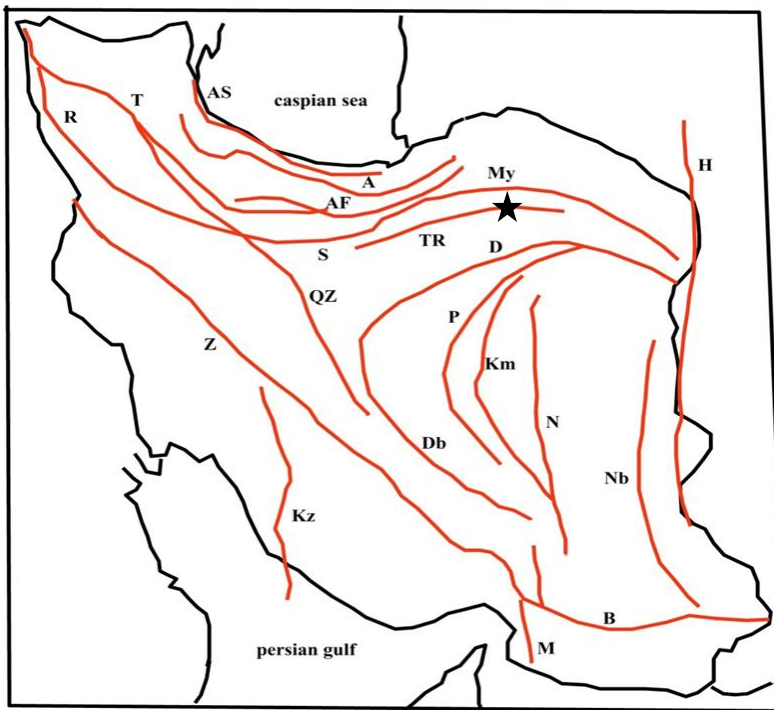
یک دسته گسل اصلی از کامبرین به بعد بر ناحیه تأثیر گذاشته‌اند که روند آن‌ها N-60-70-E است و شبیی نزدیک به قائم دارند. از آنجایی که این گسلهای زمان‌های طولانی و به کرات فعال بوده‌اند.

تعیین دقیق نوع حرکت آن‌ها ممکن نیست و تنها با شواهد زمین‌شناسی و چین‌خوردگی‌های مربوط به آن می‌توان در مورد آن‌ها قضاوت کرد.

تنها در مورد آخرین حرکات گسلهای جنوب رشته کوه‌های ترود- چاه شیرین می‌توان با توجه به خراش‌هایی که روی صفحات این گسلهای بر جای مانده است قضاوت نمود. به‌طور کلی حرکت این گسلهای دو صورت افقی و چپ‌گرد که قسمت جنوبی گسله را به سمت شرق می‌راند و دیگری عمودی که این قسمت را به طرف پایین می‌راند.

گسلهای دامنه جنوبی کوه‌های چاه شیرین که تشکیلات کرتاسه و ائوسن را جابجا کرده‌اند در زمان-های مختلف حرکات متفاوتی داشته‌اند. گاه ناحیه را در حال کشش و گاه در حال فشارش نشان می-دهند. محدوده مورد مطالعه روند شمال - جنوب (روند کالدونی) دارد این محدوده بین گسل‌های درونه و میامی- عطاری یا سمنان واقع شده است که قسمت غربی گسل میامی ممکن است به گسل عطاری و یا سمنان پیوسته باشد (شکل ۲-۵).

گسل‌های عطاری و سمنان پهنه‌های ایران مرکزی و البرز را از یکدیگر جدا می‌کنند. این دو گسل که نسبت به هم ۱۰ تا ۲۵ کیلومتر فاصله دارند ممکن است در دشت آهوان - قوشه به یکدیگر بپیونددند. به نظر می‌رسد که گسل عطاری و گسل میامی در اصل یکی بوده باشند و در شمال آن‌ها پهنه‌ی تدریجی بین ایران مرکزی و البرز قرار گرفته باشد (هوشمندزاده و همکاران، ۱۳۵۷).



شکل ۲-۵: گسل‌های اصلی ایران(نبوی، ۱۳۵۵) و موقعیت محدوده مورد مطالعه (ستاره)، گسل‌ها (البرز: A ، آبیک-فیروزکوه: AF، سمنان: S، تبریز: T، آستارا: AS، ارومیه: R، ترود: TR، میامی: My، درونه: D، قم-زفره: QZ، دهشیر-بافت: DB، پشت بادام: P، کلمرد: Km، هریود: H، نهیندان: N، ناییند: Nb، بشاغرد: B، زاگرس: Z، کازرون: Kz و میناب: M

۲-۴-۲- چین خورده‌ها

روند چین خورده‌ها در زمان‌های مختلف متفاوت است. روند چین خورده‌گی مربوط به اواخر تریاس

(فاز کیمرین پیشین) به علت ضعف آن و شدت چین خورده‌های بعدی مشخص نیست. چین

خورده‌گی بین ژوراسیک بالایی و کرتاسه زیرین (کیمرین پسین) در نوارهای بین گسله انجیلو و رشته

کوههای ترود - چاه شیرین دارای روندی به سمت شمال غرب-جنوب شرق که از W-40-N منتهی-

الیه غربی با W-20-N در مرکز و شمال کوههای دولتیار و باز تا W-40-N در جنوب شرق تغییر می-

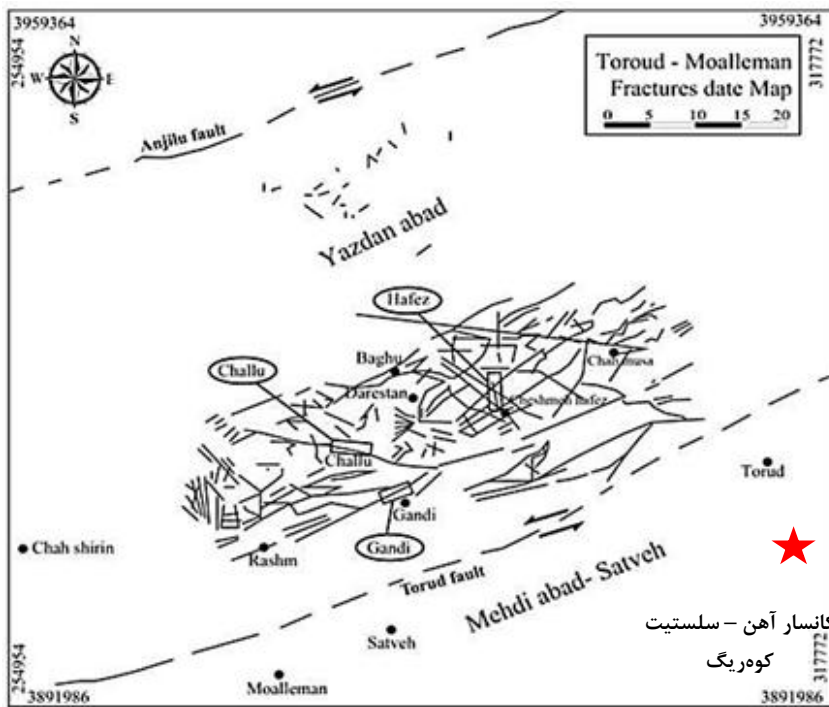
کند و به طور کلی حالت مارپیچ مانند می‌دهد.

چین خورده‌های پس از کرتاسه و پس از ائوسن (فاز لارامین) تاقدیس و ناودیس ملایمی را در

رسوبات کرتاسه در نوار بین گسل انجیلو و ترود نشان می‌دهند. چین خورده‌های پس از ائوسن

روندهای مختلفی دارند و اکثراً حتی در یک نوار از شمال تا شرق تغییر می‌کند. در ناحیه شمال گسل انجیلو بیشتر روند آن‌ها حدود N-70-E است. در گسل ترود – انجیلو نبود تشکیلات دوران سوم امکان قضاوتی را در این مورد غیر ممکن می‌سازد. در جنوب گسل ترود روندها مختلف است (شکل ۶-۲) چنان‌چه بین کوههای غار و رشم روند شمالی – جنوبی و در کوههای ترود دارای روند N-70-E است.

واکنش‌های مختلفی که ناحیه نسبت به نیروی اصلی وارد بر آن نشان می‌داده فضاهای کم انرژی با جهات مختلفی را ایجاد کرده می‌توانسته میزبان توده‌های نفوذی و یا راه خروجی برای خروج ماغما باشد (هوشمند زاده و همکاران، ۱۳۵۷).



شکل ۶-۲: نقشه‌ی شکستگی‌های شمال منطقه‌ی ترود – معلمان و جانمایی گسل‌های انجیلو ترود (برگرفته از کی‌نژاد، ۱۳۸۷).

۴-۳-۲- فازهای کوهزایی

ناحیه مورد مطالعه فازهای دینامیکی بسیاری از سرگذرانده یا به عبارت دیگر کلیه دوره‌های زمین-ساختی را می‌توان در این پهنه مشاهده کرد در ذیل به شرح آن‌ها می‌پردازیم.

۴-۳-۱- فاز کالدونین - هرسی نین

پس از استحکام حاصل از چین‌خوردگی پرکامبرین شاهد اولین حرکات در کامبرین می‌شویم که ناحیه را از البرز جدا می‌کند. اولین حرکات محسوس در اواخر اردویسین آغاز می‌شود و کف دریای سیلورین را بالا می‌آورد. در واقع حرکات خشکی‌زایی صورت می‌گیرد به‌طوری‌که از رسوبات متناوب آهک و شیل کامبرین و اردویسین به رسوباتی دست می‌یابیم که بیشتر آواری و نیمه خشکی است (سازند نیور). بالا آمدن دریا در سیلورین متوقف می‌شود و تا آخر دونین پیشین نشست می‌کند. بیشتر از ۱۰۰۰ متر رسوبات آواری- تخریبی از خود بجای می‌گذارد و در اواخر دونین پسین سریع می‌شود و دریایی دونین میانی را به عمقی می‌رساند که اهکهای سازند بهرام را در خود جای می‌دهد. پس از دونین پسین دور حرکات طیشی نسبتاً آرام پایان می‌پذیرد و ناحیه مورد مطالعه ما یکباره در کربونیفر از آب خارج می‌شود (هرسی نین). پس از این دوره ناحیه به سرعت نشست می‌کند و نهشته-های آواری پرمین زیرین شکل می‌گیرد (سازند درود) ولی آهنگ نشست چنان سریع است که مهلت زیادی برای تشکیل چنین رسوباتی نمی‌دهد و جای خود را به سرعت به رسوبات کربناتی می‌بخشد. در اواخر پرمین باز دریا بالا می‌آید و برخی از قسمت‌های ناحیه را احتمالاً به کلی از آب خارج نماید.

.(Alavi, 1972)

۴-۳-۲- فاز آلپین پیشین

این زمان با پیشروی دریایی تریاس آغاز می‌شود ولی این پیشروی در همه جا یکسان نیست چرا که حرکات پایان پرمین، منطقه را به نواحی و نوارهایی به شرح زیر تقسیم کرده است:

الف- ناحیه شمال گسل انجلو

- ب- نوار بین گسل انجلو و رشته کوه‌های ترود- چاه شیرین (کوه‌های دولتیار- مارکوه).
- ج- نوار کوه‌های شتر - ترود - چاه شیرین که احتمالاً در جنوب گسله ترود محدود می‌شود.
- د- ناحیه گسله ترود

علاوه بر اختلاف رسوبات میانی و بالایی در این نوارها که ممکن است به حرکات پس از تریاس میانی (کیمرین پیشین) ارتباط داشته باشد، لیتوژئی آن‌ها متفاوت است. باید ذکر کیم که عمدۀ کانسارها و مظاهر معدنی سرب محدوده مورد بررسی در نوار کوه‌های شتر کوه- ترود- چاه شیرین و کمتر در شمال گسل انجلو قرار دارند. همچنین وضعیت نوار ذکر شده پیچیده‌تر است، چنان‌چه در قسمت غربی آن رسوبات تریاس میانی و بالایی (سازند سرخ شیل و شتری) به‌کلی غایب است و سازند شمشک مستقیماً روی سازند جمال می‌نشیند ولی در منتهی‌الیه شرقی و دامنه‌های شترکوه، تریاس به ماسه‌سنگ توده‌ای ختم می‌شود جمعاً حدود ۲۰۰ متر ضخامت نشان می‌دهد. پس از این زمان‌ها تحولات عظیم دینامیکی آغاز می‌شود و حرکات قائم کم کم جای خود را به حرکات افقی می‌دهد و فازهای چین‌خورده‌گی یکی پس از دیگری آغاز به‌کار می‌کند ولی واکنش ناحیه در برابر این حرکات یکسان نیست و در طول نوارهای یاد شده اختلاف پیدا می‌کند.

مهمترین حرکات دوران دوم را می‌توان به سه فاز تقسیم نمود:

- الف- تریاس میانی و پسین (کیمرین پیشین)**
- ب- فاز ژوراسیک پیشین و کرتاسه پسین (کیمرین پسین)**
- ج- فازهای کرتاسه**
- فاز تریاس میانی و پسین (کیمرین پیشین)**

آثار این فاز در ناحیه مورد بررسی چندان محسوس نیست و بیشتر به یک فاز خشکی‌زایی می‌ماند تا فاز کوه‌زایی در شمال گسل انجیلو این فاز با یک دگرگشیبی ضعیف سازند نایبند روی سازندهای قدیمی‌تر مشخص می‌شود.

در نوار شتر - ترود - چاه شیرین در قسمت غربی این نوار (کوه‌های رشم - چاه شیرین) سازند شمشک ظاهرًا بدون هیچ دگرگشیبی مستقیماً روی سازند جمال می‌نشیند (Alavi, 1972).

فاز ژوراسیک پسین و کرتاسه پیشین (کیمیرین پسین)

از نظر رخدادهای تکتونیکی این فاز مهم‌ترین فاز تاریخ زمین شناسی ناحیه ترود می‌باشد. در شمال گسل انجیلو رسوبات کرتاسه زیرین با رسوبات ژوراسیک یک دگرگشیبی با زاویه‌ای حدوداً ۲۰ درجه می‌سازد و فارق این دو، کنگلومراًی سرخ رنگی است که دال بر پیشروی کرتاسه است. در نوار رشتہ کوه‌های شتر - ترود - چاه شیرین چین خوردگی بسیار شدید و توأم با یک دگرگونی دیناموترمال است (Alavi, 1972).

فاز کرتاسه

پس از چین خوردگی فاز کیمیرین پسین ناحیه به‌طور عموم و مستقل از نوارهای تکتونیکی که شرح داده شدند شروع به نشست می‌کند و دریای کرتاسه پایینی تقریباً همه جا را فرا می‌گیرد. پس از آن در آلپین پایینی تا اوایل تورونین حرکات به سمت بالا بوده، در تورونین ناحیه دوباره نشست می‌کند و در کنیاسین به بعد بالا می‌آید و در ماستریشتین از آب خارج می‌شود (Alavi, 1972).

۴-۳-۴-۳- فاز ترشیری (فاز لارامین - آلپین میانی، آلپین پسین)

آن حالت یکنواختی که در کرتاسه در ناحیه حکم‌فرما شده بود در ترشیری به هم می‌خورد و باز بین نوارها اختلاف می‌افتد و جالب آن که در طول یک نوار نیز این وضعیت ثابت نمی‌ماند.

دوران سوم حالتی بین حرکات کوهزایی و قاره‌زایی دارد یعنی گاه بین دو ترادف پیش و پس از فاز دینامیک اصولاً زاویه‌ای دیده نمی‌شود و یا این زاویه اندک است. در واقع با توجه به آنچه شرح داده شد به جز فاز کیمیرین پسین هیچ‌کدام از فازهای تکتونیکی یک چین‌خوردگی شدید و عمومی به‌دست نمی‌دهد.

به‌نظر می‌رسد اوج حرکت فاز لارامین در پالتوسن بوده که اوایل ائوسن نیز پایان آن و آغاز حرکت بازگشته می‌باشد. این فاز اثرات مهمی بر ناحیه داشته و آن را برای همیشه به نوارهای متعددی از قبیل نوار شمال گسل انجیلو، نوارهای بین گسل انجیلو و ترود و نوارهای جنوب گسل ترود تقسیم می‌کند. چنان‌که رسوبات دریایی ائوسن تا الیگوسن در پایین شمال گسل انجیلو بیش از ۳۰۰۰ متر ضخامت دارد. در نوار بین گسل انجیلو و گسل ترود که تقریباً فاصله‌ای کمتر از ۱۰ کیلومتر با نوار شمال گسل انجیلو دارد پس از کرتاسه هیچ نوع رسوبی دیده نمی‌شود. در نوار کوههای شتر - ترود - چاه شیرین که کلاً از سنگ‌های آتشفسانی تشکیل شده‌اند طبقات کنگلومرا و ماسه‌سنگ‌های قرمز رنگ نیز وجود دارد و بالاخره در جنوب گسل ترود ضخامت رسوبات دریایی از ۶۰۰ متر تجاوز نمی‌کند. از سوی دیگر فاز لارامین یک چین‌خوردگی نسبتاً ملایم نیز به همراه دارد چنان‌که هرجا ائوسن مستقیماً روی کرتاسه می‌نشیند با یک دگرشیبی زاویه‌ای همراه است.

حرکات تکتونیکی پس از ائوسن شدت نسبتاً کمتری داشته است. حرکات آلپین میانی (پیرنه) به صورت عمومی بوده است؛ در حالی که حرکات اواخر الیگوسن باعث چین‌خوردگی مختصی می‌شود که نشانه آن دگرشیبی زاویه‌ای بین سازند کم عمق قم و سازند قرمز پایینی در شمال گسله انجیلو می‌باشد.

اواخر میوسن کم شدن عمق دریا و تشکیل سازند قرمز بالایی، مقدمه حرکاتی است که در اواخر پلیوسن باعث چین خوردگی طبقات می‌شود (آلپین پسین)؛ به طوری که نهشته‌های پلیو-پلیستوسن با دگرشیبی زاویه‌ای روی تمام طبقات قدیمی‌تر خود می‌نشینند.

پس از پلیستوسن باز حرکاتی که باعث چین خوردگی می‌شود آغاز به کار می‌کند به طوری که نهشته‌های کواترنر و تراس‌های قدیمی روی یک بستر چین خورده قرار می‌گیرند. این حرکات هرگز از فعالیت باز نمی‌ایستند چنان‌که آبرفت‌های کواترنر با یک دگرشیبی آشکار روی تراس‌های قدیمی قرار می‌گیرند .(Alavi, 1972)

فصل سوم

زمین‌شناسی و سنگ‌شناسی

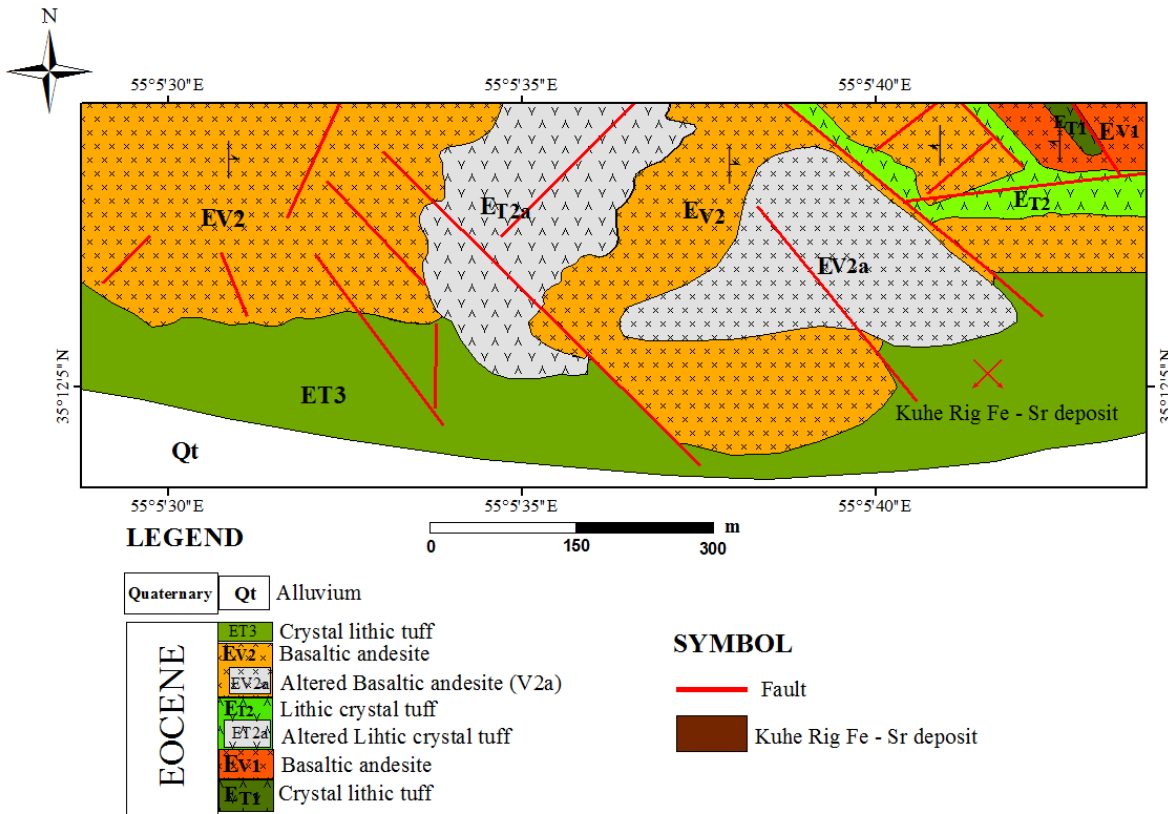
محدوده معدنی

۱-۳ - مقدمه

در این بخش، پتروگرافی ۵ گروه سنگی ناحیه از لحاظ دستی و مقطع میکروسکوپی مورد بررسی قرار گرفته است که تنابوی از سنگ‌های آذرآواری و سنگ‌های آتشفسانی است. از آن جا که توالی آتشفسانی – رسوی ائوسن میزبان کانه‌زائی آهن – سلسیت کوه‌ریگ می‌باشد. لذا سعی گردید تا با استفاده از نقشه ۱/۲۵۰۰۰۰ ترود، عملیات صحرایی صورت گرفته و مطالعات پتروگرافی، ستون چینه‌شناسی و نقشه زمین‌شناسی بزرگ مقیاس از محدوده مورد مطالعه تهیه گردید. بنابراین با توجه به ستون چینه‌شناسی محدوده مطالعه هر یک از واحدهای سنگی به ترتیب سن در زیر توضیح داده شده است.

۲-۳ - واحد سنگی منطقه مورد مطالعه

سنگ‌شناسی محدوده معدنی شامل تنابوی از سنگ‌های آذرآواری و سنگ‌های آتشفسانی که از قدیم به جدید عبارتند از: کریستال لیتیک توف، آندزیت بازالت، لیتیک کریستال توف، آندزیت بازالت و کریستال لیتیک توف می‌باشد. کانه‌زائی آهن – سلسیت و منگنز در واحد کریستال لیتیک توف (ET3) رخ داده است. در شکل (۲-۳ و ۳-۱) نقشه زمین‌شناسی و توالی چینه‌شناسی محدوده معدنی به صورت شماتیک رسم شده است.



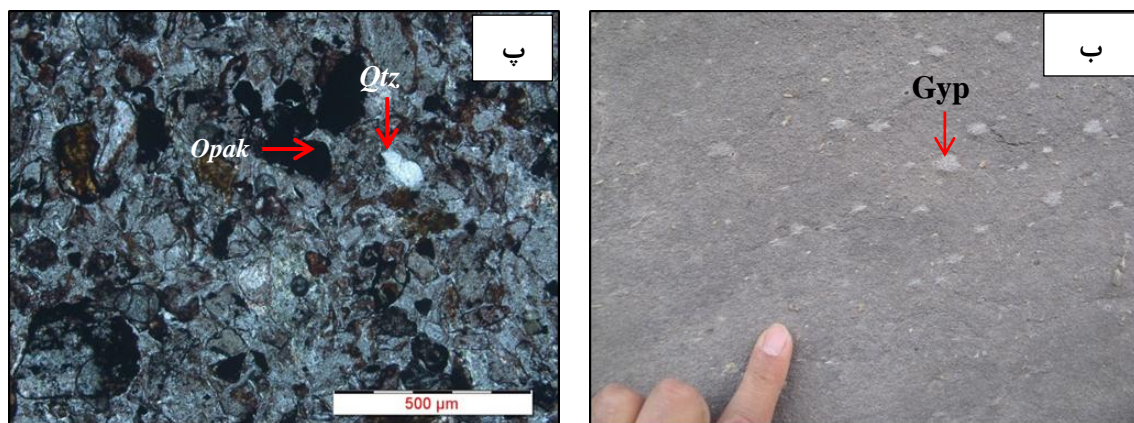
شکل ۳-۱: نقشه زمین‌شناسی بزرگ مقیاس محدوده معدنی کانسار آهن – سلسیت کوه‌ریگ

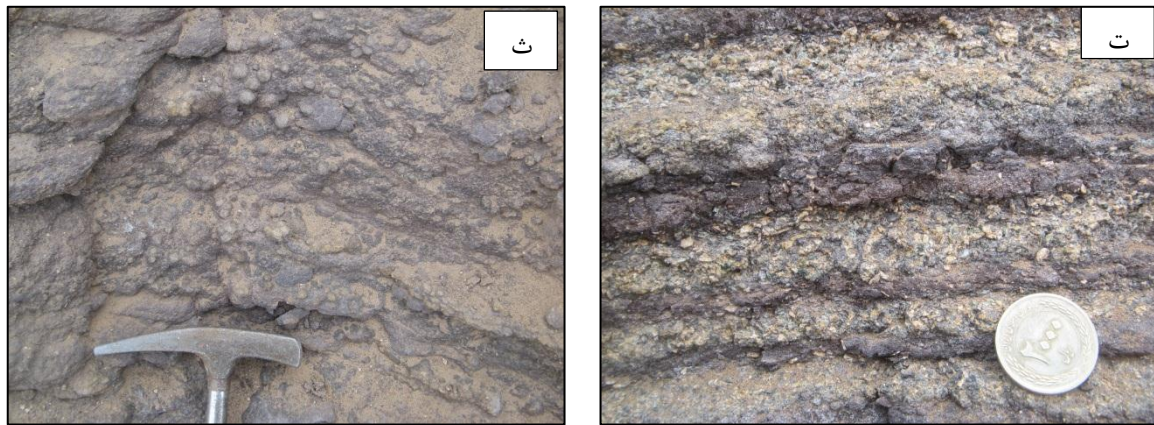
Age	Symbols	Lithology
Quaternary	Qt	Alluvium
Eocene	ET3 EV2 ET2 EV1 ET1	Crystal lithic tuff (host of Fe-Sr-Mn) Basaltic andesite Lithic crystal tuff (host of Sr) Basaltic andesite Crystal lithic tuff
10m		

شکل ۳-۲: ستون چینه‌شناسی محدوده معدنی کانسار آهن – سلسیت کوه‌ریگ

۱-۲-۳- کریستال لیتیک توف (ET1)

قدیمی‌ترین واحد سنگی در محدوده معدنی می‌باشد. در صورا به دلیل آغشته‌گی با اکسیدهای آهن به رنگ قهوه‌ای مشاهده می‌شود (شکل ۳-۳ الف، ب). بر اساس مطالعات میکروسکوپی اجزای تشکیل دهنده آن شامل قطعات سنگی (از جنس آندزیت بازالت) که بیشترین حجم سنگ را تشکیل می‌دهد و خردہ بلور شامل کوارتز و کانی‌های ثانویه شامل کلریت و سریسیت حاصل دگرسانی می‌باشند (شکل ۳-۳ پ)، در شکل (۳-۳ ت و ث) لاپیلی توف در واحد ET₁ نشان داده شده است.

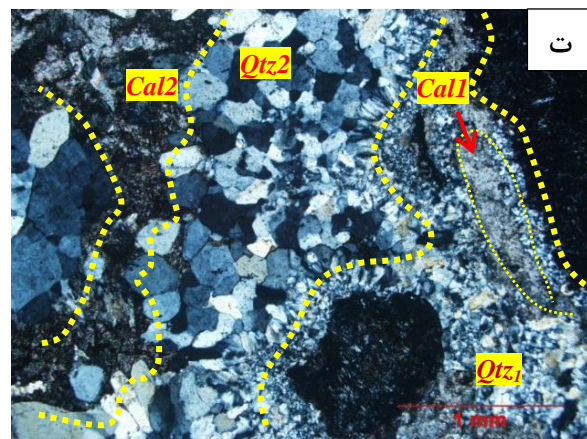
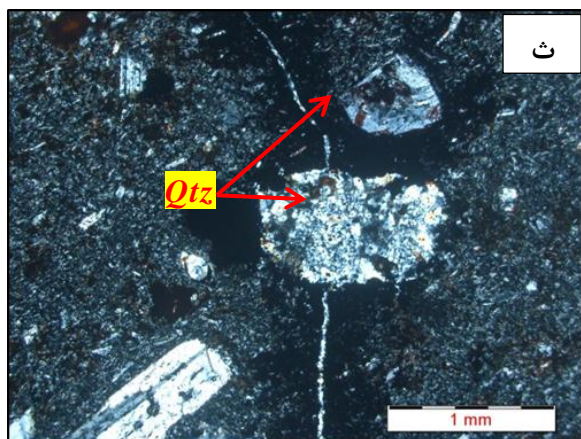
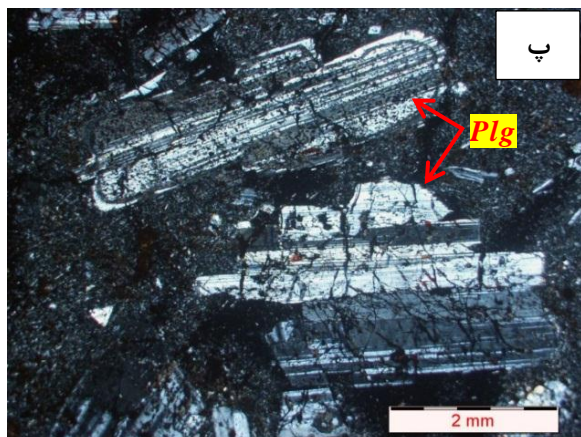
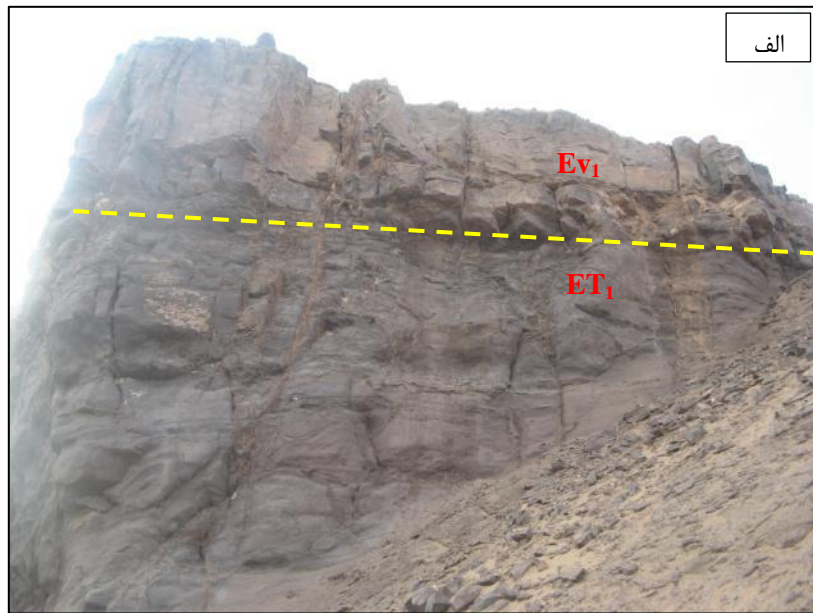




شکل ۳-۳: (الف) نمایی از واحد کریستال لیتیک توف (ET1)، (ب) نمایی نزدیک‌تر از واحد کریستال لیتیک توف، (پ) تصویر میکروسکوپی از کریستال لیتیک توف حاوی کوارتز (Qtz) و کانی اپک (Opak)، (ت و ث) لاپیلی توف

۳-۲-۲- آندزیت بازالت (EV1)

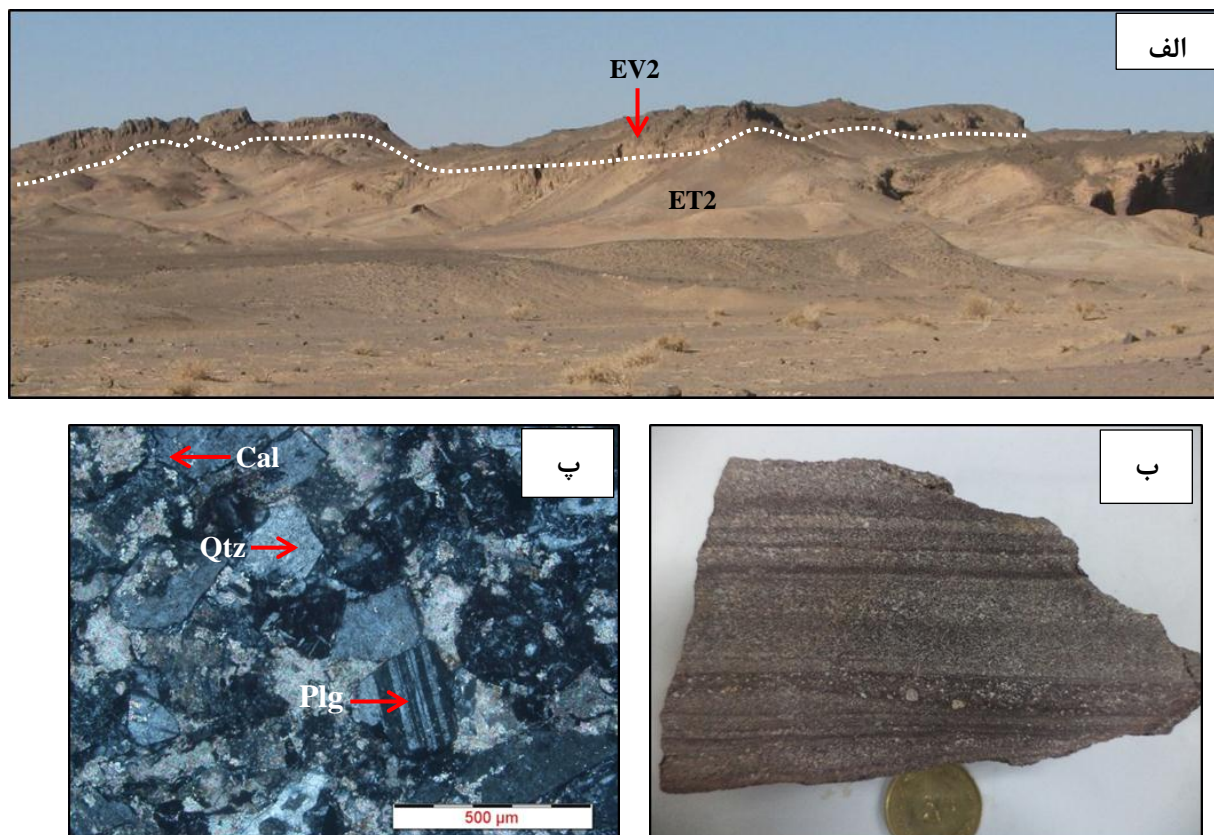
این واحد سنگی در صحراء به رنگ خاکستری و به طور موضعی به دلیل آغشتگی با اکسیدهای آهن به رنگ قرمز تا قهوه‌ای روشن مشاهده می‌شود (شکل ۴-۳ الف)، و حاوی فنوکریستلهای پلاژیوکلاز است که با چشم غیر مسلح دیده می‌شود و میزبان اصلی رگه - رگچه‌های کوارتزی می‌باشد (شکل ۴-۳ ب). کانی‌های اصلی تشکیل‌دهنده آن شامل پلاژیوکلاز با بافت غربالی و خودشکل با اندازه بیش از ۲ میلی متر و الیوین می‌باشد و کانی‌های ثانویه شامل کوارتز به صورت پرکننده حفرات و رگه‌ها (شکل ۴-۳ ت) و کلسیت می‌باشد کوارتز و کلسیت دارای دو نسل می‌باشد نسل اول با بلورهای ریز کوارتز و کلسیت مشخص می‌شود و نسل دوم که با بلورهای درشت کوارتز و کلسیت مشخص می‌شود (شکل ۴-۳ پ). بافت اصلی سنگ پورفیری می‌باشد، بلورهای درشت پلاژیوکلاز در متنی از میکرولیتهای پلاژیوکلاز قرار گرفته است.



شکل ۳-۴؛ الف) نمایی از واحد آندزیت بازالت، ب) نمایی نزدیکتر از واحد آندزیت بازالت، پ) تصویر میکروسکوپی فنوکریستهای پلاژیوکلاز (Plg)، ت) کانی‌های ثانویه در متن سنگ حاوی کواتز نسل اول (Qtz₁) و نسل دوم (Qtz₂) و کلسیت نسل اول (Cal₁) و کلسیت نسل دوم (Cal₂)، ث) کوارتز با بافت امیگدال و بافت رگه‌ای (Qtz)

۳-۲-۳- لیتیک کریستال توف (ET2)

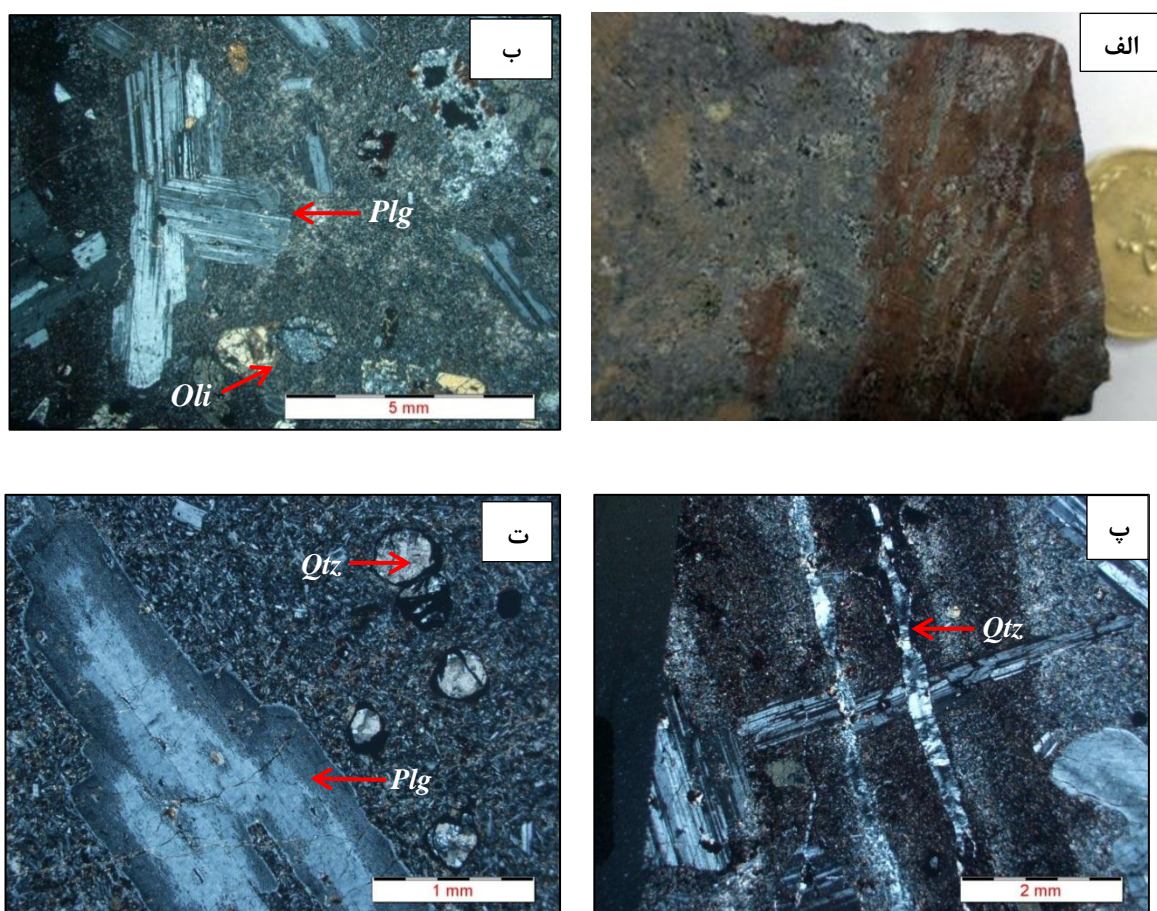
در دید صحرایی به رنگ قهوه‌ای و با ساخت نواری مشاهده می‌شود (شکل ۴-۳ الف و ب). بر اساس مطالعات میکروسکوپی بیشترین حجم سنگ را خردہ بلور و به میزان کمتر قطعات سنگی تشکیل می‌دهد، خورده بلورهای آن شامل کواتز با خاموشی موجی و پلازیوکلاز با ماکل پلی‌سنتیک، اندازه خورده بلورها (کوارتز، پلازیوکلاز) در حد ۲۵۰ میکرومتر می‌باشد و کانی‌های ثانویه آن شامل کلسیت می‌باشد (شکل ۴-۳ پ).



شکل ۴-۵: الف) تصویر صحرایی از واحد لیتیک کریستال توف دید به سمت شمال، ب) نمونه دستی از لیتیک کریستال توف، پ) تصویر میکروسکوپی از لیتیک کریستال توف حاوی پلازیوکلاز (Qtz) و کوارتز (Plg)

۴-۲-۳ - آندزیت بازالت (EV2)

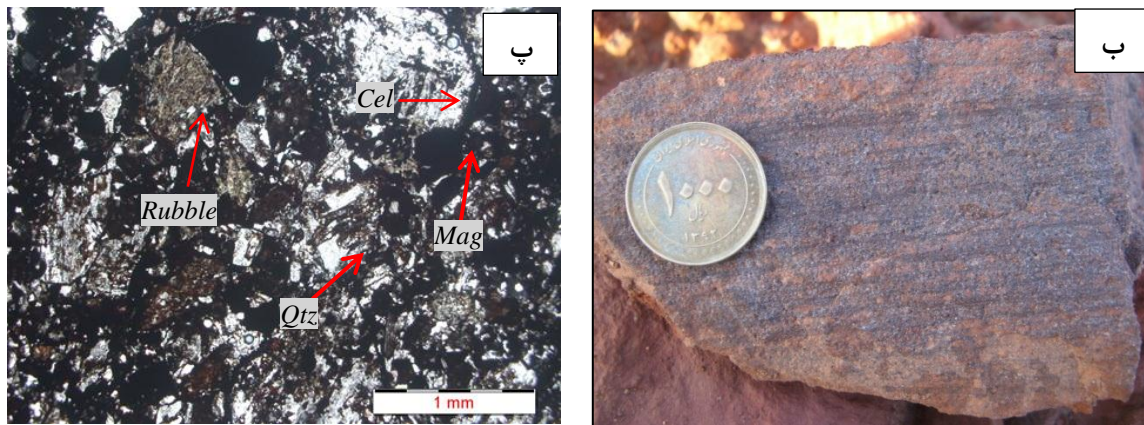
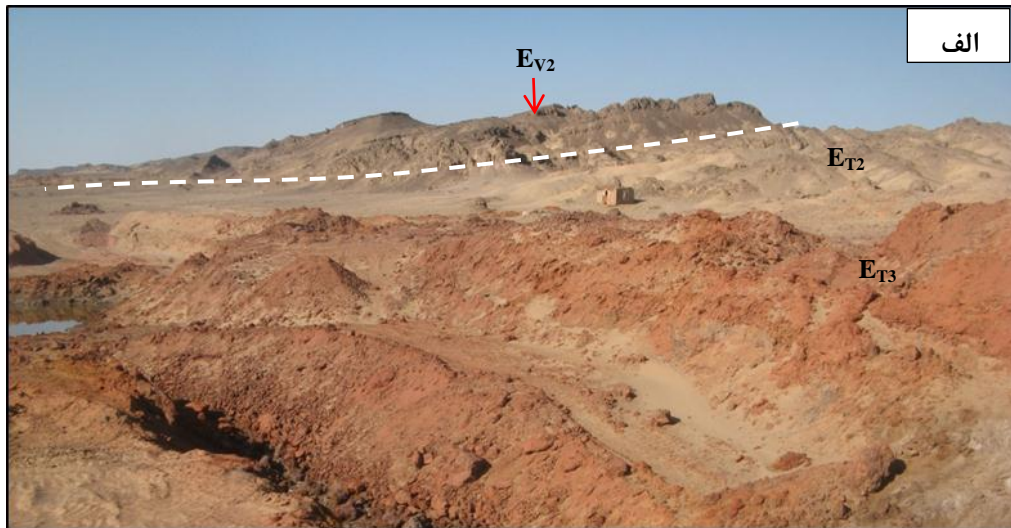
در صحراء به رنگ خاکستری تیره دیده می‌شود (شکل ۶-۳ الف). کانی‌های اصلی سازنده آن شامل فنوکریست‌های پلاژیوکلاز با اندازه بیش از ۵ میلی‌متر (شکل ۶-۳ ب)، با بافت تداخلی و غربالی و الیوین می‌باشد و کانی‌های ثانویه شامل کوارتز با بافت امیگدال (پرکننده کانی‌های دیگر و فضاهای خالی) و رگچه‌های قطع کننده سنگ (شکل ۶-۳ پ)، کلریت و کلسیت اشاره کرد. بافت شاخص سنگ بافت پورفیری است و فنوکریست‌های پلاژیوکلاز و حفره‌های کوارتزی در متنی از میکروولیت‌های پلاژیوکلاز قرار دارد (شکل ۶-۳ ت).

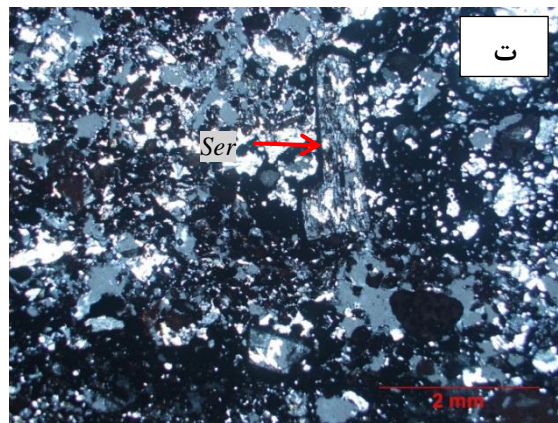


شکل ۶-۳: الف) نمونه دستی از آندزیت بازالت، ب) کانی‌های اصلی سنگ شامل فنوکریست‌های پلاژیوکلاز (Plg) و الیوین (Oli)، پ) رگچه‌های کوارتزی (Qtz) قطع کننده سنگ، ت) کوارتز با بافت امیگدال (Qtz)

۳-۵-۲-۳- کریستال لیتیک توف ET3

در دید صحرا به رنگ قهوه‌ای روشن مشاهده می‌شود، این واحد میزبان کانه‌زایی آهن - سلسیت کوه‌ریگ است (شکل ۷-۳ الف و ب)، این واحد توسط رسوبات کواترنری پوشیده شده است و رخمنون سطحی ندارد، و توسط حفر ترانشه رخمنون پیدا کرده است. بر اساس مطالعات میکروسکوپی اجزای اصلی سازنده آن شامل قطعات سنگی آتشفسانی که بیشترین حجم سنگ را تشکیل می‌دهد و خردہ بلور (شامل کوارتز، پلاژیوکلازهای سریسیتی شده، کلریت و بلورهای خودشکل سلسیت در متن سنگ) می‌باشد (شکل ۷-۳ پ و ت).

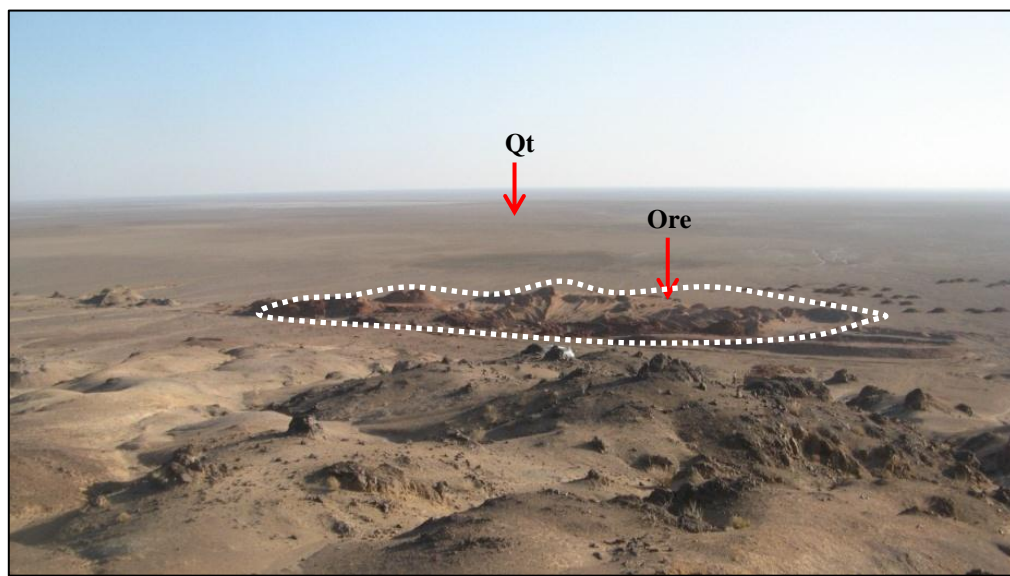




شکل ۳-۷: (الف) نمایی از واحد کریستال لیتیک توف (ET_3) ب) نمونه دستی از کریستال لیتیک توف با ساخت نواری پ و ت) تصویر میکروسکوپی اجزای سازنده کریستال لیتیک توف (خرده سنگ (Rubble)، کوارتز (Qtz)، سلسیت (Cls)، پلاژیوکلاز سرسیتی شده (Ser)

۳-۲-۶- کواترنری

آخرین واحد در ستون چینه‌شناسی محدوده معدنی کانسار کوه‌ریگ رسوبات کواترنری می‌باشد، و از نظر ریخت‌شناسی صاف و مسطح می‌باشد.



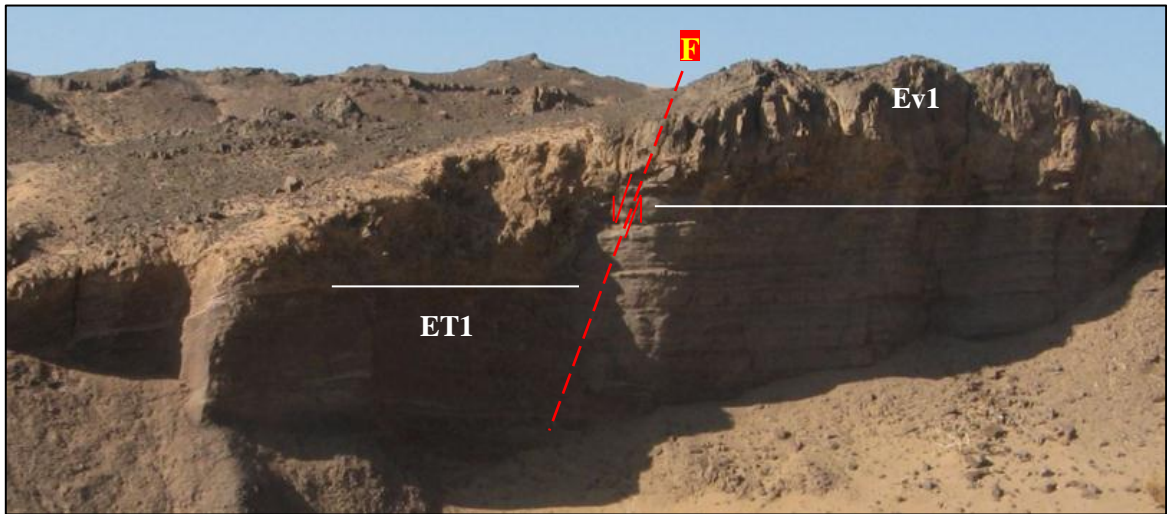
شکل ۳-۸: نمایی از واحد کواترنری واقع در کفه نمکی جنوب معدن (دید به سمت جنوب)

۴-۳- زمین‌شناسی ساختمانی محدوده معدنی

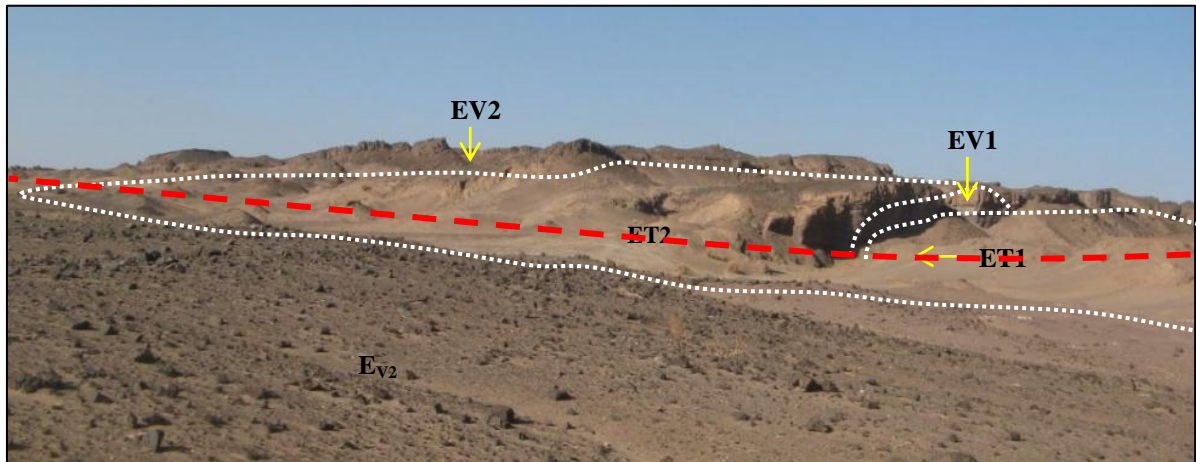
از عوامل ساختاری در منطقه می‌توان به گسل و چین خوردگی اشاره کرد. گسل‌ها و شکستگی‌ها مهم‌ترین عامل ساختاری در زمین‌شناسی منطقه هستند. مکانیسم گسلش در مراحل بعد همان‌طور که در شکل ۳-۱۰ و ۳-۱۱) مشاهده می‌شود باعث ایجاد گسل‌های عادی و گسل‌های امتداد لغز با مؤلفه راستگرد شده است (شکل ۳-۱۰ و ۳-۱۱). مکانیسم گسلش در منطقه باعث جابه‌جای کانسار و واحدهای سنگی محدوده معدنی شده است. تاقدیس کوهریگ دارای محوری با راستای شرقی - غربی می‌باشد و در اثر چین خوردگی واحدهای سنگی آتشفسانی و آذرآواری تشکیل شده است. کانسار آهن - سلسیت کوهریگ در یال جنوبی تاقدیس واقع شده است، شیب یال جنوبی تاقدیس زیاد می‌باشد، بصورتی که واحد ET_3 دارای شیب تقریباً ۹۰ درجه است (شکل ۳-۱۲).



شکل ۳-۱۰: نمایی از گسل‌های محدوده معدنی بر روی تصویر ماهواره‌ای از محدوده مورد مطالعه (علامت موقعیت کانسار آهن - سلسیت کوهریگ را نشان می‌دهد.



شکل ۱۱-۳: نمایی از گسل‌های نرمال در منطقه (دید به سمت غرب)



شکل ۱۲-۳: نمایی از تاقدیس کوه‌ریگ (خط چین قرمز محور تاقدیس را نشان می‌دهد)

فصل چهارم

کانه‌زایی و دگرسانی

۱-۴ - مقدمه

محدوده معدنی کوهریگ در حاشیه شمالی کویر مرکزی ایران رخنمون دارد. در این منطقه به دلیل فعالیت‌های گستردۀ ماقمایی - آتشفسانی و آتشفسانی - رسوبی صورت گرفته در ائوسن و الیگوسن، کانه‌زائی‌های مختلفی از عناصر منگنز، آهن، مس، سرب و روی رخ داده است. که از آن جمله می‌توان به کانه‌زائی‌های که در جدول (۱-۴) آورده شده است، اشاره کرد.

در این فصل سعی شده است در مورد رخسارهای کانه‌زایی و دگرسانی که در این محدوده معدنی رخنمون دارند توضیح داده شود.

جدول ۱-۴: کانسارهای مطالعه شده در منطقه جنوب ترود استان سمنان

نوبی‌سندگان	نوع کانی‌سازی
راستاد، ۱۳۷۹	طلای (مس) رگهای (باغو)
محمود فرد و همکاران، ۱۳۸۵	طلای اپی‌ترمال - فلزات پایه (گندی)
امام جمعه و همکاران، ۱۳۸۷	مس و سرب و روی رگهای (چاه‌موسی)
بهروز مهری، ۱۳۸۷	سرب و نقره (روی) (خانجار)
شاهوردی و همکاران، ۱۳۸۹	مس کلریدی علی نرخه (ترود)
بهزاد مهرابی، ۱۳۸۹	کانسار پلی متال چشمۀ حافظ
تاتاری و همکاران، ۱۳۹۱	آهن - اسکارن
باقرزاده و همکاران، ۱۳۹۳	منگنز آتشفسانی - رسوبی (ربیعی)
صالحی نسب و همکاران، ۱۳۹۴	مس - سلسیت رسوبی (بند قیچی)

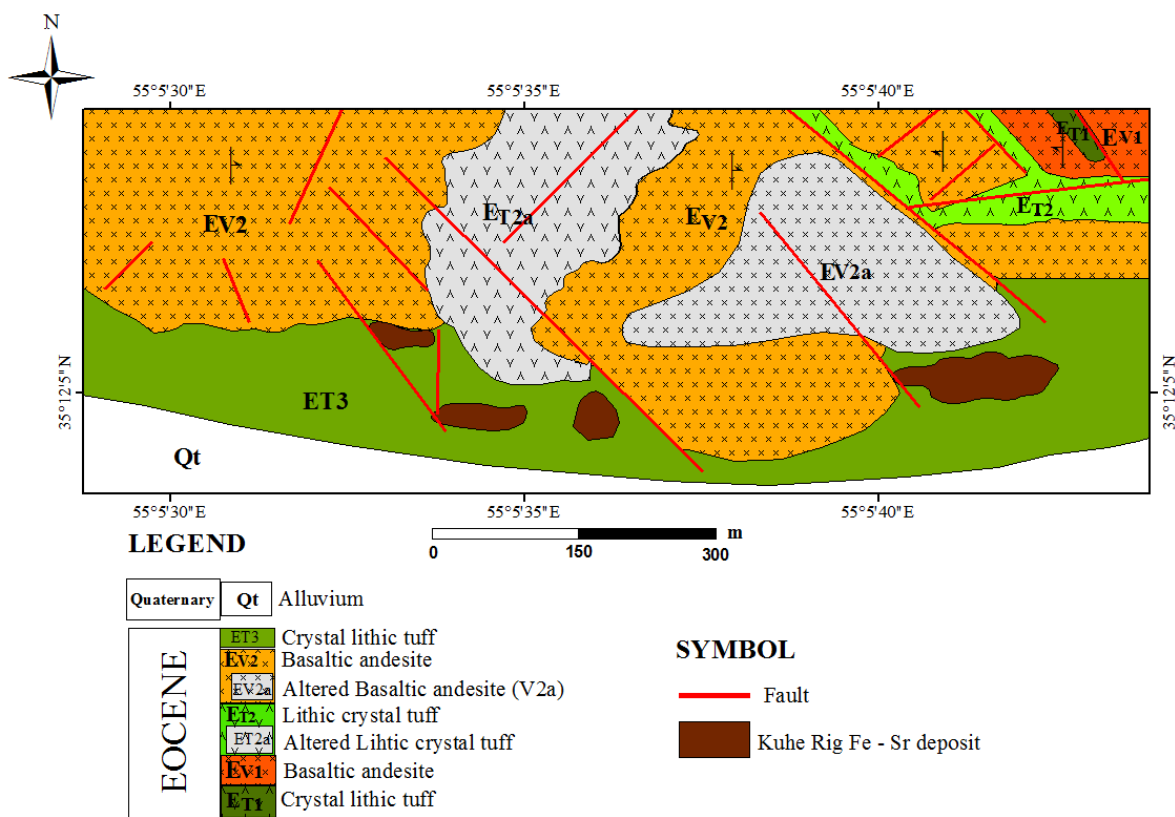
۲-۴ - رخداد کانه‌زایی آهن - سلسیت در محدوده مورد مطالعه

کانه‌زایی در منطقه کوهریگ شامل کانسارهای باریت رگهای، سلسیت، منگنز، آهن و مس است (شکل ۴-۱)، کانسار مورد مطالعه در یال جنوبی تاقدیس واقع شده است. میزبان کانسار آهن - سلسیت کوهریگ

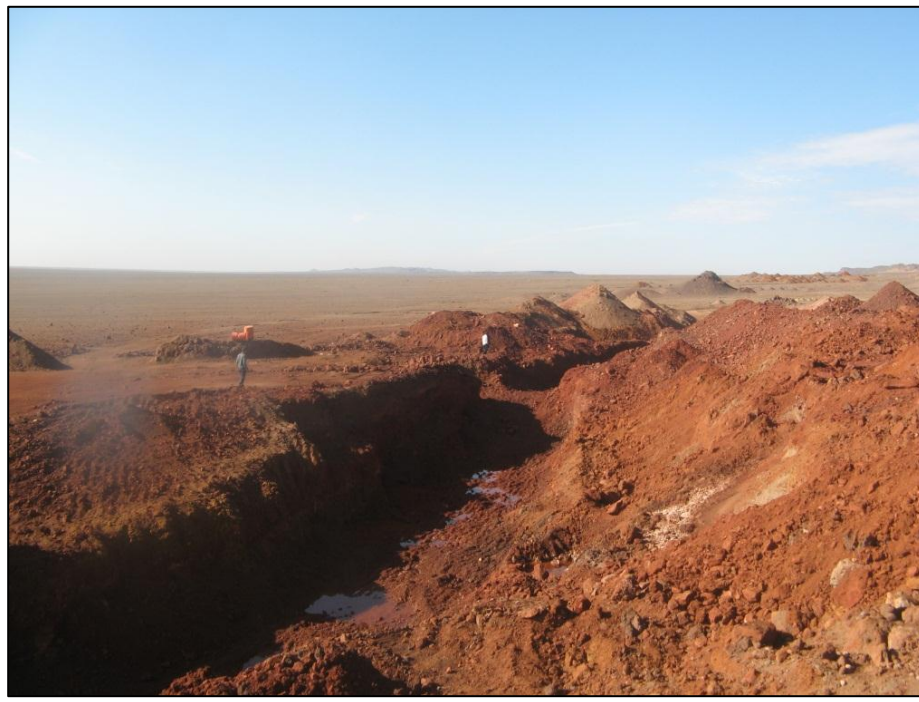
توالی آتشفشنایی - رسویی ائوسن (شکل ۴-۲) می‌باشد. کانه‌زائی در واحد کریستال لیتیک توف (ET3) رخداده است (شکل ۴-۳). توالی چینه‌شناسی کانسار از قدیم به جدید شامل: الف) بازالت، ب) لیتیک کریستال توف (صورتی رنگ)، پ) برش توف، ت) کریستال لیتیک توف (با نوارهای معدنی)، ث) توف سبز با نودول‌های سلسیت و ج) لیتیک کریستال توف حاوی منگنز می‌باشد (شکل ۴-۶).



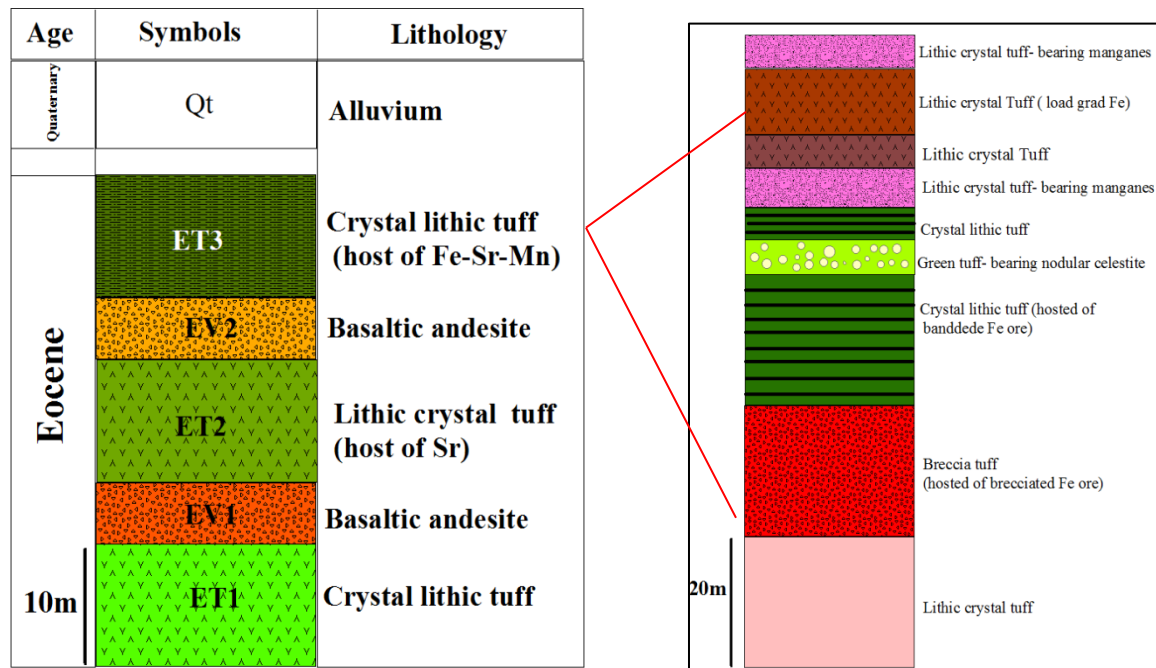
شکل ۴-۱: تصویر ماهواره‌ای از کانه‌زایی منطقه کوه‌ریگ که نشان‌دهنده کانه‌زائی متعدد آهن - سلسیت، باریت، باریت - مس و سلسیت می‌باشد.



شکل ۴-۲: نقشه زمین‌شناسی بزرگ مقیاس محدوده معدنی آهن - سلسیت کوه‌ریگ



شکل ۴-۳: نمایی از کانسار آهن - سلسیت کوهریگ (دید به سمت شرق)



شکل ۴-۴: ستون چینه‌شناسی محدوده معنده‌ی سنگی کانسار آهن - سلسیت کوهریگ و ستون چینه‌شناسی کانسار آهن - سلسیت کوهریگ

۳-۴- شکل هندسی ماده معدنی و رخساره‌های کانه‌دار

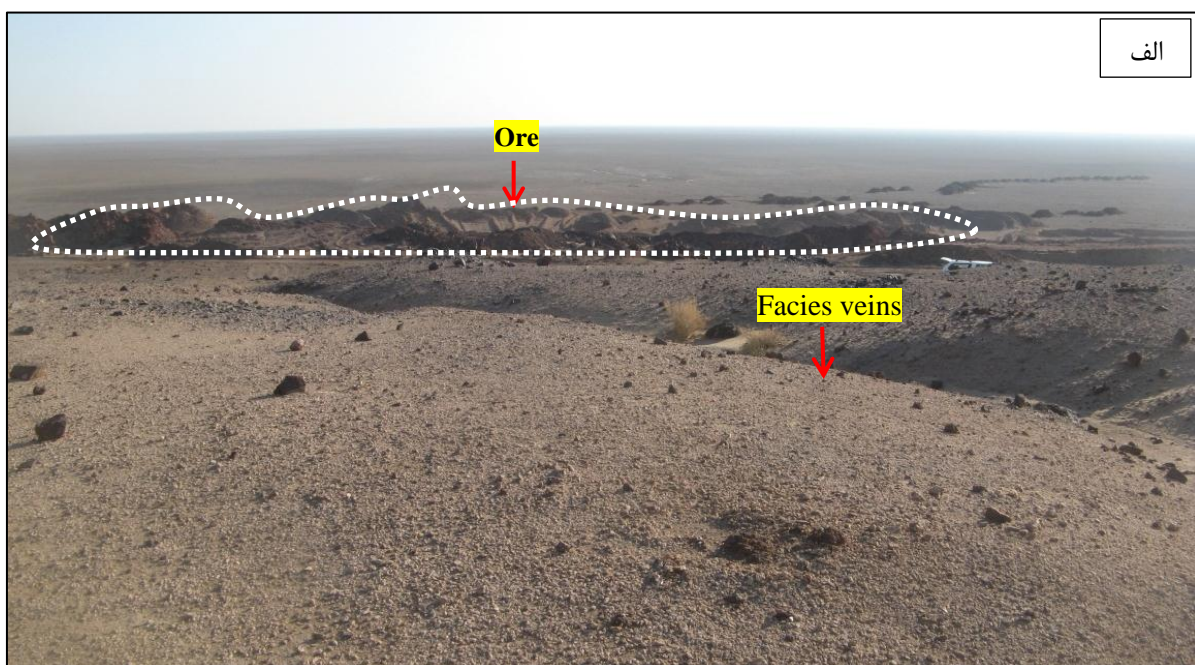
کانه‌زایی در کانسار آهن – سلسیت کوه‌ریگ به شکل هم‌رونده و موازی با لایه‌بندی است و گستره‌ای به طول ۷۰۰ متر را در بر می‌گیرد.

در کانسار آهن – سلسیت کوه‌ریگ بر اساس ویژگی‌های ساخت و بافت و کانی‌شناسی از پایین به بالا شامل سه رخساره گرمابی می‌باشد (شکل ۴-۵): که عبارتند از:

۱- رخساره رگه- رگچه‌ای

۲- رخساره برشی

۳- رخساره نواری (قابل ذکر است منشأ کانه‌های آهن‌دار گرمابی است و مکانیسم تهنشست آن رسوبی است، و منشأ گرمابی بودن آن مرسوم است).





شکل ۴-۵: نمایی از کانسار کوهریگ و رخسارهای کانه‌دار (دید به سمت جنوب) و ب) نمایی از رگه‌های کلسیت - باریت - کوارتز

۴-۳-۱- رخساره رگه - رگچه‌ای

رخساره رگه - رگچه‌ای در کانسار آهن - سلسیت کوهریگ در سنگ‌های کمر پایین و آذرآواری

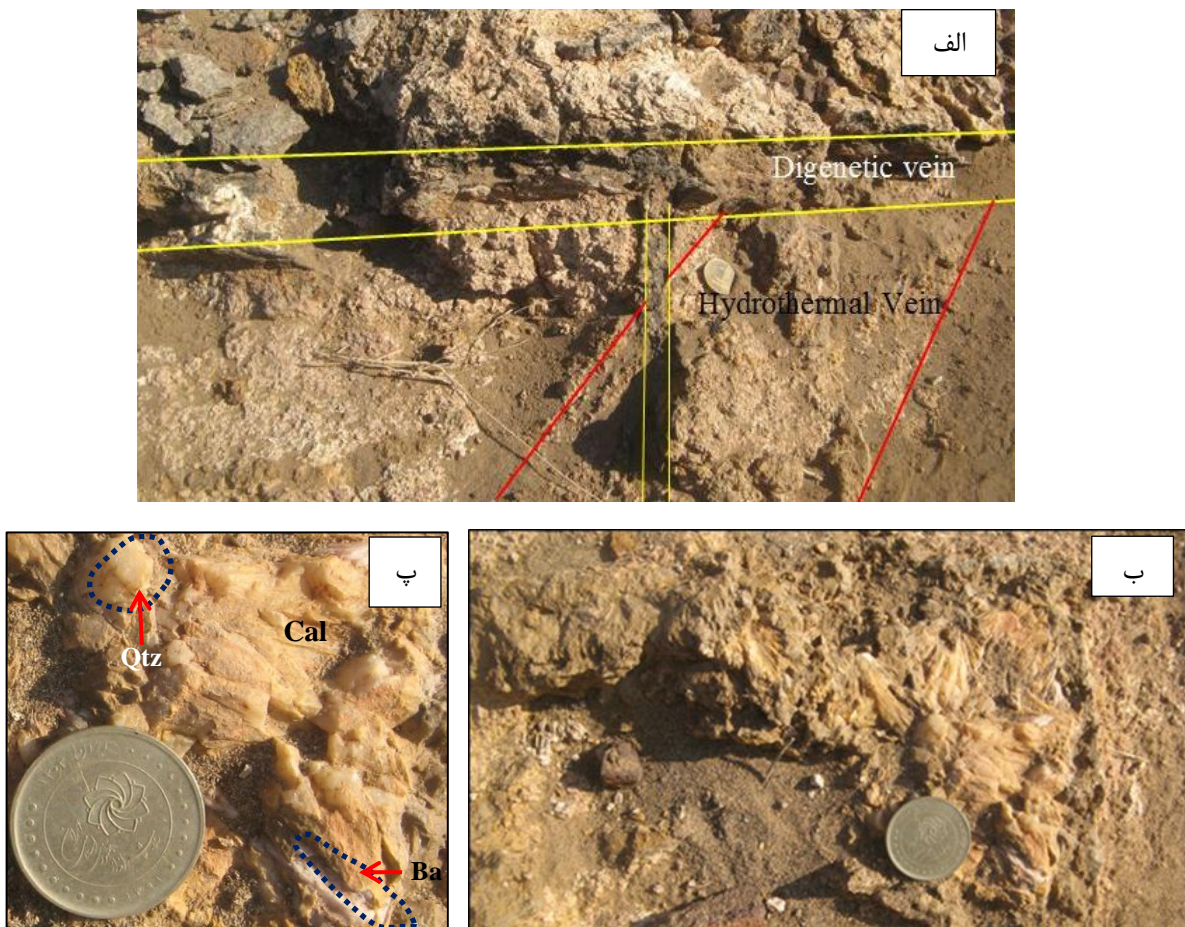
گسترش فراوان در محدوده معدنی دارد که حاوی دو نوع رگه - رگچه می‌باشد:

► رگه - رگچه‌های کلسیت - باریت - کوارتز گسترش در کمر پایین و دقیقاً در زیر کانسار با

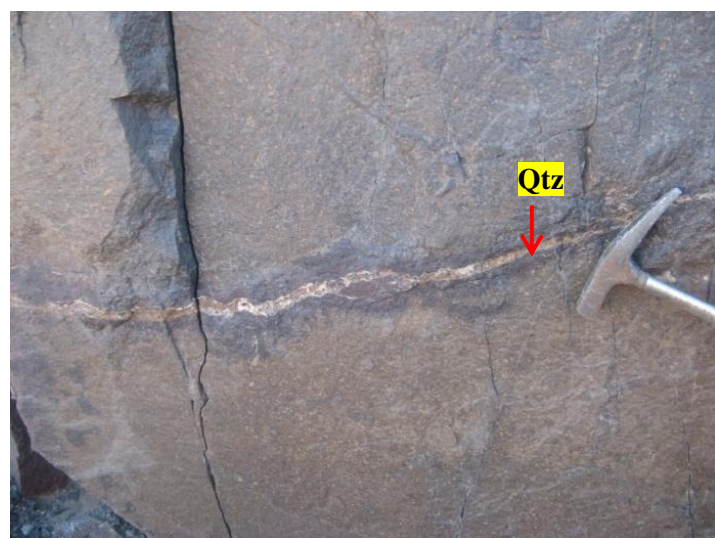
میزبان آندزیت بازالت و همراه با دگرسانی سریسیتی می‌باشد (شکل ۶-۴).

► رگه - رگچه‌های کوارتزی با میزبان سنگ‌های آندزیت بازالت و آذرآواری گسترش در کمر پایین

در مناطق حاشیه‌ای همراه با دگرسانی کلریتی می‌باشد (شکل ۷-۴)



شکل ۴-۴: (الف) رگه - رگچه‌های کلسیت - باریت - کوارتز که رگه‌های دیاژنتیک را قطع کرده است، ب و پ) نمایی نزدیک‌تر از رگه‌های استرینگر و حاوی کانی‌های کوارتز(Qtz)، کلسیت(Cal) و باریت(Ba)



شکل ۴-۷: رگه - رگچه‌های کوارتزی با میزبان سنگ‌های آندزیت بازالت

قابل ذکر است علاوه بر رگه‌های گرمابی، که با دگرسانی همراه هستند، رگه‌های دیگری هم در محدوده معدنی شناسایی شده‌اند با دگرسانی همراه نیستند که عبارتند از :

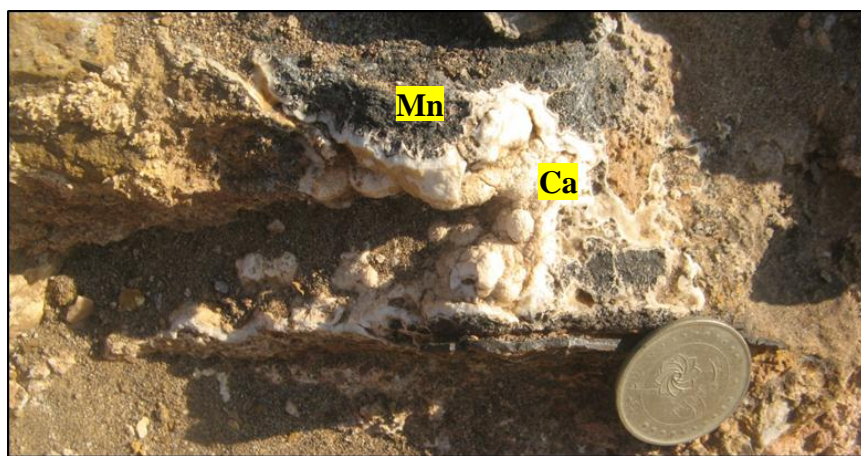
الف) رگه‌های نامنظم

- رگه - رگچه‌های کلسیت- منگنز و با میزبان سنگ‌های آندزیت بازالت (شکل ۴-۸).
- رگه - رگچه‌های سلسیت با میزبان سنگ‌های آندزیت بازالت (شکل ۴-۹ الف)، رگه‌های سلسیت با میزبان کریستال لیتیک توف (شکل ۴-۹ ب و پ) و گسترش سلسیت در محدوده کانسار (شکل ۴-۹ ت)

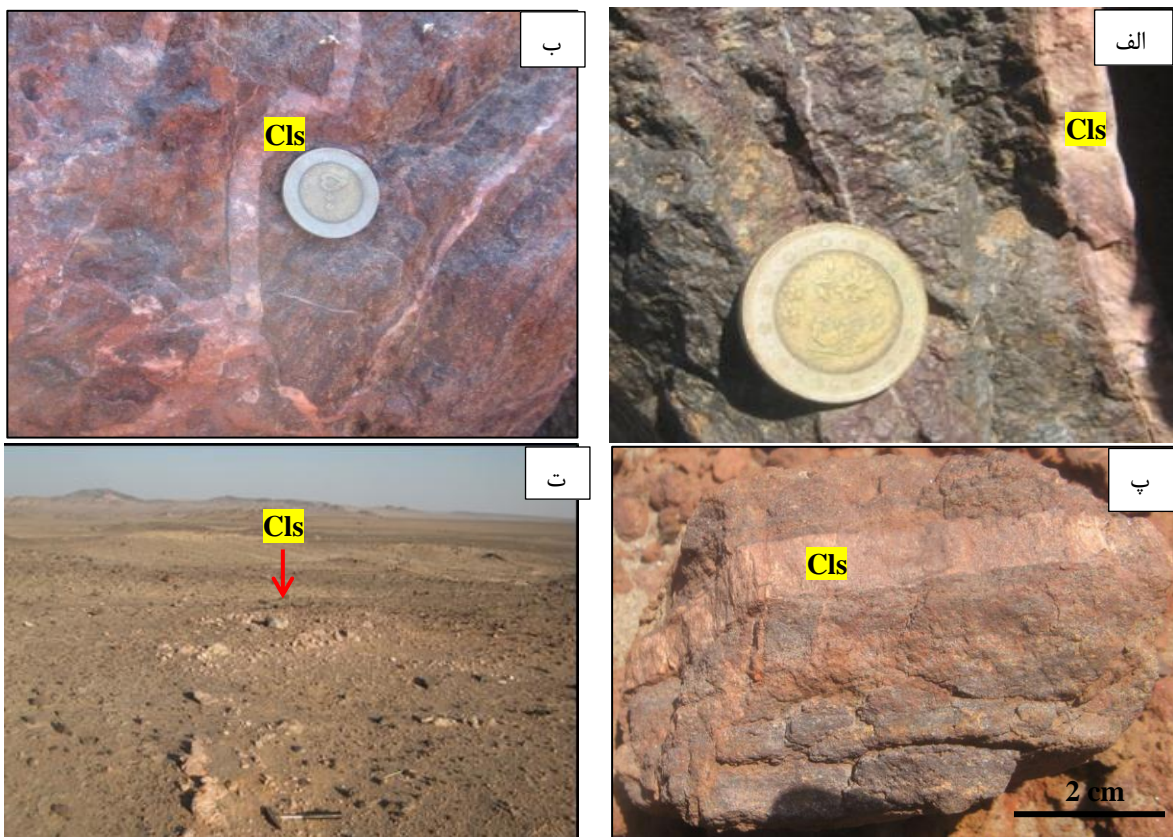
بر اساس بررسی‌های کانی‌شناسی، ساخت و بافت اینگونه استنباط می‌شود که این رگه‌ها می‌توانند محصول فرآیندهای دیاژنتیک باشند.

ب) رگه‌های منظم

رگه کلسیت - منگنز، با توجه به اینکه این رگه‌ها نظم خاصی دارند و با روندهای تکتونیکی منطقه هماهنگ هستند و می‌تواند در اثر فرآیند دگرشکلی تشکیل شده باشند (شکل ۴-۱۰).



شکل ۴-۸: رگه‌ی کلسیت - منگنز با بافت کلوفرمی با میزبان آندزیت



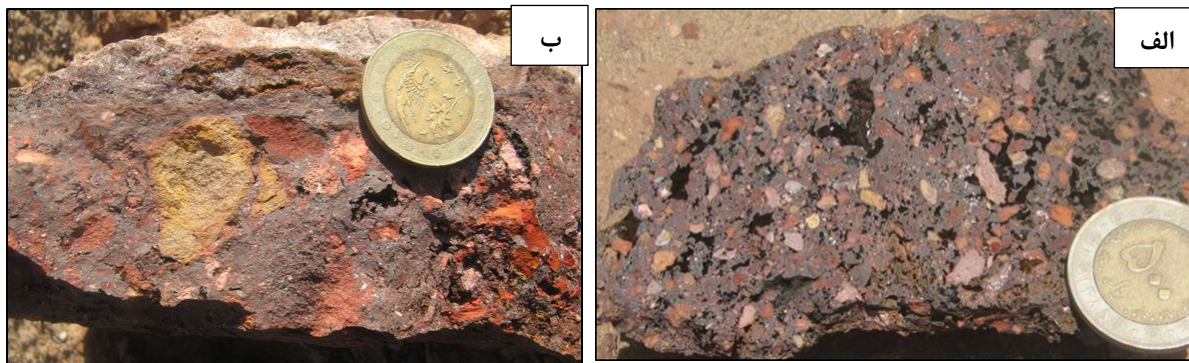
شکل ۹-۴: الف) رگه‌ی سلسیتیت (Cls) در اطراف سنگ‌های آندزیت بازالت، ب) رگه سلسیتیت (Cls) قطع کننده کریستال لیتیک توف، ت) گسترش سلسیتیت (Cls) در محدوده کانسار



شکل ۱۰-۴: رگه‌های کلسیت - منگنز با میزبان آندزیت بازالت

۴-۳-۲- رخساره برشی

سیمای اصلی این رخساره را قطعات آتشفسانی زاویه‌دار تشکیل می‌دهند. فضای بین قطعات برشی توسط هیدروکسید و اکسیدهای آهن (گوتیت و هماتیت) پر شده است (شکل ۱۱-۴).



شکل ۱۱-۴ الف و ب: نمونه دستی از رخساره برشی در کانسار آهن - سلسیت کوه‌ریگ

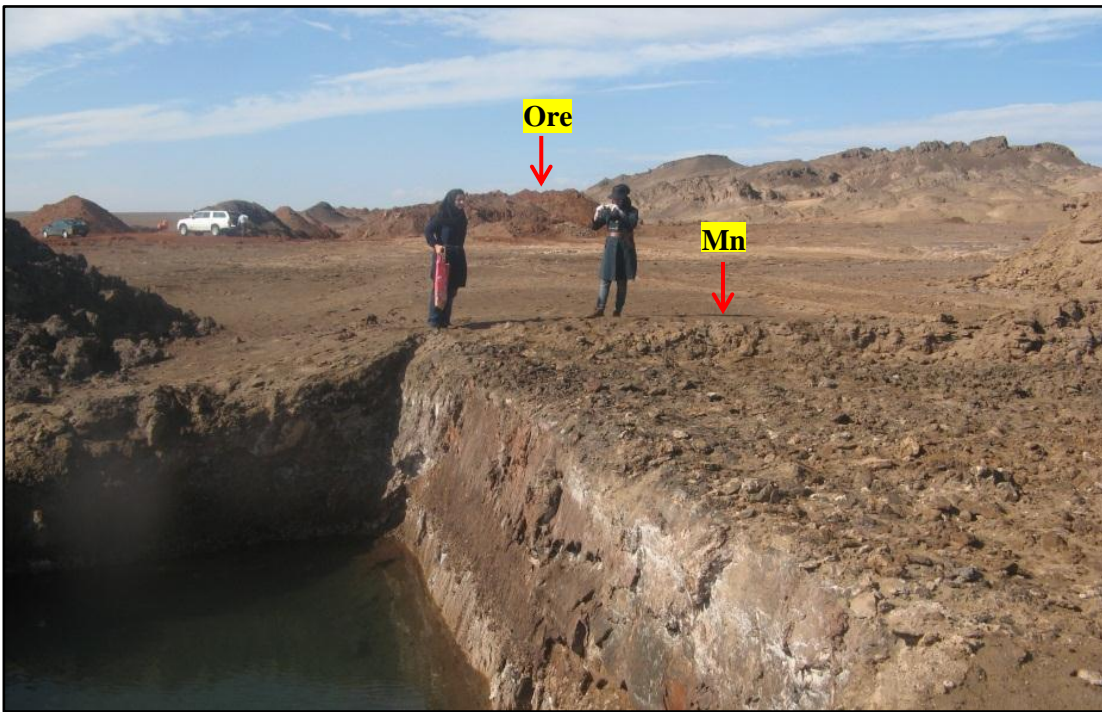
۴-۳-۳- رخساره نواری

این رخساره به صورت نوارها و لامینه‌های از کانی‌های اکسید آهن مشاهده می‌شود. لایه‌های غنی از اکسیدهای آهن (مگنتیت و هماتیت) و فقیر از آن در کریستال لیتیک توف باعث ایجاد ساخت نواری شده است، و بافت دانه‌پراکنده اکسیدهای آهن نشان‌دهنده همزمانی تشکیل لایه‌ها با رسوب‌گذاری است. رخساره نواری در کانسار مورد مطالعه وسعت زیادی دارد و کانه اصلی آن مگنتیت می‌باشد. ضخامت لامینه‌ها متغیر بوده و از میلی‌متر تا سانتی‌متر تغییر می‌نماید. (شکل ۱۲-۴ الف و ب).



شکل ۱۲-۴ الف و ب: نمونه دستی از کریستال لیتیک توف حاوی نوارهای غنی از آهن (تیره‌رنگ) با ساخت نواری

قابل ذکر است که منگنز در فاصله‌ای دورتر از آهن بصورت اکسید و هیدروکسید تهنشیست شده است (شکل ۱۳-۴).



شکل ۱۳-۴: نمایی از کانه‌زایی منگنز در امتداد کانسار آهن - سلسیت کوه‌ریگ

۴-۴- دگرسانی

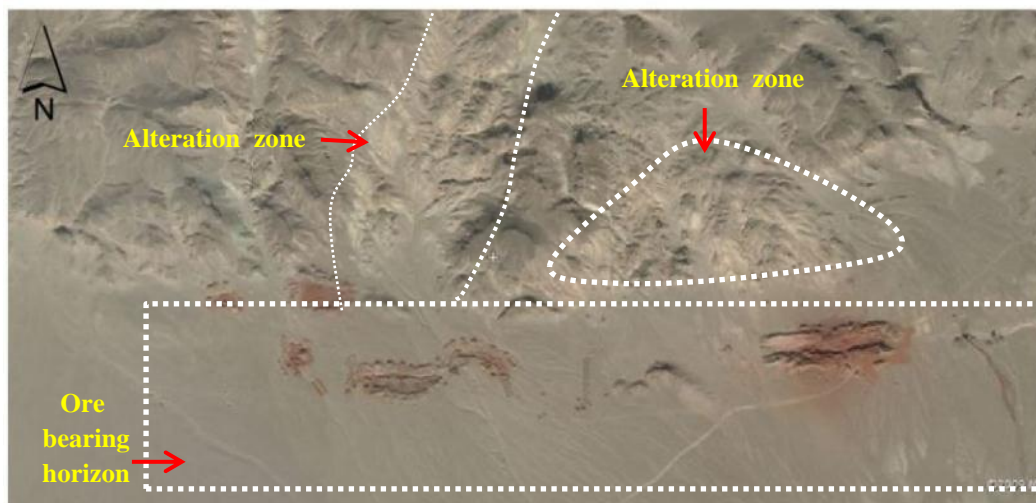
به کلیه‌ی تغییرات شیمیایی و کانی‌شناسی که تحت تأثیر آب‌های ماقمایی و گرمابی در سنگ‌های ایجاد می‌شود دگرسانی می‌گویند. عوامل کنترل کننده‌ی نوع تغییرات شیمیایی، کانی‌شناسی و شدت دگرسانی عبارتند از: ترکیب شیمیایی محلول گرمابی یا ماقمایی، دما، عمق، شرایط pH ، Log fS_2 ، Log fO_2 و محلول و ترکیب شیمیایی و کانی‌شناسی سنگ دگرسانی (کریمپور، ۱۳۸۶).

با توجه به اهمیت شناخت دگرسانی‌های همراه با کانه‌زایی، در این بخش به بررسی دگرسانی‌های همراه با کانه‌زایی آهن - سلسیت کوه‌ریگ پرداخته شده است. تصویر ماهواره‌ای از دگرسانی محدوده کانسار در (شکل ۱۴-۴) آورده شده است. با توجه به رویداد کانه‌زایی در محیط زیردریایی، دگرسانی سریسیتی در مرکز کانسار گسترش دارد و در اطراف دگرسانی کلریتی گسترش دارد.

اطلاعات این مبحث مربوط به بازدیدهای صحرایی، مطالعات میکروسکوپی مقاطع نازک - صیقلی، نازک و پراش اشعه ایکس (XRD) می‌باشد.

40 S 33 22 38 mE
3914925 mN

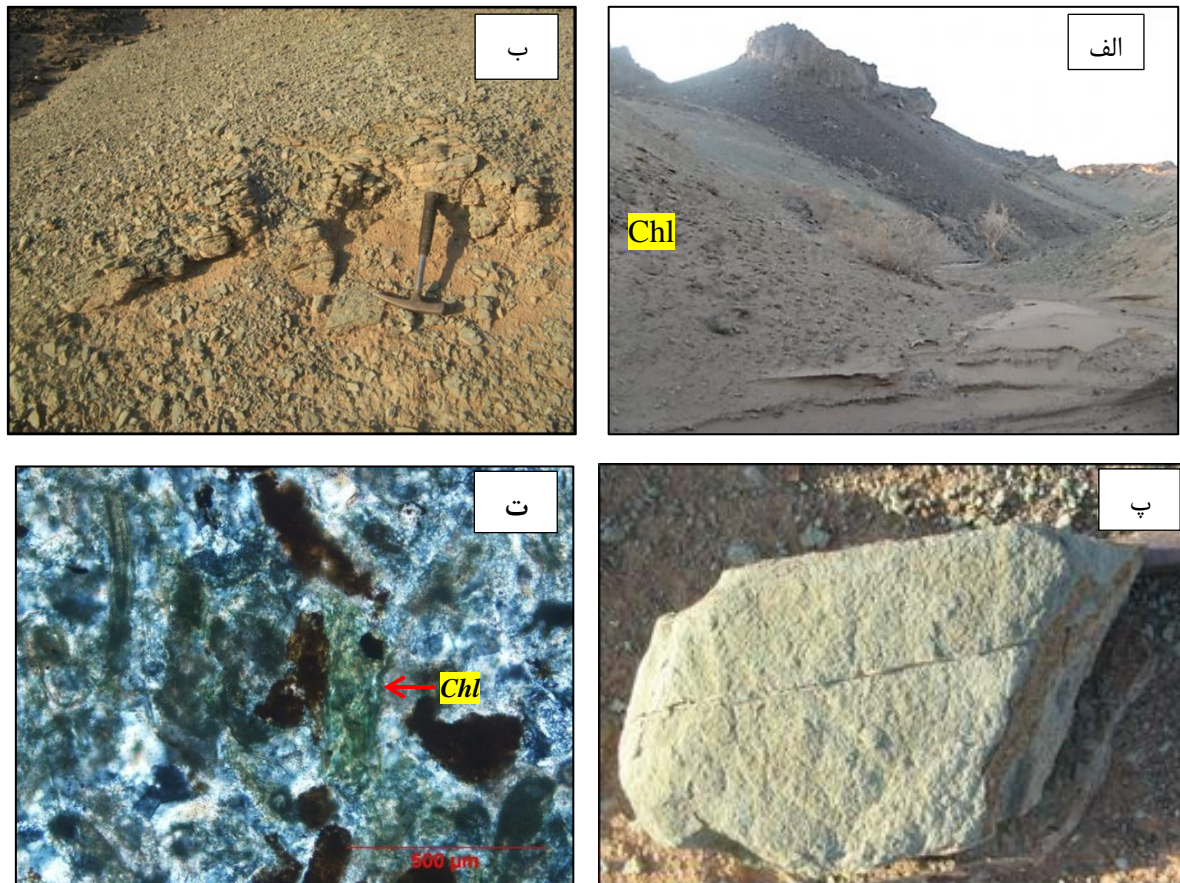
40 S 33 32 07 mE
3912376 mN



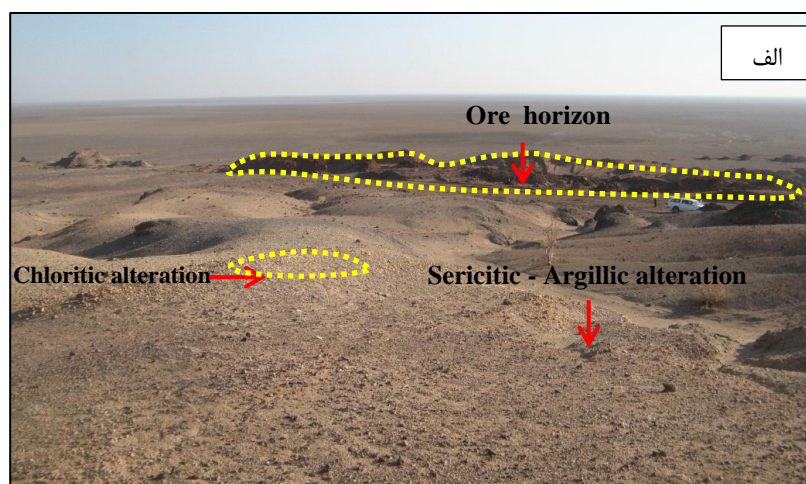
شکل ۱۴-۴: تصویر ماهواره‌ای از دگرسانی محدوده کانسار آهن – سلسیت کوه‌ریگ

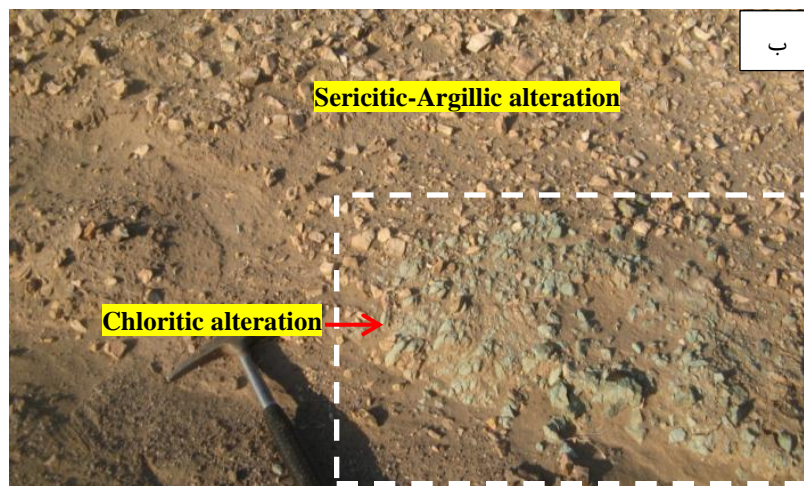
۱-۴-۴ - دگرسانی کلریتی

دگرسانی کلریتی در محدوده کانسار گسترش فراوانی دارد. و سنگ‌های محدوده معنی و به شدت سنگ-های لیتیک کریستال توف (ET_2) تحت تأثیر قرار داده است و به رنگ سبز در صحراء مشاهده می‌شود (شکل ۱۵-۴ الف، ب). بر اساس مشاهدات صحرایی دگرسانی کلریتی در بین دگرسانی سریسبیتی – آرژیلیکی نیز مشاهده شده است (شکل ۱۶-۴ الف و ب). محلول‌های ماگمایی یا گرمابی غنی از Mg ، Fe و Al در سنگ‌های آذرین در دمای مناسب موجب تشکیل کلریت می‌شوند (کریمپور، ۱۳۸۶). بر اساس داده‌های پراش اشعه ایکس کانی کلریت، از نوع کلینوکلریت می‌باشد (شکل ۱۷-۴).

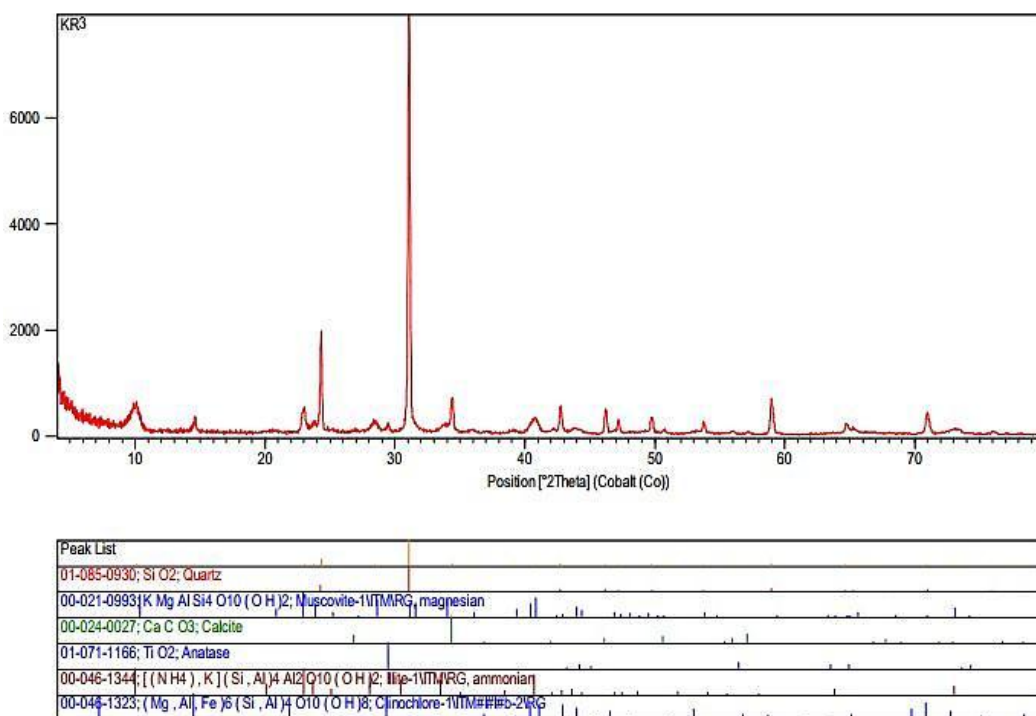


شکل ۱۵-۴: الف) نمایی کلی از دگرسانی کلریتی (Chl) (دید به سمت شمال)، ب) نمایی نزدیک از دگرسانی کلریتی با میزان لیتیک کریستال توف، پ) نمونه دستی از لیتیک کریستال توف، ت) تصویر میکروسکوپی از کلریت (Chl) در لیتیک کریستال توف





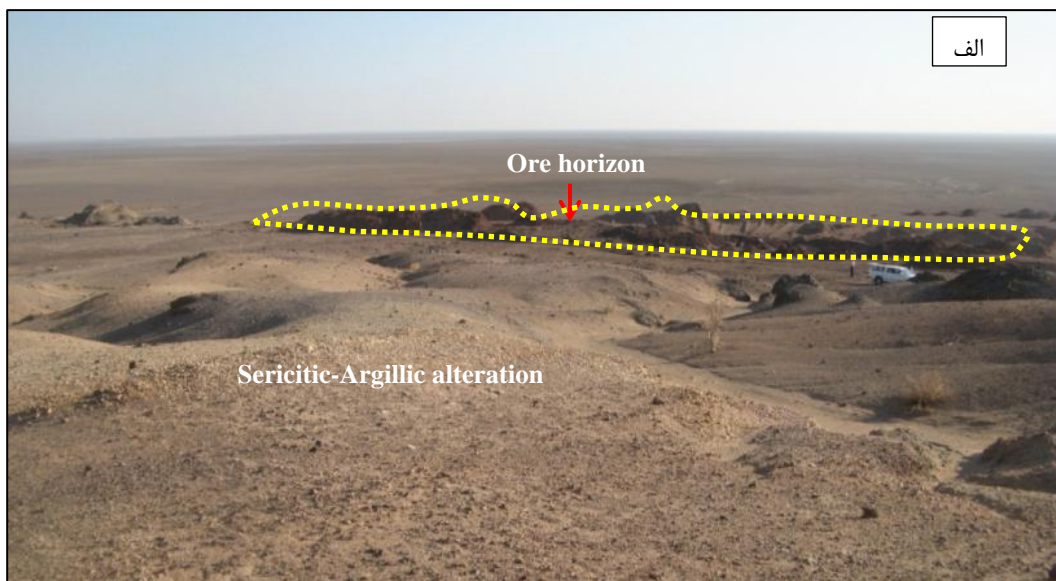
شکل ۱۶-۴: (الف) تصویر صحرایی از دگرسانی کلریتی در میان دگرسانی سریسیت (دید به سمت جنوب)، ب) نمایی نزدیک از دگرسانی کلریتی در میان دگرسانی سریسیت

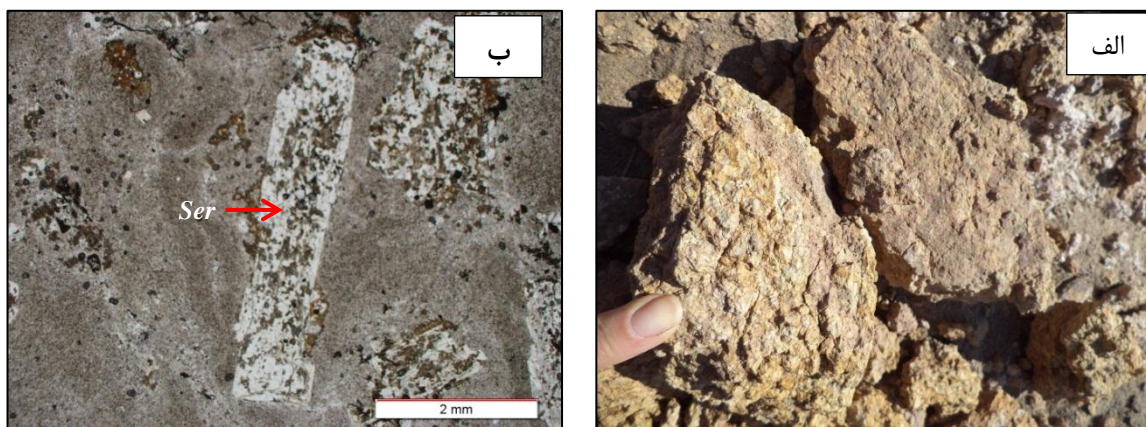


شکل ۱۷-۴: نمودار پراش اشعه ایکس (XRD) نشان‌دهنده حضور کانی‌های کوارتز، مسکویت، کلسیت، آناتاز، ایلیت و کلینوکلریت می‌باشد.

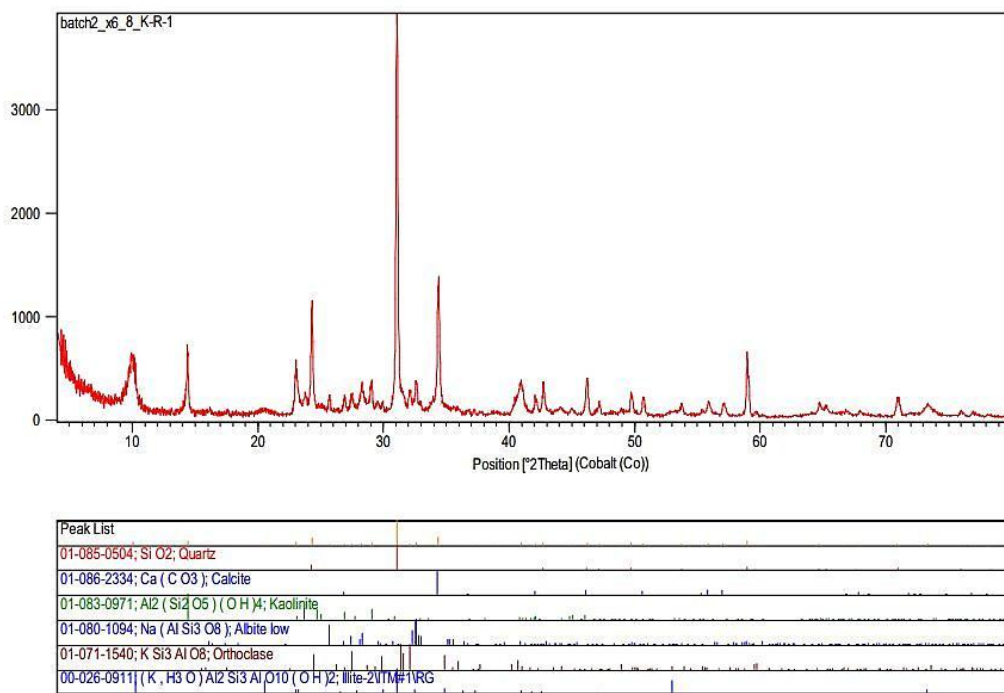
۴-۲-۴- دگرسانی سریسیتی - آرژیلیک

دگرسانی سریسیتی - آرژیلیکی در مرکز گسترش دارد (شکل ۴-۱۸). دگرسانی سریسیتی محصول برخورد سیالات گرمابی بر سنگ‌های غنی از کانی‌های سیلیکاته و آلومینیم‌دار می‌باشد که با انحلال کامل و خارج شدن کاتیون‌های K و باقی‌ماندن کاتیون Na, Ca, Mg در سیستم تشکیل می‌شود. در طی فرآیند سریسیتی شدن فلدسپات‌های اولیه و پلاژیوکلاز در سنگ به کانی سریسیت تبدیل می‌شود. دگرسانی آرژیلیکی سیلیکات آلومینیم‌دار در محیط اسیدی هیدرولیز شده و کانی‌های رسی از جمله کائولینیت را تشکیل می‌دهد (Cox et al, 1979). دگرسانی آرژیلیکی در شرایط اسیدی و با حضور آب فراوان در محیط تشکیل می‌شود (Titley and Bean, 1981). رخداد دگرسانی آرژیلیکی بصورت ثانویه و در اثر فرآیند هوازدگی و سوپرژن بوده است، کانی‌های دگرسانی سریسیت - آرژیلیکی بر اساس داده‌های پراش اشعه ایکس شامل مسکویت، کائولینیت و ایلیت می‌باشد (شکل ۴-۱۹، ۴-۲۰).

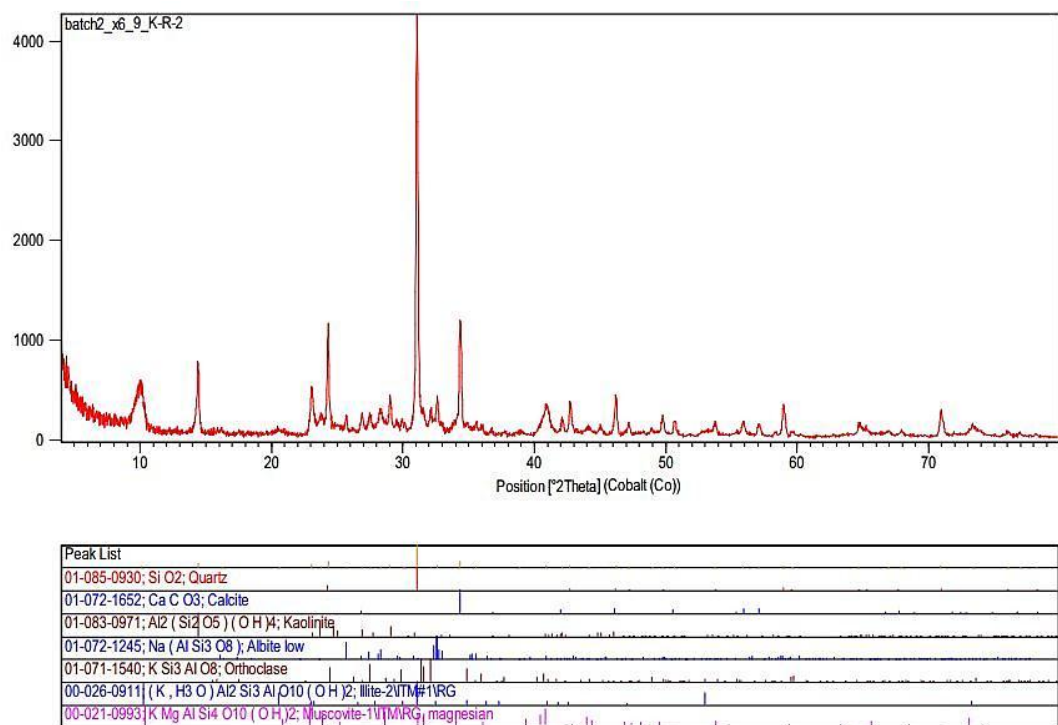




شکل ۱۸-۴: نمایی از دگرسانی سریسیتی - آژیلیکی در کمر پایین افق معدنی کانسار کوه ریگ (دید به سمت جنوب)



شکل ۱۹-۱: نمودار پراش اشعه ایکس نشان‌دهنده حضور کانی‌های کوارتر، کلسیت، کائولینیت، آلبیت، ارتوکلاز و ایلیت می‌باشد.



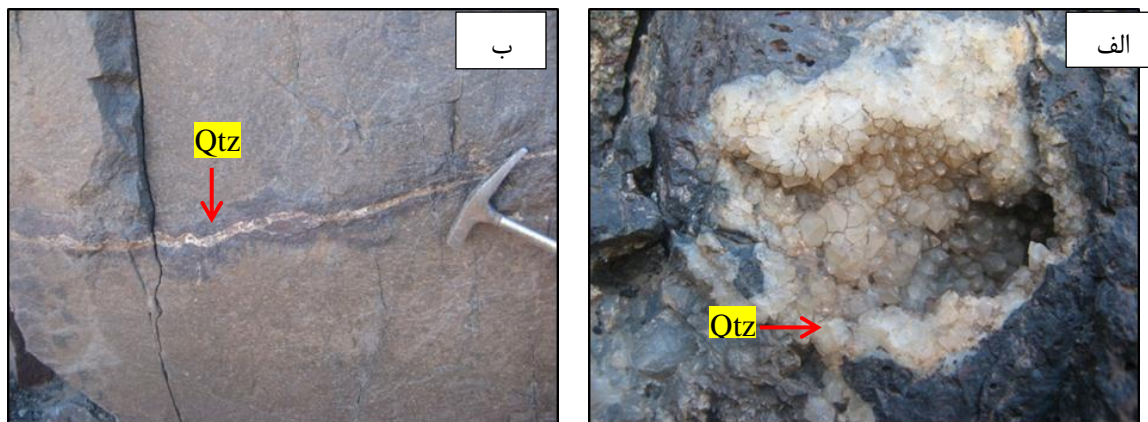
شکل ۲۱-۴: نمودار پراش اشعه ایکس نشان‌دهنده حضور کانی‌های کوارتز، کلسیت، کائولینیت، آلبیت، ارتوکلاز، ایلیت و مسکویت می‌باشد.

۳-۴-۴ - دگرسانی سیلیسی

دگرسانی سیلیسی، نتیجه افزایش در نسبت کوارتز یا سیلیس میکروکریستال در سنگ‌های دگرسان شده است (Evans, 1993). قابلیت اتحال سیلیس با افزایش دما و فشار افزایش می‌یابد و در فشار و درجه حرارت پایین به راحتی نهشته می‌شوند (Pirajno, 1992). سیلیسی شدن سنگ‌ها به روش‌های مختلفی رخ می‌دهد. از جمله: الف) به علت اتحال و شستشوی کاتیون‌های موجود در سنگ‌های دیواره مقدار سیلیس افزایش یافته است و ب) از طریق دیگر منابع، مانند افزوده شدن محلول‌های ماگمایی و گرمابی به سنگ. همچنین در مواردی، به علت تبدیل کانی‌ها در طی دگرسانی، سیلیس حاصل می‌شود که این سیلیس به وجود آمده، در مجموعه پارازیتیکی دگرسانی وارد می‌گردد. سیلیسی شدن در سنگ‌های

آندزیت بازالت گسترش دارد. سیلیسی شدن به شکل ژئود و رگه - رگچه‌ای در صحراء قابل مشاهده است

(شکل ۲۲-۴ الف، ب).



شکل ۲۲-۴: الف) بلورهای درشت کوارتز در صحراء، ب) رگه - رگچه‌های کوارتزی، پ) نمونه دستی از رگچه‌های کوارتزی با میزان آندزیت بازالت، ت) تصویر میکروسکوپی کوارتز و رگچه‌های قطع کننده کوارتز

فصل پنجم

ساخت، کانی‌شناسی، بافت و

توالی پاراژنزی کانی‌ها

۱-۵- مقدمه

هر بافت و ساختی تحت شرایط خاصی تشکیل می‌شود. هر کانی یا مجموعه‌ای از کانی‌ها بیانگر شرایط فیزیکوشیمیایی خاصی می‌باشد. لذا مطالعه بافت، ساخت و پارازنز می‌تواند مطالب بسیاری را در مورد ژنز و شرایط تشکیل یک سنگ و یا توده‌ای معدنی ارائه نماید. بر این اساس، بررسی و مطالعه میکروسکوپی، جهت شناخت نوع کانه و کانی‌ها و همچنین مطالعه ساخت و بافت آن‌ها، بهدلیل کم‌هزینه بودن، سرعت بالا و راحتی کار، متداول‌ترین روش جهت مطالعه انواع کانسارها می‌باشد.

۲-۵- ساخت ماده معدنی

۱-۲-۵ - ساخت برشی

این ساخت در رخساره برشی قابل مشاهده است. در این ساخت هیدروکسید و اکسیدهای آهن (گوتیت و هماتیت) قطعات زاویه‌دار سنگ درونگیر را در برگرفته است (شکل ۵-۱الف). این ساخت در رخساره رسوبات برونده‌ی آهن، منگنز و سولفیدی در یک خمیره از اکسید آهن مشاهده می‌شود.

۲-۲-۵ - ساخت نواری

یکی از ساختهای شاخص در کانسار کوه‌ریگ وجود لامینه و نوارهای اکسیدی آهن (مگنتیت) موازی لایه‌بندی با سنگ میزبان است که سیمای رسوبی به این رخساره می‌دهد. نوارهای متناوب غنی از مگنتیت و فقیر از آن باعث تشکیل ساخت نواری شده است. یکی از ویژگی‌های رخساره کانسنگ لایه‌ای، تهنشست اکسیدها به صورت دانه‌پراکنده در کنار هم و تشکیل لایه‌های غنی از آهن می‌باشد که نشان از افزایش شرایط رسوبگذاری در یک محیط آرام و تهنشست آن‌ها می‌باشد (شکل ۵-۱ب).

۳-۲-۵- ساخت کنکرسیونی

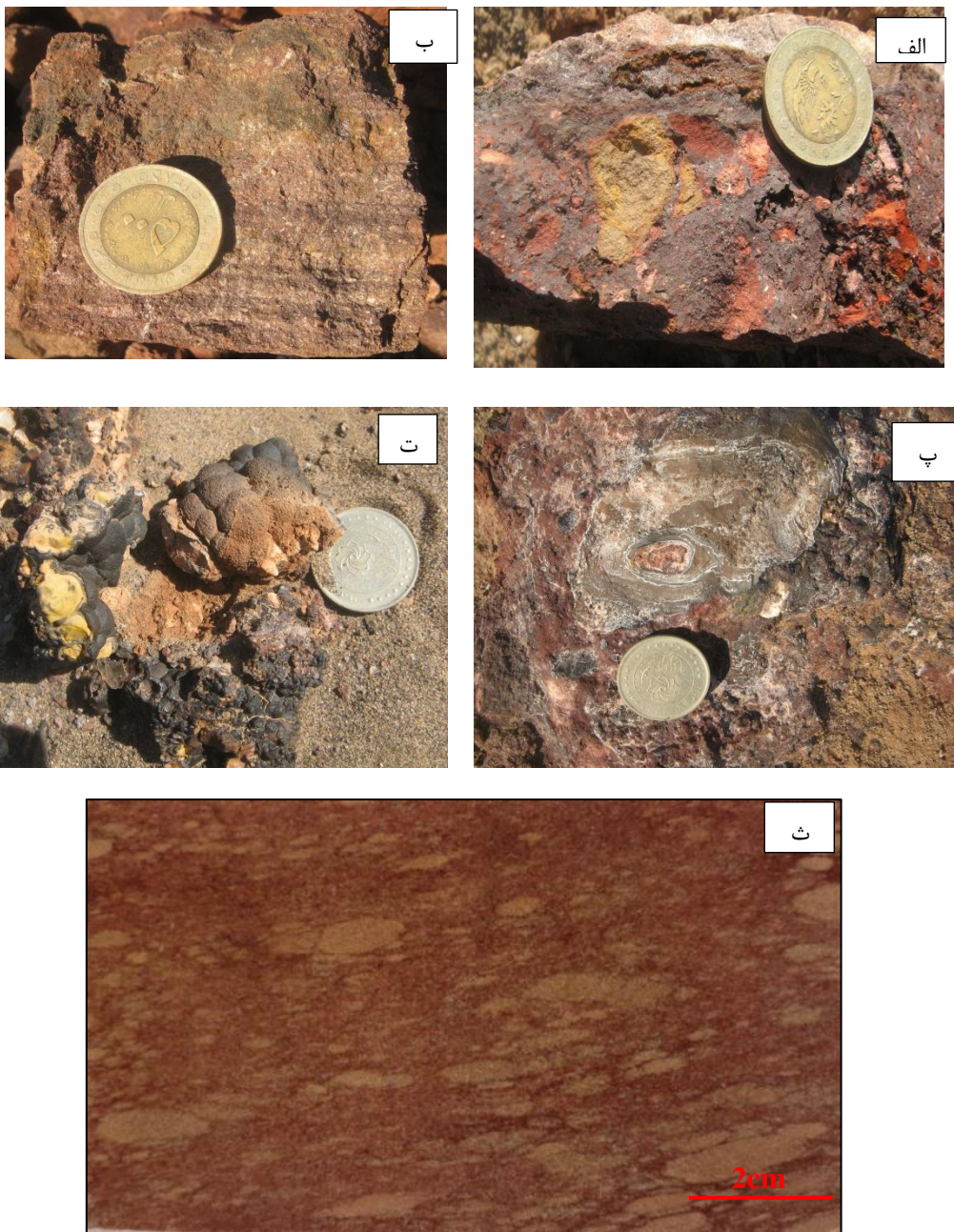
این ساخت بر اثر تجمع لامینه‌های کروی که فضای بسته‌ای را درست می‌کنند، بوجود آمده‌اند. کانی‌شناسی آن شامل گوتیت می‌باشد این ساختارها در مرحله دیاژنز تأخیری بوجود آمده است (شکل ۵-۳ پ).

۴-۲-۵- ساخت کلوفرمی

این ساخت در گوتیت قابل مشاهده می‌باشد (شکل ۵-۱ت)، شرایط لازم برای تشکیل ساخت کلوفرمی عبارتند از: آرام بودن محیط رسوبگذاری، اشباع بودن محلول، مناسب بودن pH و Eh محلول و دمای پایین محلول‌های گرمابی (کریمپور، ۱۳۸۹).

۵-۲-۵- ساخت نودولی

ساخت نودولی بر اثر تجمع و دیاژنز سولفات استرانسیم تشکیل شده است و کانی اصلی آن سلسیت می‌باشد (شکل ۱-۵ ث).



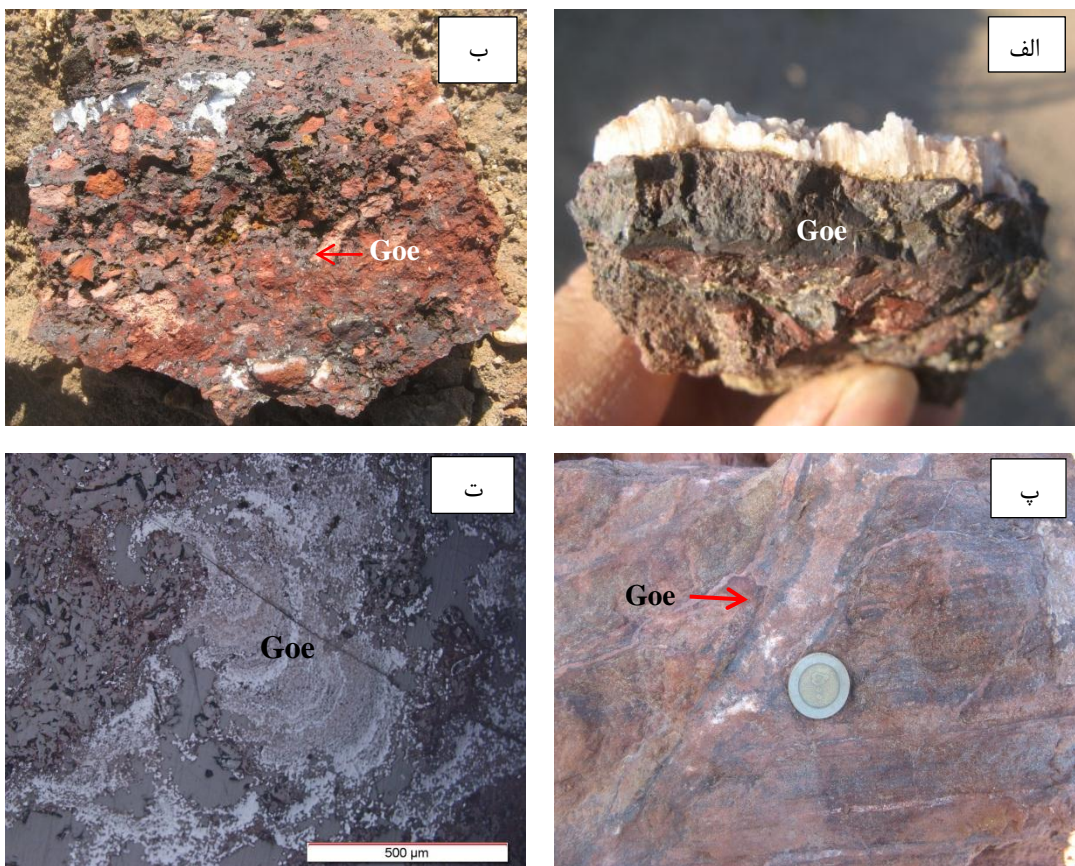
شکل ۱-۵: (الف) نمونه دستی از ساخت برشی، (ب) نمونه دستی از کریستال لیتیک توف نواری، (پ) گوتیت با ساخت کنکرسیونی، (ت) گوتیت با ساخت کلوفرمی، (ث) سلسیتیت با ساخت نودولی

۳-۵- کانی‌شناسی و بافت ماده معدنی

کانی‌شناسی و تشخیص پاراژنز کانه‌ها یکی از مهم‌ترین پارامترهای ارزشمند شناسایی ویژگی‌های محیط تشکیل هر کانسار است. این مطلب در مورد کانسارهای آهن هم صادق است. کانی‌شناسی این کانسارها اطلاعات سودمندی در مورد محیط و فرآیند تشکیل آن‌ها در اختیار می‌گذارد.

۱-۳-۵- گوتیت ($\text{FeO} \cdot \text{OH}$)

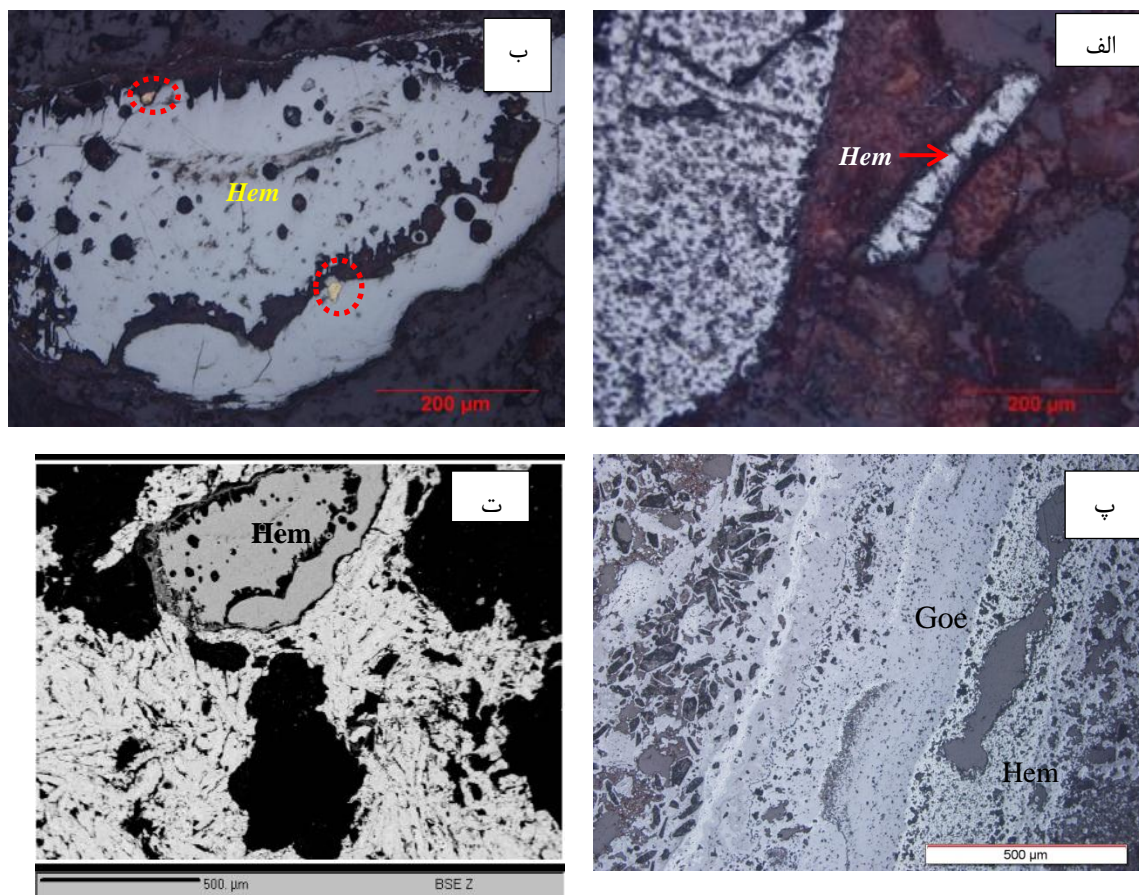
در صحراء به رنگ قهوه‌ای تیره تا سیاه مشاهده می‌شود (شکل ۲-۵ الف)، و بالاترین حجم را در رخساره برشی دارد (شکل ۲-۵ ب). و همراه با سلسیت نیز مشاهده شده است (شکل ۲-۵ پ). بر اساس مطالعات میکروسکوپی گوتیت در نور انعکاسی به رنگ خاکستری و با بافت کلوفرمی مشاهده می‌شود (شکل ۲-۵ ت).



شکل ۵-۲: الف) تصویر نمونه دستی از گوتیت، ب) کانی گوتیت در اطراف قطعات برشی، پ) گوتیت در اطراف رگهی سلسیتیت، ت) تصویر میکروسکوپی گوتیت با بافت کلوفرمی

(Fe₂O₃) - ۳-۵ - هماتیت

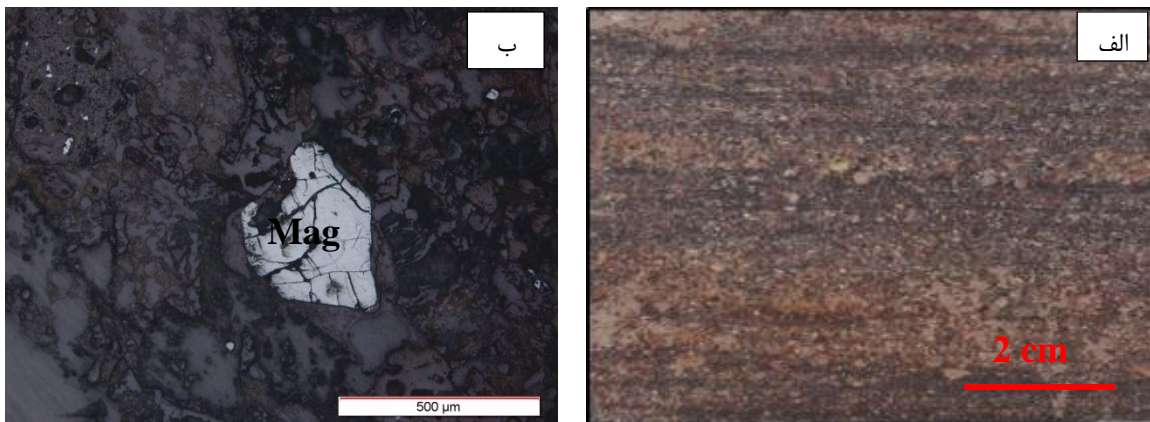
هماتیت در کریستال لیتیک توف در مرحله دیاژنز به شکل تیغه‌ای (شکل ۳-۵ الف)، در مرحله سوپرژن توسط پدیده مارتیتی شدن مگنتیت به هماتیت تبدیل شده (شکل ۳-۵ ب) و در رخساره برشی همراه با گوتیت با بافت کلوفرمی مشاهده می‌شود. در هماتیت کلوفرمی در رخساره نواری دو کانی مشکوک به طلا مشاهده شده است. که توسط الکترون ماکروپرورب مورد مطالعه قرار گرفت (شکل ۳-۵ پ) و به علت ریز بودن کانی‌ها شناسایی نشده‌اند.



شکل ۵-۳: الف) تصویر میکروسکوپی هماتیت تیغه‌ای (Hem) در کریستال لیتیک توف، ب) تصویر میکروسکوپی مگنتیت که به هماتیت تبدیل شده با بافت کلوفرمی، پ) تصاویر الکترون ماکرو پروب (BSE) از کانی هماتیت

۳-۳-۵ - مگنتیت (Fe_3O_4)

مگنتیت به صورت نیمه‌شکل‌دار تا بی‌شکل با بافت دانه‌پراکنده در نوارهای معدنی کریستال لیتیک توف مشاهده می‌شود (شکل ۴-۵ الف). بر اساس مطالعات میکروسکوپی مگنتیت در نور پلازیزه ایزوترپ، و در نور انعکاسی به رنگ خاکستری و با برجستگی قوی مشاهده می‌شود (شکل ۴-۵ ب).

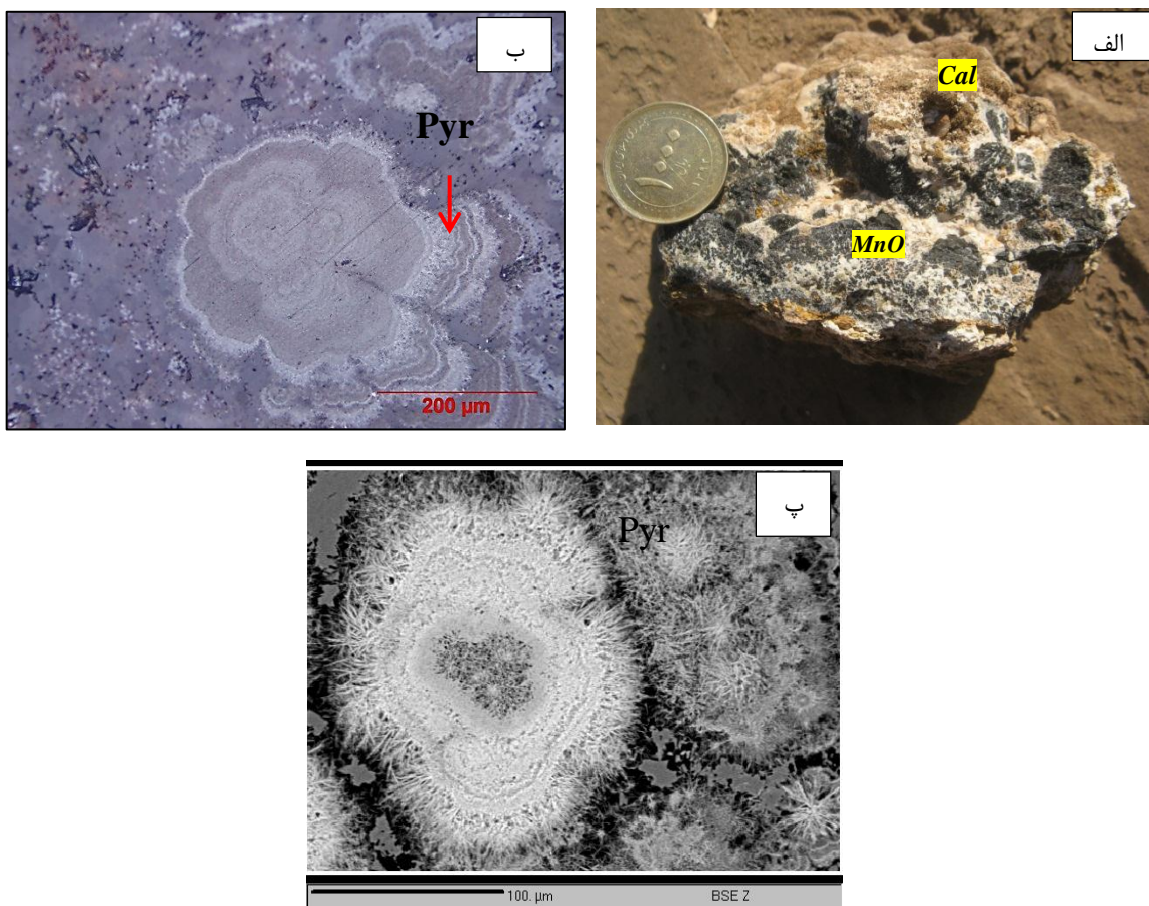


شکل ۵-۴: الف) کریستال لیتیک توف با نوارهای معدنی مگنتیت، ب) مگنتیت (Mag) با بافت دانه‌پراکنده

۴-۳-۵ - پیرولوژیت (MnO_2)

کانی‌های اکسید منگنز با فرمول شیمیایی بالا را تحت عنوان اکسیدهای منگنز خالص هم می‌شناسند که شامل پلی‌مورف‌های مختلفی می‌باشند. در این بین پیرولوژیت از نظر ترمودینامیکی پایدارترین فاز آن می‌باشد. این کانی اغلب عاری از کاتیون‌های دیگر است و به مقدار زیاد در کانسارهای دما پایین مخصوصاً در کانسارهای رسوبی یافت می‌شود. این کانی دارای بافت سوزنی و با رنگ زرد متمایل به خاکستری تا زرد متمایل به کرمی، پلی‌کروئیسم ضعیف و انیزوتropی بسیار قوی از سایر کانی‌های منگنز به راحتی

تشخیص داده می شود. (شکل ۵-۵. الف و ب). بر روی کانی های منگنز مطالعات الکترون ماکروپرور انجام شده است و (شکل ۵-۵. پ) کانی پیرولوزیت را نشان می دهد.

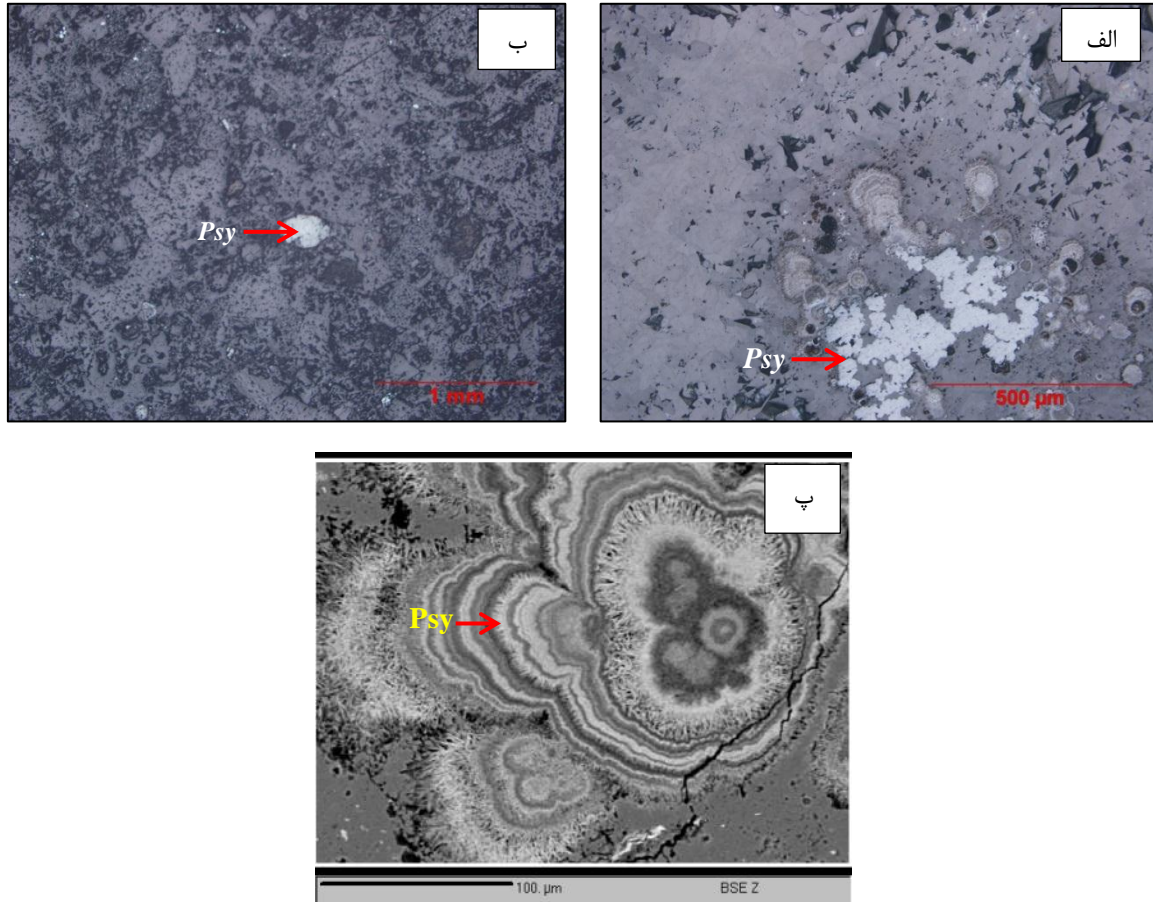


شکل ۵-۵: الف) نمونه دستی از کانی های منگنیزدار و کلسیت، ب) تصویر میکروسکوپی از پیرولوزیت (Pyr)، پ) تصویر الکترون ماکروپرور (BSE) از پیرولوزیت (BSE).

(Ba, K, Mn, Co)₂Mn₅O₁₀.XH₂O ۵-۳-۵ - پسیلوملان

کانی پسیلوملان با داشتن BaO بالا در ترکیب شیمیایی خود به اکسیدهای سخت و توده ای منگنیز با بافت بوتروئیدال اتلاق می شود (Roy, 1981). کانی پسیلوملان با بافت گلوفرمی همراه با کلسیت (شکل ۵-۶ الف) پسیلوملان با بافت دانه پراکنده در لیتیک کریستال توف منگنیزدار (شکل ۵-۶ ب) مشاهده

می‌شود، پلی‌کروئیسم و انیزوتropی قوی از مشخصات بارز این کانی است. بر اساس داده‌های الکترون ماکرو پرورب (شکل ۵-۶ پ) کانی پسیلوملان را نشان می‌دهد.



شکل ۵-۶: پسیلوملان (Psy) با بافت کلوفرمی، ب) پسیلوملان با بافت دانه‌پراکنده، پ) تصویر الکترون ماکروپرورب (BSE) از پسیلوملان

۵-۳-۶- سلسیتیت یا سلسیتین (SrSO_4)

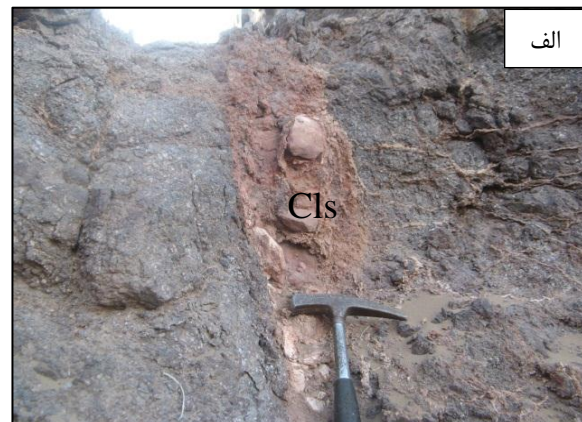
نام آن کلمه لاتین سلسیس، به خاطر رنگ آبی آن گرفته شده است. زیرا اولین نمونه آن که مورد مطالعه و بررسی قرار گرفته است، آبی رنگ بوده است. در (شکل ۷-۵) انواع سلسیتیت و تصاویر میکروسکوپی سلسیتیت آورده شده است. به طور کلی نمونه‌ای که در زیر میکروسکوپ با نور عبوری به راحتی قابل

تشخیص است. بلورهای منشوری، خودشکل و دانه‌شکری سلسیت است و در نور عبوری شبیه بلورهای کوارتز بوده ولی پلی کروئیسم بالایی نسبت به کوارتز دارد.

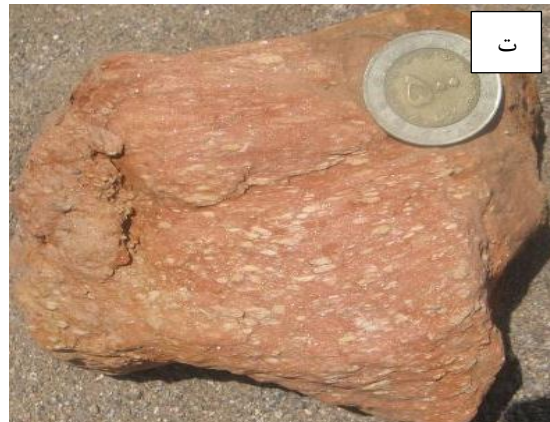
کانی‌زایی سلسیت در کانسار کوه‌ریگ گسترش فراوانی دارد، و به بررسی انواع سلسیت پرداخته شده است. لایه‌های سلسیت قطع کننده واحدهای سنگی محدوده معدنی می‌باشد (شکل ۷-۵ الف)، سلسیت سنگ‌های آذرآواری را دربرگرفته است (شکل ۷-۵ ب)، سلسیت قطع کننده سنگ‌های کریستال لیتیک توف (ET3) (شکل ۷-۵ پ)، سلسیت با ساخت نودولی (شکل ۷-۵ ت)، تصویر میکروسکوپی سلسیت با بلورهای منشوری شکل (شکل ۷-۵ ث)، تصویر میکروسکوپی سلسیت قطع کننده سنگ میزبان (شکل ۷-۵ ج)، هم‌رشدی سلسیت با هماتیت (شکل ۷-۵ چ)، ریزدانه دانه‌شدن بلورهای سلسیت (شکل ۷-۵ ح) دو مرحله آخر نشان از فرآیند ته‌نشست رسوبی می‌باشد.



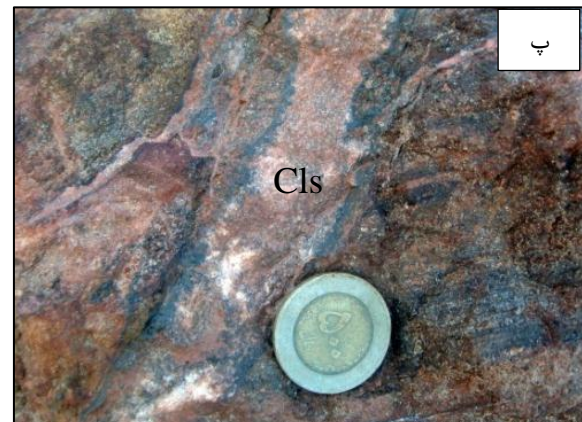
ب



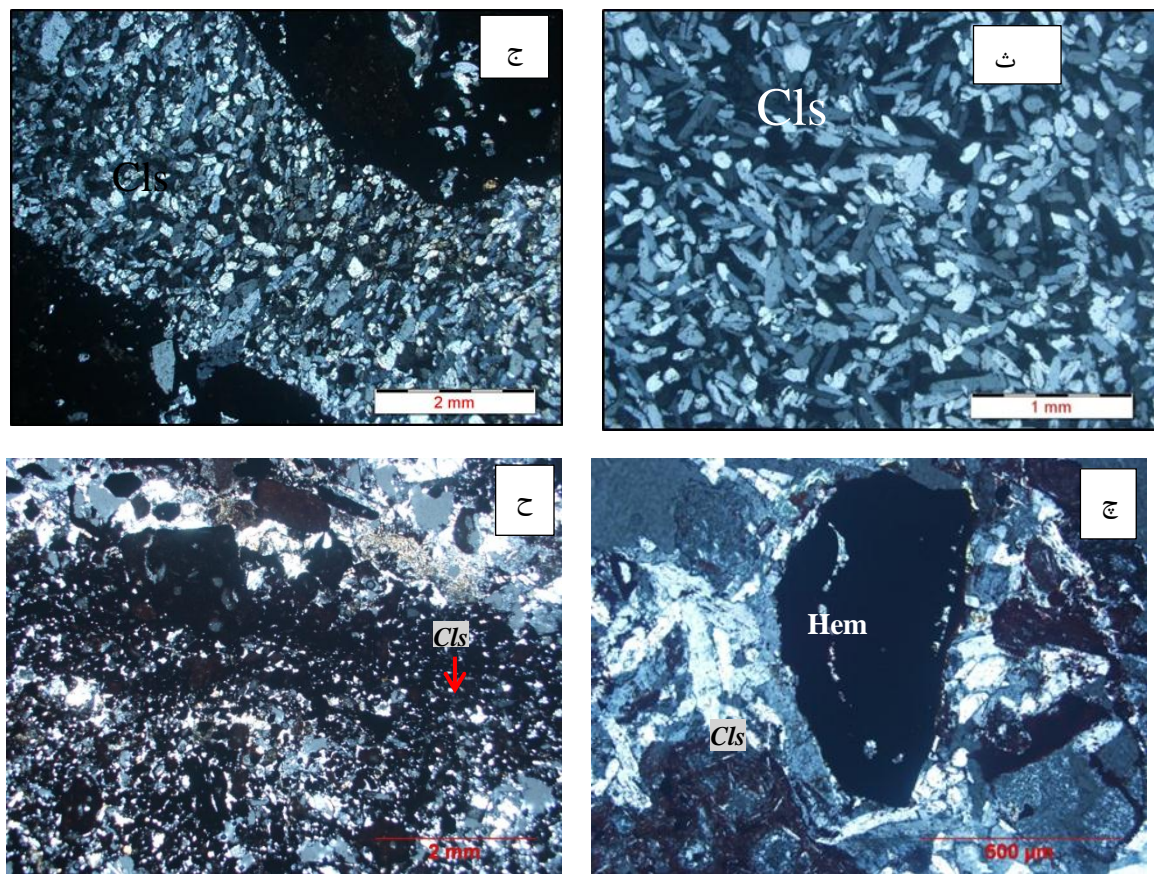
الف



ت



پ



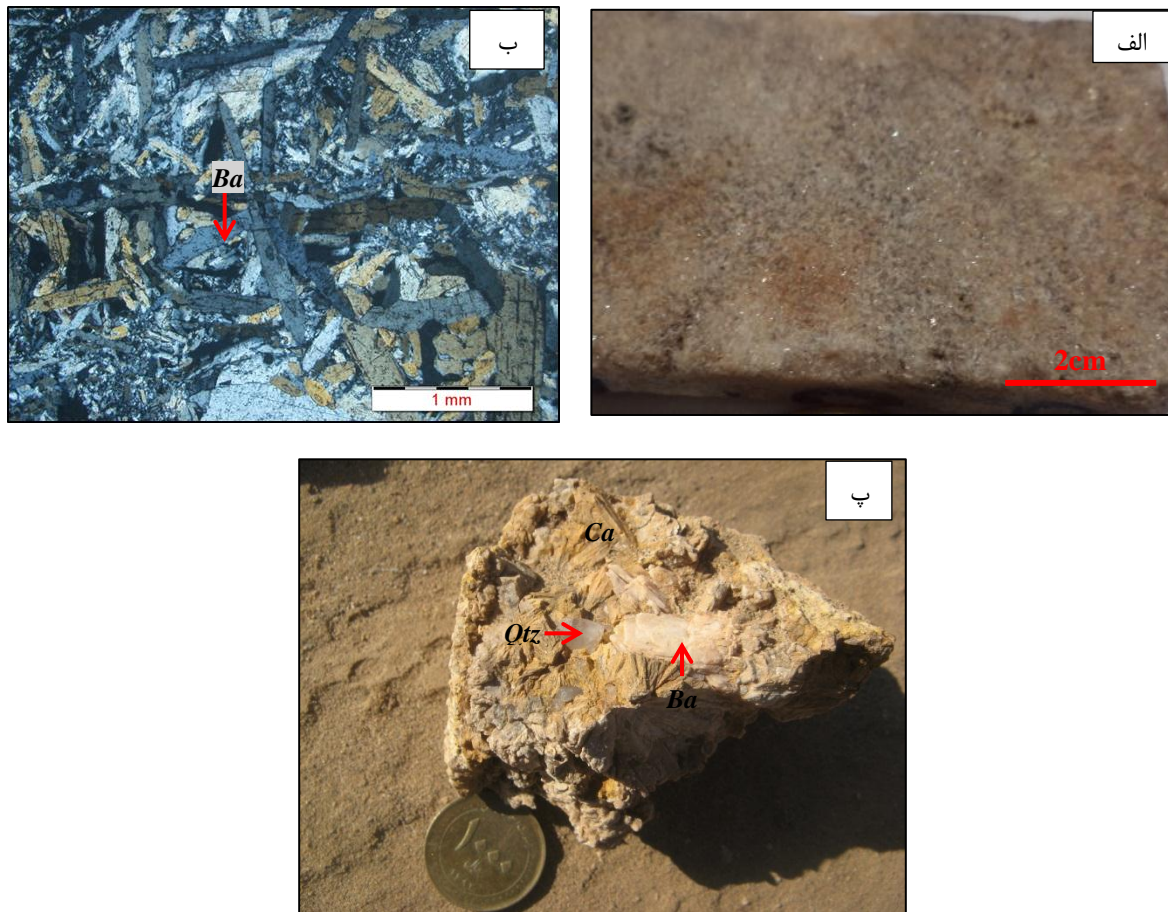
شکل ۷-۵: (الف) سلسیت با میزبان کریستال لیتیک توف، (ب) نمونه دستی سلسیت در برگیرنده قطعات توفی، (پ) رگه سلسیت قطع کننده سنگ، (ت) نمونه دستی از سلسیت نودولی، (ث) تصویر میکروسکوپی از سلسیت، (ج) تصویر میکروسکوپی سلسیت با بلورهای منشوری، (چ) همرشدی سلسیت با هماتیت، (ح) تصویر میکروسکوپی از بلورهای ریز دانه سلسیت.

۴-۵- کانی‌های باطله

۱-۴-۵- باریت (BaSO_4)

در صحرا به رنگ سفید و با چگالی بالا قابل شناسایی است و به دو شکل یافت می‌شود: ۱) باریت با ساخت توده‌ای (شکل ۵-۸-الف و ب)، ۲) باریت به همراه کلسیت، کوارتز (پنهان استرینگ) (شکل ۵-۸-پ) مشاهده می‌شود.

باریت در نور عبوری بی‌رنگ و برجستگی متوسط، و در نور پلاریزه دارای خاموشی مستقیم، به رنگ زرد، نارنجی و آبی و به شکل تیغه‌ای و چندضلعی مشاهده می‌شود.



شکل ۸-۵: (الف) نمونه دستی از باریت با ساخت توده‌ای، (ب) تصویر میکروسکوپی از باریت، (ت) نمونه دستی از کانی‌های کلسیت (Ca) - باریت(Ba) - کوارتز (Qtz)

$(\text{CaSO}_4 \cdot 2\text{-}4\text{-}5)$ ژیپس

ژیپس یکی از کانی‌های باطله کانسار کوه‌ریگ می‌باشد. این کانی به صورت اولیه با شکل ورقه‌ای در مرحله دیاژنز (شکل ۹-۵ الف)، و هم به صورت پودری (شکل ۹-۵ ب) که نشان از فرآیندهای سوپرژن دارد تشکیل شده است.



ب



الف

شکل ۵-۹: الف) تصویر صحرایی زیپس اولیه، ب) تصویر صحرایی زیپس ثانویه

۳-۴-۵- کلسیت (CaCO_3)

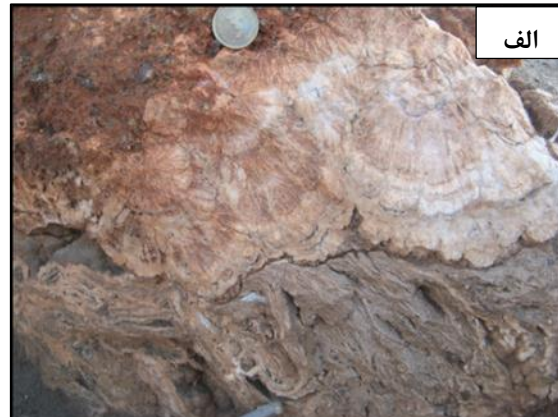
از ویژگی‌های شاخص کلسیت‌های مرحله اول (دیاژنز تأخیری) دارای ساخت کلوفرمی و نواری (شکل ۵-۵).

۱۰. الف و ب) و در مقیاس میکروسکوپی دارای بافت دندان سگی است (شکل ۵-۱۰پ)، و کلسیت‌های

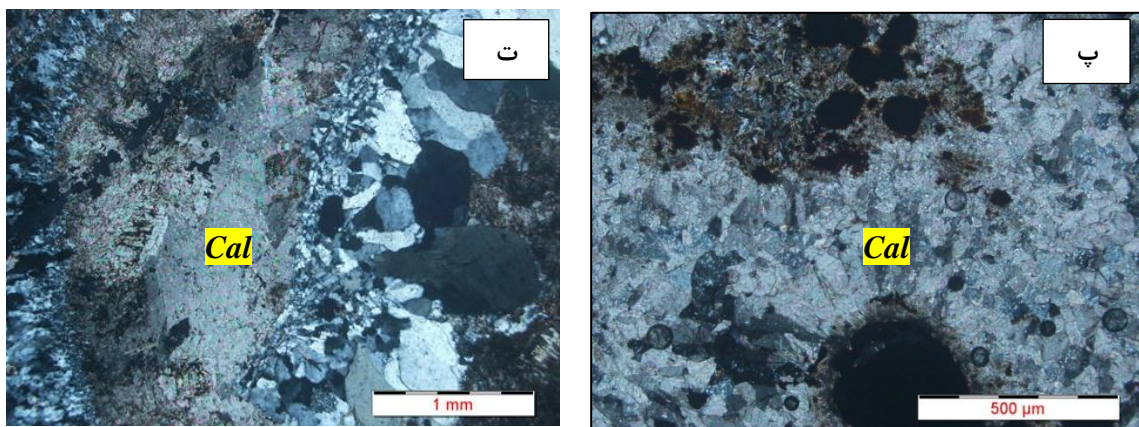
ثانویه ریزبلور و حاصل دگرسانی می‌باشد (شکل ۵-۱)



ب



الف



شکل ۱۰-۵: الف) نمونه دستی از کلسیت با ساخت کلوفرمی، ب) نمونه دستی از کلسیت با ساخت نواری، پ) تصویر میکروسکوپی کلسیت اولیه (Cal)، ت) تصویر میکروسکوپی کلسیت ثانویه (Cal)

۴-۴-۵ - کلریت ($(\text{Mg},\text{Fe})_3(\text{Si},\text{Al})_4\text{O}_{10}(\text{OH})_{20}(\text{Mg},\text{Fe})_3(\text{OH})_6$)

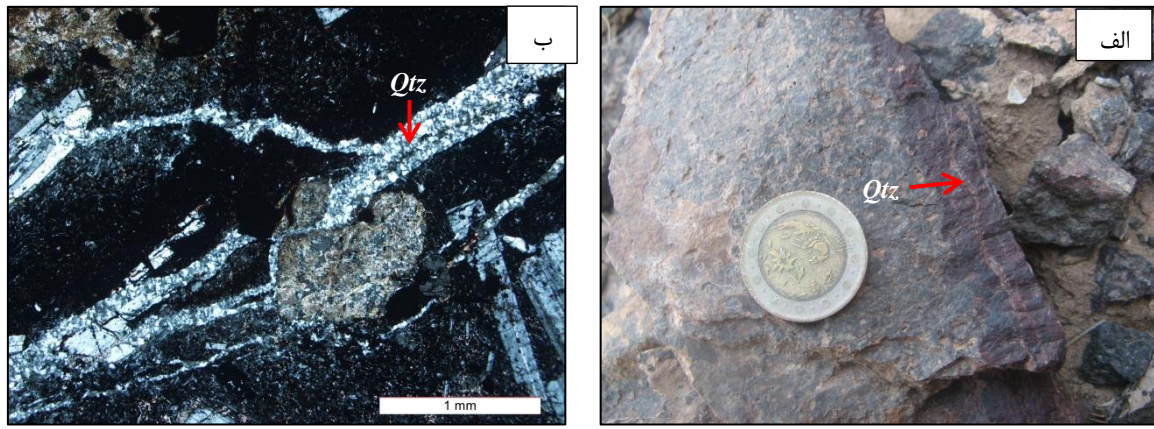
کلریتی شدن باعث ایجاد رنگ سبز در سنگ می‌شود. در مقطع نازک به رنگ سبز لجنی مشاهده می‌شود.

نوع کانی کلریت بر اساس داده‌های پراش اشعه ایکس (XRD) کلینوکلریت می‌باشد (رجوع شود به شکل ۱۶-۴ و ۱۸-۴).

۴-۵-۵ - کوارتز (SiO_2)

کوارتز تحت تأثیر دگرسانی سیلیسی در سنگ ایجاد شده است، و پرکننده حفرات و کانی‌های می‌باشد و

یا به صورت رگه‌های قطع کننده در سنگ است (شکل ۱۱-۵ الف و ب).



شکل ۵-۱۱: (الف) رگه - رگچه‌های کوارتزی با میزبان آندزیت بازالت، (ب) تصویر میکروسکوپی کوارتر (Qtz) در سنگ‌های آندزیت بازالت

۴-۶-۵- سریسیت ($\text{KAl}_2(\text{OH})_2(\text{AlSi}_3\text{O}_{10})$)

این کانی از تجزیه پلازموکلازها تحت تأثیر دگرسانی ایجاد می‌شود، این کانی در نور عبوری بی‌رنگ و دارای بر جستگی متوسط تا ضعیف می‌باشد (رجوع شود به شکل ۴-۱۹)).

۴-۷-۵- کانی‌های رسی

کانی‌های رسی در اثر دگرسانی آرژیلیک تشکیل شده‌اند، از کانی‌های رسی عمدۀ در محدوده کانسار بر اساس داده‌های پراش اشعه ایکس (XRD) می‌توان به کائولینیت و ایلیت اشاره کرد (رجوع شود به شکل ۴-۲۰ و ۴-۲۱).

۵-۵- توالی پاراژنتیک کانی‌ها

توالی پاراژنتیک یا به عبارت دیگر ترتیب زمانی و مکانی تبلور کانی‌ها و کانه‌های یک کانسار در واقع معرف مرحله شکل‌گیری آن‌هاست. معمولاً این سکانس زمان تفکیک تدریج کانه‌ها و تحت تأثیر قرار گرفتن نهشته‌ها و همچنین شرایط و وضعیتی را که در اثر هریک از فازها به وجود می‌آید و در واقع

ناآرامی و عدم تعادل ایجاد شده در محیط را نیز توصیف می‌کند. یک سکانس پاراژنتیک علاوه بر ژنر کانه‌ها، زمان آغاز تهنشست و مدت زمان تهنشینی کانی‌های باطله یا گانگ‌ها را نیز معلوم می‌کند. دیاگرام پاراژنتیکی خلاصه‌ای هستند از:

۱- ارتباط زمانی و مکانی کانه و کانی‌های باطله

۲- فراوانی نسبی کانی‌ها و کانه‌ها

۳- ارتباط عمومی مجموعه کانی‌های دگرسانی با تکامل نوع دگرشکلی و سیالات

بر اساس بررسی‌های کانسار شامل شکل هندسی پیکره معدنی، ساخت و بافت انجام شده در مقیاس صحرایی، نمونه دستی و مطالعات کانی‌شناسی می‌توان مراحل تکوین کانه‌زائی و تشکیل‌کان‌های موجو در کانسا کوهريگ را در چهار مرحله تدوین نمود:

۱- مرحله آتشفسانی - بروندمی (اگزالاتیو): در این مرحله اکسید و هیدروکسیدهای آهن و منگنز، رگه‌های کلسیت - باریت - کوارتز، رگه‌های کوارتزی، کانی‌های سریسیت و کلریت تشکیل شده است.

۲- مرحله دیاژنز: مرحله دیاژنز شامل دو مرحله است: در مرحله دیاژنز اولیه کانی‌های هماتیت، مگنتیت، پسیلوملان و سلسیت (در متن سنگ) تشکیل شده است و در مرحله دیاژنز تأخیری کانی‌های گوتیت و هماتیت، پسیلوملان، پیرولوزیت، سلسیت (رگه - رگچه‌ای)، ژیپس و کلسیت تشکیل شده است.

۳- مرحله دگرشکلی: سومین مرحله از تشکیل کانی‌ها مرحله دگرشکلی می‌باشد، این مرحله توسط گسلش در منطقه ایجاد شده است و رگه‌های ایجاد شده توسط گسل با کانی‌های کلسیت - منگنز پر شده است.

۴- مرحله سوپرژن: در این مرحله گوتیت، هماتیت، ژیپس و کانی‌های رسی (کائولینیت و ایلیت) تحت تأثیر فرایندهایی هوازدگی و سوپرژن شکل گرفته است.

جدول ۱-۵: توالی پاراژنیک کانسار آهن – سلسیت کوه‌ریگ

Mineral	Exhalative	Diagenesis		Deformation	Weathering and supergene
		Early	Late		
FeOH	—				
MnOH	—				
Goethite			—		—
Hematite		—	—		—
Magnetite		—			
Celestine		—	—		
Pyrolusite			—		
Psilomelane		—	—		
Barite	—				
Calcite	—		—	—	
Gypsum			—		—
Quartz	—				
Chlorite	—				
Sericite	—				
Kaolinite					—
Illite					—
Structure and texture	Brecciated	—			
	Bedded		—		
	veins	—		—	—
	Nodular		—		
	Colloform			—	
	Disseminated		—		

λλ

فصل ششم

ژئوشیمی

۱-۶- مقدمه

ژئوشیمی با توزیع و مهاجرت عناصر شیمیایی در درون زمین و در ابعاد زمان و مکان سروکار دارد. بنابر نظر (Goldschmidt, 1954)، وظایف اصلی ژئوشیمی را می‌توان به صورت زیر خلاصه کرد:

۱- تعیین فراوانی نسبی و مطلق عناصر و گونه‌های اتمی (ایزوتوپ) در زمین

۲- مطالعه توزیع و مهاجرت عناصر در بخش‌های گوناگون کره‌زمین (اتمسفر، هیدروسفر، پوسته و ...)

کانی‌ها و سنگ‌ها با هدف کشف قوانین و اصول حاکم بر توزیع و اصول حاکم بر توزیع و مهاجرت

آن‌ها و بررسی رفتار عناصر در محیط‌های گوناگون

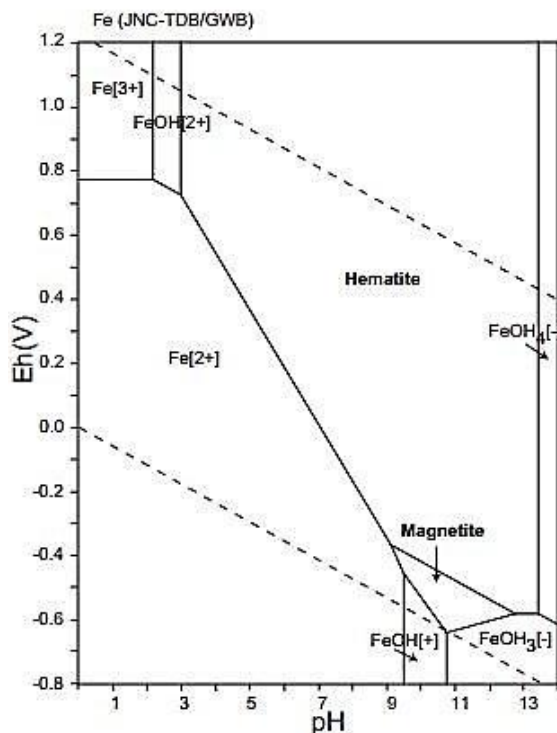
در این فصل سعی بر آن است تا حدی شرایط تشکیل واحدهای سنگی موجود در محدوده مورد مطالعه را شناسایی کنیم، علاوه بر آن منظور از این مطالعه، بررسی رابطه‌ی متقابل سنگ و کانی‌سازی موجود در منطقه است تا از این طریق به منشأ و خاستگاه ماده معدنی دست یابیم.

۲- ژئوشیمی آهن

آهن، عنصری فلزی با نماد Fe، عدد اتمی ۲۶، چگالی 7.78 g/cm^3 است. آهن در گروه ۸ و دوره ۴ جدول تناوبی است، بنابراین به عنوان فلز واسطه قلمداد می‌شود. آهن و آلیاژهای آن از رایج‌ترین فلزات و مواد فرومغناطیس در کاربردهای روزمره هستند. آهن دارای سطوح صاف و نقره‌ای براق مایل به رنگ خاکستری است اما وقتی در هوا با اکسیژن ترکیب می‌شود به رنگ قرمز یا قهوه‌ای در می‌آید. آهن از جمله عناصر سیدروفیل است که گاه خواص کالکوفیل و لیتوفیل نیز از خود نشان می‌دهد و از لحاظ فراوانی چهارمین عنصر فراوان در پوسته زمین است که حدود ۵ درصد پوسته زمین را می‌سازد و دهمین عنصر فراوان در جهان است.

آهن عنصری است که در طول تفریق ماقمایی به صورت کانه‌های گوناگون متبلور می‌شود. در طبیعت معمولاً بصورت دو حالت اکسیداسیون 2^{+} و 3^{+} یافت می‌شود. بر اساس بارنز (Barns, 1997) ژئوشیمی

آهن اغلب با شرایطی تعیین می‌گردد که تحت آن با تغییر در شرایط Eh-PH محیط، از یک ظرفیت به ظرفیت دیگر یا از شکل کمپلکس به یون‌های معدنی یا آلی تبدیل می‌شود (شکل ۶-۱). این عنصر در سیالات به صورت کمپلکس‌های کلریدی حمل می‌گردد. اکسیدها، سولفیدها، کربنات‌ها و سیلیکات‌های آهن، همگی به عنوان کانه‌های آهن نقش مهمی ایفا می‌نمایند. آهن فرو که با MgO و Fe_2O_3 اتحال جامد دارد، معمولاً در شبکه سیلیکات‌ها جانشین Al_2O_3 می‌شود یا کانی‌های اکسید مجزائی مانند مگنتیت را تشکیل می‌دهد (Siegel, 1979). بیش از ۳۰۰ کانی و کانه‌ی آهن دار در طبیعت یافت می‌شوند که از مهم‌ترین آن‌ها می‌توان به مگنتیت، هماتیت، گوتیت، لیمونیت، سیدریت، شاموزیت و تورنیت اشاره کرد. مقدار کمی از آهن موجود در پوسته، در کانسارهای آهن گرد آمده و تجمع یافته است و در واقع، مقدار زیادی از آن در کانی‌های سازنده سنگ‌ها، به ویژه سنگ‌های آذرین یافت می‌شود.



شکل ۶-۱: محدوده پایداری فازهای مختلف آهن در نمودار (Barns1997) Eh-PH

۳-۶- خواص فیزیکی و شیمیایی استرانسیم

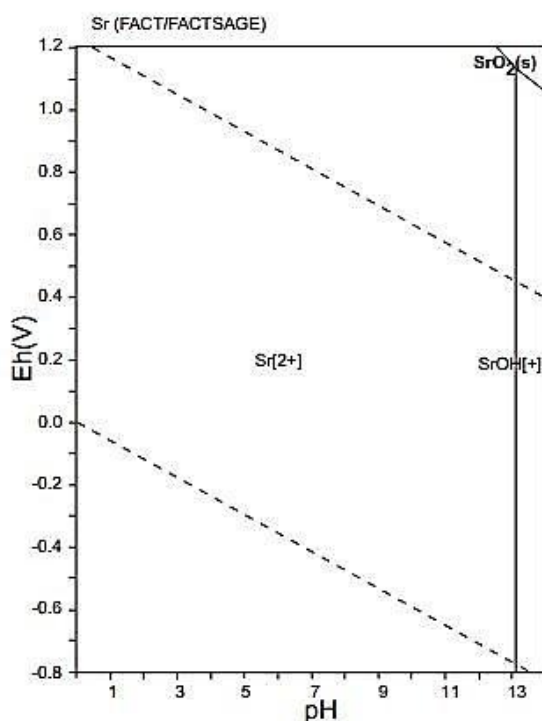
استرانسیم از نظر شیمیایی از عناصر قلیایی خاکی است و در طبیعت به طور آزاد وجود ندارد و با عناصر غیرفلزی مانند اکسیژن پیوندهای یونی دارد که پدید آورنده ترکیبات متنوع است. استرانسیم از نظر ژئوشیمیایی به شدت لیتوفیل است اما در لیتوسفر بالایی به شدت اکسیفیل (مانند کلسیم و باریم) می‌شود. اندازه یون استرانسیم نشان می‌دهد که می‌تواند به جای کلسیم یا پتاسیم قرار گیرد یعنی استرانسیم به وسیله کانی‌های کلسیم پذیرفته (به خاطر شعاع بزرگ‌تر) و به وسیله کانی‌های پتاسیم تسخیر می‌شود (به خاطر بار زیادتر) (مر و شرفی، ۱۳۸۳). داده‌های بدست آمده نشان می‌دهند که استرانسیم در سنگ‌های آذرین، اغلب در پلاژیوکلازها و فلدسپات پتاسیم وجود دارد و تمرکز آن در برخی کانی‌های خاص با پیشرفت تبلور افزایش می‌یابد. فراوانی آن در سنگ‌های آذرین عموماً در بازالت‌ها بیش‌تر از گرانیت‌ها است و به طور کلی فراوانی استرانسیم در پوسته زمین ۰۰۳۵ درصد می‌باشد (Taylor and Mc lennan, 1985). پذیرش آن به جای کلسیم، فرآیند عمده بیرون رفتن استرانسیم از ماگمات. با توجه به ویژگی‌های ژئوشیمیایی مشترک بین استرانسیم، کلسیم و باریم ارتباط تنگاتنگ گروهی آن‌ها در رخدادهای طبیعی، امری عادی است. استرانسیم در کانی‌های سلسیت و استرونسیانیت یافت می‌شود که در جدول (۱-۶) خصوصیات این دو کانی به اختصار شرح داده شده است. خواص ژئوشیمیایی و محدوده پایداری استرانسیم در نمودار (۲-۶) ارائه شده است. فلز استرانسیم از الکتروولیز مخلوط کلر گداخته همراه با کلرید پتاسیم حاصل می‌شود، یا از احیا اکسید استرانسیم با آلومینیم در شرایط خلاً و در دمایی که استرانسیم تقطیر می‌شود، به دست می‌آید. سه شکل آلوتروپی این فلز وجود دارد که نقطه انتقال آن‌ها ۲۳۵ و ۵۴۰ درجه سانتی‌گراد می‌باشد. استرانسیم از کلسیم نرم‌تر است و در آب به شدت تجزیه می‌شود. استرانسیم، در دماهای زیر ۳۸۰ درجه سانتی‌گراد، نیتروژن را جذب نمی‌کند. برای جلوگیری از اکسید شدن استرانسیم این عنصر باید در نفت سفید نگهداری شود. مقطع

جدید استرانسیم، ظاهری نقره‌ای دارد، اما به سرعت به رنگ زرد با ساختار اکسیدی در می‌آید. فلز نهایی در هوا می‌سوزد. نمک‌های فرار استرانسیم رنگ قرمز زیبایی دارند. این نمک‌ها در فسفشه‌ها و مواد آتش‌زا کاربرد دارند. استرانسیم طبیعی از مخلوط چهار ایزوتوپ پایدار تشکیل شده است.

شانزده ایزوتوپ ناپایدار دیگر از استرانسیم وجود دارد. یکی از مهم‌ترین ایزوتوپ‌های ناپایدار استرانسیم Sr^{90} است که نیه عمر آن ۲۹ سال می‌باشد. Sr^{90} محصول ریزش‌های هسته‌ای است و مشکلاتی در سلامت انسان ایجاد می‌کند. این ایزوتوپ یکی از ایزوتوپ‌های با عمر طولانی است که اشعه بتا از خود متصاعد می‌کند و در دستگاه‌های SNAP (سیستم برای قدرت کمکی هسته‌ای) به کار می‌رود. این دستگاه‌ها برای ساختن فضاپیماها، ایستگاه‌های هواشناسی و جاها‌یی که منابع قدرت هسته‌ای – الکتریکی، دراز مدت، سبک وزن نیاز است، به کار می‌روند. در حال حاضر مهم‌ترین کاربرد استرانسیم برای تولید شیشه‌های رنگی تلویزیون است. همچنین از استرانسیم برای تولید آهن‌ربا و تصفیه روی استفاده می‌شود. تیتانیت استرانسیم ماده نوری جالبی است که دارای شاخص انکسار بسیار بالایی است و پراکندگی نوری بالاتری نسبت به الماس دارد. استرانسیم به عنوان جواهر نیز به کار می‌رود، اما خیلی نرم است. خصوصیات عنصر استرانسیم در جدول (۶-۲) آورده شده است.

جدول ۱-۶: خصوصیات سلسیتی و استرانسیانیت (Harben, 1999)

استرونوسیانیت	سلسیتی	کانی
کربنات استرانسیم (SrCO_3)	سولفات استرانسیم (SrSO_4)	فرمول
سفید، سبز، زرد مایل به قهوه‌ای و قرمز	سفید، بنفش متمايل به آبی	رنگ
۳/۸	۴	وزن مخصوص
۳/۵	۳-۳/۵	سختی
منشوری و سوزنی	صفحه‌ای، میله‌ای و منشوری	شکل



شکل ۲-۶: نمودار Eh-PH برای اکسید استرانسیم و هیدروکسید استرانسیم در سیستم (Sr-O-OH)

جدول ۶-۲: خواص اتمی، فیزیکی و شیمیایی استرانسیم را نشان می‌هد

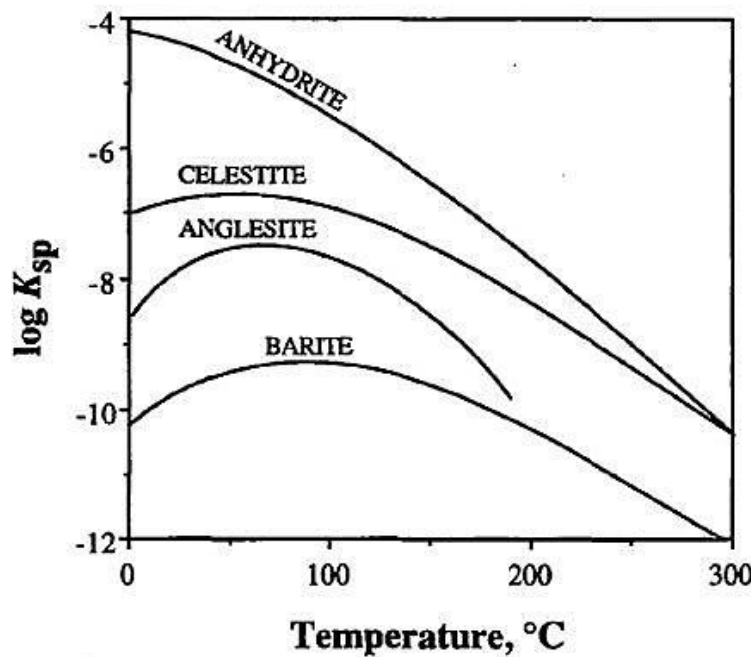
عدد اتمی	۳۸
جرم اتمی	۸۷/۶۲
نقطه ذوب	۷۶۹
نقطه جوش	۱۳۸۴
رنگ	سفید نقره‌ای
حالت استاندارد	جامد
الکترونگاتیوی	۱
حالت اکسیداسیون	۲
چگالی	۲/۶ gr/cm ³
گرمای تبخیر	۱۳۶/۹ Kj/mol
گرمای فروپاشی	۸/۳ Kj/mol

۶-۳- ژئوشیمی سلسیت و انیدریت

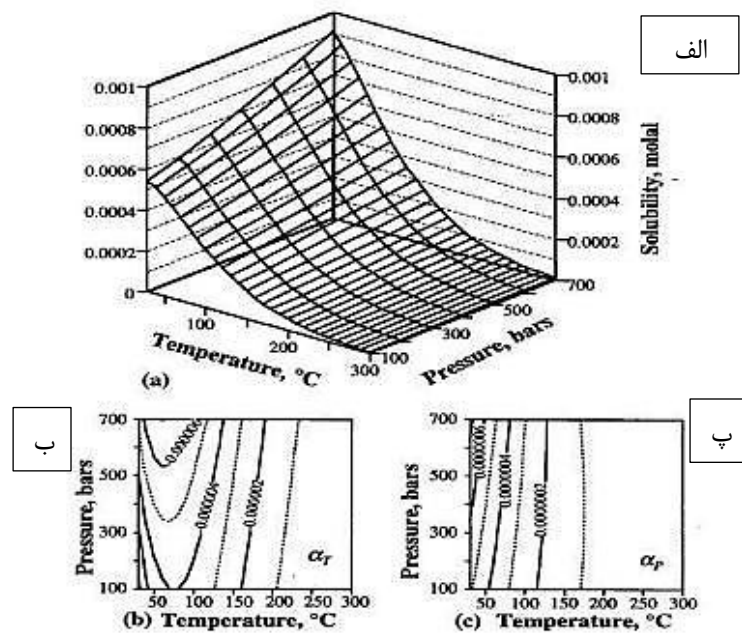
از آنجا که سلسیت و ژپس (انیدریت) و باریت از کانی‌های سولفاتی موجود در کانسار کوه‌ریگ می‌باشند، ابتدا به رفتار ژئوشیمیایی کانی‌های سولفاتی پرداخته می‌شود. سپس بر اساس آن شرایط تهنشست سلسیت و انیدریت بررسی می‌شود. رفتار اتحالی کانی‌های سولفاتی خیلی ساده است. تحت

شرایط گرمابی انحلال کانی‌های سولفاتی با افزایش فشار و شوری و کاهش دما بالا می‌رود. لذا کانی‌های سولفاتی با بالا رفتن دما و افت فشار و کم شدن میزان شوری تهنشست می‌کنند. برای مثال در شکستگی‌های عمیق و نقاطی که فشار نزدیک به سطح لیتواستاتیک تا هیدرواستاتیک است، رسوب می‌کنند. با بالا رفتن PH و Eh میزان قابلیت انحلال کاسته می‌شود. سولفات و سولفید انواع غالب ناشی از حضور گوگرد در محلول‌های گرمابی هستند، که در دمای بالای ۲۰۰ درجه سانتی‌گراد به سرعت به حالت تعادل می‌رسند. در زیر این دما گوگرد در شرایط اکسیدی بلاfacسله اکسید می‌شود و به سولفات تبدیل می‌شود در حالی که در شرایط احیاء در همین دما سولفات به میزان ناچیزی تبدیل به سولفید می‌شود. تمرکز سولفات در سیالات گرمابی در اثر تجمع کانی‌های سولفیدی و اکسیدی از قبیل پیریت، پیروتیت، مگنتیت و هماتیت کنترل می‌شود. افزایش PH محلول گرمابی بیوسولفات را به سولفات تبدیل می‌کند و باعث تهنشست کانی‌های سولفاته می‌گردد. سرعت تهنشست کانی‌های سولفاته به مرتبه کمتر از کانی‌های کربناته است. بیشترین انحلال‌پذیری سلسیت در دمای ۲۰ درجه سانتی‌گراد است. با پایین آمدن دما سلسیت شروع به تهنشست می‌کند. بر مبنای پژوهش (Fuchtbauer and Muller, 1977) در محیط‌های تبخیری گرم و حاره، با تبخیر آب دریاها و دریاچه‌ها و در نتیجه افزایش غلظت نمک‌های حل شده در آن‌ها ابتدا کربنات کلسیم و سپس با تبخیر بیشتر و کاهش نسبت حجم آب به ۱:۵ حجم اولیه سولفات استرانسیم تهنشست می‌کند. بعد از تهنشین شدن سلسیت، انیدریت به حالت تعادل می‌رسد و تهنشین می‌شود. تهنشینی کانی‌های سولفاته در محیط اکسیدی و قلیایی می‌باشد. اما عوامل مهم دیگری که در این فرآیند تأثیر بالاتری دارند فشار، شوری و دمای محلول گرمابی می‌باشد.

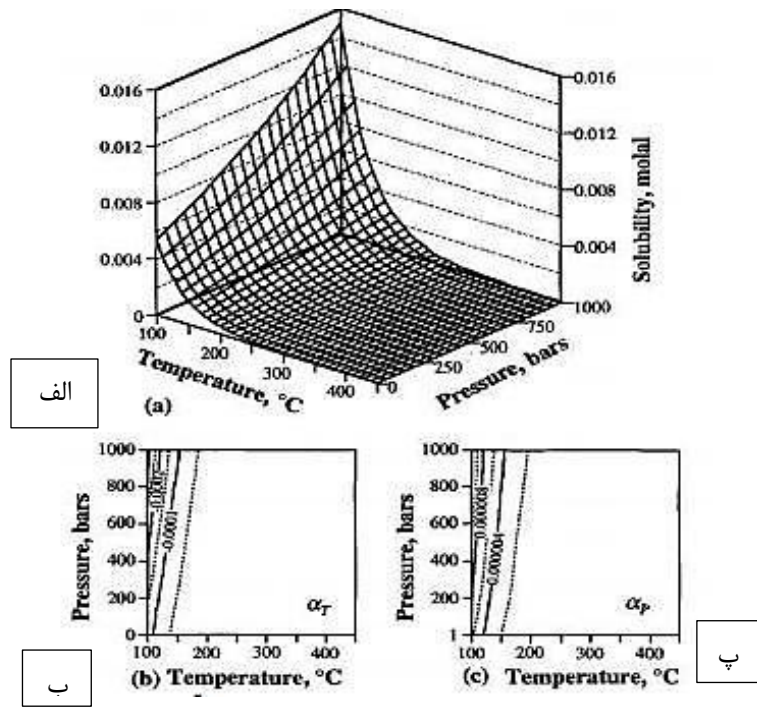
در نمودار (۳-۶) که از کتاب ژئوشیمی ذخایر گرمابی از (Barnes, 1997) اقتباس شده است، محدوده پایداری و قابلیت انحلال چند تا از کانی‌های سولفاته نشان داده شده است. در نمودار (۴-۶) و (۵-۶) به ترتیب قابلیت انحلال سلسیت و انیدریت بر حسب تغییرات دما و فشار مورد بررسی قرار گرفته است.



شکل ۶-۳: قابلیت انحلال تعدادی از کانی‌های سولفاته بر اساس دما (Naumov, 1974)



شکل ۶-۴: (الف) قابلیت انحلال سلسیت بر اساس دما و فشار (Howell et al, 1992). ب) دمای مؤثر بر انحلال سلسیت (بر اساس مول بر کیلوگرم درجه سانتی‌گراد)، پ) فشار مؤثر بر انحلال سلسیت (بر اساس مول بر کیلوگرم)



شکل ۵-۵: (الف) قابلیت انحلال آنیدریت بر اساس دما و فشار (Blount and Dickson, 1969)، (ب) دمای مؤثر بر انحلال آنیدریت (بر اساس مول بر کیلوگرم درجه سانتی‌گراد)، (پ) فشار مؤثر بر انحلال آنیدریت (بر اساس مول بر کیلوگرم)

۴-۶- روش کار

پس از بررسی‌های صحراوی و انجام مطالعات میکروسکوپی بر روی واحدهای سنگی و بهویژه سنگ‌های توالی میزبان و رخسارهای کانه‌دار، جهت مطالعات ژئوشیمیایی کانسار آهن – سلسیتیت کوه‌ریگ تعداد ۱۵ نمونه از کانسنگ و سنگ‌های میزبان جمع‌آوری شد، که این ۱۵ نمونه با حمایت سازمان توسعه و نوسازی معادن و صنایع معدنی ایران (ایمیدرو) به روش ICP-MS جهت بررسی میزان عناصر اصلی، فرعی، کمیاب و عناصر نادر خاکی (REE) آنالیز شدند. داده‌های حاصل از آنالیز ژئوشیمیایی عناصر اصلی، عناصر فرعی، کمیاب و نادر خاکی توسط نرم‌افزار GCDKIT مورد تجزیه و تحلیل قرار گرفتند که نتایج به‌دست آمده در ادامه توضیح داده شده است.

۶-۵- ژئوشیمی سنگ‌های آذرین

سنگ‌های آذرین، در منطقه معدنی کوه‌ریگ به صورت گدازه‌های آتشفشانی با ترکیب‌های متفاوت قابل مشاهده‌اند، لذا مطالعات ژئوشیمیابی بر روی این سنگ‌ها اطلاعات مهمی را در رابطه با منشأ و ترکیب سنگ‌های منطقه در اختیار قرار خواهد داد.

در جدول(۳-۶) میزان عناصر اصلی و کمیاب حاصل از نتایج تجزیه شیمیابی سنگ‌های آذرین محدوده کانسار آهن – سلسیتیت کوه‌ریگ به روش ICP-MS/OES آورده شده است.

جدول ۶-۳: میزان عناصر اصلی و کمیاب سنگ‌های آذرین و کانسنگ کانسار آهن – سلسیتیت کوه‌ریگ به روش ICP-MS/OES
سنگ‌های آتشفشانی، BR: کانسنگ برشی، BE: کانسنگ نواری، L.G: کانسنگ کم‌عیار، Sr: استرانسیم، Ba: باریم، Mn: منگنز، Qtz vein: رگه کوارتزی)

Analyte			Ag	Al	As	Ba	Be	Bi	Ca
Scheme			IMS40B						
Analysis Unit			PPM	%	PPM	PPM	PPM	PPM	%
	Sample Code								
V	S1734	55°20'22/73"N 35° 20' 47/20"E	0.20	7.86	1.8	455.0	0.9	0.08	6.23
V	S1735	55°20'22/73"N 35° 20' 47/20"E	0.20	5.62	1.6	700.0	0.6	0.09	9.28
V	S1736	55°20'22/73"N 35° 20' 47/20"E	0.28	7.02	2.9	473.2	1.5	0.09	7.63
V	S1737	55°09'47/52"N 35° 20' 18/46"E	0.11	5.40	2.0	479.0	1.4	0.06	6.80
BR	S1738	55° 09' 47/68"E 35° 20' 14/79"N	0.14	2.51	169	1170.4	3.3	0.18	0.37
BR	S1739	55° 09' 47/68"E 35° 20' 14/79"N	0.16	1.50	824	1534.8	6.1	0.10	1.79
BE	S1740	55° 09' 48/9"N 35° 20' 14/87"E	0.21	2.01	76.8	855.4	2.0	0.24	0.31
BE	S1741	55° 09' 48/9"N 35° 20' 14/87"E	0.21	2.35	98.4	884.0	1.7	0.18	0.28
L.G	S1742	55° 09' 50/32"E 35° 20' 15 N	0.14	4.49	30.6	264.6	1.5	0.47	4.35
Sr	S1743	55° 09' 47/68"E 35° 20' 14/79"N	0.08	1.33	61.8	203.0	2.1	0.09	0.70
V	S1744	55° 09' 45/24"N 35° 20' 14/81"E	0.15	5.57	6.8	485.6	1.7	0.05	6.89
Ba-Sr	S1745	55° 09' 47/52"N 35° 20' 18/46"E	0.06	0.74	4.9	544.8	0.2	0.09	2.75
Qtz vein	S1746	55° 09' 47/52"N 35° 20' 18/46"E	0.36	5.47	13.7	281.8	1.3	0.09	7.89
Sr	S1747	55° 09' 47/52"N 35° 20' 18/46"E	0.06	0.13	14.6	475.6	0.2	0.07	0.68
Mn	S1748	55° 09' 54/36"E 35° 20' 14/96"N	-0.05	2.49	13.1	277.8	0.6	0.16	>15

Analyte	Cd	Ca	Cd	Ce	Co	Cr	Cs	Cu	Dy	Er
Scheme	IMS40B									
Analysis Unit	PPM	%	PPM							
Sample Code										
S1734	0.11	6.23	0.11	47.2	31.5	35.8	3.75	152	4.05	2.40
S1735	0.12	9.28	0.12	33.8	31.8	69.7	6.80	144	2.83	1.56
S1736	0.23	7.63	0.23	59.0	30.3	45.1	1.75	40.6	4.24	2.61
S1737	0.06	6.80	0.06	50.3	23.9	54.3	1.08	37.7	3.62	2.02
S1738	-0.01	0.37	-0.01	18.4	8.2	51.9	11.7	54.1	1.68	0.93
S1739	0.01	1.79	0.01	16.0	5.4	61.9	8.66	139	1.87	1.01
S1740	-0.01	0.31	-0.01	24.4	9.5	40.4	5.86	61.5	1.71	0.98
S1741	0.03	0.28	0.03	25.4	7.0	38.0	4.92	45.4	1.87	1.10
S1742	0.13	4.35	0.13	28.4	22.4	52.3	7.46	30.2	3.69	2.20
S1743	-0.01	0.70	-0.01	11.4	3.6	23.1	3.50	49.9	1.01	0.56
S1744	0.08	6.89	0.08	51.8	25.9	49.5	3.78	124	3.47	1.90
S1745	-0.01	2.75	-0.01	9.21	1.8	14.9	0.99	19.9	0.58	0.25
S1746	0.09	7.89	0.09	47.9	27.4	75.6	2.23	55.6	3.77	2.02
S1747	-0.01	0.68	-0.01	1.29	1.2	14.5	0.19	24.9	0.15	0.06
S1748	0.89	>15	0.89	25.3	92.0	29.6	3.95	58.6	2.02	0.96

Analyte	Eu	Fe	Ga	Gd	Ge	Hf	Hg	Ho	In	K	La
Scheme	IMS40B										
Analysis Unit	PPM	%	PPM	%	PPM						
Sample Code											
S1734	1.84	6.61	20.1	5.47	-0.1	2.56	-0.01	0.76	0.05	1.36	21.5
S1735	1.47	6.19	18.6	4.24	-0.1	1.72	0.01	0.56	0.06	1.40	16.2
S1736	1.79	5.92	20.3	5.98	-0.1	3.44	-0.01	0.83	0.05	2.29	27.8
S1737	1.47	4.94	18.2	5.11	-0.1	2.49	0.02	0.74	0.02	2.12	24.1
S1738	1.00	>15	7.3	2.27	0.1	1.27	0.02	0.35	0.03	0.86	8.9
S1739	1.16	>15	5.8	2.35	1.3	1.13	0.10	0.39	-0.02	0.56	7.9
S1740	0.81	7.27	16.0	2.43	-0.1	2.78	-0.01	0.29	0.06	3.64	12.2
S1741	0.76	8.13	18.1	2.65	-0.1	2.94	-0.01	0.33	0.04	4.05	11.8
S1742	1.12	5.08	18.4	4.21	-0.1	3.66	0.11	0.75	0.07	2.89	11.4
S1743	0.43	6.65	3.4	1.43	-0.1	0.72	0.06	0.22	-0.02	0.61	4.6
S1744	1.79	6.25	22.7	4.95	-0.1	2.46	0.02	0.64	0.04	2.77	25.7
S1745	0.51	0.55	1.6	0.94	-0.1	0.21	0.14	0.11	-0.02	0.26	4.5
S1746	1.31	5.88	13.1	5.42	-0.1	2.71	0.22	0.75	0.03	1.35	23.0

ادامه جدول -

S1747	0.22	0.68	0.4	0.30	-0.1	-0.05	-0.01	-0.05	-0.02	0.03	0.6
S1748	0.73	2.13	6.8	2.84	-0.1	0.98	-0.01	0.40	0.03	0.90	13.4

	Li	Lu	Mg	Mn	Mo	Na	Nb	Nd	Ni	P
	IMS40B									
	PPM	PPM	%	PPM	PPM	%	PPM	PPM	PPM	%
Sample Code										
S1734	20.6	0.32	2.65	1433.8	1.23	1.96	6.0	24.8	23.5	0.17
S1735	20.0	0.23	1.45	1253.6	1.61	1.38	4.1	18.3	28.2	0.11
S1736	21.3	0.40	1.13	1044.4	1.64	1.87	8.2	28.9	19.9	0.16
S1737	13.6	0.27	1.03	1167.8	1.98	1.66	7.2	23.9	20.5	0.14
S1738	11.0	0.14	0.19	1081.6	9.03	0.51	4.0	7.53	8.1	0.05
S1739	6.1	0.12	0.12	2424.6	76.2	0.44	3.3	7.12	7.0	0.05
S1740	46.7	0.15	0.34	497.4	3.77	1.17	8.7	12.6	10.2	0.13
S1741	38.2	0.14	0.29	534.0	5.34	0.93	8.1	12.7	10.8	0.12
S1742	63.2	0.33	1.00	1112.4	1.54	3.15	8.7	15.6	22.0	0.14
S1743	6.2	0.07	0.06	311.0	4.97	0.31	2.0	5.85	2.6	0.02
S1744	85.2	0.25	1.02	1177.6	2.14	2.64	7.4	25.6	21.8	0.20
S1745	3.1	0.02	0.12	576.0	0.47	0.20	0.5	4.98	3.1	0.01
S1746	59.4	0.30	0.89	2491.8	1.99	1.41	5.8	21.8	15.2	0.11
S1747	-1	-0.01	0.01	197.2	0.62	0.01	0.1	0.57	1.5	-0.01
S1748	12.8	0.15	0.64	>10000	9.20	1.27	2.9	12.2	23.0	0.04

	Pb	Pr	Rb	S	Sb	Sc	Se	Sm	Sn	Sr
	IMS40B									
	PPM	PPM	PPM	%	PPM	PPM	PPM	PPM	PPM	PPM
Sample Code										
S1734	8	5.89	11.3	-0.5	1.67	12.4	-2	5.55	-3	986
S1735	22	4.27	26.7	0.6	20.3	13.9	-2	4.17	-3	882
S1736	17	7.17	48.7	0.6	1.27	12.8	-2	6.02	-3	877
S1737	23	6.00	45.6	0.5	12.9	11.2	-2	5.41	-3	724
S1738	41	2.03	38.4	0.6	3.01	8.8	8	2.50	-3	5668
S1739	72	1.70	26.6	2.1	8.21	10.4	10	2.66	-3	>10000
S1740	100	2.82	130	1.0	1.54	8.9	-2	2.89	-3	8541
S1741	144	3.04	120	0.6	9.66	8.1	3	2.96	-3	4266
S1742	29	3.42	53.3	-0.5	1.15	9.2	-2	4.27	-3	412
S1743	20	1.34	22.5	1.9	3.16	5.5	5	1.64	-3	>10000

ادامه جدول -

S1744	28	6.10	60.5	-0.5	1.16	11.1	-2	5.34	-3	1172
1745	4	1.09	9.8	1.9	0.89	5.1	-2	1.29	-3	>10000
S1746	19	5.47	33.1	-0.5	1.80	10.7	-2	5.24	-3	959
S1747	2	0.15	0.7	1.9	0.11	4.2	2	0.38	-3	>10000
S1748	144	2.92	32.7	1.0	0.56	9.5	-2	2.50	-3	2052

	Ta	Tb	Te	Th	Ti	Tl	Tm	U	V	W
	IMS40B									
	PPM	PPM	PPM	PPM	%	PPM	PPM	PPM	PPM	PPM
Sample Code										
S1734	0.62	0.74	-0.05	3.1	0.52	0.03	0.25	0.7	275	0.9
S1735	0.43	0.51	-0.05	2.4	0.42	0.13	0.18	0.7	299	1.0
S1736	0.69	0.79	-0.05	6.9	0.49	0.15	0.36	1.7	261	1.2
S1737	0.64	0.64	-0.05	5.6	0.43	0.12	0.27	1.4	238	1.0
S1738	0.69	0.33	0.05	3.6	0.15	0.19	0.12	1.0	82.2	1.0
S1739	0.45	0.33	0.06	3.0	0.13	0.16	0.12	1.4	68.8	0.8
S1740	0.57	0.31	0.30	4.0	0.46	1.31	0.13	1.9	190	1.3
S1741	0.53	0.36	0.12	4.3	0.45	1.21	0.14	1.9	168	1.2
S1742	0.56	0.62	0.29	6.1	0.45	1.05	0.30	0.4	204	0.9
S1743	0.17	0.25	0.27	1.4	0.08	0.14	0.10	0.6	37.0	0.5
S1744	0.62	0.64	0.06	4.4	0.57	0.13	0.29	1.7	372	2.3
S1745	0.06	0.12	-0.05	0.4	0.04	0.08	-0.05	0.2	10.3	0.2
S1746	0.43	0.63	0.05	5.6	0.34	0.13	0.27	1.5	174	1.9
S1747	-0.05	-0.05	-0.05	-0.2	-0.01	-0.02	-0.05	-0.1	2.9	0.1
S1748	0.26	0.35	-0.05	3.1	0.12	1.33	0.17	1.7	56.9	0.6

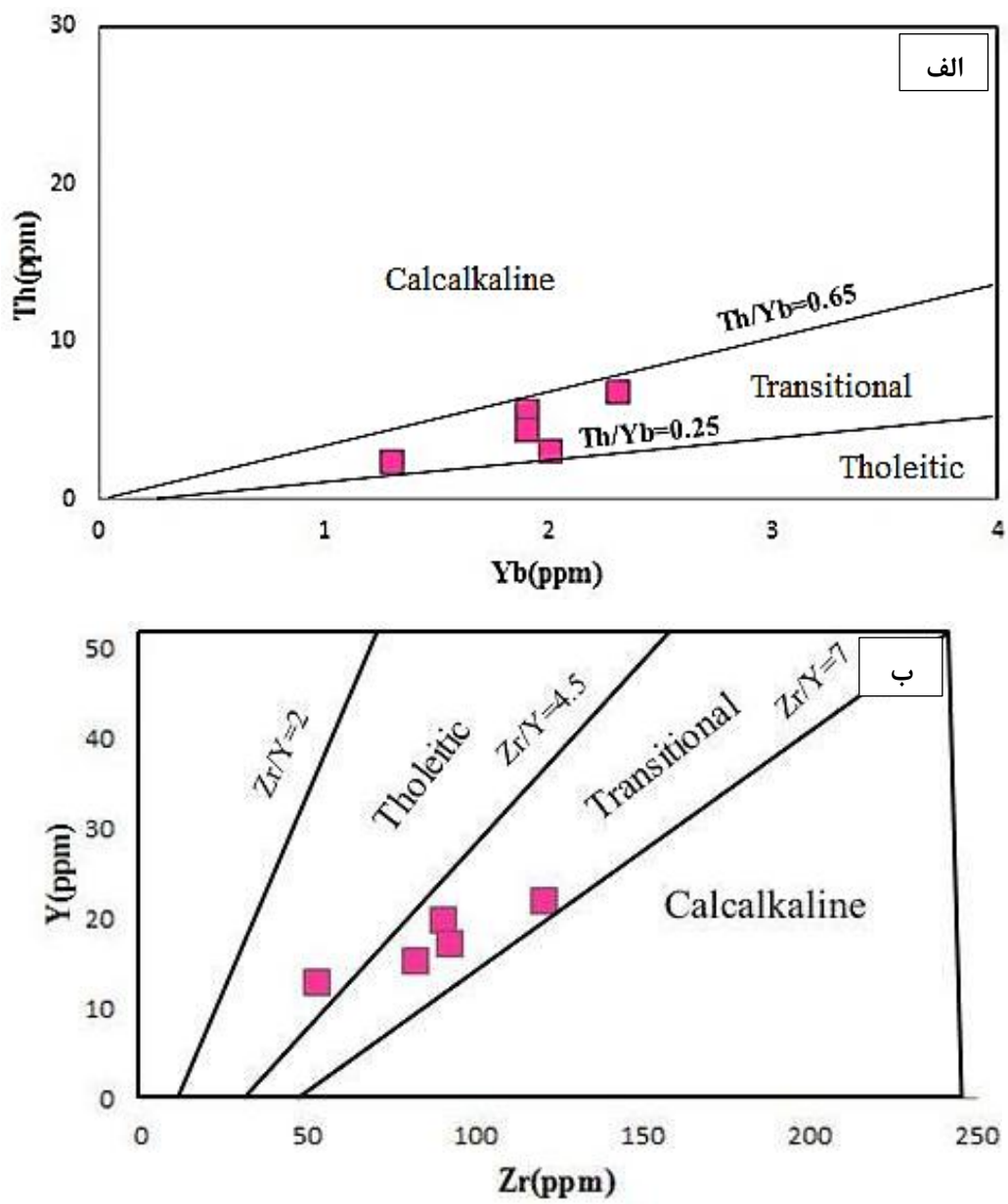
Analyte		Y	Yb	Zn	Zr
Scheme		IMS40B	IMS40B	IMS40B	IMS40B
Analysis Unit		PPM	PPM	PPM	PPM
	Sample Code				
AV007985.066	S1734	19.8	2.0	88.0	90.8
AV007985.067	S1735	12.8	1.3	107	53.1
AV007985.068	S1736	21.8	2.3	275	121
AV007985.069	S1737	17.1	1.9	193	92.7
AV007985.070	S1738	9.6	0.9	92.8	47.3
AV007985.071	S1739	9.8	0.8	67.1	40.4
AV007985.072	S1740	8.5	0.9	130	98.2

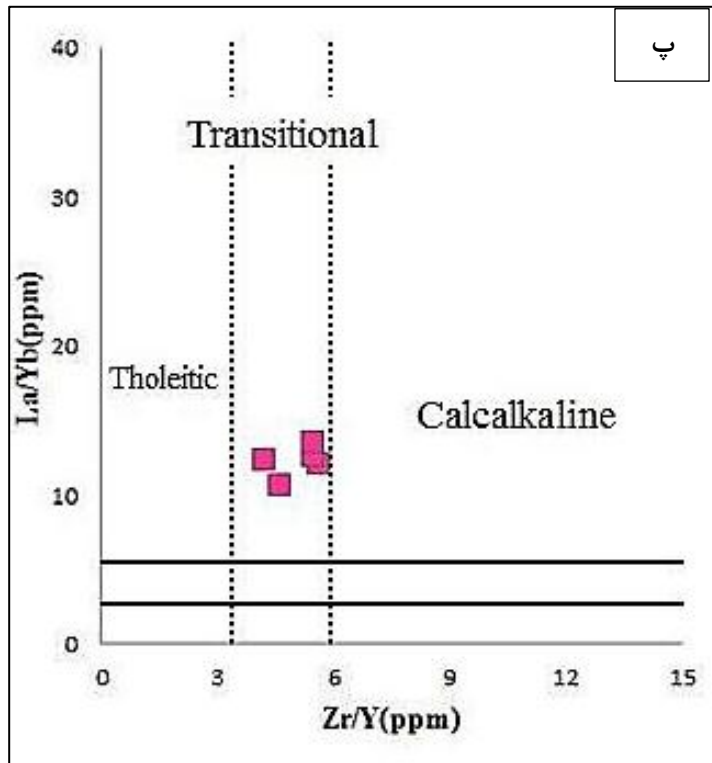
AV007985.073	S1741	8.1	0.9	149	94.6
V007985.074	S1742	18.3	2.2	83.9	134
AV007985.075	S1743	5.1	0.6	30.8	23.9
AV007985.076	S1744	15.1	1.9	108	82.1
AV007985.077	S1745	3.1	0.1	2.1	5.8
AV007985.078	S1746	18.9	2.0	159	89.3
AV007985.079	S1747	1.2	-0.1	6.1	1.1
AV007985.080	S1748	13.1	1.0	230	39.6

۶-۵-۱- طبقه‌بندی و تعیین ترکیب شیمیایی سنگ‌های آتشفسانی

از عناصر اصلی و کمیاب برای طبقه‌بندی و تعیین سری ماغماهی سنگ‌های آذرین و تعیین محیط تکتونیکی آن‌ها استفاده گردیده است.

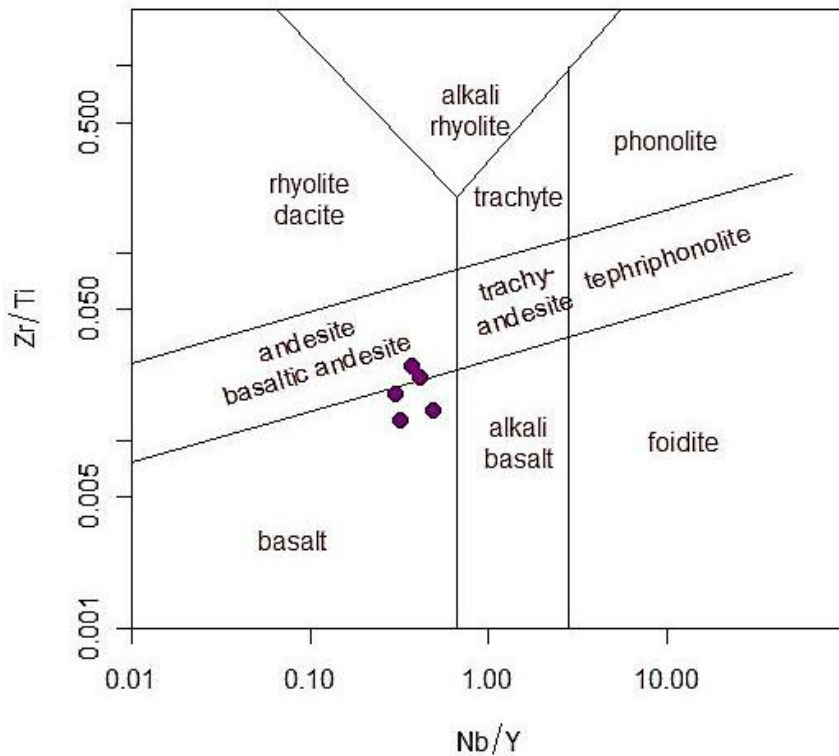
در کانسار آهن - سلسیتیت کوه‌ریگ نسبت میانگین $Zr/Y/(La/Yb)$ ، Zr/Yb ، Yb/Th (Zr/Y) به ترتیب بین $4/5 - 5/5$ و $4/14 - 5/5$ نسبت ($La/Yb: 10/75 - 12/68$ ، $Zr/Y: 4/14 - 5/5$) می‌باشد، و بر اساس نمودارهای آذرین جز سری‌های انتقالی می‌باشند (شکل ۶-۶ الف، ب و پ).





شکل ۶-۶: موقعیت نمونه‌های سنگ‌های آتشفسانی منطقه کوه‌ریگ در نمودار $Zr/Y - La/Yb$ و $Y/Zr - Yb/Th$ (Barrett and MacLean, 1999)

در نمودار دوتایی Nb/Y و Zr/Ti (Pearce et al, 1996) سنگ‌های آتشفسانی ترکیب بازالتی و آندزیت‌بازالت نشان می‌دهند (شکل ۷-۶).



شکل ۶-۷: ترکیب شیمیایی سنگ‌های آتشفشانی محدوده کانسار آهن – سلسیتیت کوه‌ریگ در نمودار Zr/Ti در برابر Nb/Y از (Pearce et al,1996) که نشان‌دهنده ترکیب بازالت و آندزیت سنگ‌های محدوده کانسار است.

۶-۶- تعیین محیط تکتونیکی سنگ‌های آذرین

از آنجایی که ارتباط ویژه‌ای بین شیمی عناصر اصلی و نادرخاکی با محیط تکتونوماگمایی سنگ‌ها وجود

دارد، امروزه از نمودارهای ژئوشیمی برای تعیین محیط تکتونیکی سنگ‌های آتشفشانی استفاده می‌شود.

در نمودارهای تمایز تکتونیکی $Y - 2^*Nb - Zr/4$ (Meschede,1986) (شکل ۶-۸) نمونه‌های منطقه‌ی

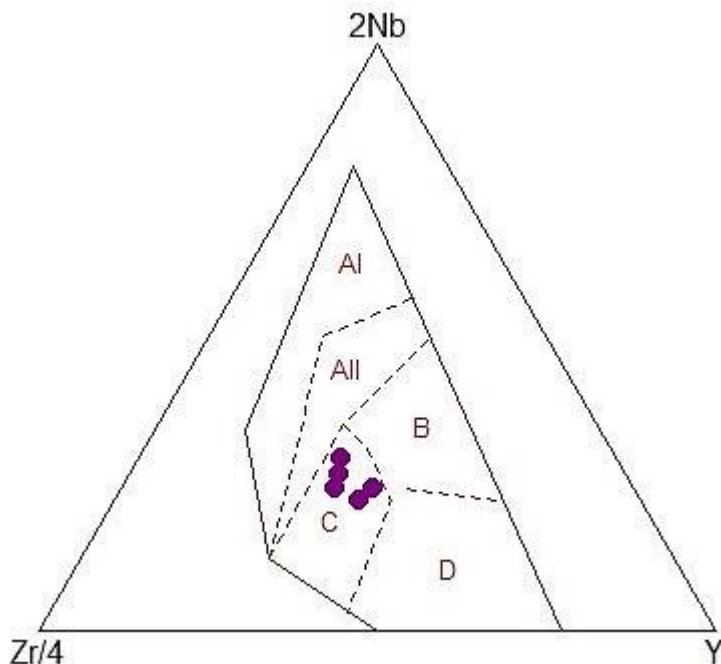
مورد مطالعه، در میدان کمان آتشفشانی قرار می‌گیرند.

AI,AII= Within- Plate
alkaline basalts

AII,C= Within-Plate tholeiite

B=Mid-ocean ridge basalt

C,D=Volcanic arc basalt

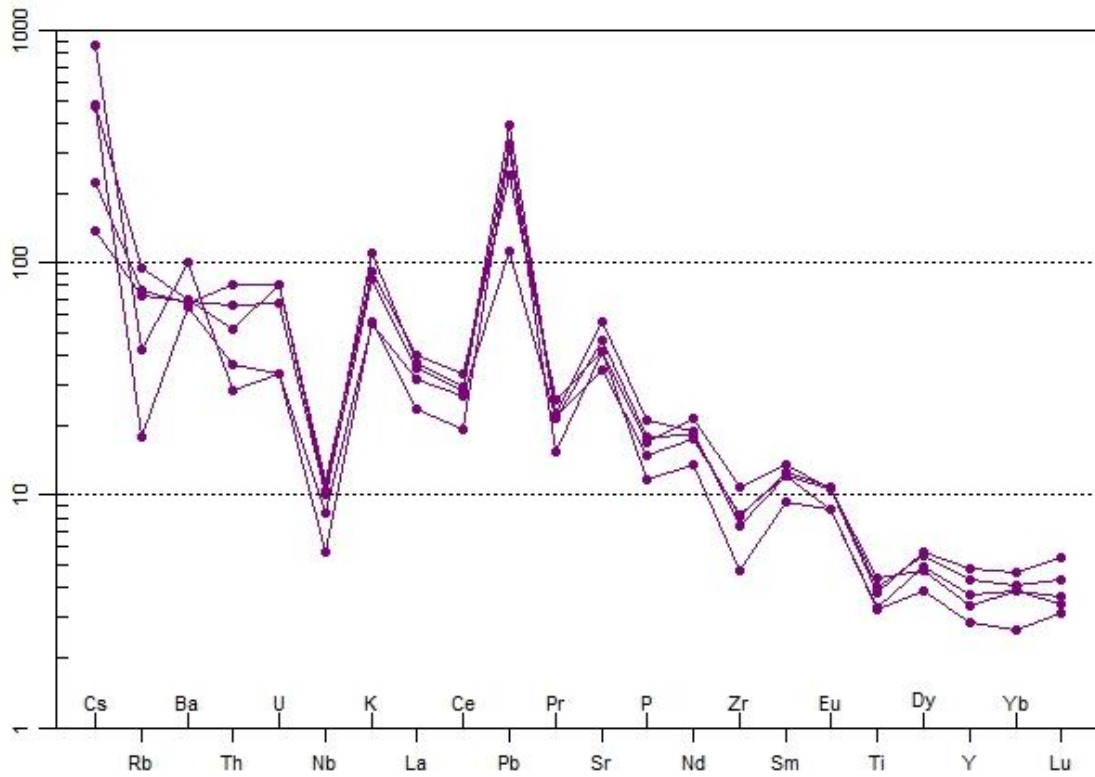


شکل ۸-۶: موقعیت نمونه‌های مورد مطالعه بر روی نمودار تمایز تکتونیکی $\text{Nb}-\text{Y}-\text{Zr}/4$ (Meschede, 1986)

۶-۱-۶- بهنجار شده نسبت به گوشه اولیه در سنگ‌های بازالتی

به منظور بررسی الگوی تغییرات عناصر کمیاب بهنجار شده نسبت به گوشه اولیه برای نمونه‌های مورد مطالعه از نمودار (Sun and McDonough, 1989) استفاده شده است.

این نمودار بی‌هنچاری مثبت از عناصر Rb, Nb, Ba, K, Pb, Sr, Nd, Sm و بی‌هنچاری منفی از عناصر Ti, Zr, Ti را نشان می‌دهد. این نمودار تمرکز پایین از عناصر Nb و Ti را نشان می‌دهد که از خصوصیات ماقماهای مرتبه با فرورانش است (Kovalenko et al., 2010; Goss and Kay, 2009). همچنین بی‌هنچاری منفی Nb و Ti ممکن است مرتبه با فرآیندهای پترولوجیکی مانند مشارکت پوسته قاره‌ای در فرآیندهای ماقمایی باشد.



شکل ۹-۶: نمودار عنکبوتی بهنجار شده نسبت به گوشته اولیه (Sun and McDonough, 1989)

۷-۶- طبقه‌بندی و تعیین شیمی کانسنگ و محیط نهشت آن‌ها

نمودار عناصر اصلی و کمیاب با استفاده‌های داده‌های حاصل از نتایج آنالیز شیمیایی نمونه‌های کانسنگ کانسار آهن – سلسیت کوهریگ به روش (ICP-MS/OES) ترسیم گردیده که در ادامه شرح داده شده است.

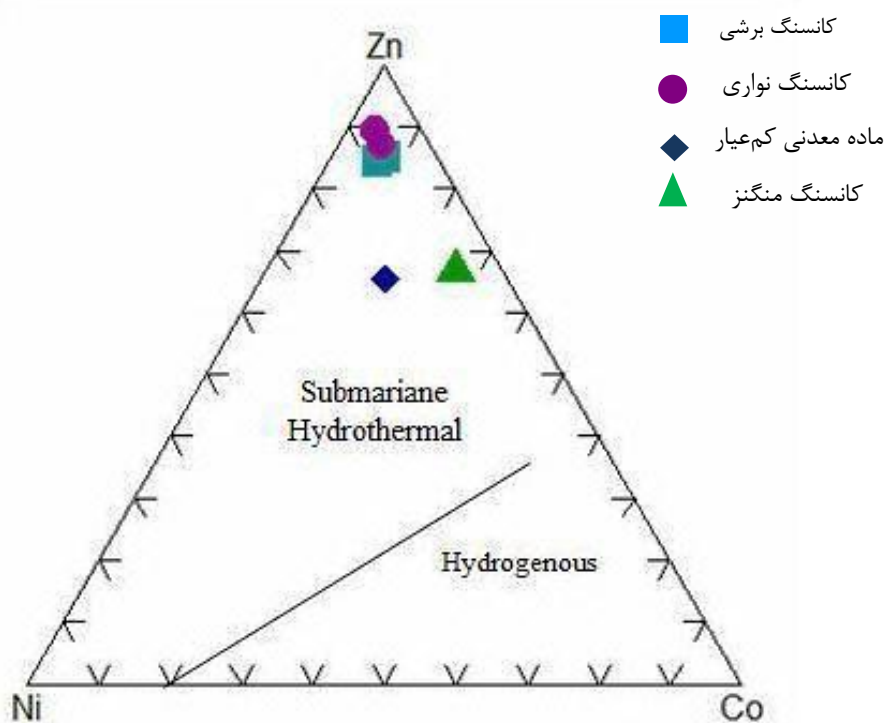
۷-۱- نسبت Co/Zn

نسبت Co به Zn به وسیله (Toth, 1980) به عنوان متمایز کننده کانه‌زایی نوع گرمابی از آبزد مورد استفاده قرار گرفته است. به طوری که این نسبت برای کانسارهای گرمابی دارای میانگینی در حدود ۰/۱۵

و برای کانه‌زایی آبزاد ۲/۵ می‌باشد. در کانسار مورد مطالعه، نسبت Co/Zn، دارای میانگین ۰/۱۵۹ است که تشابه بیشتری با کانسارهای گرمابی دارد.

۲-۷-۶- نمودار Co-Ni-Zn

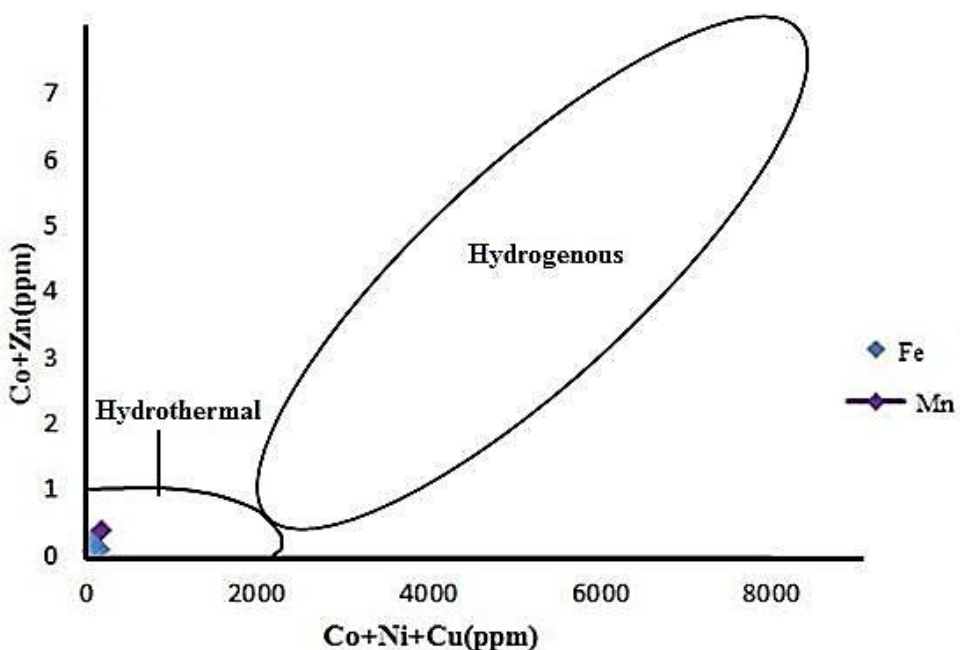
کانسارهای آبزاد فرو منگنز (ندول‌های دریاهای عمیق) از کانسارهای گرمابی زیردریایی، به وسیله بررسی Choi and (1992). این نمودار نشان می‌دهد که اکسیدهای گرمابی در عناصر Co-Ni-Zn نسبت به کانسارهای رسویی دریایی تهی شده‌اند، بر اساس نمودار زیر کانسار آهن – سلسیتیت در محدوده کانسارهای گرمابی قرار می‌گیرد (شکل ۱۰-۶).



شکل ۱۰-۶: نمودار سه‌تایی از (Choi and Hariya, 1992) و موقعیت نمونه‌های مورد مطالعه

Co/Zn – Co+Ni+Cu ۳-۷-۶ - نمودار

این نمودار برای تفکیک کانسارهای فرومگنز گرمابی از آبزد مورد استفاده قرار گرفته است (Toth, 1980). طبق این نمودار کانسارهای فرومگنز نوع آبزد نسبت به کانسارهای گرمابی از غنی‌شدگی بالاتری در عناصری مانند Co, Ni, Cu برخوردار می‌باشد (شکل ۱۱-۶).



شکل ۱۱-۶: نمودار Co/Zn در برابر Co+Ni+Cu از (Toth, 1980) و موقعیت نمونه‌های مورد مطالعه

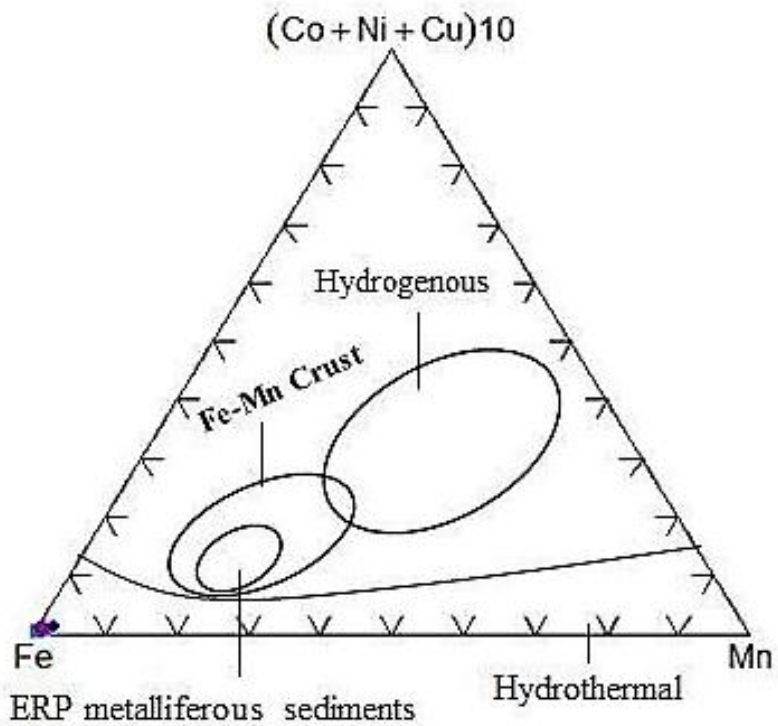
Mn/Fe ۴-۷-۶ - نمودار

آهن و منگنز در موقع نهشت از سیال‌های گرمابی به گونه‌ای خاصی جدا می‌شوند که این جدایش تابع درجه حلایت آن‌هاست. در نهشت‌های بروندمی نسبت‌های متفاوتی از $0.1 < \text{Mn/Fe} < 1.0$ یعنی $\text{Mn/Fe} = 1$ بروند است. در حالی که برای نهشت‌های هیدروژنوس نسبت Mn/Fe و Fe/Mn برابر یک بوده است، و در نهشت‌های دریایی رسوبی نسبت Mn/Fe کوچک‌تر از واحد است (Rona, 1978). در کانسار مورد

مطالعه نسبت میانگین $Mn/Fe = 0.11$ می‌باشد، لذا با توجه به میانگین این نسبت می‌توان گفت، کانسار مورد مطالعه در محدوده کانسارهای بروندمی قرار گرفته است.

Fe-(Ni+Co+Cu)*10 - Mn ۵-۷-۶

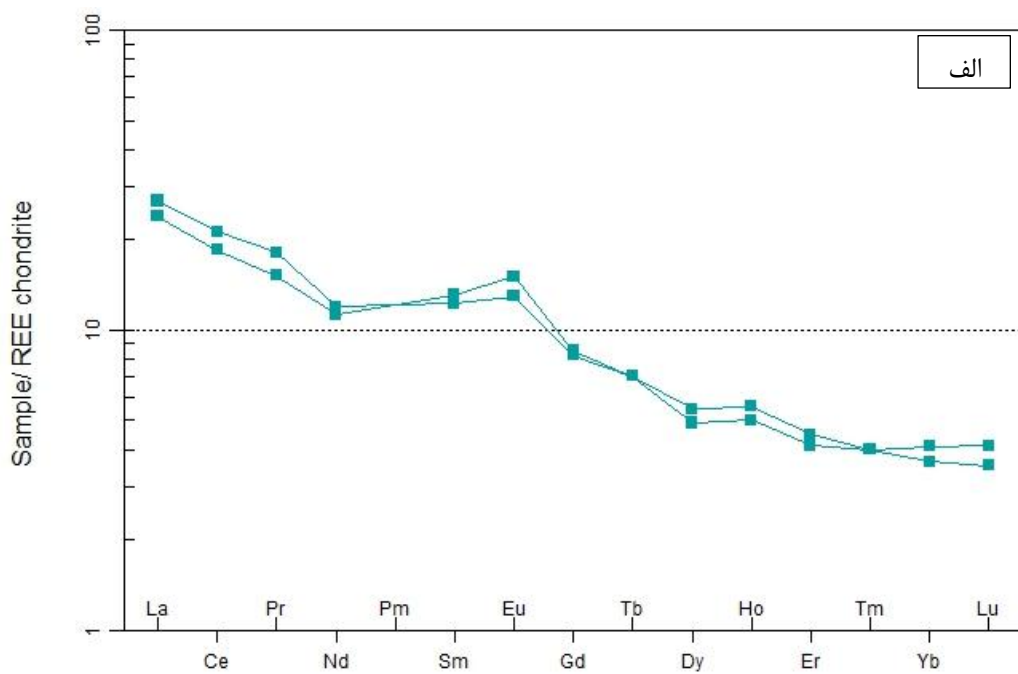
اکسیدهای آهن و منگنز، به میزان زیادی توانایی جذب کاتیون‌های مثبت را از محیط دارند. این امر به دلیل وجود بار منفی اضافی در سطح این اکسیدها صورت می‌پذیرد. از آن‌جا که در محیط‌های زمین‌شناسی مختلف، فراوانی این کاتیون‌ها متفاوت است، غلظت و ماهیت این عناصر می‌تواند نشان‌دهنده رایش کانسارهای آهن و منگنز باشد. به گونه‌ای که در نهشت‌های با منشأ آبزاد، میزان کاتیون‌های Ca, K, Zn, Sr, Mg بالا است، در حالی که نهشت‌های ژرف اقیانوسی مانند گرهک‌ها، افزون بر این عناصر، از عناصر Co, Ni, Cu نیز غنی شده‌اند (Nicholson, 1992). البته غلظت بالای عناصر ناچیز در نهشت‌های آبزاد، حاکی از طولانی بودن مدت زمان رسوب‌گذاری اکسید و هیدرواکسیدهای Fe و Mn است. این امر می‌تواند به دلیل فاصله زیاد محل رسوب‌گذاری از محل خروج محلول‌های گرمابی نیز باشد (Choi, 1992). بر اساس مطالعات موجود در مورد نهشت‌های مختلف گرمابی و آبزاد (Bonatti, 1975) موفق شد در یک نمودار مثلثی محدوده نهشت‌های گرمابی – بروندمی و آبزاد را از هم تفکیک کند. با توجه به این نمودار نمونه‌های کانسار آهن – سلسیت کوهریگ در محدوده گرمابی قرار می‌گیرند (شکل ۱۲-۶).



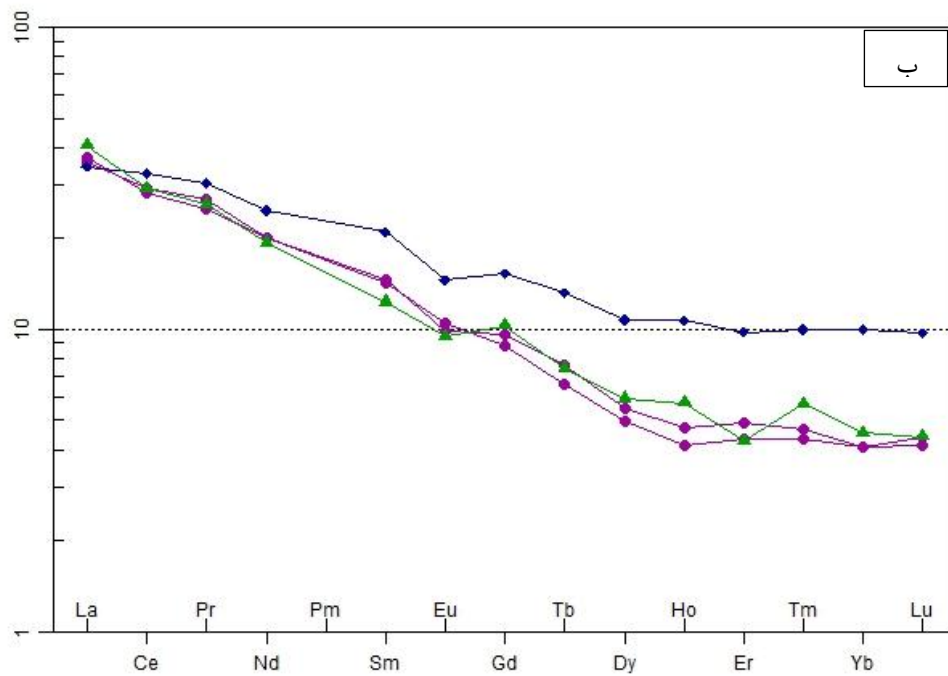
شکل ۱۲-۶: نمودار سه‌تایی $\text{Fe} - (\text{Co} + \text{Ni} + \text{Cu}) * 10 - \text{Mn}$ (Bonatti, 1975)، کانسار مورد مطالعه در محدوده کانسارهای گرمابی قرار گفته است. (راهنما همانند شکل ۱۱-۶ می‌باشد)

۶-۷-۶ - نمودار الگوی عناصر نادر خاکی (REE)

بر طبق نمودار نرمالیزه شده نسبت به کندریت، کانسنگ برشی به دلیل بالا بودن مقدار Sr^{+2} ، اندکی مقدار Eu^{+2} مثبت می‌باشد و Eu^{+2} می‌تواند جانشین Ca^{+2} ، Sr^{+2} در سنگ شود (شکل ۱۳-۶ الف)، محیط تشکیل کانسنگ لایه‌ای کم‌عمق و اکسیدان است و Eu^{+3} نمی‌تواند جانشین عنصر در سنگ شود پس وارد سنگ نمی‌شود و سنگ فقیر از Eu می‌شود (شکل ۱۳-۶ ب)، (Henderson, 1984). در کانی‌های اکسیدی میزان اکثر عناصر نادر خاکی پایین‌تر از حد تشخیص می‌باشد، زیرا بر اساس (Gullers and Graf, 1984a) بیش‌تر کانی‌های اکسیدی میزبان خوبی برای REE نیستند.



Spider plot – REE chondrite (Nakamura 1974)



شکل ۱۳-۶: (الف) نمودار عنکبوتی بهنجارشده نسبت به کندریت برای رخساره برشی، (ب) نمودار عنکبوتی بهنجارشده رخساره نواری، ماده معنی کم عیار و کاتسنسگ منکنز (Nakamura, 1974) (راهنما همانند شکل ۱۱-۶) می‌باشد.

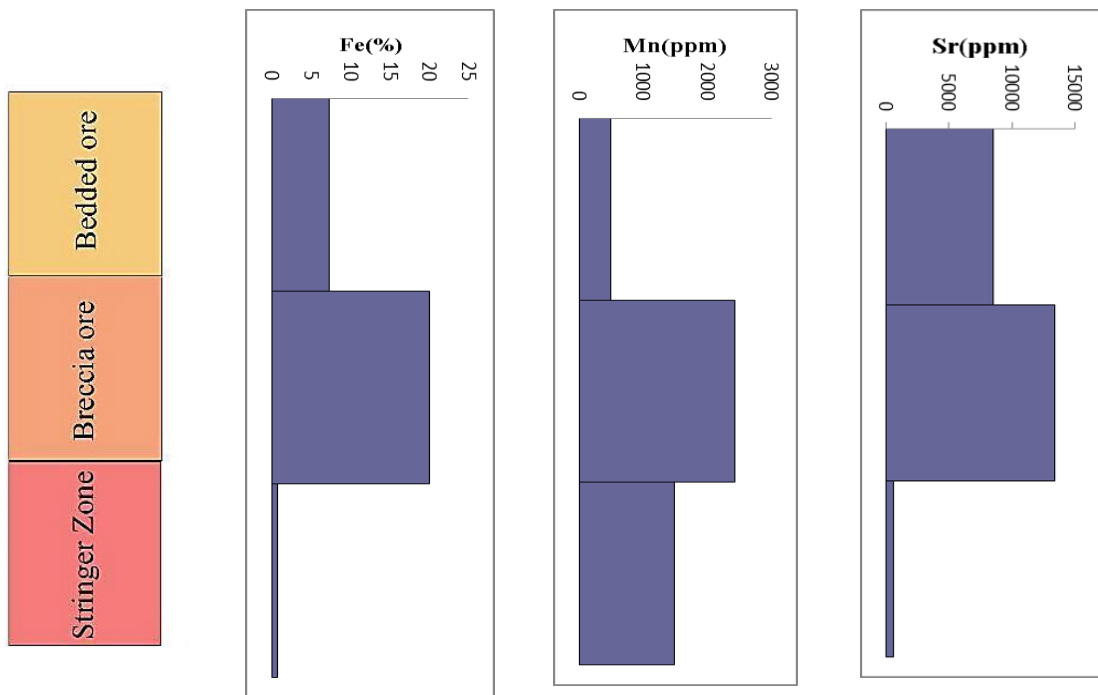
۸-۶- ستون لیتوژئوشیمیایی

به منظور روشن شدن چگونگی توزیع ژئوشیمیایی عناصر مختلف در رخسارهای کانسنگ کانسار آهن - سلسیت کوهریگ، اقدام به تهیه مقطع لیتوژئوشیمیایی از کانسار مذکور شد (شکل ۱۴-۶).

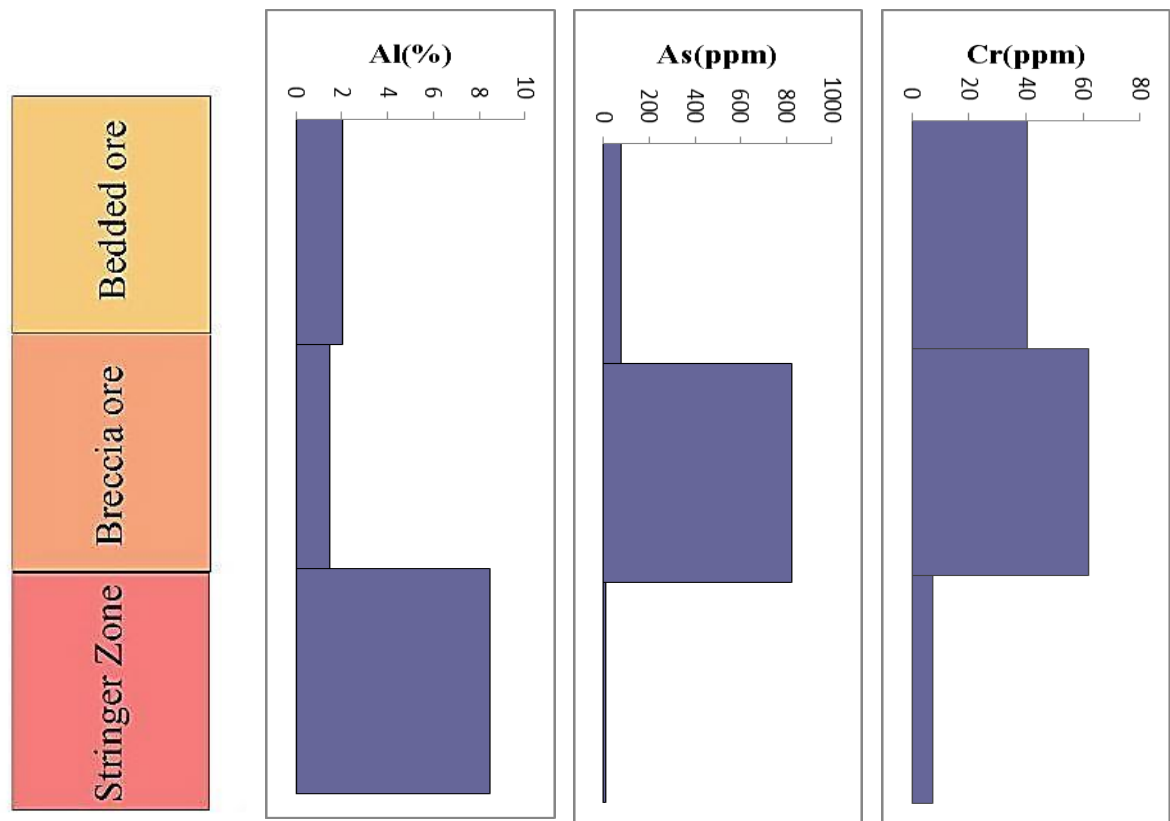
با استفاده از ستون لیتوژئوشیمیایی اینگونه استنباط می‌شود، کانسنگ برشی بالاترین عیار آهن را دارد و As در کانسنگ برشی بیشترین مقدار را دارد، As یک عنصر ردیاب برای اکتشاف طلا می‌باشد، نمونه کانسنگ برشی برای آشکارسازی طلا به روش فایر اسی (Fire assy) تجزیه شد و جواب آنالیز طلا نشان نداده است (شکل ۱۵-۶).

میزان Al در پهنه استرینگ به علت رخداد دگرسانی سریسیتی - آرژیلیکی بالا می‌باشد، این دگرسانی زمانی توسعه پیدا می‌کند که شرایط PH محیط برای تحرک Al چندان مناسب نباشد.

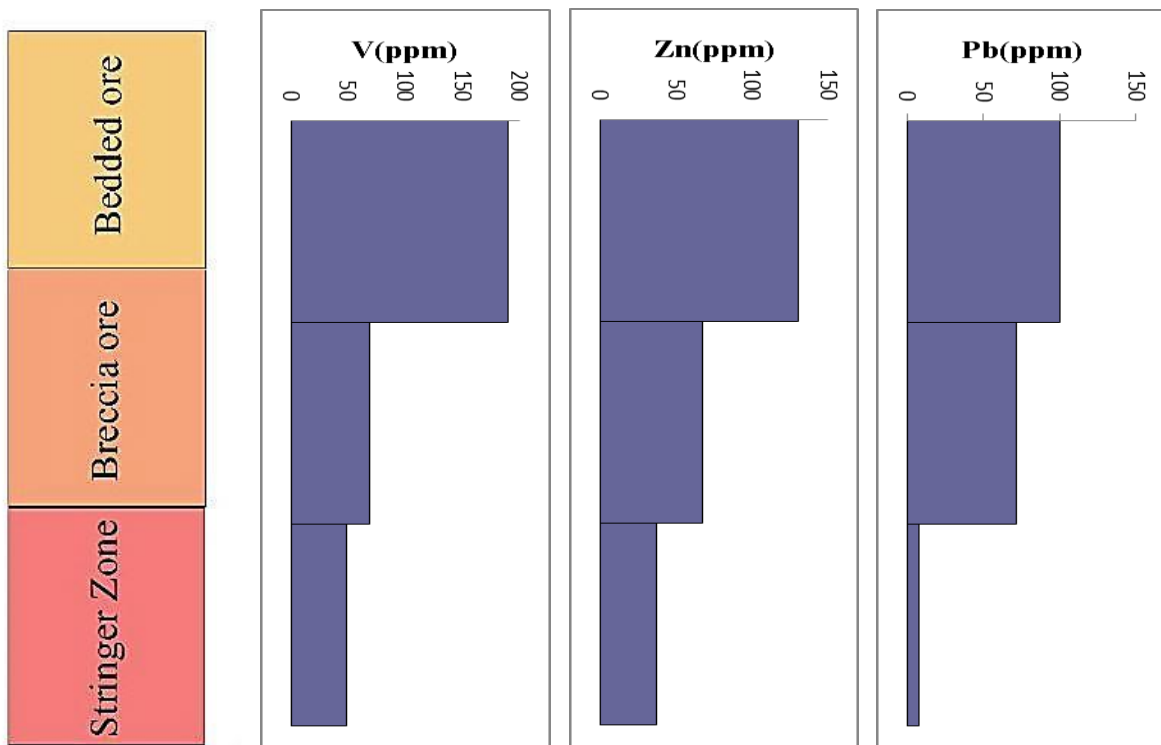
غنى شدگى جزئى فلزات متحرک از قبيل Pb, Zn, Cr, Sr, V مشخصه ورود محلولهای گرمابی در هنگام تهنشست می‌باشد (Sylvestre et al, 2015). در کانسار آهن - سلسیت کوهریگ میزان فلزات ذکر شده در سنگ میزبان، بالا می‌باشد.



شکل ۱۴-۶: میزان تغییرات عناصر اصلی در رخساره رگه - رگچهای، برشی و لایه‌ای در کانسار آهن - سلسیتیت کوه‌ریگ



ادامه شکل ۱۴-۶



شکل ۱۵-۶: نتیجه آنالیز طلا به روش فایر اسی

فصل هفتم

میانبارهای سیال

۱-۷- مقدمه

همزمان با رشد بلورها به علت ناهمسانی‌هایی که در رشد آن‌ها تحت تأثیر عوامل متعدد روی می‌دهد فضاهایی در سطوح رشد بلور ایجاد شده و یا در ضمن رشد درزهایی در بلورها ایجاد می‌شود که محلول-های کانه‌دار می‌توانند در آن‌ها محبوس شوند. به این گونه فضاهای محتویات داخل انکلوزیون‌های میانبارهای سیال گفته می‌شود (Roedder, 1965). کانه‌هایی که به منظور مطالعه میانبارهای سیال نمونه-برداری می‌شوند باید بی‌رنگ و شفاف باشند. با توجه به آنچه که (Shepherd et al., 1985) بیان نموده مناسب‌ترین کانه‌ها برای این منظور عبارتند از:

- ۱- کوارتز ۲- فلوریت ۳- هالیت ۴- کلسیت ۵- آپاتیت ۶- دولومیت ۷- اسفالریت ۸- باریت ۹- توپاز ۱۰- کاسیتیریت.

علاوه بر این بایستی توجه داشت که کانه‌های نرم با رخ آسان مانند کلسیت بسیار مستعد تراوش هستند، لذا در مطالعه آن‌ها باید دقیق بسیار نمود (Guilbert and Park, 1986).

۲-۷- انواع روش‌های مطالعه میانبارهای سیال

در مجموع غلظت نمک در یک فاز سیال، به علاوه دمای به دام انداختن انکلوزیون‌ها، اطلاعات کافی درباره منشأ و ماهیت محلول‌های فراغی به دست می‌دهد. به همین دلیل دو روش اختیاراً برای تعیین پارامترهای بالا به صورت زیر پیشنهاد شده است:

۱- روش مخرب

۲- روش غیر مخرب

روش غیر مخرب: معمولاً فقط داده‌های کیفی یا نیمه کیفی درباره انکلوزیون‌هایی را بدست می‌دهد که برای این کار مناسب هستند در اینجا دو روش طبیعی مشاهده‌ی میکروسکوپی و ریزگرمسنجی، میکروترمومتری برای امتحان کردن انکلوزیون‌های سیال استفاده می‌شود.

روش مخرب: اطلاعات کمی تا نیمه کمی را درباره ترکیب کانی‌شناسی فازهای جامد، مایع و گاز آن با هم با تخریب انکلوزیون‌ها به دست می‌دهد.

به واسطه اهمیت داده‌های زمین گرماسنجی در سنگ‌شناسی کانه‌ها، به همان نسبت انکلوزیون‌های سیال، راهنمای مفید برای اکتشاف توده‌های کانساری پنهان یا برای بازسازی خصوصیات سیالات کانه‌ساز هستند.

۷-۳- انواع میانبارهای سیال بر اساس زمان تشکیل

الف) میانبارهای سیال اولیه

ب) میانبارهای سیال ثانویه

ج) میانبارهای سیال ثانویه کاذب

در شکل ۷-۱ انواع میانبارهای سیال بر اساس زمان تشکیل نشان داده شده‌اند.

چنانچه به دام افتادن سیالات در مرحله رشد کانی میزبان اتفاق افتاد به آن میانبارهای سیال اولیه گفته می‌شود، که دارای مشخصات زیر می‌باشند:

- معمولاً شکل هندسی منظم دارند.

- اندازه آن‌ها در مقایسه با نوع ثانویه بزرگتر است.

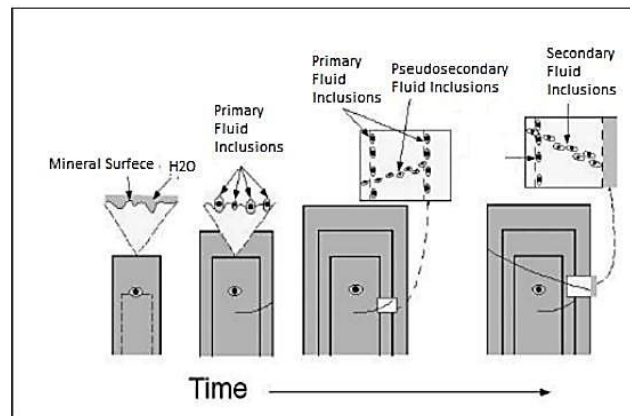
- در امتداد سطوح رشد بلورها قرار دارند.

- با فاصله از یکدیگر قرار دارند.

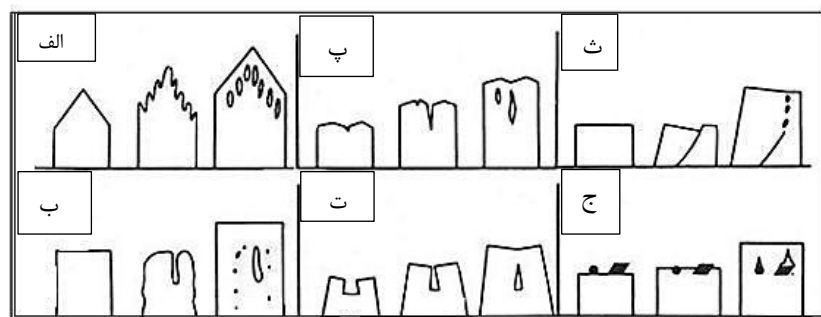
در (شکل ۷-۲) برخی از مکانیزم‌های مؤثر در به تله افتادن میانبارهای اولیه نشان داده شده است.

میانبارهای سیال ثانویه معمولاً در امتداد درزهای قرار دارند، بی‌شکل و یا کشیده هستند و یا حالت صفحه‌ای دارند. چنان‌چه در حین رشد بلورها درزهایی در بلور ایجاد شود و محلول در فضای این درزهای قرار گیرد به گونه‌ای که این درزهای در مراحل بعدی رشد بلور پوشیده شود، میانبارهای سیالی که در این

فضاها قرار می‌گیرند به عنوان ثانویه کاذب شناخته می‌شوند. این‌گونه انکلوزیون‌ها ترکیب شیمیایی و دماستنجی مشابه انکلوزیون‌های اولیه از خود نشان می‌دهند. از آن جایی که این‌گونه شکستگی‌ها در مقطعی از رشد بلور ایجاد شده‌اند معمولاً تا حاشیه بلور ادامه ندارند. این در حالی است که شکستگی‌هایی که در آن‌ها میانبارهای سیال ثانویه شکل گرفته‌اند از حاشیه بلور شروع شده و تا داخل بلور ادامه می‌یابند.



(شکل ۷-۱: طرح شماتیک شکل گیری میانبارهای اولیه، ثانویه و کاذب در طول رشد بلور (Bodnar,2003))



(شکل ۷-۲: مکانیزم‌های مؤثر در به دام افتادن میانبارهای اولیه (Roedder, 1984)) (الف) رشد دندانی سریع، پوشیده شدن حفرات ایجاد شده در اثر رشد بعدی، (ب) انحلال بخشی از بلورهای از قبل موجود به صورت شکاف‌های مقعر عمیق، سیال موجود در این بخش در نتیجه رشد مجدد سطح بلور به دام می‌افتد، (پ) میانبارها بین حفرات مارپیچی انفرادی به تله افتاده و گهگاهی در مرکز رشد مارپیچی واقع می‌شوند، (ت) سیال در نتیجه رشد غیرموازی بلوك‌های بلور به دام می‌افتد (ث) شکستگی در سطح رشد بلور منجر به رشد ناقص و به تله افتادن میانبارها می‌شود، (ج) هر جسم خارجی که روی سطح رشد بلور قرار بگیرد ممکن است به صورت یک میانبار جامد توسط بلور دربرگرفته شود، که در نتیجه بعضی از سیالات همراه آن در بلور به دام می‌افتد.

۴-۷- انواع میانبارهای سیال بر اساس نوع و تعداد فاز

بر اساس نوع و تعداد فازهایی که در میانبارهای سیال وجود دارد، آن‌ها را به انواع زیر تقسیم می‌کنند (جدول ۱-۷).

جدول ۱-۷: رده‌بندی انواع میانبارهای سیال بر مبنای انواع فازهای موجود در دمای اتاق و محتوای آن‌ها (Shepherd et al, 1985)

علائم اختصاری	مثال	فازهای اصلی	نوع انکلوزیون
L		L=%100	ماج (نک فاز)
L+V		L>%50	غنى از ماج (دو فاز)
V+L		V=%80-50	غنى از گاز (دو فاز)
V		V=%100	گاز (نک فاز)
S+L±V		متغیر	غنى از املاح (چند فاز)
L ₁ +L ₂ ±V		L ₁ +L ₂	ماج غیر قابل انتزاع
GL±V±S	-----	GL>%50	حاوى شبه
GL شبه: S جامد:		V بخار: L ماج:	

۷-۵- روش کار

برای مطالعات میانبارهای سیال کانسار آهن - سلسیت کوهریگ دو نمونه که یکی از رگه‌های سیلیسی (شکل ۳-۷ الف و ب) و دیگری از رگه کلسیت - باریت - کوارتز (شکل ۷-۵ الف، ب) انتخاب شده است. و جهت تهیه مقاطع دوبرصیقلی به دانشگاه تربیت مدرس فرستاد شد. مطالعات میانبارهای سیال بر روی ۲ نمونه دوبرصیقل (Thin Sections Doubly Polished) صورت پذیرفت. اندازه‌گیری پارامترهای دمایی در

آزمایشگاه کانی‌شناسی مرکز تحقیقات فرآوری مواد معدنی ایران به کمک Stage:THMS600 با مدل Linkam ZEISS میکروسکوپ نصب است صورت گرفت، دامنه حرارتی دستگاه ۱۹۶°C است که بر روی گرماشی (TP94) و سرمایش (LNP) مخزن ازت (جهت پمپ نیتروژن برای انجماد) و مخزن آب (جهت خنک کردن دستگاه در دمای بالا) است.

کالibrاسیون Stage در گرماشی با دقت ± 0.6 درجه بوده که با نیترات سزیم (Cesium nitrate) و با نقطه ذوب ۴۱۴ درجه صورت پذیرفت و در انجماد با دقت ± 0.2 درجه و با ماده استاندارد ان- هگزان (n-hexane) با نقطه ذوب ۹۴.۳ درجه سانتی‌گراد انجام گرفت.

۶-۱- پتروگرافی میانبارهای سیال

در مطالعه پتروگرافی، مشخصات نوری از قبیل شکل و اندازه میانبارهای سیال (Shape* Size)، رده‌بندی ژنتیکی (اولیه، ثانویه کاذب)، محتویات میانبارهای سیال ($L+V+S$) نسبت V/L ، نوع کانی‌های دختر (با توجه به شکل کریستالی و مورفولوژی ظاهری)، پدیده‌هایی مانند Leakage و Necking down و مورد بررسی قرار می‌گیرد.

برخی پدیده‌ها مانند باریک شدگی (Necking down) (شکل ۳-۷) و Leakage باعث می‌شوند تا داده‌ها و نتایج میانبارهای سیال قابل اعتماد نگردد لذا از مطالعه حرارت‌سنجی آن‌ها صرف‌نظر شده است. مطالعات پتروگرافی میانبارها با بزرگنمایی‌های ۵۰۰ و ۸۰۰ انجام گرفته است.

۶-۲-۷- ردہبندی میانبارهای سیال در رگه‌های سیلیسی با میزبان سنگ‌های

آنذیت بازالت

میانبارهای سیال در مقاطع مورد مطالعه بطبق معیارهای (Shepherd,1984) و (Roedder,1985) به اولیه، ثانویه کاذب طبقه‌بندی شده‌اند. میانبارهای اولیه و ثانویه در نمونه مشاهده گردید که در عکس‌ها نیز به خوبی قابل تشخیص هستند.

۶-۳- انواع میانبارهای سیال در رگه‌سیلیسی با میزبان سنگ‌های آندزیت

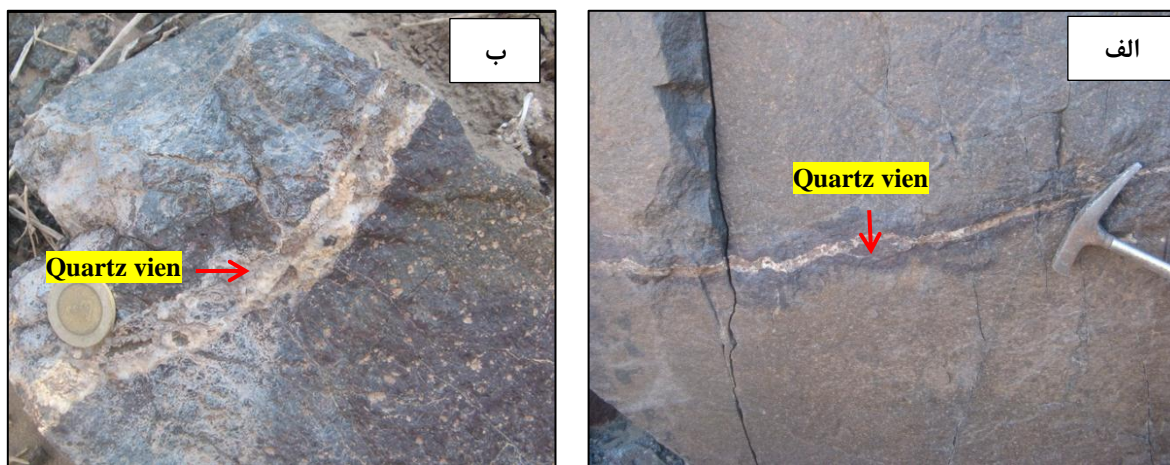
بازالت

میانبارهای موجود در نمونه‌ها شامل انواع:

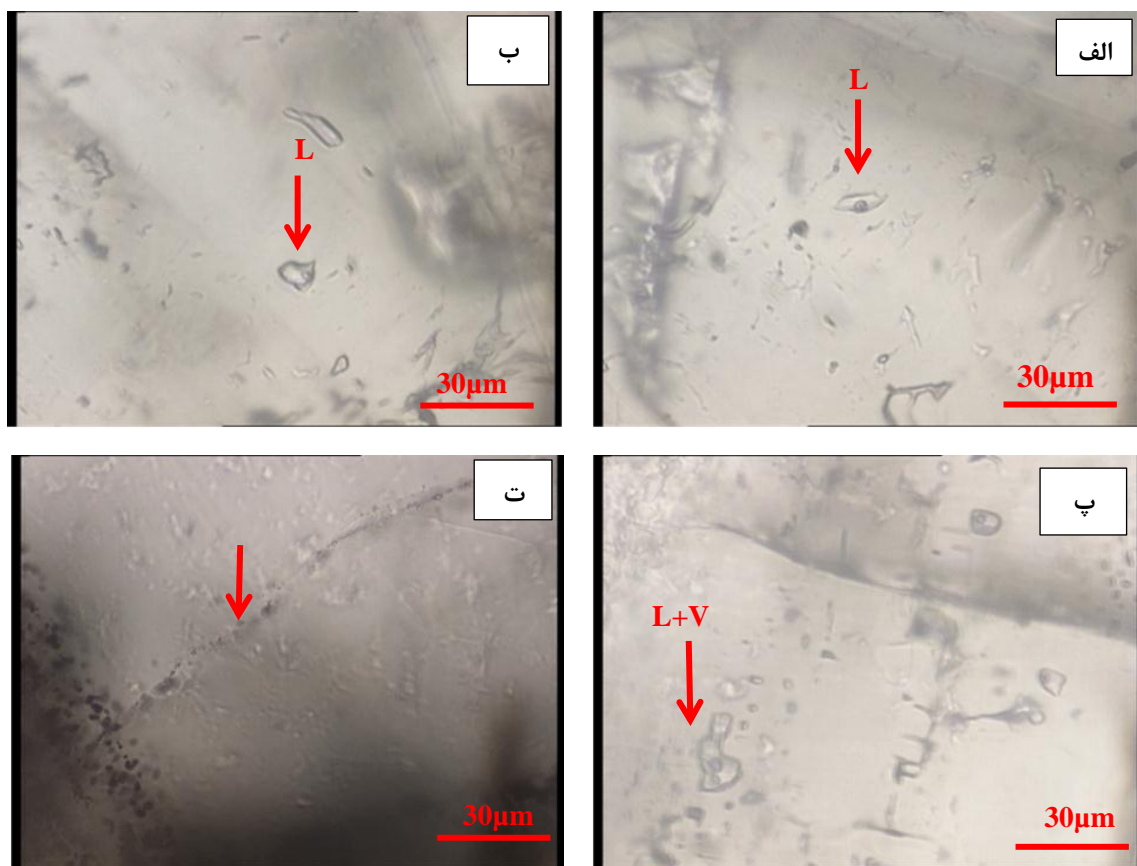
A: دو فازی مایع-گاز (Liquid rich) L+V

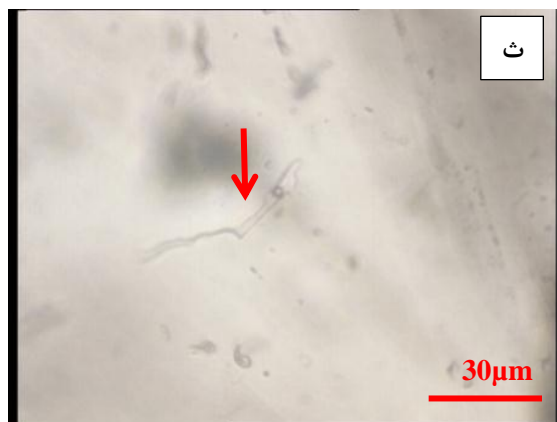
B: تک فاز مایع (Liquid) L

پارامترهای دمایی بر روی میانبارهای نوع A صورت گرفت (شکل ۷-۴). این میانبارها به صورت دوفازی بوده یا به عبارت دیگر متتشکل از مایع آبغین و حباب بخار هستند، حباب بخار حدود ۲۰ الی ۳۰ درصد حجم میانبار را اشغال کرده است در واقع درجه پرشدگی این نوع از میانبارها در حدود ۰/۷ الی ۰/۸ است. این میانبارها به اشکال کشیده و بلور منفی (به تبعیت از کانی میزبان) مشاهده می‌شوند. شوری این تیپ در محدوده ۰/۶ الی ۶/۴۷ درصد وزنی نمک طعام است. همگن شدن نیز در بازه دمایی ۱۲۹ تا ۲۹۸ درجه سانتی گراد رخ داده است. در میانبارهای مورد مطالعه، همگن شدن فاز بخار به فاز مایع رخ داد (V+L-L)، و هیچ‌گونه همگن شدن به فاز بخار در نمونه‌ها مشاهده نگردید.



شکل ۷-۳: الف) رگچه‌های سیلیسی با میزبان آندزیت بازالت ب) نمونه دستی از رگچه‌های سیلیسی با میزبان آندزیت بازالت





شکل ۷-۴: الف و ب) میانبارهای دو فازی غنی از مایع، پ) میانبارهای دو فازی غنی از مایع و گاز، ت) میانبارهای ثانویه، ث) پدیده باریک شدگی

۶-۴-۷- رده بندی میانبارهای سیال در رگه‌ی کلسیت - باریت - کوارتز با میزبان

سنگ‌های آندزیت بازالت دگرسان شده

میانبارهای سیال در مقاطع مورد مطالعه برطبق معیارهای (Shepherd, 1984) و (Roedder, 1984) به اولیه و ثانویه طبقه‌بندی شده‌اند. میانبارهای اولیه و ثانویه در عکس‌ها نیز به‌خوبی قابل تشخیص هستند.

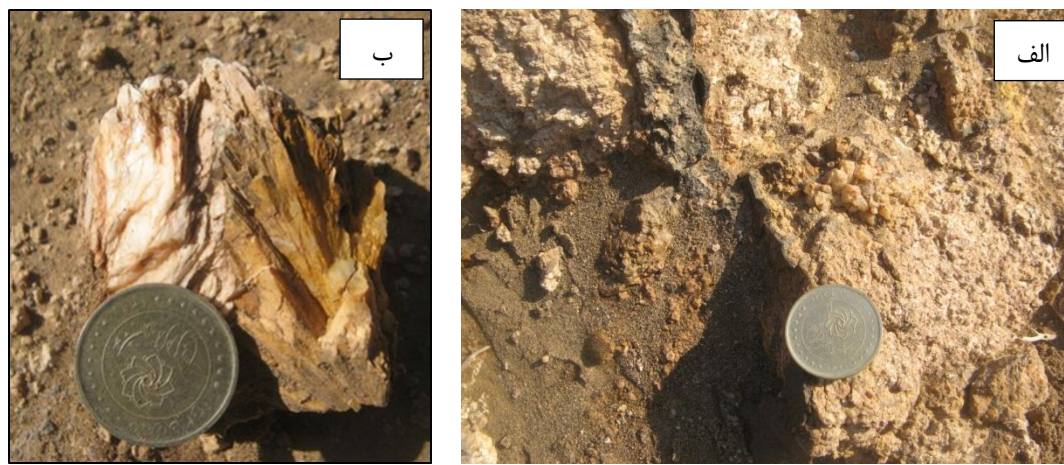
۶-۵-۷- انواع میانبارهای سیال در رگه‌ی کلسیت - باریت - کوارتز با میزبان

سنگ‌های آندزیت بازالت دگرسان شده

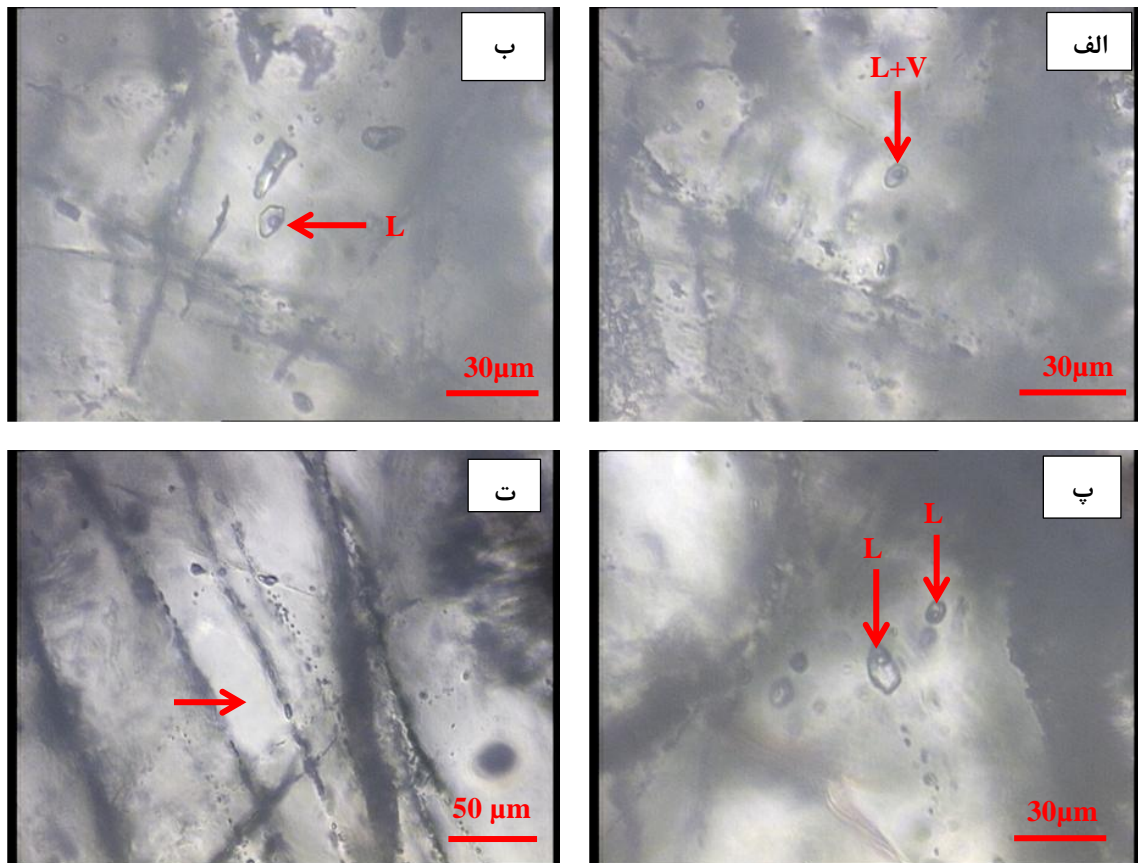
A: میانبار دو فازی غنی از مایع متشکل از حباب بخار و مایع آبگین (حباب بخار در حدود ۳۵ درصد حجم میانبار را تشکیل داده است) (شکل ۷-۶ الف).

B: میانبار دو فازی غنی از مایع (شکل ۷-۶ ب و پ).

قابل ذکر است در این نمونه مطالعات میانبارهای سیال بر روی کانی کلسیت صورت گرفته است.



شکل ۷-۵: الف) تصویر صحرایی از رگه کلسیت - باریت - کوارتز، ب) نمونه دستی از رگه کلسیت - باریت - کوارتز



شکل ۷-۶: الف) میانبارهای دو فازی غنی از مایع و گاز، ب و پ) میانبارهای دو فازی غنی از مایع، ت) میانبارهای ثانویه در امتداد رخ

۶-۶-۷- مطالعات دماسنجی میانبارهای سیال

مطالعات میکروترموتری بر اساس مشاهدات دقیق و تشخیص تغییرات فازی سیال درگیر، طی مراحل سرمایش و گرمایش بنا شده است. نتایج این مطالعات در جدول (۲-۷) ارائه شده است.

۶-۶-۱- گرمایش

به منظور انجام مطالعات میکروسکوپی و تعیین درجه حرارت تشکیل کانی‌ها، نمونه‌ها را در اتفاق کقرار داده و درجه حرارت را به قدری افزایش می‌دهند تا میانبارهای سیال تبدیل به یک فاز یکنواخت گردد. این درجه حرارت را درجه حرارت یکنواختی می‌نامند. این دما پایین‌ترین دمای به دام افتادن سیال کانه‌ساز یا دمای تشکیل کانی می‌باشدند. درجه حرارت همگن شدگی میانبارهای سیال دو فازی با تبدیل بخار به مایع صورت گرفته است. در نمونه‌های حاوی بخار بالا با تبدیل مایع به بخار دمای همگن شدگی ثبت می‌شود. در شکل (۵-۷ و ۶-۷) هیستوگرام دمای همگن شدگی نشان داده شده است. بیشترین فراوانی دمای همگن شدن مربوط به گستره دمایی ۲۰۰ تا ۲۳۴ درجه سانتی‌گراد در نمونه سیلیسی (شکل ۷-۷) و بیشترین فراوانی دمای همگن شدن در نمونه کلسیت - باریت - کوارتز مربوط به گستره دمایی ۲۱۰ تا ۲۴۹ می‌باشد (شکل ۸-۷).

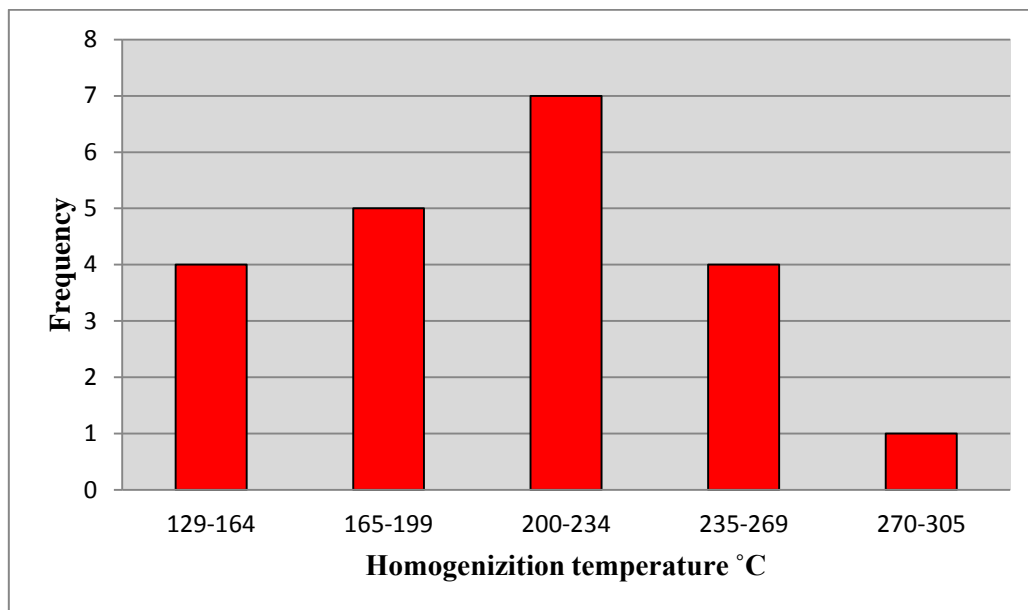
در جدول ۲-۷ نتایج آنالیز مربوط به دما و تعیین شوری در میانبارهای سیال آورده شده است.

جدول ۷-۲: نتایج آنالیزهای دماسنجی، تعیین شوری در میانبارهای سیال کوارتزی کانسار آهن - سلسیت کوهريگ

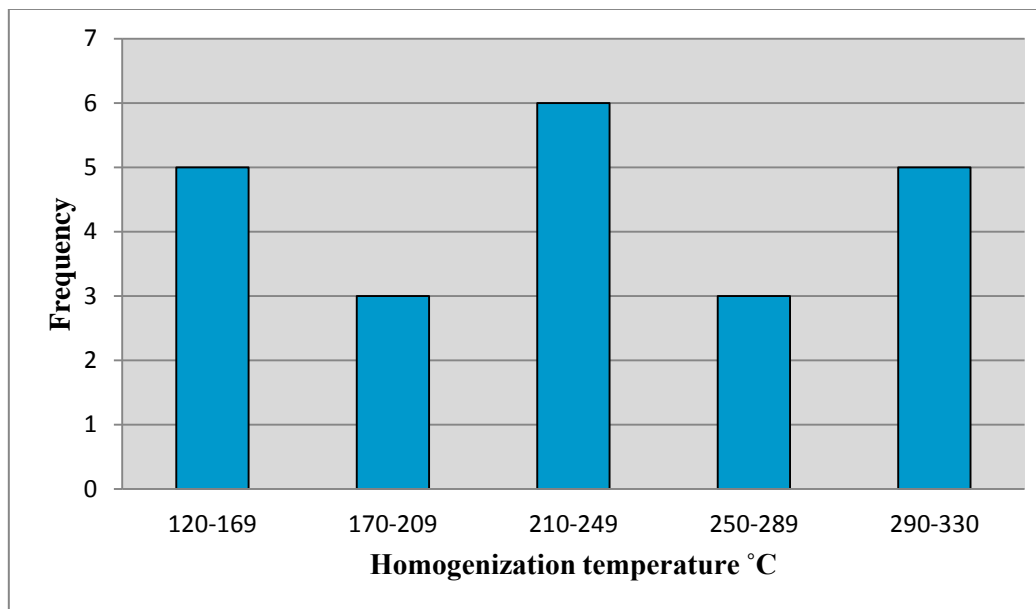
n	Size(µm)	Type	Te (°C)	Tmice (°C)	wt% NaCl	Thv-I (° C)
1	25	L+V	در محدوده تا -۲۱ -۳۰ درجه سانتيگراد	-1.5	2.50	190
2	15	L+V		-1.8	3.03	195
3	9	L+V		-2	3.39	185
4	10	L+V		-1	1.57	190
5	7	L+V		-3.9	6.47	206
6	15	L+V		-0.6	0.80	129
7	20	L+V		-0.6	0.80	130
8	17	L+V		-0.6	0.80	130
9	10	L+V		-1	1.57	166
10	15	L+V		-0.6	0.80	230
11	10	L+V		-0.5	0.60	245
12	18	L+V		-0.5	0.60	130
13	15	L+V		-0.6	0.80	220
14	10	L+V		-0.6	0.80	228
15	9	L+V		-0.5	0.60	298
16	10	L+V		-2	3.39	228
17	6	L+V		-0.5	0.60	239
18	10	L+V		-0.5	0.60	225
19	12	L+V		-1.5	2.50	246
20	15	L+V		-0.5	0.60	258
21	10	L+V		-1.5	2.50	213

جدول ۷-۳: نتایج آنالیزهای دماسنگی، تعیین شوری در میانبارهای سیال کلسیت در کانسار آهن - سلسیت کوهریگ

n	Size (μm)	Type	Origin	Te ($^{\circ}\text{C}$)	Tmice ($^{\circ}\text{C}$)	Tmh _h ($^{\circ}\text{C}$)	wt% NaCl	wt% CaCl ₂	wt % NaCl/(NaCl+CaCl ₂)	wt % NaCl-CaCl ₂	Thv-l
1	17	L+V	P	در محدوده ۲۱-۳۰ درجه سانتیگراد	-7.5	11.27	176
2	17	L+V	P		-8	11.84	204
3	10	L+V	P		-8.5	12.4	162
4	15	L+V	P		-8.5	12.40	250
5	7	L+V	P		-6	9.41	150
6	8	L+V	P		-7.5	11.27	150
7	10	L+V	P		-7.5	11.27	139
8	10	L+V	P		-7.5	11.27	290
9	8	L+V	P		-7	10.67	300
10	10	L+V	P		-1.3	2.13	175
11	10	L+V	P		-4.5	7.36	241
12	10	L+V	P		-4.5	7.36	220
13	20	L+V	P		-6	9.41	222
14	7	L+V	P		-4.5	7.36	225
15	10	L+V	P		-2.5	4.24	285
16	10	L+V	P		-6	9.41	270
17	6	L+V	P		-4	6.62	238
18	8	L+V	P		-4.5	7.36	230
19	7	L+V	P		-4.5	7.36	310
20	10	L+V	P		-7	10.67	315
21	8	L+V	P	-52	-15.6	-26	9.35	9.2	0.5	18.55	120
22	10	L+V	P	-52	-14	-24	11.62	5.85	0.67	17.47	314



شکل ۷-۷: نمودار هیستوگرام درجه همگن شدگی میانبارهای سیال نسبت به فراوانی آن‌ها در نمونه‌ی رگه‌ی سیلیسی کانسار آهن - سلسیت کوهریگ که بیشترین فراوانی متعلق به محدوده حرارتی ۲۰۰ تا ۲۳۴ می‌باشد.



شکل ۸-۷: نمودار هیستوگرام درجه همگن شدگی میانبارهای سیال نسبت به فراوانی آن‌ها در نمونه‌ی کلسیت - باریت - کوارتز کانسار آهن - سلسیت کوهریگ که بیشترین فراوانی متعلق به محدوده حرارتی ۲۱۰ تا ۲۴۹ می‌باشد.

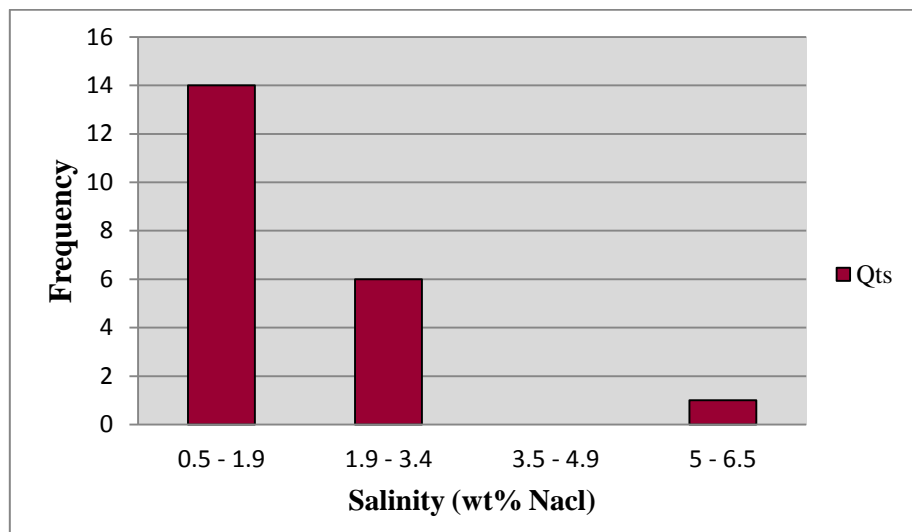
۷-۶-۶- سرمایش

به طور کلی، سرمایش به فرآیندی گفته می‌شود که در طی آن یک سیال درگیر به زیر دمای اتاق سرد می‌شود تا جایی که تغییر فاز از مایع به جامد مشاهده شود. در این روش ابتدا دما افزایش داده شد تا بخ شروع به ذوب شدن کند. اولین قطره مایعی که ظاهر می‌شود یا به عبارت دیگر اولین دمایی که در آن بخ ذوب می‌شود، دمای یوتکتیک (TE) نامیده می‌شود. این دما ارتباط مستقیم با نوع نمکها و کاتیون‌های ذوب می‌شود، دمای یوتکتیک (TE) نامیده می‌شود. این دما ارتباط مستقیم با نوع نمکها و کاتیون‌های موجود در مایع دارد (Bodnar et al, 1994). با ادامه روند گرم کردن ذوب بلورهای بخ ادامه می‌باید تا جایی که آخرین بلور بخ از بین برود. دمایی که در آن آخرین بلور بخ ذوب می‌شود، دمای ذوب نهایی بخ (Tm) نامیده شده و نشان دهنده میزان شوری سیال است.

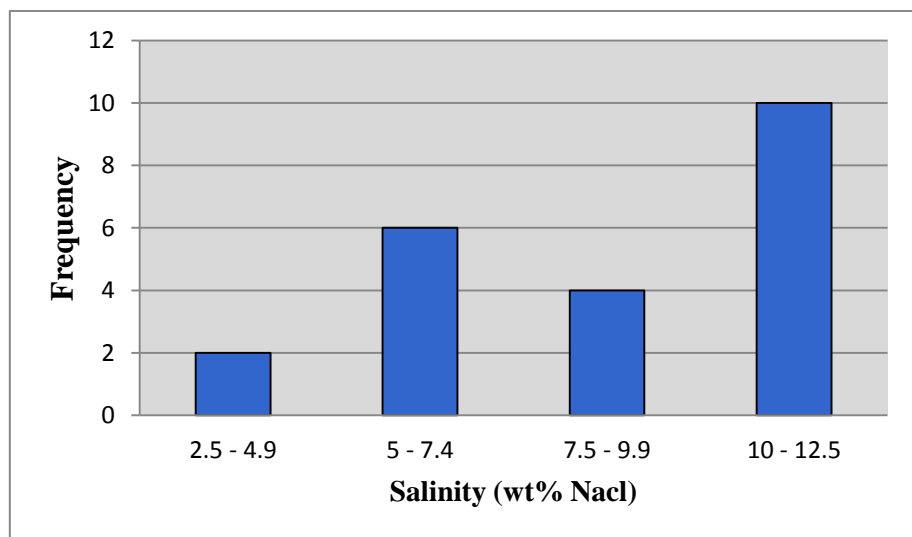
نتایج به دست آمده از عمل سرمایش زیاد است، اما اساساً عبارت است از: تعیین ترکیب و چگالی سیال. برای سیستم‌های آب و نمک، مطالعات سرمایش بهترین روش برای تعیین شوری میانبارهای سیال است، زیرا کاهش نقطه انجماد آب خالص دارای رابطه‌ای مستقیم با نمک موجود در محلول است. این امر با اندازه گیری دمای ذوب نهایی بخ در هنگام حرارت دادن مجدد میانبارهایی که قبلاً منجمد شده‌اند، قابل حصول است. به دلیل دشواری تشخیص نوع نمک در سیال درگیر، معمولاً دمای ذوب بخ را به صورت معادل وزنی نمک طعام گزارش می‌کنند. در مورد سیالات درگیر مورد مطالعه، به علت عدم حضور بلور نمک به صورت فاز جامد نمی‌توان از دمای انحلال فاز جامد به منظور تعیین شوری استفاده نمود؛ لذا از معادله زیر که برای سیستم‌های دو فازه قادر بلور نمک ارائه شده، استفاده شده است (Hall et al, 1988). در این تحقیق میزان شوری به صورت درصد وزنی نمک طعام (wt% NaCl) و از طریق دمای ذوب آخرین قطعه بخ (Tm) با استفاده از این معادله محاسبه شده است.

$$\text{Salinity (wt\%NaCl)} = 1.76958 \text{ Tm} - 4.2384 \times 10^{-2} \text{ Tm}^2 + 5.3 \times 10^{-4} \text{ Tm}^3 + 0.28$$

در رابطه مذکور θ دمای ذوب آخرین تکه بخ پس از انجماد سیال درگیر است. با توجه به فرمول ارائه شده سیالات موجود رگه‌ی سیلیسی دارای شوری بین $0/6$ تا $6/47$ درصد وزنی معادل نمک طعام (شکل ۷-۹) و رگه‌ی کلسیت-باریت-کوارتز دارای شوری بین $2/13$ تا $12/4$ (شکل ۷-۱۰) هستند.

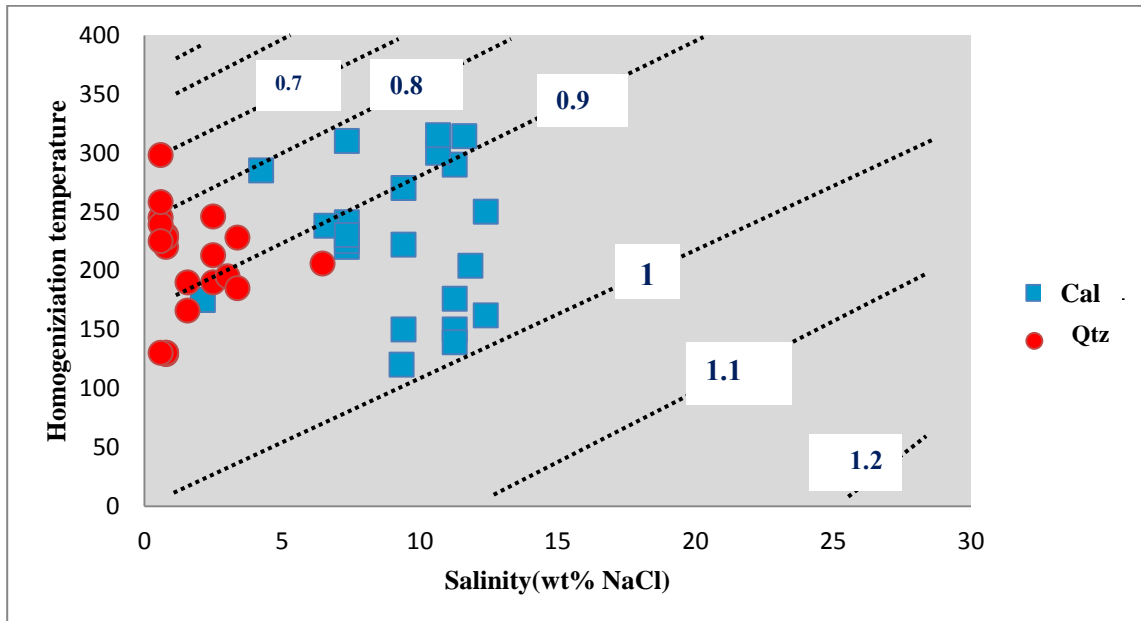


شکل ۷-۹: نمودار هیستوگرام شوری میانبارهای سیال در کانی کوارتز بیشترین فراوانی متعلق به محدوده شوری $1/9$ - $0/5$



شکل ۷-۱۰: نمودار هیستوگرام شوری میانبارهای سیال در کانی کلسیت (در رگه کلسیت-باریت-کوارتز) بیشترین فراوانی متعلق به محدوده شوری $12/5$ - 10

بر اساس نمودارهای ارائه شده بر پایه شوری و دمای همگن شدن، چگالی سیالات مؤثر در سیستم‌های کانه‌زایی را می‌توان تعیین کرد (Brown, 1989)، چگالی میانبارهای سیال نمونه‌های بررسی شده در محدوده چگالی کمتر از ۱ قرار می‌گیرند (شکل ۱۱-۷).

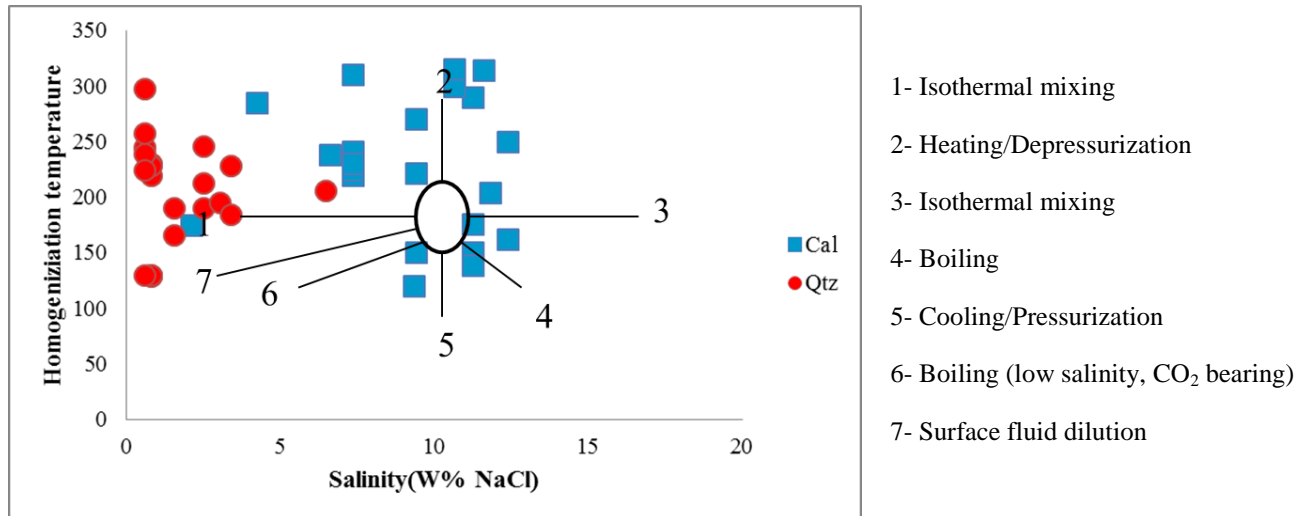


شکل ۱۱-۷: نمودار تعیین چگالی میانبارهای سیال بر حسب دمای همگن شدن و شوری در کانسار آهن - سلسیت کوه-ریگ بر گرفته از نمودار تعیین چگالی (Brown, 1989)

۳-۶-۶-۷- تعیین عوامل فیزیکوشیمیایی تشکیل کانسار

در فرآیندهای ایجاد سیالات مختلف مکان‌های متفاوت سیالات به وسیله‌ی انواع فرآیندهای ایجاد جوش یا جوشش با ایجاد بخار و در سیستم‌های باز و از دست دادن H_2O پدید می‌آیند. جوشش و اختلاط سیالات دو عامل مهمی است که معمولاً شرایط لازم برای تهنشست کانسارها را فراهم می‌آورند و باعث فوق اشباع شدن سریع سیال گرمابی در محدوده‌ی سنگ‌ها و تهنشست کانسارها می‌شوند (Wilkinson, 2001). انواعی از شوری و Th متفاوت که باعث فرآیند ایجاد سیالات مختلف می‌شود را نشان می‌دهد (Wilkinson, 2001)

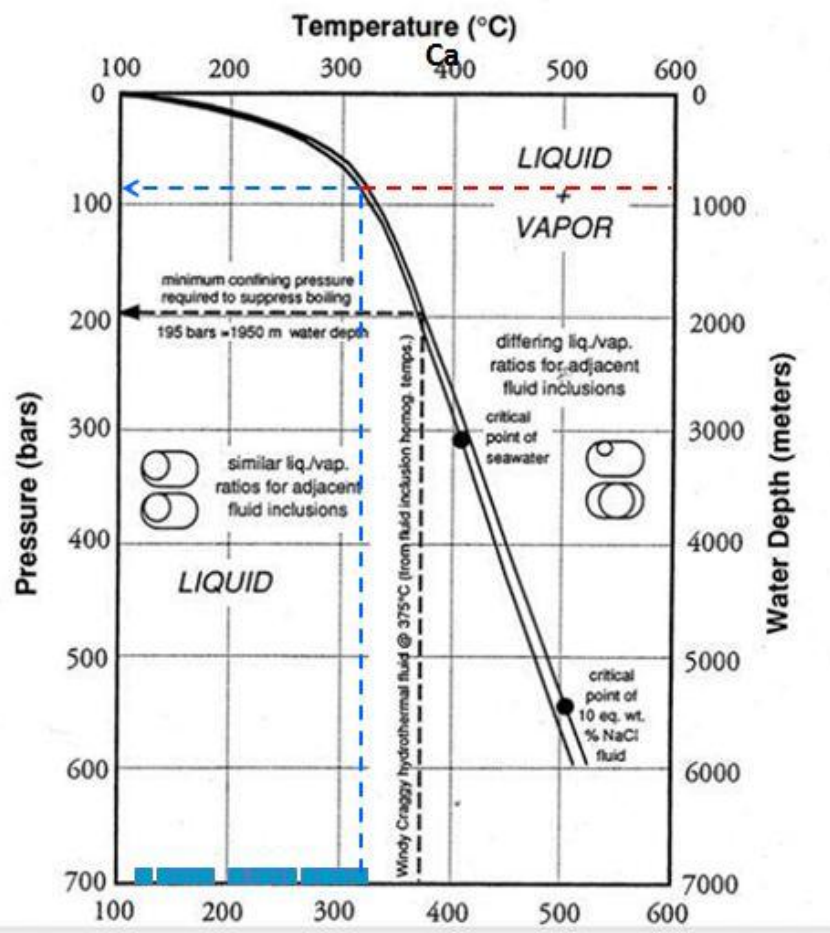
با توجه به این شکل معلوم می‌شود که اغلب میانبارهای سیال کانسار آهن – سلسیت کوهریگ در محدوده یک و سه واقع می‌شوند (شکل ۱۲-۷)، این موضوع بیانگر اختلاط سیال با آب جوی، رقیق شدگی و کاهش دما آن‌هاست.



شکل ۱۲-۷: نمودار شوری در برابر دمای همگن شدن که فرآیندهای متفاوت ایجاد سیالات را نشان می‌دهد (Wilkinson, 2001)

۶-۶-۴-۷- نمودار دمای همگنسازی و فشار

نمودار دمای همگنسازی و فشار در نمونه کلسیت با دمای ۳۱۵ درجه‌سانانی گراد و شوری ۱۰.۶۷ در (شکل ۷) آورده شده است (Roedder and Bodnar, 1980). و کانی‌سازی کانی کلسیت در فشار ۹۰ بار و در عمق حداقل ۸۰۰ متر می‌باشد که فرآیند جوشش رخ نداده است.



شکل ۱۳-۷: نمودار دمای همگن‌سازی و فشار در رگه کلسیت - کواریت - باریت (Roedder and Bodnar, 1980)

فصل هشتم

الگوی تشکیل، تیپ کانه‌زایی،

نتیجه‌گیری و پیشنهادهای

اکتشافی

۱-۸ - مقدمه

کانه‌زایی آهن – سلسیتیت در منطقه ترود، در جنوب شاهروود در مجموعه آتشفشاری – رسوبی ائوسن در شمال پهنه ایران مرکزی رخ داده است.

در این محدوده معدنی تاکنون کار تحقیقاتی صورت نگرفته است. در واقع از جهت برخی ویژگی‌ها از جمله همراهی مقادیر بالای سلسیتیت همراه آهن، تاکنون مورد مشابهی از این کانه‌زایی در ایران شناسایی نشده است.

در این فصل بر مبنای نتایج حاصل از بررسی‌های صحرایی، مطالعات آزمایشگاهی (پتروگرافی و کانی شناسی) و نتایج حاصل از مطالعات میانبارهای سیال و بررسی‌های ژئوشیمیایی، ابتدا به ارائه مختصر شواهد ژنتیکی کانسار آهن – سلسیتیت کوه‌ریگ پرداخته و سپس به تعیین الگوی تشکیل و تیپ کانسار و مقایسه آن با تیپ‌های کانه‌زایی مشابه در دنیا و ایران پرداخته خواهد شد و در پایان نتیجه‌گیری و پیشنهادات اکتشافی ارائه خواهد گردید.

۲-۸ - شواهد ژنتیکی مهم

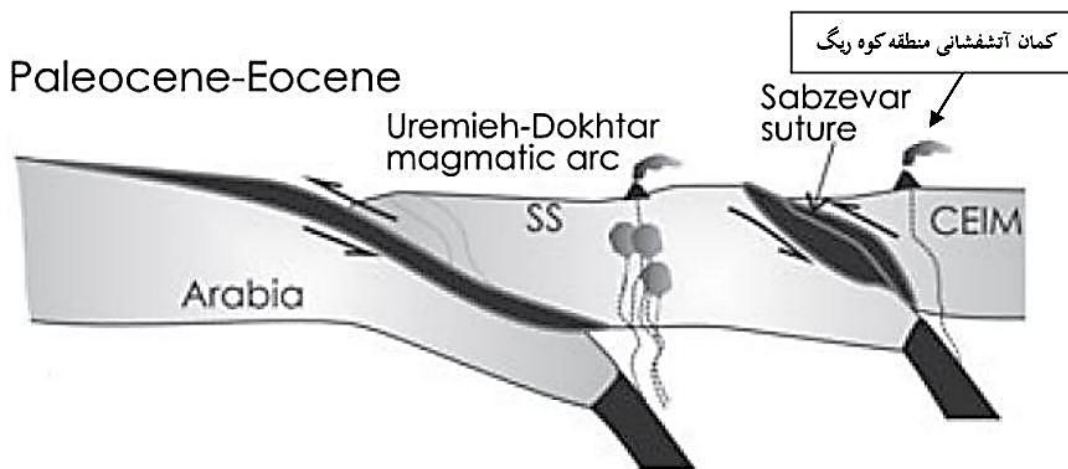
۲-۸-۱ - محیط تکتونیکی تشکیل

از نتایج تجزیه شیمیایی نمونه‌های سنگ میزبان اینگونه استنباط می‌شود که سری‌های ماگمایی سنگ-میزبان بر اساس نمودارهای (Barrett and McLean, 1999) Th/Yb, Y/Zr, Zr/Y/La/Yb (جز سری‌های Sun and McDonough, 1989) این نمودار بی‌هنجاری مثبت از عناصر Ba, K, Pb, Sr, Nd, Sm و بی‌هنجاری منفی از عناصر Rb, Nb, Zr, Ti را نشان می‌دهد. این نمودار تمرکز پایین از عناصر Nb و Ti را نشان می‌دهد که از خصوصیات ماگماهای مرتبط با زون فروزانش است (Goss and Kay, 2009).

(Kovalenko et al, 2010). همچنین بیهنجاری منفی Nb و Ti ممکن است مرتبط با فرآیندهای

پetroلولوژیکی مانند مشارکت پوسته قاره‌ای در فرآیندهای ماگمایی باشد.

طبق نظر (Roseti et al, 2001) ماگماتیسم و رسوبگذاری در پهنه سبزوار با ایجاد محیط کششی و تشکیل یک کافت پشت کمانی در طی کرتاسه پسین بوده است. به عقیده این محققین، با آغاز بسته شدن (شروع فرورانش) نئوتیس، در طی زمان تریاس فوقانی – ژوراسیک زیرین، کمان ماگمایی سنندج – سیرجان در زمان ژوراسیک – کرتاسه تشکیل شده است و به تبع آن در پشت این کمان ماگمایی، حوضه اقیانوسی پشت کمانی سبزوار در طی کرتاسه پسین تشکیل شده است. نتایج حاصل از مطالعات ژئوشیمیایی سنگ‌های آذرین در منطقه مورد مطالعه نشان می‌دهد که کانسار آهن – سلسیت در ارتباط با حوضه اقیانوسی پشت کمانی تشکیل شده است (شکل ۱-۸).



شکل ۱-۸: شکل گیری کمان آتششانی سنوزوئیک ناشی از فرورانش پوسته اقیانوسی سبزوار (Roseti et al, 2001) یا نئوتیس II به زیر پهنه سبزوار (به عنوان بخشی از کوچک قاره ایران مرکزی) و موقعیت منطقه کوه‌ریگ

۲-۲-۸- محیط زمین‌شناسی ته‌نشست

با بررسی‌های صحرایی و پیمایش‌های انجام شده، اینگونه استنباط می‌شود که کانسار آهن – سلسیت کوهریگ در یک توالی آتشفشنایی – رسوبی (تناوبی از سنگ‌های آذرآواری و سنگ‌های آتشفشنایی)، و در یک محیط دریایی کم‌عمق که احتمالاً ناشی از تأثیر کوه‌هزایی پیرنه بوده است، شکل گرفته است.

۳-۲-۸- سنگ میزبان و سنگ‌های همراه

مطالعات سنگ‌شناسی در منطقه کوهریگ نشان‌دهنده یک توالی آتشفشنایی – رسوبی که به طور متناوب شامل کریستال لیتیک توف (ET_1)، آندزیت بازالت (EV_1)، لیتیک کریستال توف (ET_2)، آندزیت بازالت (EV_2)، کریستال لیتیک توف (ET_3) (میزبان کانه‌زایی) و رسوبات کواترنری می‌باشد.

۴-۴-۸- شکل هندسی، ساخت و بافت ماده‌معدنی

شکل هندسی ماده معدنی در کانسار کوهریگ هم‌شیب و هم‌رونده با سایر واحدهای منطقه است. ساخت و بافت‌های موجود در کانسنگ شامل ساخت لایه‌ای، برشی، کنکرسیونی، و ساخت نودولی می‌باشد و بافت‌های اصلی شامل بافت کلوفرمی و دانه‌پراکنده می‌باشد.

۴-۵-۸- شواهد کانی‌شناسی

از لحاظ کانی‌شناسی کانسار آهن – سلسیت کوهریگ حاوی گوتیت، هماتیت، مگنتیت، سلسیت، پیرولوزیت، پسیلوملان، باریت، ژیپس و کلسیت می‌باشد.

۴-۶-۸- شواهد دگرسانی

در کانسار آهن – سلسیت کوهریگ شاخص‌ترین دگرسانی، دگرسانی سریسیتی – آرژیلیکی و دگرسانی کلریتی می‌باشد.

۷-۴-۸- شواهد حاصل از مطالعات ژئوشیمیایی

بر اساس نتایج تجزیه شیمیایی کانسنگ و استفاده از نمودارهای (Choi and) ، Co/Zn(Toth, 1980) Mn - Fe-(Ni+Co+Cu)*10 ، Co/Zn / Co+Ni+Cu (Toth, 1980) .Co-Ni-Cu (Hariya, 1992 Mn/Fe (Rona,1978) .(Bonatti, 1975) اینگونه استنباط می شود که کانسار آهن – سلسیت کوهریگ در محدوده کانسارهای گرمابی قرار می گیرد.

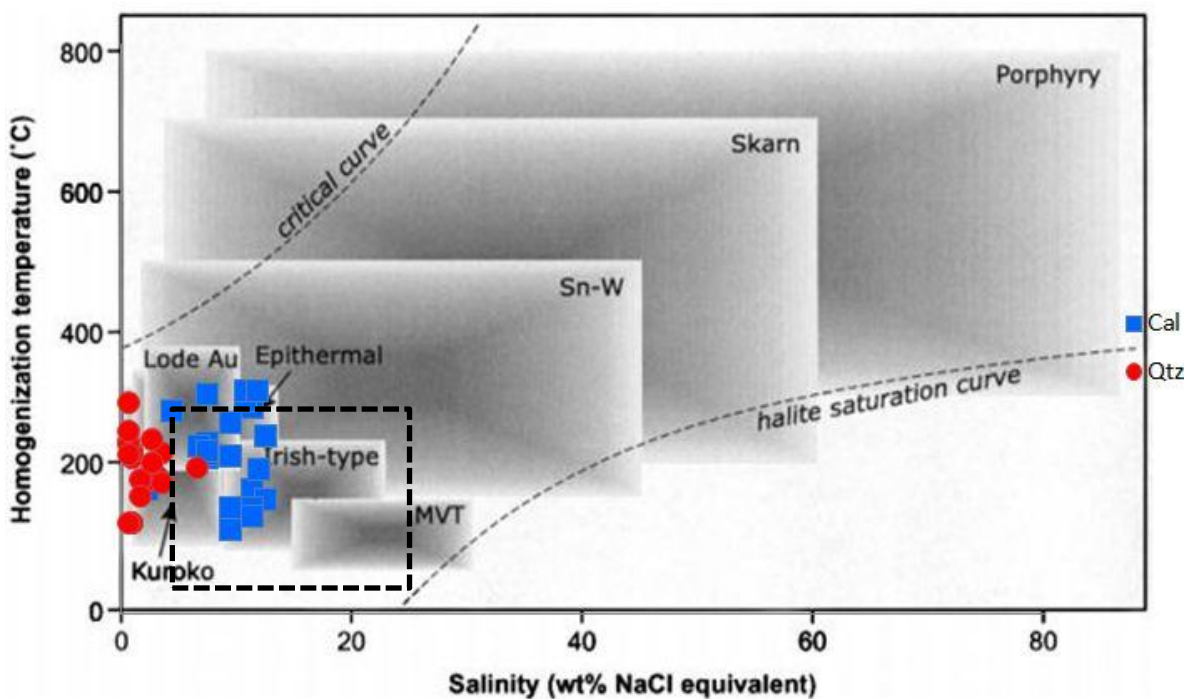
با توجه به نمودارهای (Barrett and Maclean, 1999) ماهیت سنگ‌ها جزء سری انتقالی می‌باشند و قابل ذکر است ماقماهای سری تولئیتی و انتقالی به نسبت از آهن غنی هستند، نظیر بازالت‌های تولئیتی و آندزیت‌های تولئیتی و ماقماهای سری کالک‌آلکالن آهن نسبتاً کمی دارند (کریم‌پور، ۱۳۹۱)

بر اساس مشاهدات صحرایی و نتایج آنالیز شیمیایی یک پهنه‌بندی افقی (تهنشست آهن و سپس تهنشست منگنز در فاصله‌ای دورتر از آهن) در کانسار قابل مشاهده است، که مشخصه کانسارهای بروندمی می‌باشد.

۸-۴-۸- شواهد حاصل از مطالعات میانبارهای سیال

با توجه به تفسیر داده‌های بدست آمده از آنالیز میانبارهای سیال از کانسار مورد مطالعه، دمای همگن شدن میانبارهای سیال در رگه کلسیت – باریت – کوارتز (مطالعات میانبارهای سیال بر روی کانی کلسیت صورت گرفته است)، ۱۲۰ تا ۳۱۵ درجه سانتی‌گراد با شوری ۴/۲۴ ۴/۲۴ تا ۱۲/۴ و در کانی کوارتز از رگه‌ی کوارتزی دمای همگن شدن بین ۱۲۹ تا ۲۹۸ درجه سانتی‌گراد با شوری ۰/۶ ۰/۶ تا ۶/۴۷ می‌باشد.

Beukes et (al, 2002) در (شکل ۲-۸) نشان داده شده است، کانسار آهن – سلسیت کوهریگ در محدوده دمایی کانسار تابازیمبی که از نوع آهن نواری نوع سوپریور می‌باشد، قرار می‌گیرد.



شکل ۸-۲: نمودار درجه شوری در برابر همگن شدن میانبارهای سیال دو فازی (Roedder, 1984) در کانسار آهن – سلسیتیت کوهريگ و کانسار آهن تابازیمی با خط چین نشان داده است.

۳-۸- مدل ژنتیکی و شیوه تشکیل کانسار آهن – سلسیتیت کوهريگ

یکی از مهمترین مدل‌ها جهت نشست آهن و منگنز در محیط‌های آتشفسانی – رسوبی، مدلی است که در آن ورود سیالات گرمابی – بروندمی آهن و منگنزردار به آب دریا و تغییر در شرایط فیزیکوشیمیایی مثل

pH و دما و فشار باعث تهنشینی آهن و منگنز می‌شود.

این مدل توسط محققین زیادی مثل (Kheraskov, 1951)، (Roy, 1981)، (Gavrilov, 1972)، (Varentsov et al, 1993) و (Brusnitsyn and Zhukov, 2005)

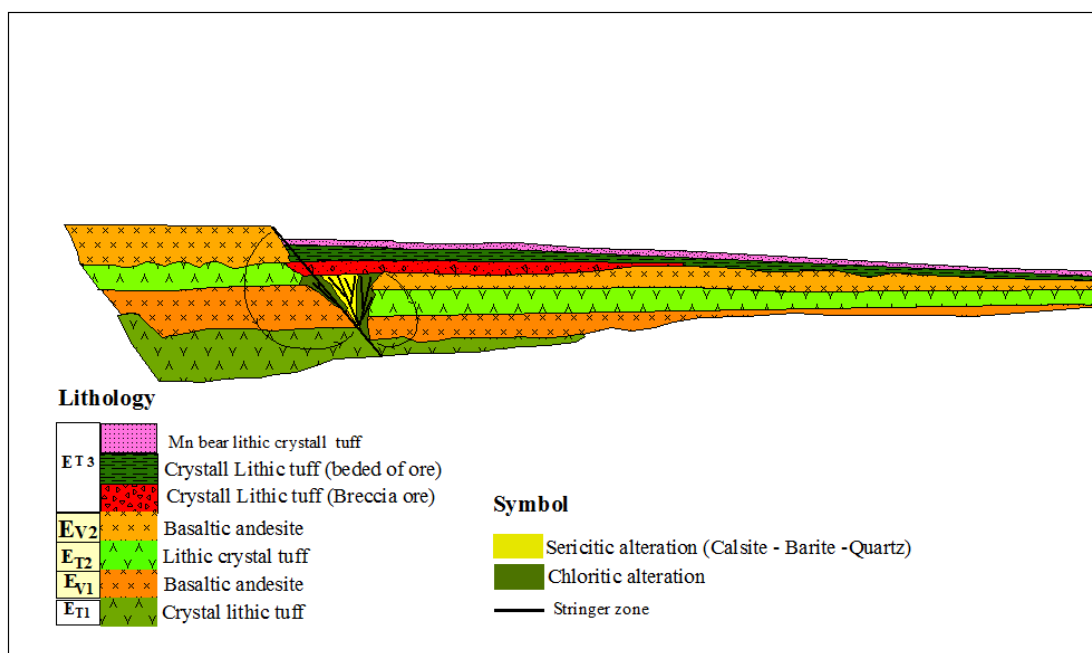
نهشت آهن و منگنز در بسیاری از کانسارهای آهن و منگنز دنیا مطرح شده است. در این مدل ابتدا آهن و

سپس منگنز تهنشین می‌شود. این مدل، تشکیل نهشته‌های آهن و منگنز در مناطق کم‌عمق دریایی را،

بیشتر به دلیل تغییرات شرایط Eh, pH محیط می‌دانند. آهن و منگنز در Eh پایین‌تر از -0.2 و pH -تر از ۶ حلالت بالایی برخوردارند.

استرانسیم بیش از آن‌چه به Eh و pH محیط وابسته باشد به میزان دما و شوری سیال کانه‌ساز و فشار محیط تهنشست بستگی دارد. با بالا رفتن دما و افت فشار و کم‌شدن میزان شوری و همچنین اکسیدی شدن محیط و افزایش pH محلول گرمابی، بیوسولفات را به سولفات تبدیل می‌کند و باعث تهنشست کانی‌های سولفاتی می‌گردد به صورت سولفات استرانسیم شروع به تهنشست می‌کند (Howell et al., 1992).

مدل پیشنهادی کانسار آهن – سلسیتیت کوه‌ریگ در (شکل ۳-۸) آورده شده است. بر اساس مدل ارائه شده عناصر آهن، منگنز، استرانسیم از سنگ‌های آتشفسانی کمرپایین شسته و همراه با سنگ‌های کریستال لیتیک توف (ET_3) تهنشست می‌کند، رخساره‌های کانسار از پایین به بالا شامل رخساره رگه – رگه‌ای، رخساره برشی و رخساره نواری می‌باشد که در مدل پیشنهادی مشاهده می‌شود.



شکل ۳-۸: مدل ژنتیکی کانسار آهن – سلسیتیت کوه‌ریگ

۴-۸- مدل تشکیل و عوامل مؤثر در تشکیل ماده معدنی

۱-۴-۸- منشأ عناصر کانه‌ساز

سه منشأ احتمالی را می‌توان برای منبع اولیه آهن و منگنز در منطقه مورد مطالعه مطرح کرد که در زیر به آن‌ها اشاره می‌شود:

۱- حاصل تخریب و فرسایش سازندها و کانسارهای قدیمی‌تر

۲- توده‌های نفوذی و سیالات داغ همراه آن

۳- فعالیت آتشفشنایی - گرمابی نزدیک محل رسوبگذاری

۱- منشأ فرسایشی با توجه به اینکه هیچ سازنده و کانسار قدیمی‌تر حاوی مقادیر بالایی از آهن، منگنز، استرانسیم در منطقه وجود ندارد، از این رو نمی‌توانند تأمین کننده آهن برای کانسنگ باشد. از طرف دیگر مقدار Ti که معمولاً از منشأ تخریبی تأمین می‌شود (Crerar et al, 1982) در این کانسار اندک است.

۲- در مورد تأمین عناصر کانسار از منشأ توده‌های نفوذی توجه به نکات زیر ضروری است: هر چند که در منطقه مورد مطالعه اثری از توده‌های نفوذی مشاهده نشده است، اما در صورت مشاهده باید اثر حرارتی در کنتاكت این توده‌ها با سنگ میزبان ایجاد کانی‌های حرارت بالا کند، لذا این احتمال قابل قبول نمی‌باشد.

۳- سومین فرضیه در زمینه تأمین آهن، منگنز و استرانسیم، فرضیه فعالیت‌های آتشفشنایی زیردریایی همزمان با رسوبگذاری است. در مورد منبع آهن و منگنز موجود در توالی‌های رسوبی دو نظریه کاملاً متفاوت وجود دارد: الف) منبع آتشفشنائزد و ب) منبع غیرآتشفشنائزد، افرادی که معتقد به منبع آتشفشنائزد هستند، چنین پیشنهاد می‌کنند که آهن، منگنز، استرانسیم به همراه فعالیت‌های آتشفشنایی آتشفشنائزد هستند، که سیالات همراه با آن‌ها غنی از آهن - منگنز - استرانسیم هستند، تأمین شود (Roy, 1968).

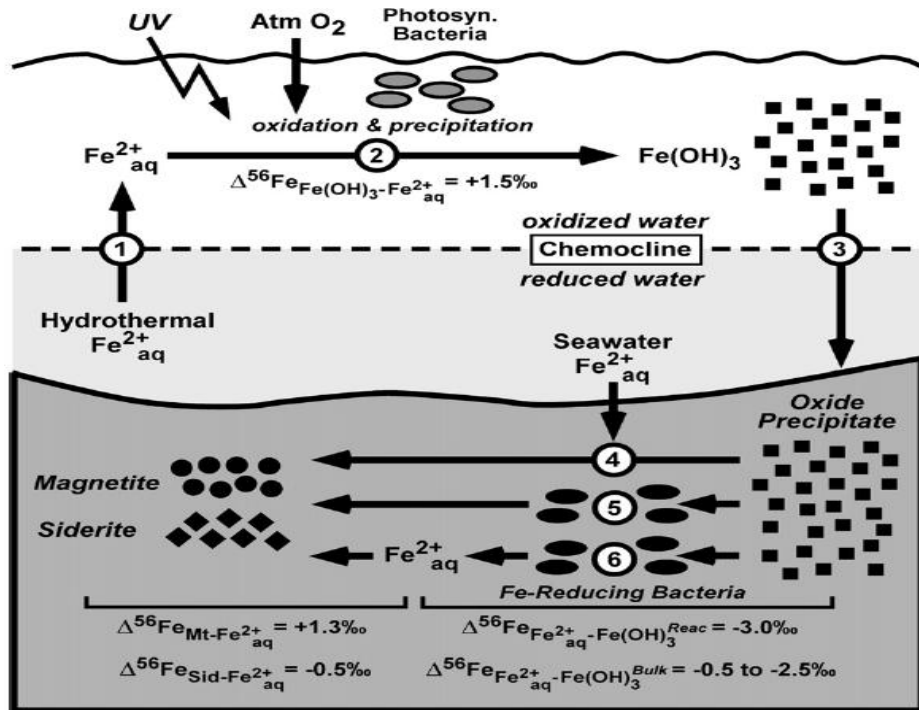
(Roy, 1992) معتقد است که کانسارهای نوع رسوی - بروندمی که بوسیله فوران‌های زیردریایی همزمان با رسوگذاری تشکیل شده‌اند، بوسیله همراهی آهن و منگنز مشخص می‌شوند، البته این دو عنصر می‌توانند تحت تأثیر شرایط فیزیکوشیمیایی محیط از هم جدا شوند و هر کدام تشکیل کانسارهای مخصوص به خود را بدھند.

در مورد منبع غیر آتشفشانزاد هم باید گفت آهن - استرانسیم - منگنز از فرسایش سنگ‌های آهن - استرانسیم - منگنز قدیمی‌تر حاصل می‌شود که این منشأ برای کانسار آهن - سلسیت پذیرفتی نیست. از آنجایی که ماده معدنی در واحدهای آذرآواری به صورت لایه‌ای با سنگ میزبان است و داده‌های ژئوشیمیایی در محدوده کانسارهای گرمابی قرار می‌گیرد و همچنین پهنه استرینگ در نزدیکی کانسار مشاهده شده است، اینگونه استنباط می‌شود که کانسار آهن - سلسیت کوه‌ریگ یک کانسار آتشفشاپی - بروندمی - رسوی می‌باشد.

در (شکل ۴-۸) یک مدل ارائه شده برای منشأ آهن در کانسار آهن نواری پیشنهاد شده است که در زیر به مراحل تشکیل آهن اشاره شده است.

مرحله اول: منشأ اولیه آهن Fe^{+2} گرمابی است، که از آب‌های عمیق نسبتاً کم اکسیژن یا منافذ کم‌عمق گرمابی نشأت گرفته است. مرحله دوم: منبع با آب‌های نسبتاً عمیق و رگه‌های گرمابی کم‌عمق در ارتباط است. آب‌های عمیق غنی از Fe^{+2} به ستون بالای آب صعود می‌کنند توسط اکسیداسیون، اکسید و هیدروکسید آهن سه ظرفیتی شکل می‌گیرد. مرحله سوم: اگرچه میزان Fe^{+2} محلول در بالای اقیانوس کاهش یافته است، تهنشینی اکسید و هیدروکسیدهای آهن فریک در بالای chemocline یک سیال غنی از Fe^{+3} تولید می‌کند (واژه chemocline آب‌های اکسیدان کم‌عمق را از آب‌های اکسیژن‌دار عمیق جدا می‌کند). مرحله چهارم: تبدیل اکسید - هیدروکسید آهن اولیه به مگنتیت در زیر سطح مشترک آب و

رسوب از طریق مسیرهای متعدد انجام می‌شود شامل واکنش Fe^{+2} با آب دریا (مسیر۴)، کاهش Fe^{+3} در شرایط محدود بودن Fe^{+2} (مسیر۵)، تشکیل Fe^{+3} در صورت وجود Fe^{+2} محلول (شکل ۸-۴).

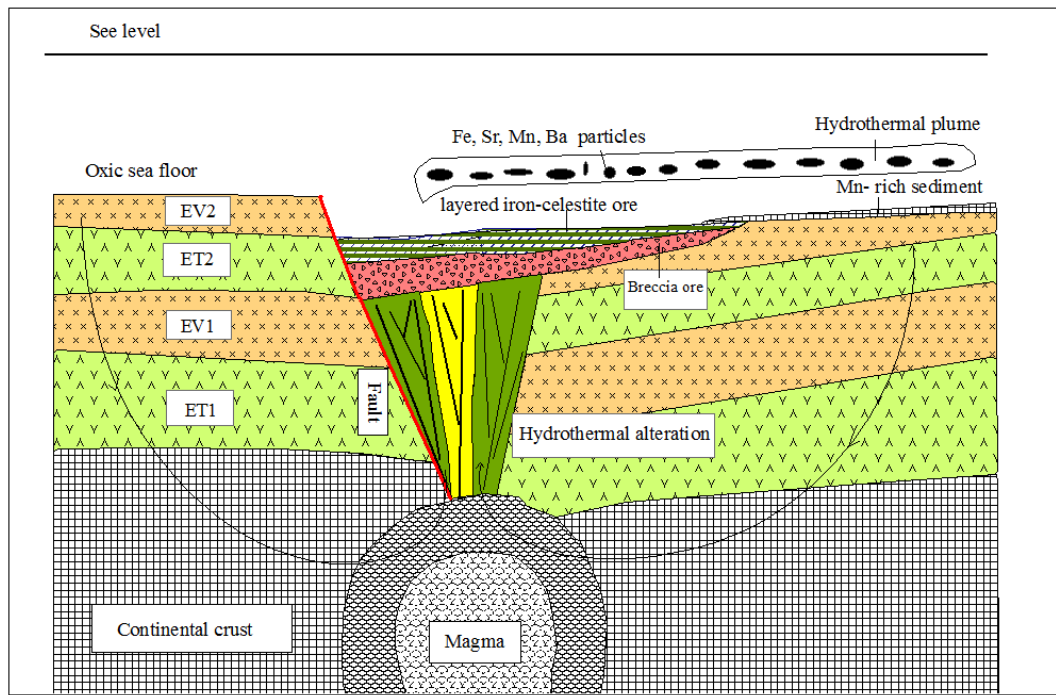


شکل ۸-۴: مراحل آهن و تغییرات ایزوتوپی جز به جز آن برای پیدایش منشأ سازند آهن نواری (Crosby et al., 2007)

۲-۴-۸- منشأ سیال کانه‌ساز

بر اساس نظر (Varentsov, 1993) ، (Crerar et al, 1982) ، (Bonatti et al, 1976) ، (Kheraskov, 1951) و (Starikova, 2001) آبهای اقیانوسی فرورونده در شکاف‌های عمیق موجود در مراکز فعال گسترش بستر دریا که با فعالیت‌های آتشفسانی همراه هستند، می‌توانند بر اثر چرخش در داخل گدازه‌های دارای شار حرارتی بالا، گرم شده و فلزات را در خود تمرکز دهند. این آبهای پس از چرخش در داخل گدازه‌ها، سرانجام به بستر دریا راه پیدا می‌کنند و آهن خود را رسوب می‌دهند. بنابراین به احتمال زیاد منطقه کوه‌ریگ نیز، به طور عمده شامل سیال کانه‌ساز آب دریا بوده است.

برای کانسارهای اگزالاتیو و تشیکلات آهن نواری دو مدل توسط (Spry,2000) ارائه شده است، مدل حوضه‌ی شورابه‌ای و ستون گرمابی شناور، با توجه به اینکه چگالی میانبارهای سیال کمتر از آب دریا می-باشد، مدل پیشنهادی به مدل ستون گرمابی شناور شباهت دارد، که در (شکل ۸-۵) نشان داده شده است.



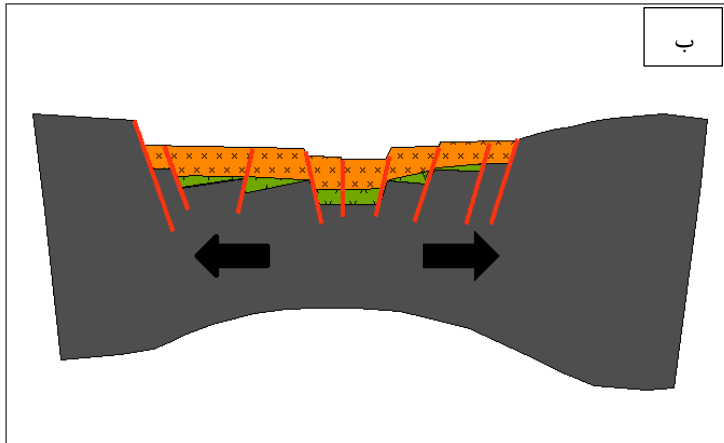
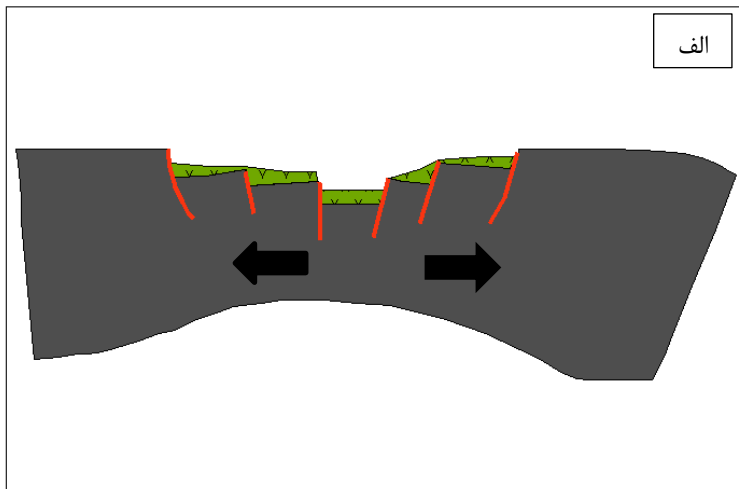
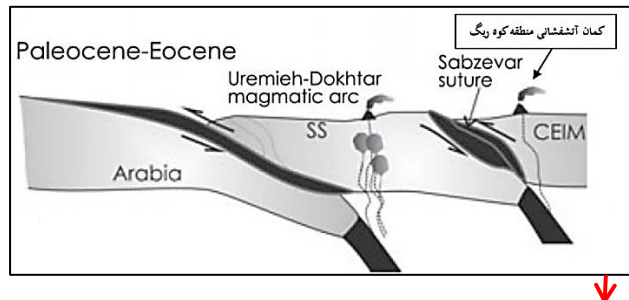
شکل ۸-۵: رسوبگذاری از ذرات اکسید آهن معلق تهنشست شده از سیالات گرمابی دما بالا با شوری و چگالی کم (Spry et al, 2000)

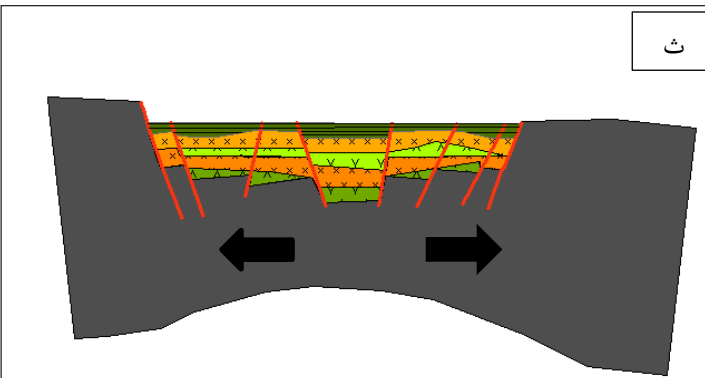
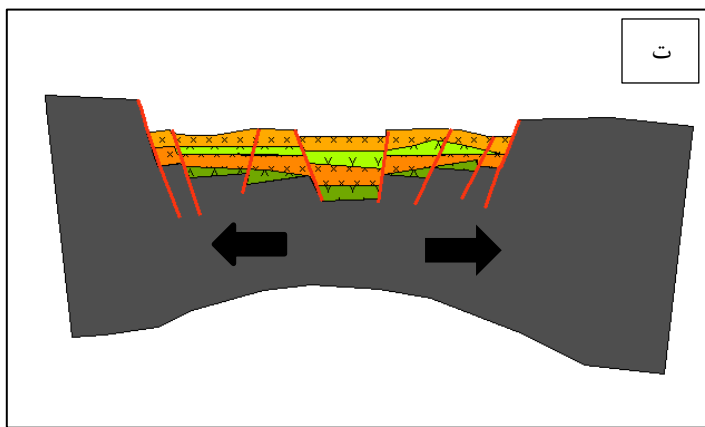
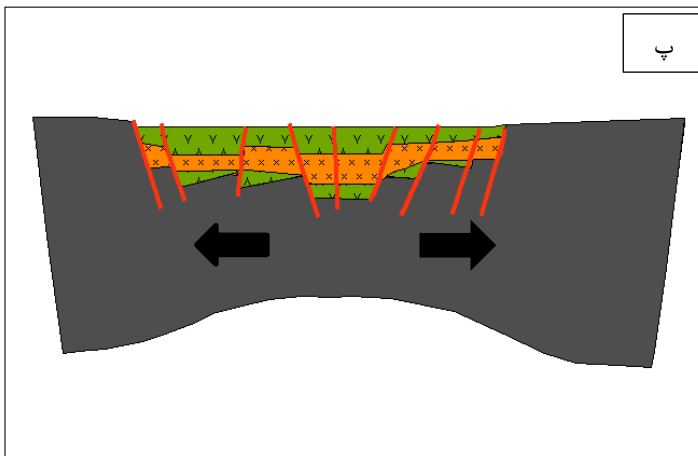
۴-۸- بازسازی حوضه آتشفسانی - رسوبی جنوب شاهرود و جایگاه نهشته‌های

آهن - سلسیت کوه‌ریگ

با توجه به ماهیت آتشفسانی - رسوبی توالی میزبان کانسار کوه‌ریگ و ماهیت انتقالی سنگ‌های آتشفسانی، احتمالاً فرورانش مورب پوسته اقیانوسی تیس (شاخه پشت کمانی تیس که در زمان کرتاسه تشکیل شده است) زیر پوسته قاره‌ای ایران در شمال ایران مرکزی موجب رخداد فاز کششی در زمان ائوسن در شمال ایران مرکزی و جنوب البرز شده است. با شروع فعالیت‌های کافتزایی ناشی از فرورانش در اوایل ائوسن در اثر نیروی کششی، گسترش سیستم‌های گрабنی و عملکرد گسل‌های نرمال در منطقه،

باعث فرونشست منطقه و تشکیل حوضه رسوی کم عمق در داخل کمان آتشفسانی شده است. که با شروع این فعالیت کافت زایی، نفوذ و خروج گسترده مagmaهای سریهای انتقالی در قالب گدازه و قطعات آذرآواری و سیالات گرمابی به داخل حوضه کم عمق در حال تشکیل صورت گرفته است. مراحل تشکیل واحدهای سنگی کوه ریگ شامل: الف) ایجاد محیط کششی ناشی از فرورانش و رخداد کشش داخل کمان، فرونشست حوضه و فعالیتهای آتشفسانی، در این مرحله به علت عمق کم magma به صورت مواد آذرآواری تهنشست می‌کند (شکل ۶-۸ الف)، ب) در این مرحله کشش بیشتر عمق حوضه بیشتر و خروج مواد مذاب به صورت گدازه می‌باشد (شکل ۶-۸ ب)، در مرحله بعد بخشی از حوضه توسط گدازه پر شده است، به علت عمق کم مواد به صورت توف تهنشست می‌کند (شکل ۶-۸ پ)، در مرحله بعد به علت کشش بیشتر magma به صورت گدازه تهنشست می‌شود (شکل ۶-۸ ت) و در مرحله آخر با بالا رفتن شار حرارتی و جریان همرفتی عناصر Fe,Mn,Sr,Ba و سایر عناصر از طریق سیالات گرمابی با شستشوی سنگ‌های کمر پایین از طریق گسل‌های همزمان با فرونشست وارد حوضه می‌شود و همزمان با رسوب‌گذاری سنگ‌های آذرآواری و با منشأ گرمابی به صورت آتشفسانی - بروندمی - رسوی نهشته شده‌اند (شکل ۶-۸ ث). عناصر آهن، استرانسیم، منگنز به علت فوگاسیته بالای اکسیژن در محیط به صورت کانی‌های مگنتیت، هماتیت، سلسیت و پیرولوزیت با بافت کلوفرمی، نودولی و دانه‌پراکنده تشکیل می‌شود.





Lithology

E T3		Crystal lithic tuff (hosted of ore)
E V2		Basaltic andesite
E T2		Lithic crystall tuff
E V1		Basaltic andesite
E T1		Crystal lithic tuff

Symbol

Fault

شکل ۸-۶: بازسازی حوضه آتشفسانی - رسوبی کوهریگ: (الف) ایجاد محیط کششی ناشی از فرورانش و رخداد کشش داخل کمان، در این مرحله به علت عمق کم ماگما به صورت مواد آذرآواری تهنشست می‌کند، (ب) در این مرحله کشش بیشتر عمق حوضه بیشتر و خروج مواد مذاب به صورت گدازه، (پ) در مرحله بعد بخشی از حوضه توسط گدازه پر شده است، به علت عمق کم مواد به صورت توف تهنشست می‌کند، (ت) در مرحله بعد به علت کشش بیشتر ماگما به صورت گدازه تهنشست می‌شود و (ث) در مرحله آخر با بالا رفتن شار حرارتی و جریان همرفتی عناصر Fe, Sr, Mn, Ba و سایر عناصر از طریق سیالات گرمابی با شستشوی سنگ‌های کمر پایین از طریق گسل‌های همزمان با فرونشست وارد حوضه می‌شود و همزمان با سنگ‌های آذرآواری تهنشست می‌کند.

۱-۴-۸- مقایسه با برخی کانسارهای شاخص ایران

۱-۱-۴-۸- کانسار آهن جزیره هرمز بندرعباس

کانسار آهن جزیره هرمز با ذخیره یک میلیون تن و عیار متوسط ۵۸ درصد آهن در ۲۰ کیلومتری جنوب خاوری بندرعباس قرار دارد. کانی‌زایی آهن به صورت نوارهای هماتیتی ژاسپیلیتی با سنگ‌های تبخیری (نمک و انیدریت)، توف‌های ریولیتی، ریولیت‌های قلیایی نوع A، دولومیت‌های تیره، ماسه سنگ و شیل (Ediacaran) های قرمز رنگ به سن احتمالی پروتروزوئیک فوکانی - پالنوزوئیک تحتانی ادیاکاران، رخنمون دارد. حضور نوارهای هماتیتی و ژاسپیلیتی چین خورده، دیامکتیت‌ها، قطعات معلق یخچالی، مقادیر بالای اکسید آهن سه ظرفیتی، کم بودن آلمینیم، نیکل، تیتان، وانادیم و الگوی خاص عناصر خاکی نادر بیانگر شباهت کانسار آهن هرمز به کانسارهای آهن نواری نوع راپیتان است (عطایپور و آفتانی، ۱۳۹۰).

کانسار آهن نواری هرمز از لحاظ منشأ، ساخت نواری و حضور کانی‌های تبخیری (انیدریت) با کانسار آهن - سلسیتیت کوهریگ مشابه است.

۸-۴-۱-۲- رخداد آهن نواری در منطقه بافق

منطقه معدنی بافق در شرق ایران مرکزی و در استان یزد واقع شده است. این منطقه از پیسنگ پرکامبرین با پوشش اینفراکامبرین تا تریاس تشکیل شده است. بیشتر سنگ‌ها و رخنمون‌های منطقه از سنگ‌های آتشفسانی - رسوبی اینفراکامبرین تشکیل شده‌اند. کانی‌زایی آهن به سه شکل تنوره برشی، توده‌ای و آهن‌نواری همراه با گدازه‌ها و توف‌های ریولیتی - کراتوفیری و ژاسپیلیت مشاهده می‌گردد. مهم‌ترین سنگ‌های دربرگیرنده ماده معدنی ماهیت کراتوفیری و قلیایی سدیک دارند. کانی‌های فلزی مهم شامل مگنتیت، هماتیت و پیریت می‌باشند که در قسمت‌های سطحی به کانی‌های ثانویه تبدیل شده‌اند. حضور چشمگیر کانی‌های تورمالین، آلبیت، اکتینولیت و اسکاپولیت در سه شکل ماده معدنی و سنگ‌های دربرگیرنده و همراهی ماده معدنی و سنگ‌های دربرگیرنده و همراهی ماده معدنی با ژاسپیلیت، کراتوفیر، کنگلومرای دریایی - یخچالی و قطعات معلق یخچالی و نبود سنگ‌های گابرویی، نوریت و آنورتوزیتی، کانسارسازی آهن نواری نوع راپیتان را نشان می‌دهد (محسنی و آفتتابی، ۱۳۸۴).

رخداد آهن نواری در منطقه بافق از لحاظ منشأ، ساخت برشی و نواری و سنگ‌های دربرگیرنده شامل گدازه و توف مشابه کانسار آهن - سلسیت کوه‌ریگ می‌باشد.

جدول ۸-۱: مقایسه کانسار آهن - سلسیت کوهریگ با کانسارهای آهن آتشفشانی - رسوی مهمن ایران

نام کانسار	کوهریگ	آهن نواری	گل‌گهر	بیوهژن	اله آباد	زیدر
هرمز						
پنهانه ساختاری	ایران مرکزی	سنندج - سیرجان	سنندج - سیرجان	زاگرس	ایران مرکزی	ایران مرکزی
سن سنگ-های دربرگیرنده	اوسن	سیلورین - دونین	دونین میانی - بالایی	پالتوزوئیک	پرکامبرین، کامبرین زیرین	اوسن
سنگ‌های میزبان و همراه	کنگلومرا، آهک دولومیتی، آهک تخریبی، ماسه سنگ، ریولیت، سنگ‌های رسوی: توف، مارن و شیل	سنگ‌های آتشفشانی: دیاباز، کراتوفیر، اسپیلیت، بندرت	گنیس، شیست، پیروکلاستیک، ولکانیک و توف	سنگ‌های آندزیت بازالت و آذرآواری	سنگ‌های آتشفشانی و آمفیبولیت	سنگ‌های آهک
کانی-شناسی	مگنتیت، هماتیت، پیریت و لیمونیت، فیروزه	هماتیت، پیریت و لیمونیت، پیریت و کالکوپیریت	هماتیت، پیروتیت، فلوگوپیت، فورستریت	هماتیت، پیروتیت، ژاسپیلیت	گوتیت، هماتیت، پسیلوملان و پیرولوزیت	مگنتیت، سلسیت، پیریت
منبع	رجایی و فردوست، ۱۳۹۴	Momenzadeh and wauschkuhn, 1982	Wauschkuhn et al., 1982	بابکی و آفتایی، ۱۳۸۳	عطابور و آفتایی، ۱۳۹۰	مهدوری و همکاران، ۱۳۹۵

۲-۴-۸- مقایسه با برخی کانسارهای شاخص جهان

۱-۲-۴-۸- کانسار جین‌تیشان چین

کانسار جین‌تیشان^۱ واقع در بخش غربی شهر کانسر چین در یک واحد چینه‌شناسی – زمین‌ساختی پرکامبرین در بخش شمالی کمربند کوهزایی کیلیان کالدونین رخ داده است. کانسار جین‌تیشان به عنوان یک کانسار تشکیلات آهن نواری نوع سوپریور در نظر گرفته می‌شود. ویژگی کانسار جین‌تیشان کانی‌سازی آهن – مس – باریت و کانی‌سازی مس که شامل دو نوع کانی‌سازی می‌باشد، کانسار آهن – باریت – ژاسپر در قسمت بالایی و کانسار مس در پایین است.

ستون چینه‌شناسی توالی جین‌تیشان در معدن آهن – مس جین‌تیشان از قدیم به جدید شامل : فیلیت، لایه‌های کوارتزی، سریسیت – فیلیت کوارتز، گرافیتیک کوارتز- سریسیت فیلیت، کلریت – کوارتز- سریسیت فیلیت، کلریت – کوارتز – سریسیت فیلیت آهکی، کانی‌سازی کالکوپیریت- پیریت، توالی کانسنگ آهن، ندول آنکریت- کلریت – کوارتز- سریسیت فیلیت می‌باشد.

عناصر MnO , CO_2 , MgO , TiO_2 , Al_2O_3 , K_2O در کانسنگ آهن – باریت – ژاسپر پایین و ترکیبات Fe_2O_3 , BaSO_4 , SiO_2 به طور معمول بالاست.

بطور خلاصه می‌توان گفت کانسار آهن – باریت – ژاسپر جین‌تیشان توسط فرآیندهای بروندی گرمابی و رسوبی شیمیایی در یک حوضه رسوبی اقیانوسی اکسیدان فاقد H_2S رخ داده است در حالی که کانی‌سازی مس از جایگزینی محلول گرمابی در محیط‌های اکسایش – کاهش کف دریا پس از تشکیلات کانسنگ آهن شکل گرفته است. داده‌های ایزوتوپی گوگرد نشان دهنده این است که باریت از اختلاط سیالات گرمابی غنی از باریم و سولفات آب دریا تشکیل شده است (Sun et al, 1998).

کانسار جین‌تیشان از نظر فرآیند شکل‌گیری (بروندمی گرمابی)، بالا بودن میزان MnO , Fe_2O_3 , $BaSO_4$ مشابه کانسار آهن – سلسیت کوه‌ریگ می‌باشد.

قابل ذکر است که برخی از رگه‌های باریتی استرینگ در غرب کوه ریگ نیز غنی از مس می‌باشند.

۲-۴-۸ - کانسار آهن ماچنگ^۱

کانسنگ آهن ماچنگ در شرق استان Hebei در شمال کراتون چین واقع شده است. میزان کانسار آهن ماچنگ سنگ‌های دگرگونی نواრکئن از سازند Dantazi گروه Baimiaozi است. شامل بیوتیت – لپتینیت، پلاژیوکلاز – گنیس، پلاژیوکلاز – آمفیبولیت، میگماتیت گرانیت و کوارتز شیست می‌باشد، میزان اصلی کانه‌زایی لپتینیت بیوتیت و آمفیبولیت پلاژیوکلاز است، بر اساس داده‌های ژئوشیمیایی میزان لپتینیت بیوتیت و آمفیبولیت پلاژیوکلاز سنگ‌های آتشفسانی تراکی بازالت و آندزیت بازالت با ترکیب کالک-آلکالن مرتبط با زون فرورانش می‌باشد. کانه‌های آهن دار آن شامل مگنتیت، پیریت و مگنتیت‌هایی که توسط اکسیداسیون به هماتیت تبدیل شده است، می‌باشد. کانسار آهن ماچنگ دارای ساخت گنیسی، شیاردار و نواری می‌باشد.

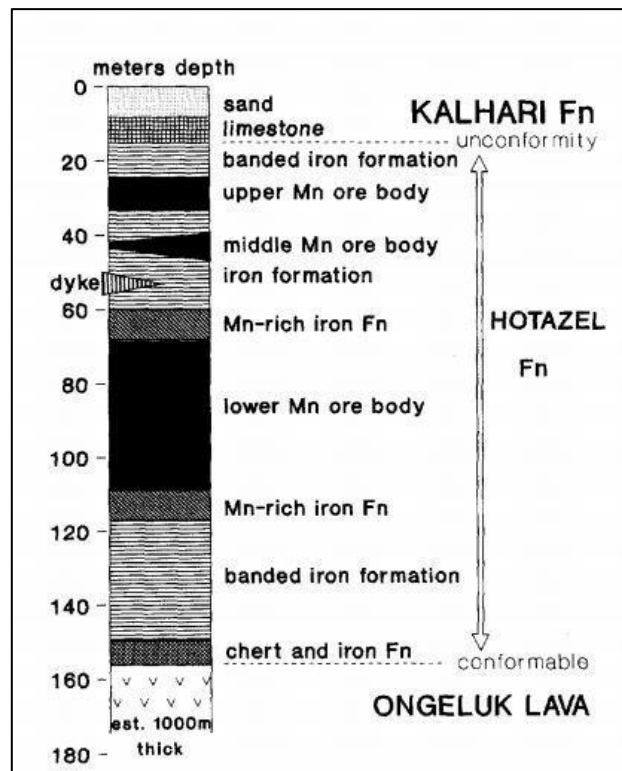
بر اساس مطالعات زمین‌شناسی، کانی‌شناسی و ژئوشیمی دو نوع کانسنگ آهن عیار بالا در کانسار آهن ماچنگ ثبت شده است که نشان دهنده تشکیل آهن توسط دو نوع مکانیسم متفاوت است. اکسیداسیون و شستشو توسط آب‌های سطحی که در نتیجه آن باعث کاهش سیلیس و غنی‌سازی آهن می‌شود، و کانسنگ آهن عیار بالایی که توسط فرآیند دگرسانی تشکیل می‌شود، کانسنگ آهن اولیه بشمار می‌رود. بر اساس داده‌های ژئوشیمیایی سنگ میزان و مطالعات زمین‌شناسی اینگونه استنباط می‌شود که کانسار ماچنگ یک سازند بروندمی آهن نواری نوع آلگوما می‌باشد که در حوضه‌ی پشت‌کمانی نواრکئن تشکیل شده است (Wu et al, 2015).

کانسار آهن ماقنگ از لحاظ سنگ میزبان و حوضه تشکیل مشابه کانسار آهن ماقنگ می باشد.

۴-۲-۳- کانسار فرومگنر کالاھاری

منگنر کالاھاری در جنوب آفریقا بزرگترین و مهمترین تولید کننده منگنر در جهان است. کانسار کالاھاری توسط فرآیندهای آتشفسانی - گرمابی زیردریایی تشکیل شده است. کانسنگ منگنر از سه لایه تقریباً به ضخامت ۱۰۰ متر در سازند Hotazel رخداده است (Cornell, 1995). کانههای اصلی آن شامل برونیت، کوتناهوریت، هوسمانیت و هماتیت (Beukes and Gutzmer, 1995) می باشد. ستون چینه‌شناسی کانسار منگنر کالاھاری در (شکل ۷-۸) آورده شده است.

کانسار منگنر کالاھاری از لحاظ منشاً و تشکیلات آهن نواری مشابه کانسار آهن - سلسیت کوهریگ می باشد.



شکل ۷-۸: ستون چینه‌شناسی منگنر کالاھاری

۸-۵- تیپ کانه زایی آهن در منطقه کوه ریگ

۱-۵-۸- تقسیم‌بندی کانسارهای رسوبی نواری

بطور کلی کانسارهای نواری به سه تیپ آلگوما، سوپریور و راپیتان تقسیم می‌شوند. بابکی (۱۳۸۳) ویژگی-های این سه تیپ کانسار بر اساس فاکتورهای مختلفی از جمله سن، سنگ‌های همراه، توالی چینه‌ای، فعالیت مagmaی و سنگ‌های آذرین همراه، بافت، ساخت، کانه، کانی‌های همراه و ویژگی‌های ژئوشیمیایی با هم مقایسه کرده است.

جدول ۲-۸: مقایسه کانسارهای آتشفشانی - بروندمی - رسوی (بابکی، ۱۳۸۳) با کانسار کوهریگ

کانسارهای آتشفشانی - رسوی - بروندمی	آلگوما	سوپریور	راپیتان	کوهریگ
بافت	لایه‌ای، نواری، توده‌ای، رگه‌ای و رگچه‌ای، جاشینی	لایه‌ای، نواری، رگه‌ای و رگچه‌ای، استوک-ورک	لایه‌ای، نواری، رگه‌ای و رگچه‌ای، جاشینی	کلوفرمی، دانه‌پراکنده
ساخت	توده‌ای و عدسی، استوک-ورک، رگچه‌ای	لایه‌ای، نواری	لایه‌ای، نواری	لایه‌ای، برشی
کانه	مگنتیت، پیریت، هماتیت، مگنتیت، پیریت، هماتیت، سلسیت، پیرولوزیت، پسیلوملان	گوتیت، هماتیت، پیریت، کالکوپیریت، پیروتیت	هماتیت، مگنتیت، پیریت، سلسیت، پیرولوزیت	
باطله	کوارتز، پلاژیوکلاز	کوارتز، کلریت، اکتینولیت	کوارتز، سیلیکات‌های کلریت	کوارتز، کلریت، زیپس، کوارتز
فعالیت‌های ماقمایی	بازالت و ریولیت	نبود و یا کمبود مواد آذرین	بازالت با سنگ‌های دگرگونی	آنژیت‌باذالت و سنگ‌های آذرآواری
ویژگی‌های ژئوشیمیایی	Ni, Zn, Au و کانی‌سازی Cu	Anomالی مثبت Mn ، آنومالی منفی Eu	Anomالی مثبت Mn ، آنومالی منفی Eu	Sr, Mn، Fe با Ba
سنگ‌های همراه	سنگ‌های اسیدی تا حد بواسطه زیردریایی همراه با گریواک، ماسه‌سنگ، شیل آلی	سنگ‌های تخریبی باذالت و شیل گرافیتی رسوی کم عمق، ماسه-سنگ، شیل، سنگ‌آهک دولومیتی چرت‌دار	سنگ‌های آندزیت باذالت و سنگ‌های آذرآواری	
سن	قدیمی‌تر از ۲۶۰۰ میلیون سال	قدیمی‌تر از ۱۸۰۰ میلیون سال	۴۵۰ تا ۸۰۰ میلیون سال	انسن
محیط تهنشست	آبهای کم عمق فلات قاره، حوضه‌های درون قاره‌ای و بخش پایدار سواحل قاره‌ای جهانی	حوضه‌های درون قاره‌ای و بخش پایدار قاره‌ای در زمان گسترش یخچال‌های جهانی	محیط دریایی کم عمق	
گسترش و ضخامت و شکل‌هندسی	توده‌ای، لایه‌ای به طول چندین کیلومتر و بیش از صد کیلومتر و ضخامت بین ۰.۱ تا ۱ متر کیلومتر	توده‌ای، عدسی شکل به طول چند متر تا چند کیلومتر و با ضخامت ۰.۱ متر	توده‌ای و عدسی شکل به طول چندین کیلومتر	لایه‌ای و برشی به طول ۷۰۰ متر
موقعیت تکتونیکی	کمربند آتشفشانی مناطق قوسی، گراین‌ها	حوضه‌های فلات قاره‌ای	محیط کافتی	کمان آتشفشانی
مثال	آدامز - شرمن (اوونتاریو)	لیک سوپریور، آمریکا	آهن هرمز در بندر عباس، و برخی کانسارهای آهن در منطقه بافق	

۲-۵-۸ رده‌بندی ذخایر استرانسیم

طبق نظریات (Warren,1999) و (Harben and Kuzvar,1996) ، (Harben and Bates,1990) ذخایر کانی‌های استرانسیم می‌توانند به ۴ گروه تقسیم شوند.

۱- رسوی: این ذخایر رایج‌ترین ذخایر کانی‌های استرانسیم می‌باشند و همرا با ژیپس، انیدریت با سیالات غنی از استرانسیم تشکیل می‌شوند.

۲- آتشفشاری - رسوی : این ذخایر در دریاهای کم‌عمق و دریاچه‌ها همراه با سنگ‌های آتشفشاری مثل آندزیت، بازالت و ریولیت دیده می‌شوند. این ذخایر ممکن است بالای ۵ متر ضخامت و تا ۵۵ درصد کانی‌های استرانسیم داشته باشند.

۳- تراوش جانبی: در این طبقه‌بندی کانی‌های استرانسیم به شکل ژئود درون آهک‌ها مثل رگه‌های سلسیت در رس‌ها و سنگ‌های کربناته رخنمون دارند و یا به شکل توده‌های جانشینی درون سنگ‌های کربناته و سولفاتی دیده می‌شوند. استرانسیم از سنگ‌های هم‌جوار شسته می‌شود.

۴- گرمابی: در ذخایر گرمابی سلسیت همراه با فلوریت، باریت، کلسیت و سولفیدهای سرب و روی می‌باشند.

۷-۸ نتیجه گیری

ویژگی‌های اصلی کانه زایی آهن - سلسیت کوه‌ریگ شامل ماهیت آتشفشاری- رسوی توالی میزبان و سنگ‌های میزبان کانسار، شکل هندسی لایه‌ای و ماهیت همخوان با لایه‌بندی سنگ‌های کمرپایین و کمربالای پیکره معدنی و بافت و ساخت و کانی‌شناسی ماده معدنی، همگی نشان دهنده شباهت زیاد این کانه زایی با کانسارهای آهن آتشفشاری- بروندهای آهن نواری یا BIF (Banded iron formations) می‌باشد. با توجه به ماهیت آتشفشاری- رسوی و زیردریایی واحدهای سنگی اثوسن در منطقه ترود به نظر می‌رسد که کانسار آهن- سلسیت در محیط

ریفتی تشکیل شده باشد که در این محیط کششی، فعالیت سیستم‌های گرمابی زیردریایی موجود در طول گسل‌های ریفتی همزمان با آتشفسانی و رسوبگذاری عامل اصلی این نهشته بوده است. در واقع در محل چشممه‌های گرم کف دریا، سیالات کنوکسیونی، آهن، منگنز و استرانسیم و سایر عناصر را از سنگ‌های آتشفسانی کمرپایین شسته و از طریق گسل‌های همزمان با فرونشست و رسوبگذاری انتقال داده و وارد کف دریا نموده‌اند.

میزان استرانسیم در سنگ‌های آندزیت بازالت و سنگ‌های آذرآواری بیشتر از فراوانی استرانسیم در پوسته زمین است، بنابراین میزان Sr بالای کانسار می‌تواند نتیجه شستشوی این عنصر از فلدسپات‌های قلیایی از سنگ‌های آتشفسانی توسط سیالات گرمابی می‌باشد (Ostwald, 1988). میزان بالای Sr در کانسار کوهریگ موجب رخداد گستردگی سلسیت در این کانسار شده است. امروزه در دنیا کانسارهای سلسیت بروندمی فاقد آهن مثل کانسار Ulas-sivas (Tekin, 2001) شناسایی شده و کانسارهای غنی از باریت (سولفات باریم) مثل کانسار Jingtieshan (Sun et al, 1998) نیز مورد مطالعه قرار گرفته‌اند. کانسارهای BIF غنی از انیدریت (سولفات کلسیم) مثل کانسارهای آهن جزیره هرمز (عطایپور و آفتایی، ۱۳۹۰) نیز گزارش گردیده است. اما تاکنون کانسارهای آهن آتشفسانی - بروندمی نوع غنی از سلسیت (سولفات استرانسیم) مشابه کانسار کوهریگ تاکنون در ایران و جهان گزارش نشده است.

۸-۸- پیشنهادهای علمی و اکتشافی

الف- پیشنهادهای علمی:

- با توجه به اینکه در پهنه استرینگر کانسار کوه ریگ باریت رگه‌ای داریم، بررسی ارتباط کانسار کوه ریگ با رخدادهای باریت رگه‌ای در منطقه پیشنهاد می‌گردد.
- انجام مطالعات ایزوتوپ‌های پایدار برای تعیین منشأ سیالات مؤثر در تشکیل کانسار، ضروری است.

ب- پیشنهادهای اکتشافی:

➤ با توجه به محدود بودن ماده معدنی به واحدهای چینه‌شناسی خاص، در صورت تعقیب افق‌های

مشابه در مقیاس ناحیه‌ای، ممکن است مناطق جدیدی شناسایی شود که دارای پتانسیل آهن

باشد.

➤ با توجه به ارتباط نوع آلگوما با سنگ‌های آتشفشاری اسیدی و حدواست زیردریایی، بعضًا نوع

آلگوما در مجاورت کانسارهای سولفید توده‌ای Zn-Cu تشکیل می‌شود. لذا پی‌جويی به منظور

اکتشاف این ذخایر می‌تواند مفید باشد.

➤ وجود دگرسانی کلریتی و سریسیتی می‌تواند به عنوان راهنمای خوبی برای اکتشاف کانسارهای

آهن در منطقه باشد.

منابع

- اخیانی، م.، "گزارش پتانسیل یابی اقتصادی ۱/۵۰۰۰ ترود"، دانشگاه آزاد اسلامی شهرود، آقانباتی، س.ع.، (۱۳۸۸)، "زمین‌شناسی ایران"، سازمان زمین‌شناسی و اکتشافات معدنی ایران، تهران، ۵۸۶ صفحه.
- امام جمعه، ا.، (۱۳۸۵)، پایان نامه کارشناسی ارشد: "زمین‌شناسی، کانی‌شناسی و ژنز کانسار چاه موسی شمال غرب ترود"، استان سمنان، دانشکده علوم پایه، دانشگاه تربیت مدرس، ۱۸۵ صفحه.
- بابکی، آ.، (۱۳۸۳)، پایان نامه کارشناسی ارشد: "بررسی الگوی کانسارسازی آهن در کانسار گل گهر سیرجان"، کرمان، دانشگاه باهنر کرمان، ۳۸۲ صفحه.
- باقرزاده، ز.، (۱۳۹۳)، پایان نامه کارشناسی ارشد: "کانی‌شناسی، ژئوشیمی و ژنز کانسار منگنز ربیعی ترود جنوب شهرود"، دانشکده علوم زمین، دانشگاه صنعتی شهرود.
- براتی، م.، قلی‌پور، م.، (۱۳۹۲)، "کانی‌شناسی، ژئوشیمی و خاستگاه کانسار ظفرآباد کردستان با استفاده از داده‌های عناصر جزئی و نادرخاکی کانی مگنتیت"، مجله زمین‌شناسی اقتصادی، شماره ۲، ج ۵، صفحه ۲۳۵ تا ۲۵۴.
- بومری، م.، (۱۳۷۱)، پایان نامه کارشناسی ارشد: "ژنز کانسنگ آهن سنگان خراسان"، دانشکده علوم، دانشگاه تربیت معلم تهران، ۲۶۶ ص.
- پور حسینی، ف.، (۱۳۶۲)، "پژوهشی در منشأ توده‌های آذرین ایران زمین"، بررسی ژرف توده‌های نطنز و بزمان. گزارش شماره ۵۳، سازمان زمین‌شناسی کشور.
- جعفريان، ع.، (۱۳۸۶)، پایان نامه کارشناسی ارشد: "بررسی پترولوزیکی قوس ولکانوپلوتونیک رشته کوه زر - ترود و مجموعه‌های کانه‌زایی وابسته"، دانشگاه تهران
- خدمی، م.، (۱۳۸۶)، پایان نامه دکتری: "ویژگی‌های ساختاری و وضعیت زمین‌شناسی منطقه ترود"، دانشگاه شهید بهشتی، ۲۰۰ ص.

رجایی، ا، فردوست، ف، (۱۳۹۴)، پایان نامه کارشناسی ارشد: "کانی‌شناسی، زمین‌شیمی و الگوی پیدایش کانسار آهن زیدر، شرق میامی"، دانشگاه صنعتی شهرود، ۱۵۸ ص.

سودی شعار، م، (۱۳۸۰)، "نقشه اکتشاف در تعیین ماده معدنی ایران در جهان و الویت‌های اکتشافی در سال ۱۳۸۰"، وزارت صنایع و معادن، سازمان زمین‌شناسی و اکتشافات معدنی کشور.

شاهوردی، م، (۱۳۸۹)، پایان نامه کارشناسی ارشد: "بررسی زمین‌شناسی اقتصادی اندیس مس علی نرخه، جنوب شرق ترود"، دانشگاه آزاد اسلامی، واحد علوم و تحقیقات.

صالحی نسب، س، (۱۳۹۴)، پایان نامه کارشناسی ارشد: "کانی‌شناسی، زمین‌شیمی و الگوی پیدایش کانسار مس – سلسیت بندقیچی منطقه ترود، جنوب شهرود"، دانشکده علوم زمین، دانشگاه صنعتی شهرود.

طالع ماسوله، س، قربانی، م، حکیمی آسیاپر، س، (۱۳۸۹)، "مطالعه زمین‌شناسی اقتصادی کانسار مس چاه گله، شمال غرب ترود سمنان"، فصلنامه علمی پژوهشی زمین و منابع واحد لاهیجان، سال سوم، شماره اول.

فرهادی، ر، (۱۳۷۴)، پایان نامه کارشناسی ارشد: "مطالعه زمین‌شناسی، ژئوشیمی، آنالیز رخساره و ژنز کانسار آهن منگنزدار شمس آباد اراک"، دانشگاه تربیت مدرس.

قربانی، ق، (۱۳۸۴)، رساله دکتری: "پترولوزی و پتروژنر سنگ‌های آذرین جنوب شرق دامغان"، دانشکده علوم زمین، دانشگاه شهید بهشتی.

قربانی، ق، (۱۳۸۶)، "زمین‌شناسی اقتصادی ذخایر معدنی و طبیعی ایران"، جلد ۱۰، چاپ اول، انتشارات آرین‌زمین، تهران، ۵۱۵ ص.

قلی‌بور، م، براتی، م، (۱۳۹۲)، "مطالعه هاله‌های دگرسانی سدیک – کلسیت کانسار آهن ظفرآباد – استان کردستان"، نوزدهمین همایش بلورشناسی و کانی‌شناسی ایران، دانشگاه گلستان.

عطایپور، ح، آفتابی، ع، (۱۳۹۰)، "معرفی الگوی جدید آهن نواری راپیتان برای کانسار آهن جزیره هرمز بندرعباس". سی‌امین گردهمایی علوم‌زمین، سازمان زمین‌شناسی و اکتشافات معدنی کل کشور.

کاظمی راد، م.، راستاد، ا.، مجلل، م.، (۱۳۸۸)، "کانی‌شناسی، دگرسانی و ساخت و بافت کانسارهای آهن - منگنز هنشک، گلی و چشمی اسی در شمال شرق صفارشهر، استان فارس"، بیست و هفتمین گردهمایی علوم زمین و سیزدهمین همایش انجمن زمین‌شناسی ایران، سازمان زمین‌شناسی و اکتشافات معدنی، ایران، سازمان زمین‌شناسی و اکتشافات معدنی ایران.

کریم‌پور، م.ح.، سعادت، س.، (۱۳۸۹)، "زمین‌شناسی اقتصادی کاربردی"، چاپ پنجم، انتشارات دانشگاه فردوسی مشهد، ۵۳۲ ص.

کریم‌پور، م.ح.، ملک‌زاده شفارودی، آ.، حیدریان، م.ح.، (۱۳۹۰)، "اکتشاف ذخایر معدنی: مدل‌های زمین‌شناسی، ژئوشیمی، ماهواره‌ای و ژئوفیریکی"، چاپ سوم، انتشارات دانشگاه فردوسی مشهد، ۶۳۴ ص.

متولی، ک.، (۱۳۸۴)، "کانی‌شناسی، ژئوشیمی و منشأ کانسارهای آهن خسروآباد و تکیه بالا در شمال خاوری سنقر"، پایان نامه کارشناسی ارشد، دانشگاه تربیت مدرس، ۱۵۸ ص.

محسنی، ص.، آفتابی، ع.، (۱۳۸۴)، "یافته‌های جدید ژئوشیمیایی و ساختاری در مورد سنگهای رویلیتی و کراتوفیری و ارتباط آنها با کانی زایی آهن در منطقه معدنی بافق- ایران مرکزی"، بیست و چهارمین گردهمایی علوم زمین، تهران، سازمان زمین‌شناسی.

مؤمن‌زاده، م.، قربانی، م.، (۱۳۷۴)، "مجموعه کانسارهای آهن در شمال غرب ایران"، شرکت آهن آجین.

هوشمندزاده، ا.، علوی نائینی، م.، حقی‌پور، ا.، (۱۳۵۷). "تحویل پدیده‌های زمین‌شناسی ناحیه ترود (از پرکامبرین تا عهد حاضر)", سازمان تحقیقات زمین‌شناسی و معدنی کشور، ۱۳۸ ص.

Reference

- Alavi M. (1972) "Etude geologique de la region de Djam", G.S.I.Report: No.23.
- Alavi M. Haghipour A. (1976) " Geological map of Toroud, scal 1:250000", Geological survey of Iran.
- Alavi M. (1991) " Sedimentary and structural characteristics of the Paleo -Tethys remnants in northeastern Iran" Geological Society of America **Bulletin** 13, pp 983-992.
- Aya K. Gumanova N. G. Akhmedzhanov N. M. Varentsov S. I. Gerasimova C. I. Bulargina T. V. Shakhov Y. A. (1993) "The GTP-binding regulatory proteins, Gs and G (i),

are altered in erythrocyte membranes of patients with ischemic heart disease resulting from coronary atherosclerosis, Arteriosclerosis” Thrombosis, and Vascular Biology, **13(8), 1244-1251.**

Barrett T.J. and Maclean W.H. (1999)” Volcanic sequences, Litogeochimistry, and hydrothermal alteration in some bimodal volcanic associated massive sulfide systems, in volcanic associated massive sulfide deposits: processes and examples in modern and ancient setting” C.T. Barrie and M.D.Hannington eds, society of Economic Geologists, **Reviews in Economic Geology, Volume8, pages 101-131.**

Barnes H. L. (1997) “ Geochemistry of hydrothermal ore deposits (Vol. 1)”. John Wiley & Sons.

Bergem.(1997) Volcano-sedimentary Irondeposit.Availab at:
www.brgm.fr/MINEO/sitereport/European_ores_geologF.pdf

Gutzmer J.,Beukes N. J. (1996)“Mineral paragenesis of the Kalahari manganese field, South Africa” **Ore Geology Reviews, 11(6), 405-428.**

Bodnar R. J. (1983) “A method of calculating fluid inclusion volumes based on vapor bubble diameters and PVTX properties of inclusion fluids” **Economic Geology, 78, 535-542.**

Bodnar R.J.(1993) “ Revised equation and table for determining the freezing point depression of H₂O-NaCl solution Geochim .Cosmochim ” **Acta 57,683-684.**

Bodnar R. J. Vityk M. O. (1994) “Interpretation of microthermometric data for H₂ONaCl fluid inclusions” Fluid inclusions in minerals: methods and applications, 117-130.

Bonatti E. (1975) “Metallogenesis at oceanic spreading centers” **Annu Rev Earth Planet Sci.Vol 3. pp 401-431.**

Bonatti E. Zerbi M. Kay R. Rydell H. (1976) “Metalliferous Deposits from the Apennine Ophiolites: Mesozoic Equivalents of Modern Deposits from Oceanic Spreading Centers”, **Bull. Geol. Soc. Am. vol. 87, pp 83-94.**

Beukes N.J. Gutzmer J. Smit C.A. (2002) “Origin of high – Grade hematite ore at Thabazimbi mine, Limpopo province, south Africa” submitted in the fulfillment of the requirement for the degree.

Blouinot C. W. Dickson F. W. (1969) “The solubility of anhydrite (CaSO₄) in NaCl-H₂O from 100 to 450 °C and 1 to 1000 bars” **Geochimica et Cosmochimica Acta, 33(2), 227-245.**

Brusnitsyn A. I. Zhukov I. G. (2005) "The South Faizuly manganese deposit in the southern Urals: Geology, petrography, and formation conditions" *Lithology and Mineral Resources*, 40(1), 30-47.

Choi J. H. Hariya Y. (1992) "Geochemistry and depositional environment of Mn oxide deposits in the Tokoro belt, northeastern Hokkaido, Japan." **Economic Geology** vol. pp 1265-1274.

Clout J. M. F. Simonson B. M. (2005) "Precambrian iron formation and iron formation-hosted iron ore deposits" **Economic Geology Anniversary Volume., 100: 643-679.**

Cox K.G. Bell J.D. and Pankhurst R.J. (1979) "The interpretation of Igneous Rocks. George Allen and Unwin" **London, 450p.**

Cornell D. H. Schütte S. S. (1995) "A volcanic-exhalative origin for the world's largest (Kalahari) manganese field" *Mineralium Deposita*, **30(2), 146-151.**

Crerar D.A. Cormick R.K. Barnes H.L. (1982) "Geochemistry of manganese: an overview" in: Varentsov, I.M. and Grasselly, G., eds., *Geology and geochemistry of manganese*. Stuttgart, Schweizerbart sche Verlag, Vol. 1: 293-334.

Crosby H. A. Roden E. E. Johnson C. M. Beard B. L. (2007) "The mechanisms of iron isotope fractionation produced during Iron isotopes in banded iron formations 167 dissimilatory Fe(III) reduction by Shewanella putrefaciens and Geobacter sulfurreducens" *Geobiol.* **5(2), 169-189.**

Cullers R. L. Graf J. L. (1984) "Rare earth elements in igneous rocks of the continental crust: predominantly basic and ultrabasic rocks" In *Rare earth element geochemistry* Elsevier Amsterdam., Vol. 2, pp. **237-274..**

Evans A. M. (1997) "An introduction to economic geology and its environmental impact" Oxford, **Blackwell, 364 p.**

Eilu P. Niiranen T. (2002) "Iron oxide-copper-gold deposits in Finland".

Farago A. Nishizuka Y. (1990) "Protein kinase C in transmembrane signaling" *FEBS letters.*, **268(2), 350-354.**

Füchtbauer H. Müller G. (1977), "Sediment-Petrologie".

Goss A. R. Kay S. M. (2009) "Extreme high field strength element (HFSE) depletion and near-chondritic Nb/Ta ratios in Central Andean adakite-like lavas (~28°S, ~68°W)" *Earth and Planetary Science Letters*.

Gross G. A. (1996) "Algoma-type iron formation" In: Selected British Columbia Mineral Deposit Profiles.

Goldschmidt V.M. (1954) "Geochemistry, Oxford University Press. 152 p.

Guilbert J. M. Park Jr. C. F. (1986) "The geology of ore deposits, Freeman and Company" New York.

Hall D. L. Sterner S. M. Bodnar R. J. (1988) "Freezing point depression of NaCl-KCl-H₂O solutions. London" **Economic Geology**, **83**, 197-202.

Harben P.W. Kužvar M. (1996) "Industrial minerals: a global geology" Industrial Minerals Information Ltd, London.

Harben P. W. Bates R. L. (1990) "Industrial minerals geology and world deposits Metal Bulletin".

Harben P.W. (1999) "The industrial minerals handybook, 3rd edition" Industrial Minerals Information Ltd, London.

Kesler E.S. (1994) "Mineral Resources, Economics and the Environment" **MacMillan College Publishing Company**, 391p.

Kheraskov N. P. (1951) "Geology and Genesis of Manganese Deposits in Eastern Bashkiria. Voprosy litologii stratigrafii SSSR. Pamjati akademika A. D. Arkhangel'skogo (Problems of Lithology and Stratigraphy of the USSR" In memory of Academician A.D. Arkhangel'skii, Moscow Akad. Nauk SSSR, pp 47-65.

Kovalenko V. I. Naumov V. B. Girnis A. V. Dorofeeva V. A. Yarmolyuk V. V. (2010) "Average Composition of Basic Magmas and Mantle Sources of Island Arcs and Active Continental Margins Estimated from the Data on Melt Inclusions and Quenched Glasses of Rocks Petrology", Vol. **18**, No. **1**, pp. 1-26.

Martin P. Roy J. R. (1992) "The oxygen abundance gradient in the barred spiral galaxy NGC 4303" **The Astrophysical Journal**, **397**, 463-476.

Meschede M. (1986) "A method of discriminating between different types of mid – ocean ridge basalts and continental tholeiites with the Nb- Zr- Y diagram" **Chem. Geo.**, **56**, 207 – 218.

Nakamura N. (1974) "Determination of REE, Ba, Fe, Mg, Na and K in carbonaceous and ordinary chondrites Geochim" **Cosmochim Acta**, **38**, 757 – 775.

Naumov G. B. Ryzhenko B. N. Khodakovskiy I. L. (1974) "Handbook of thermodynamic data" Transl. into ENGLISH of the publ. Handbook of Thermodynamic Data Moscow, Atomizdat., 1971.

Nicholson K. (1992) "Genetic types of manganese oxide deposits in Scotland: Indicators of paleo-Ocean-spreading rate and a Devonian geochemical mobility boundary" **Economic Geology**. Vol **87**. pp **1301-1309**.

Ostwald j . (1988) "Mineralogy of the Groote Eylandt manganese Oxied": A. reviw. **Ore Geology Reviews**, **4**, **3-45**.

Pearce J.A. Parkinson I.J. (1996) "Trace element models for mantle melting: application to volcanic arc petrogenesis" In: Prichard, H.m., Albaster, T.,Harris, N.B.W., Neary, C.R. (eds.), Magmatic Processes in Plate Tectonics". Geological Society of London **Special Publication, 373-403**.

Pirajno F.(1992) " Hydrothermal mineral deposits – Principles and fundamental concepts for the Exploration Geologist" **Springer-Verlag**. pp.**706** .

Ray G.E. (1995) "Fe skarns. In: Selected British Columbia Mineral Deposit Profiles. Available on: www.em.gov.bc.ca/Mining/Geolsurv/Metallicminerals/ Mineral deposit profiles/profiles/K03.htm.

Rona P. A. (1978) "Criteria for recognition of hydrothermal mineral deposits in oceanic crust". **Economic Geology Vol 73**. pp **35-60**.

Roedder E. (1965) "Liquid CO₂ inclusions in olivine-bearing nodules and phenocrysts from basalts" **American Mineralogist, 50(10)**, **1746**.

Roedder E. (1984) "Fluid inclusions Reviews in Mineralogy" Mineralogical Society of America.

Roedder E. Bodnar R. J. (1980) "Geologic pressure determinations from fluid inclucion studies" **annual Review Earth Planet. Sci.**, **8**,**263-301**.

Rossetti A. O. Oddo M.Logroscino G. Kaplan P. W.(2010) " Prognostication after cardiac arrest and hypothermia" a prospective study. **Annals of neurology**, **67**(3), **301-307**.

Roy, S.(1981) " Manganese Deposits" **Academic Press London**, **485** pp.

Roy S. (1992) " Environments and processes of manganese deposition" **Economic Geology** **87**, **1218–1236**.

Shepherd T. J. Rankin A. H. Alderton D. H. M. (1985) " A practical guide to fluid inclusion studies".

Sun S. S. McDonough W. F. (1989) "A chemical and isotopic systematics of oceanic basalts: Implication for mantle composition and processes" In: Saunders, A. D., Norry M. J. (eds), Magmatism in oceanic basins. **Geology. Soc. London. Spec. Pub.**, **42**, **313 – 345**.

Sun H. Wu J. Yu P. Li J. (1998) "Geology, geochemistry and sulfur isotope composition of the Late Proterozoic Jingtieshan (Superior-type) hematite-jasper-barite iron ore deposits associated with stratabound Cu mineralization in the Gansu Province, China" **Mineralium Deposita**, **34(1)**, 102-112.

Siegel W. (1979) "Supersymmetric dimensional regularization via dimensional reduction" **Physics Letters B**, **84(2)**, 193-196.

Starikova E V. (2001) "Behavior of Iron and Manganese in Hydrothermal Sedimentary Processes: Analysis of Natural and Calculation Data. in Metallogeniya drevnikh i sovremennoykh okeanov - Istoryya mestorozhdenii i evolyutsiya rudoobrazovaniya (Metallogeny of Ancient and Modern Oceans - 2001: History of Deposits and Evolution of Mineralization)" Miass: Inst. Miner. Ural. Otd. Ross. Akad. Nauk, pp 71-77.

Sylvestre G. Timoleon N. Djibril K. N. G. Paul N. J. Marianne N. F. (2015) "Petrology and geochemistry of the banded iron-formations from Ntem complex greenstones belt, Elom area, Southern Cameroon: Implications for the origin and depositional environment" **Chemie der Erde-Geochemistry**, **75(3)**, 375-387.

Taylor S. R. and McLennan S. M. (1985) "The Continental Crust: Its Composition and Evolution. Blackwell, Oxford". Rev. **Geophys.** **33**, 241 – 265.

Tekin S. Mega M. S. Masterman D. M. Chow T. Garakian J. Vinters H. V. Cummings J. L. (2001) "Orbitofrontal and anterior cingulate cortex neurofibrillary tangle burden is associated with agitation in Alzheimer disease" **Annals of neurology**, **49(3)**, 355-361.

Titley S.R. Bean R.F. (1981) "Porphyry coppers deposits" **economic geology**, **75**, P, 214-269.

Toth J. (1980) "Cross-formational gravity-flow of ground water": a mechanism of transport and accumulation of petroleum (the generalized hydraulic theory of petroleum migration), in Roberts, W. H. III, and Cordell, R. J. (eds.). Problems of petroleum migration: American Association of Petroleum Geologists, **Studies in Geology**, No. 10, p. 121-167.

Varentsov I. M. Veinmarn A. B. Rozhnov A. A. (1993) "Geochemical Model of the Formation of Manganese Ores in the Famennian Rift Basin of Kazakhstan (Main Components, Rare Earths, and Trace Elements)", **Litol. Polezn. Iskop.**, vol. **28**, no. 3, pp 56-79.

Warren J. (1999) "Evaporites their evolution and economics" Blackwell Science Pty Ltd.

Wilkinson J.J.(2001) “ Fluid inclusions in hydrothermal ore deposits” **Lithos, 25, 229-279**

Wu H. Niu X. Zhang L. Pirajno F. Luo H. Qin F. Qi, M. (2015) “ Geology and geochemistry of the Macheng Algoma-type banded iron-formation, North China Craton: Constraints on mineralization events and genesis of high-grade iron ores”. **Journal of Asian Earth Sciences, 113, 1179-1196.**

Abstract

Kuhe Rig iron-celestite deposit is located in 130Km south of Shahrood and 17 Km south of Toroud, in the northern part of the central Iran zone and in the Sabzevar subzone. Mineralization occurred in the Eocene volcano-sedimentary sequence dominated by andesite basalt, basalt and crystal lithic tuffs. In this deposit, three hydrothermal facies are observed: 1) Vein-veinlets facies, hosted by andesite-basalt: consisting hydrothermal calcite-barite-quartz- and quartz veins, 2) Breccia facies, hosted by volcaniac breccia: in which angular volcanic pieces are surround by goethite and hematite, and 3) banded facies, hosted by fine grain tuff, which involves alternations of ore-bearing bands and concordant with crystal lithic tuff bands. Other than the hydrothermal veins, there are also diagenetic calcite-manganese oxide veins cross-cutting the former veins, and deformation calcite-(manganese) joint-filling veins. The main structure and texture of the deposit consists of banded-laminated, brecciated, and colloform and disseminated textures. Based on petrographic, X-ray diffraction (XRD), and Electron probe (EPMA) studies, the main minerals in the deposit consist of hematite, magnetite, celestite, pyrolusite, psilomelane, goethite, and gypsum. The initial hydrothermal alteration in the zone consists of sericite and chlorite alteration. Of course, the argillic alteration in the sericite zone has also been observed resulting from supergen and weathering processes. Based on the chemical analysis through ICP-MS/OES methods, the Kuhe Rig iron-celestite deposit samples plot in the range of hydrothermal deposits according to the Co-Ni-Cu, Co+Ni+Cu-Co/Zn, Mn-Fe-(Ni+Co+Cu)*10 geochemical diagrams, and Co/Zn and Mn/Fe ratios. The volcanic rocks in the (Zr/Y)/(La/Yb), Zr/Yb, Yb/Th diagrams have transitional nature, and their Primitive Mantle-normalised spider diagram indicate a continental margin arc setting for their deposition. The fluid inclusion studies on the calcite-barite-quartz- and quartz veins from the stringer zone shows homogenization temperature between 139 and 315 °C for calcite and between 129 and 298 °C for quartz. The salinity for calcite and quartz range between 2.13 and 12.4, and between 0.6 and 6.47 eq. wt% NaCl, respectively. Based on petrography of fluid inclusions, the occurrence of boiling in the mineralization is not observed.

The Kuhe Rige Fe-Sr deposit due to the volcano-sedimentary nature of the host rock sequence, layered geometry of ore body, structure and textures and mineralogy of ores, ore facies, alteration zones and geochemical features shows many similarities with the volcanic-exhalative iron deposits. It should be noted that high amounts of celestite is of special characters of the mineralization and any similar deposits has not been reported in Iran and the world.

Key words: iron – celestite, volcanic – exhalative, Eocene, Kuhe Rig, Toroud, Shahrood



Shahrood University of Technology

Faculty of Earth Sciences

MSc Thesis in Economic geology

Title of thesis: **Mineralogy, geochemistry and genesis of the Kuhe Rig Iron
– Celestite deposit, South of Shahrood**

By: **Mona Mahdevari**

Supervisor:

Dr. Fardin Mousivand

Advisor:

Dr. Mahmood Sadeghiyan

September 2016